

# VYSOKÉ UČENÍ TECHNICKÉ V BRNĚ

BRNO UNIVERSITY OF TECHNOLOGY

FAKULTA STAVEBNÍ

ÚSTAV BETONOVÝCH A ZDĚNÝCH KONSTRUKCÍ

FACULTY OF CIVIL ENGINEERING

INSTITUTE OF CONCRETE AND MASONRY STRUCTURES

## ANALÝZA PŮDORYSNĚ ZAKŘIVENÝCH ZAVĚŠENÝCH A VISUTÝCH LÁVEK

ANALYSIS OF A PLAN CURVED CABLE STAYED AND SUSPENSION FOOTBRIDGES

PŘÍLOHA TEXTOVÉ ČÁSTI

ANNEX

DOKTORSKÁ PRÁCE

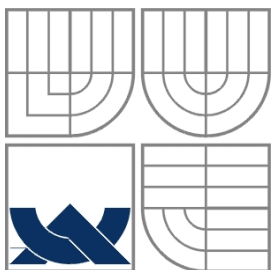
DOCTORAL THESIS

AUTOR PRÁCE

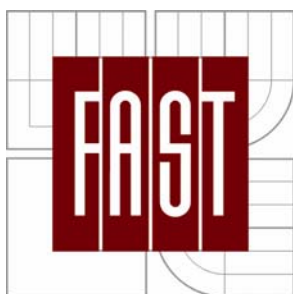
AUTHOR

ING. JAN KOLÁČEK

BRNO 2012



VYSOKÉ UČENÍ TECHNICKÉ V BRNĚ  
BRNO UNIVERSITY OF TECHNOLOGY



FAKULTA STAVEBNÍ  
ÚSTAV BETONOVÝCH A ZDĚNÝCH  
KONSTRUKCÍ

FACULTY OF CIVIL ENGINEERING  
INSTITUTE OF CONCRETE AND MASONRY STRUCTURES

## ANALÝZA PŮDORYSNĚ ZAKŘIVENÝCH ZAVĚŠENÝCH A VISUTÝCH LÁVEK

ANALYSIS OF A PLAN CURVED CABLE STAYED AND SUSPENSION FOOTBRIDGES

PŘÍLOHY TEXTOVÉ ČÁSTI  
ANNEX

DOKTORSKÁ PRÁCE  
DOCTORAL THESIS

AUTOR PRÁCE  
AUTHOR

ING. JAN KOLÁČEK

VEDOUCÍ PRÁCE  
SUPERVISOR

PROF. ING. JIŘÍ STRÁSKÝ, DSC.

BRNO 2012

# **Příloha A**

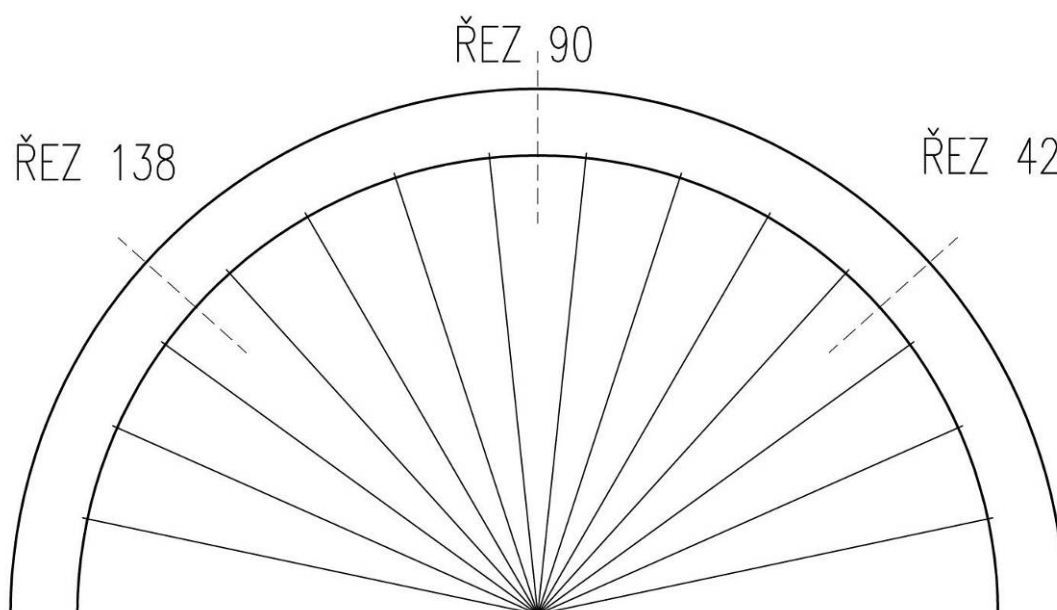
## **Výsledky statické a dynamické analýzy zavěšené konstrukce**

## Seznam obrázků

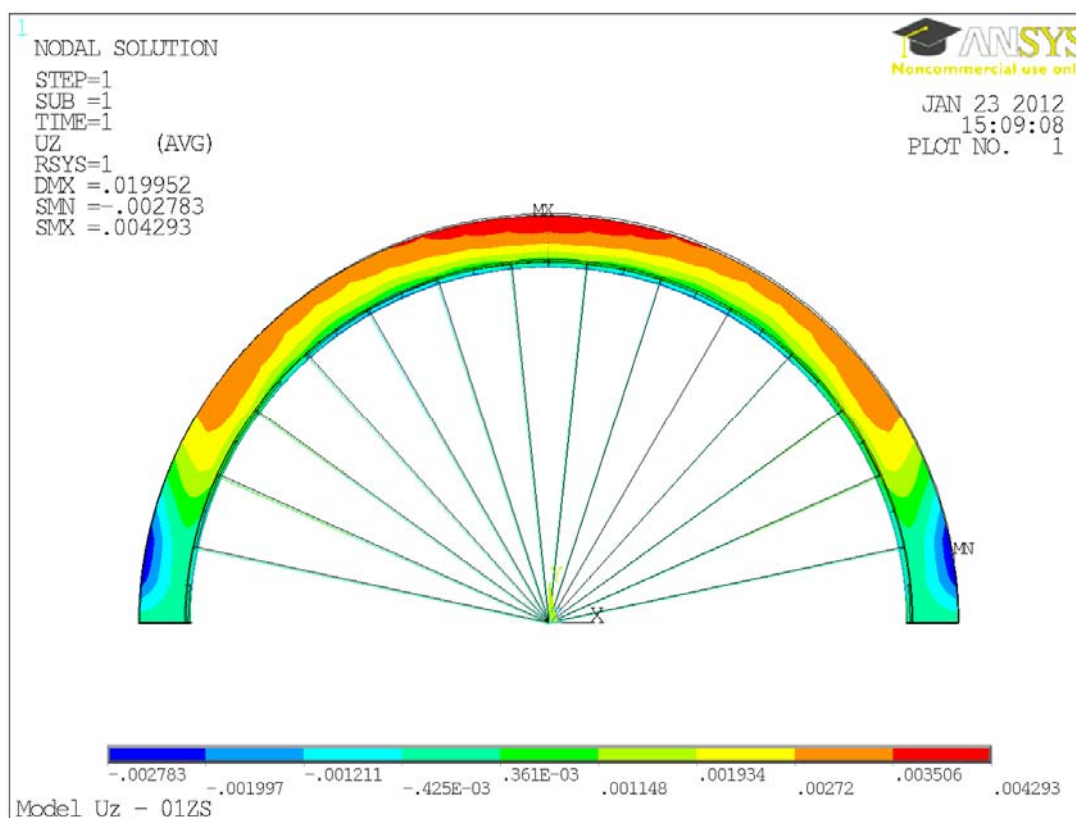
<b>Obr. A.1</b> Kombinace K01 – vlastní tíha a předpětí .....	A-4
<b>Obr. A.2</b> Posunutí uz – K01 .....	A-4
<b>Obr. A.3</b> Posunutí ux – K01 .....	A-5
<b>Obr. A.4</b> Posunutí uz – příčný řez 42 – K01 .....	A-5
<b>Obr. A.5</b> Posunutí uz – příčný řez 90 – K01 .....	A-6
<b>Obr. A.6</b> Posunutí uz – příčný řez 138 – K01 .....	A-6
<b>Obr. A.7</b> Podélné napětí Sx (pouze tlak) – deska – horní povrch – K01 .....	A-7
<b>Obr. A.8</b> Podélné napětí Sx (pouze tah) – deska – horní povrch – K01 .....	A-7
<b>Obr. A.9</b> Podélné napětí Sx (pouze tlak) – deska – dolní povrch – K01 .....	A-8
<b>Obr. A.10</b> Podélné napětí Sx (pouze tah) – deska – dolní povrch – K01 .....	A-8
<b>Obr. A.11</b> Podélné napětí Sx – trubka – horní povrch – K01 .....	A-9
<b>Obr. A.12</b> Podélné napětí Sx – trubka – dolní povrch – K01 .....	A-9
<b>Obr. A.13</b> Normálová síla – závěsy – K01 .....	A-10
<b>Obr. A.14</b> Normálové napětí – závěsy – K01 .....	A-10
<b>Obr. A.15</b> Kombinace K02 – vlastní tíha, předpětí a zatížení chodci .....	A-11
<b>Obr. A.16</b> Posunutí uz – K02 .....	A-11
<b>Obr. A.17</b> Posunutí ux – K02 .....	A-12
<b>Obr. A.18</b> Posunutí uz – příčný řez 42 – K02 .....	A-12
<b>Obr. A.19</b> Posunutí uz – příčný řez 90 – K02 .....	A-13
<b>Obr. A.20</b> Posunutí uz – příčný řez 138 – K02 .....	A-13
<b>Obr. A.21</b> Podélné napětí Sx (pouze tlak) – deska – horní povrch – K02 .....	A-14
<b>Obr. A.22</b> Podélné napětí Sx (pouze tah) – deska – horní povrch – K02 .....	A-14
<b>Obr. A.23</b> Podélné napětí Sx (pouze tlak) – deska – dolní povrch – K02 .....	A-15
<b>Obr. A.24</b> Podélné napětí Sx (pouze tah) – deska – dolní povrch – K02 .....	A-15
<b>Obr. A.25</b> Podélné napětí Sx – trubka – horní povrch – K02 .....	A-16
<b>Obr. A.26</b> Podélné napětí Sx – trubka – dolní povrch – K02 .....	A-16
<b>Obr. A.27</b> Normálová síla – závěsy – K02 .....	A-17
<b>Obr. A.28</b> Normálové napětí – závěsy – K02 .....	A-17
<b>Obr. A.29</b> Kombinace K03 – vlastní tíha, předpětí a zatížení chodci .....	A-18
<b>Obr. A.30</b> Posunutí uz – K03 .....	A-18
<b>Obr. A.31</b> Posunutí ux – K03 .....	A-19
<b>Obr. A.32</b> Posunutí uz – příčný řez 42 – K03 .....	A-19
<b>Obr. A.33</b> Posunutí uz – příčný řez 90 – K03 .....	A-20
<b>Obr. A.34</b> Posunutí uz – příčný řez 138 – K03 .....	A-20
<b>Obr. A.35</b> Podélné napětí Sx (pouze tlak) – deska – horní povrch – K03 .....	A-21
<b>Obr. A.36</b> Podélné napětí Sx (pouze tah) – deska – horní povrch – K03 .....	A-21



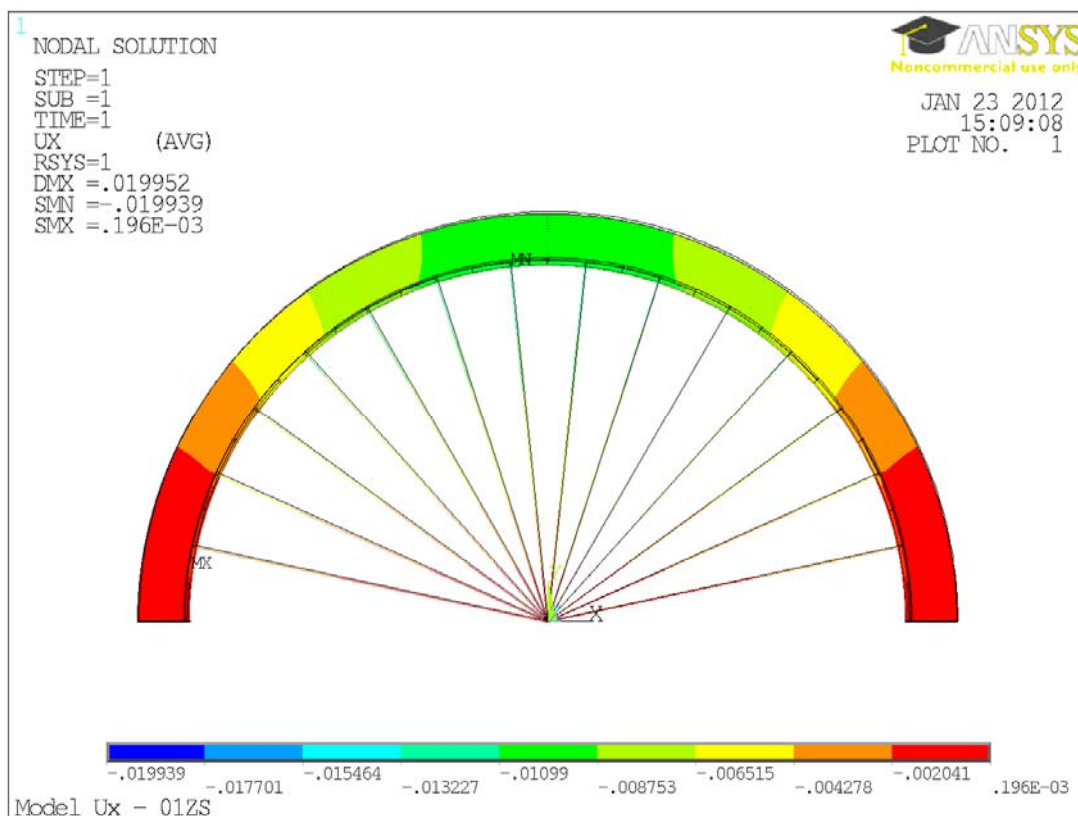
<b>Obr. A.37</b> Podélné napětí $S_x$ (pouze tlak) – deska – dolní povrch – K03 .....	A-22
<b>Obr. A.38</b> Podélné napětí $S_x$ (pouze tah) – deska – dolní povrch – K03 .....	A-22
<b>Obr. A.39</b> Podélné napětí $S_x$ – trubka – horní povrch – K03 .....	A-23
<b>Obr. A.40</b> Podélné napětí $S_x$ – trubka – dolní povrch – K03 .....	A-23
<b>Obr. A.41</b> Normálová síla – závěsy – K03 .....	A-24
<b>Obr. A.42</b> Normálové napětí – závěsy – K03 .....	A-24
<b>Obr. A.43</b> Kombinace K04 – vlastní tíha, předpětí a zatížení chodci .....	A-25
<b>Obr. A.44</b> Posunutí uz – K04 .....	A-25
<b>Obr. A.45</b> Posunutí ux – K04 .....	A-26
<b>Obr. A.46</b> Posunutí uz – příčný řez 42 – K04 .....	A-26
<b>Obr. A.47</b> Posunutí uz – příčný řez 90 – K04 .....	A-27
<b>Obr. A.48</b> Posunutí uz – příčný řez 138 – K04 .....	A-27
<b>Obr. A.49</b> Podélné napětí $S_x$ (pouze tlak) – deska – horní povrch – K04 .....	A-28
<b>Obr. A.50</b> Podélné napětí $S_x$ (pouze tah) – deska – horní povrch – K04 .....	A-28
<b>Obr. A.51</b> Podélné napětí $S_x$ (pouze tlak) – deska – dolní povrch – K04 .....	A-29
<b>Obr. A.52</b> Podélné napětí $S_x$ (pouze tah) – deska – dolní povrch – K04 .....	A-29
<b>Obr. A.53</b> Podélné napětí $S_x$ – trubka – horní povrch – K04 .....	A-30
<b>Obr. A.54</b> Podélné napětí $S_x$ – trubka – dolní povrch – K04 .....	A-30
<b>Obr. A.55</b> Normálová síla – závěsy – K04 .....	A-31
<b>Obr. A.56</b> Normálové napětí – závěsy – K04 .....	A-31
<b>Obr. A.57</b> První vlastní tvar – $f = 1,05$ Hz .....	A-32
<b>Obr. A.58</b> Druhý vlastní tvar – $f = 1,09$ Hz .....	A-32
<b>Obr. A.59</b> Třetí vlastní tvar – $f = 1,39$ Hz .....	A-33
<b>Obr. A.60</b> Čtvrtý vlastní tvar – $f = 1,86$ Hz .....	A-33
<b>Obr. A.61</b> Pátý vlastní tvar – $f = 2,50$ Hz .....	A-34
<b>Obr. A.62</b> Šestý vlastní tvar – $f = 3,30$ Hz .....	A-34
<b>Obr. A.63</b> Sedmý vlastní tvar – $f = 3,40$ Hz .....	A-35
<b>Obr. A.64</b> Osmý vlastní tvar – $f = 3,81$ Hz .....	A-35
<b>Obr. A.65</b> Graf harmonické odezvy uzlu 440732 .....	A-36
<b>Obr. A.66</b> Vyhodnocení harmonické odezvy uzlu 440732 .....	A-36
<b>Obr. A.67</b> Graf harmonické odezvy uzlu 461252 .....	A-37
<b>Obr. A.68</b> Vyhodnocení harmonické odezvy uzlu 461252 .....	A-37
<b>Obr. A.69</b> Graf harmonické odezvy uzlu 451319 .....	A-38
<b>Obr. A.70</b> Vyhodnocení harmonické odezvy uzlu 451319 .....	A-38
<b>Obr. A.71</b> Graf harmonické odezvy uzlu 464882 .....	A-39
<b>Obr. A.72</b> Vyhodnocení harmonické odezvy uzlu 464882 .....	A-39



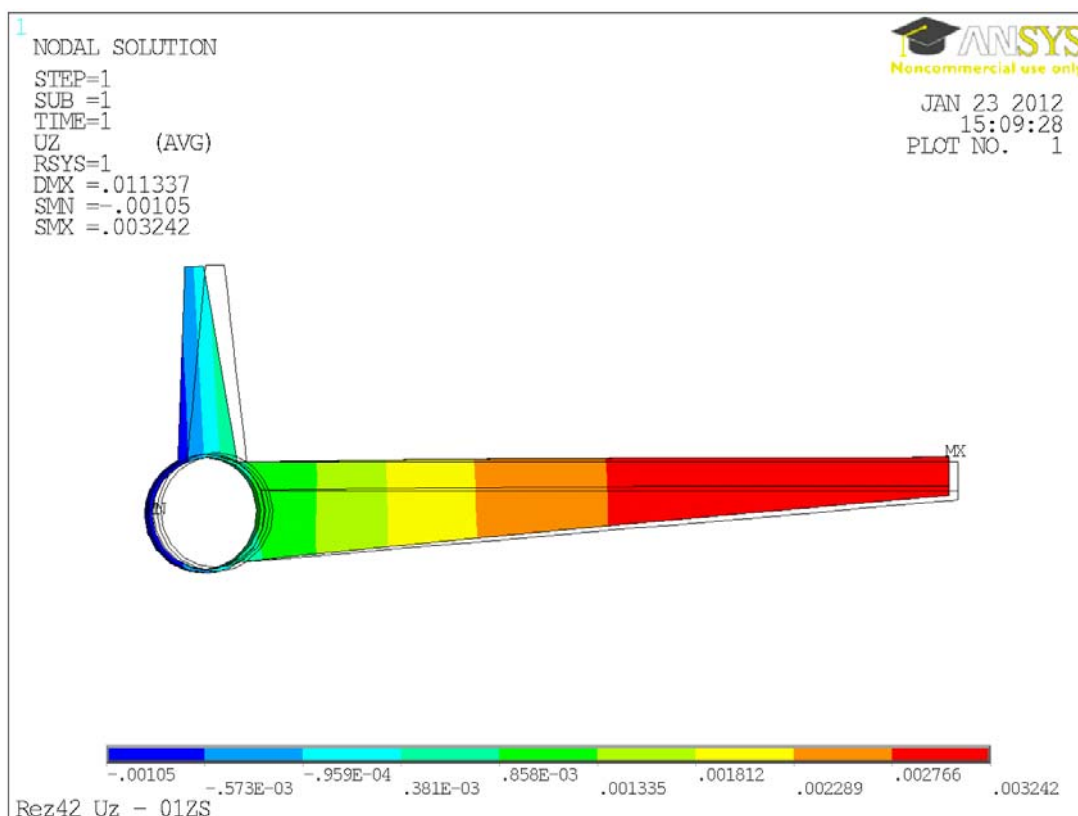
**Obr. A.1** Kombinace K01 – vlastní tíha a předpětí



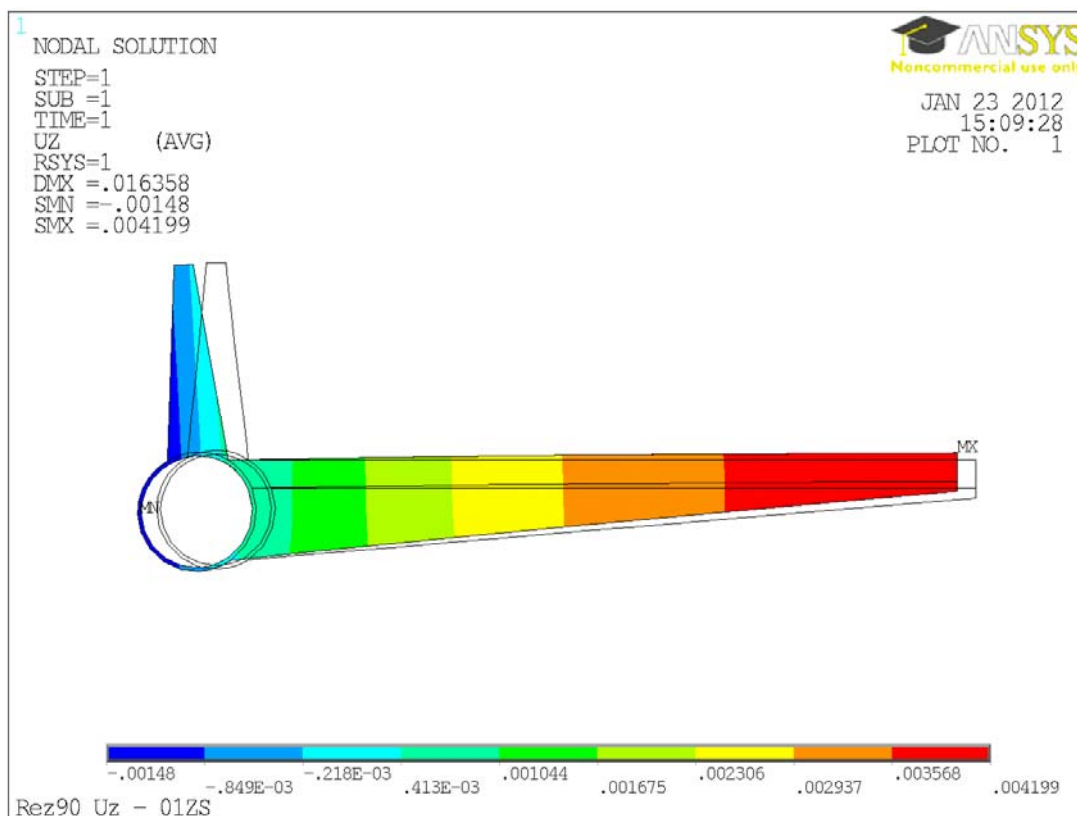
**Obr. A.2** Posunutí uz – K01



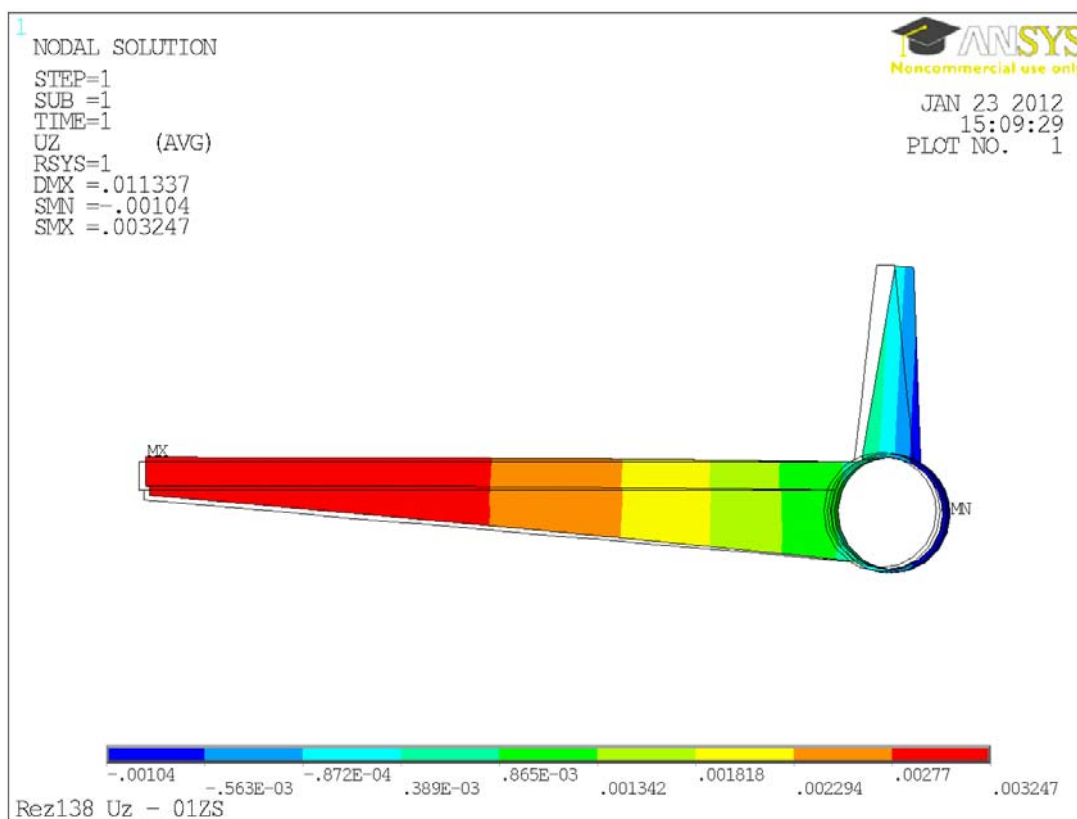
Obr. A.3 Posunutí ux – K01



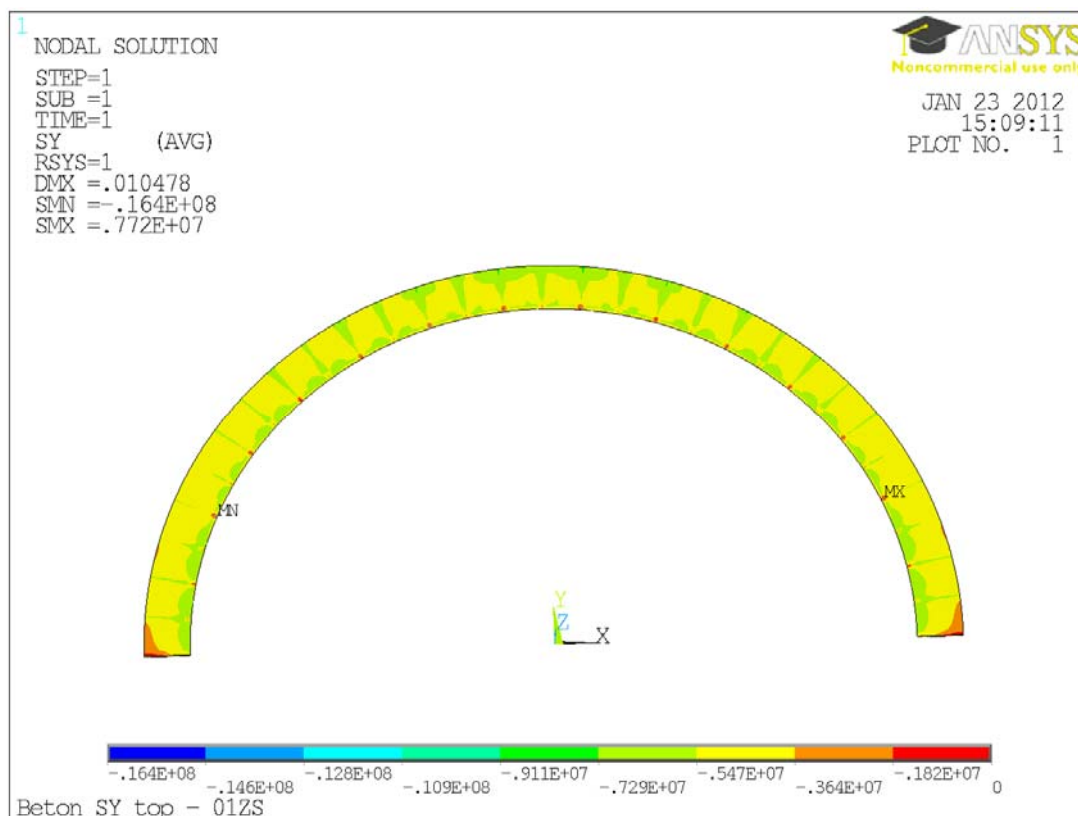
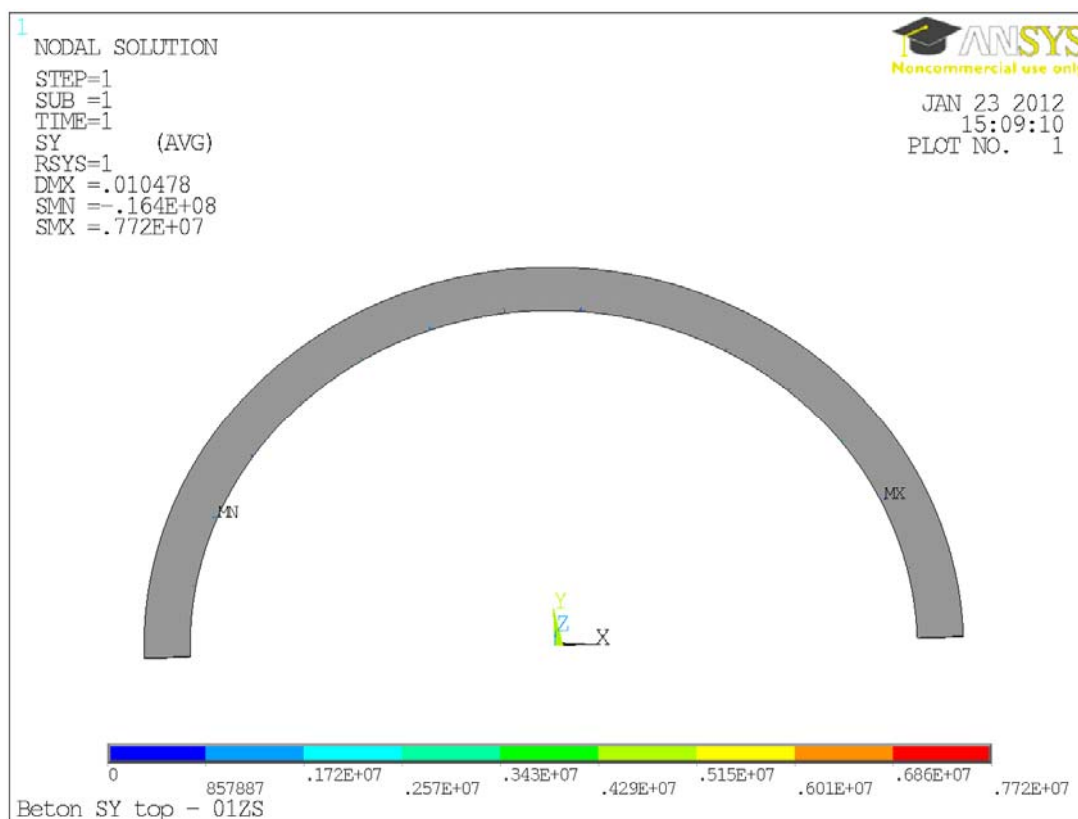
Obr. A.4 Posunutí uz – příčný řez 42 – K01

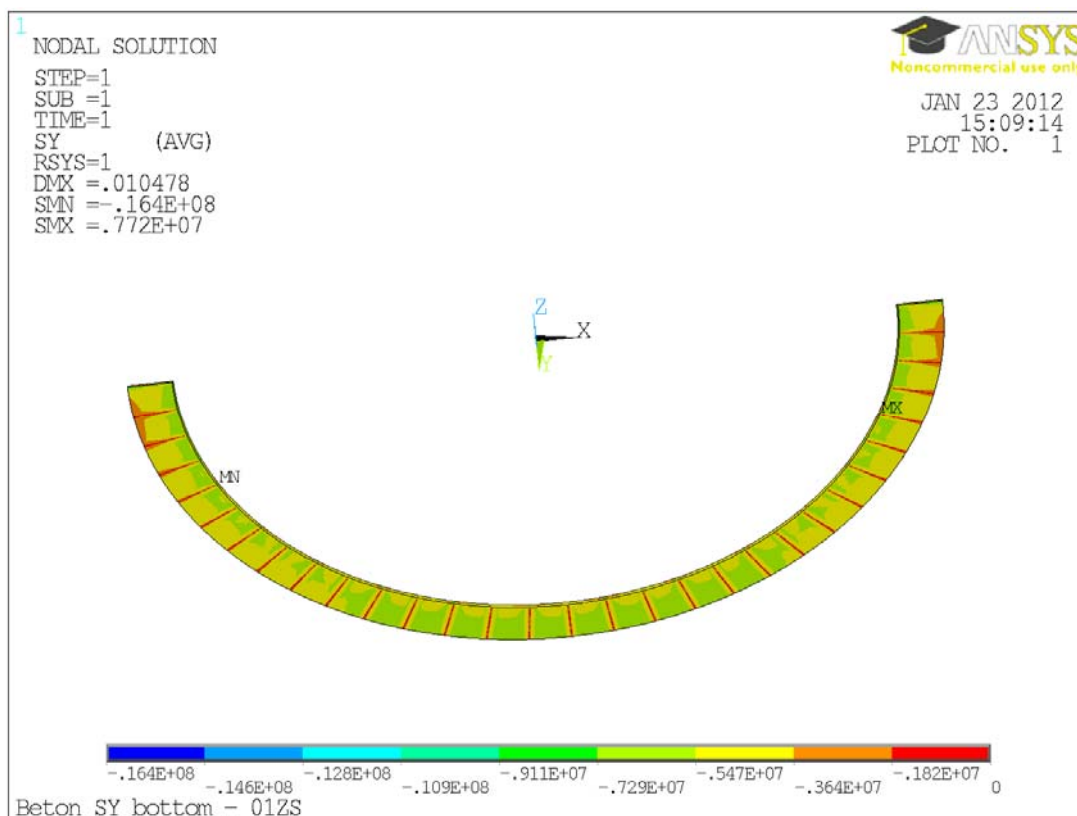


Obr. A.5 Posunutí uz – příčný řez 90 – K01

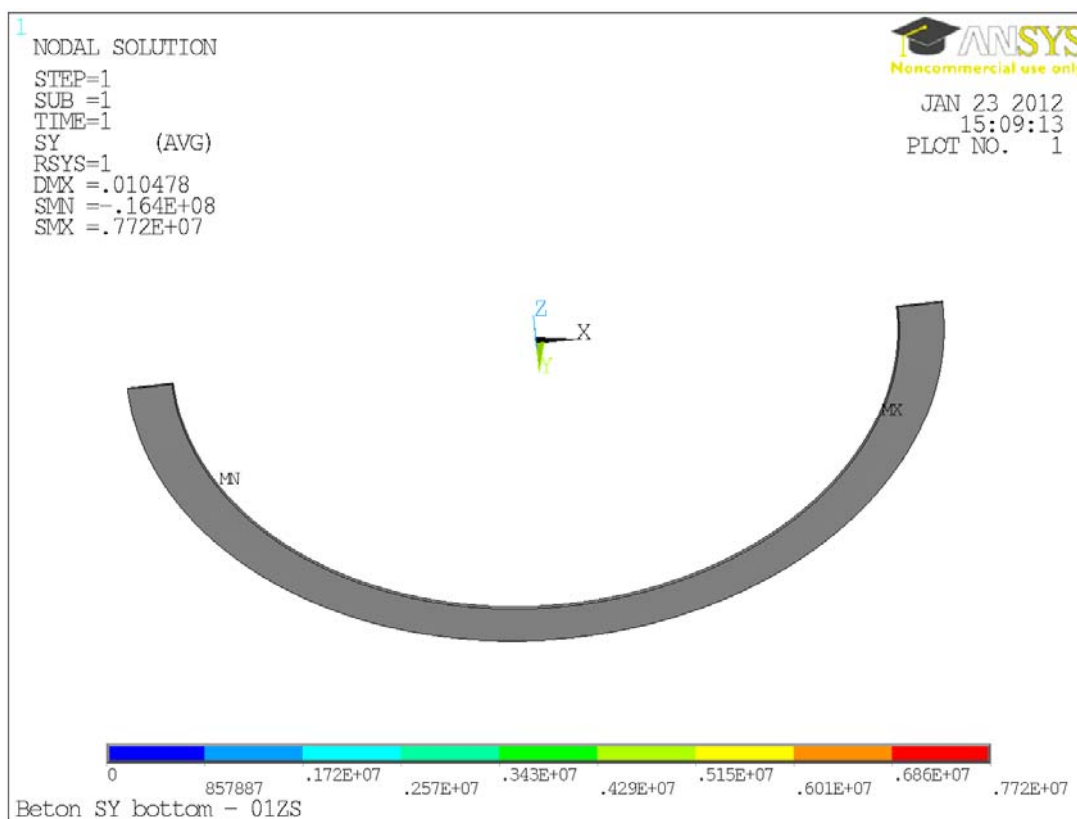


Obr. A.6 Posunutí uz – příčný řez 138 – K01

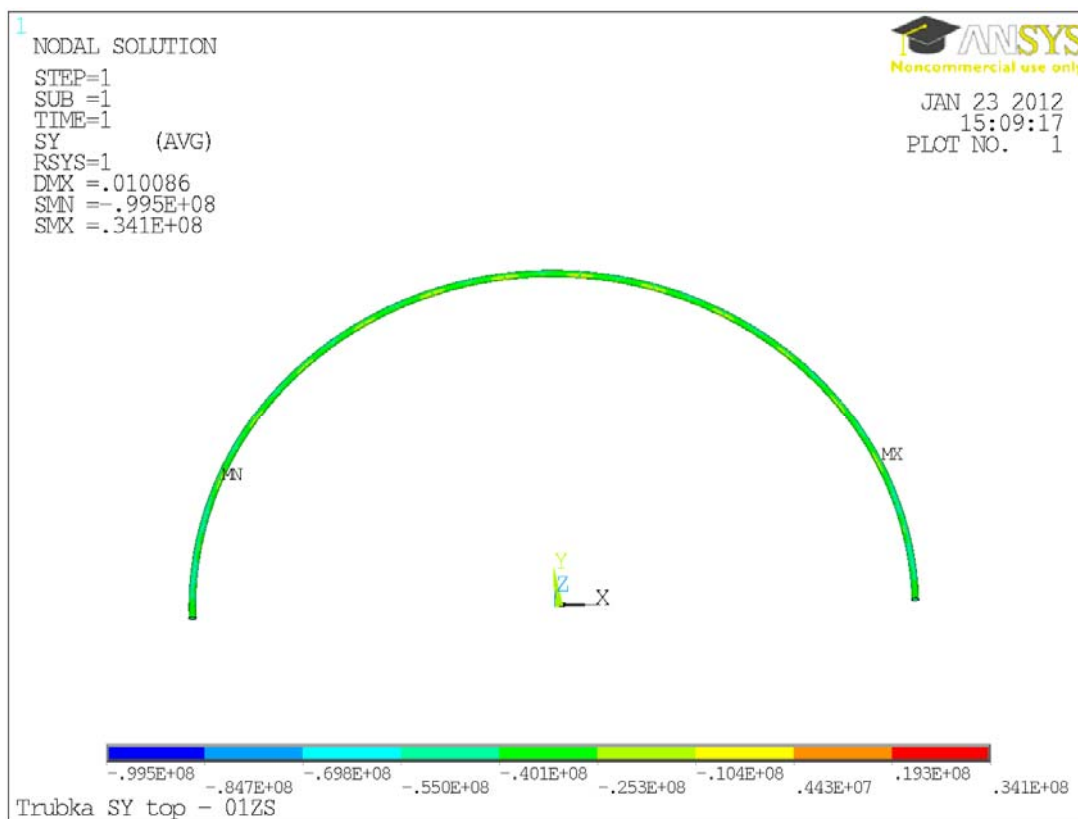
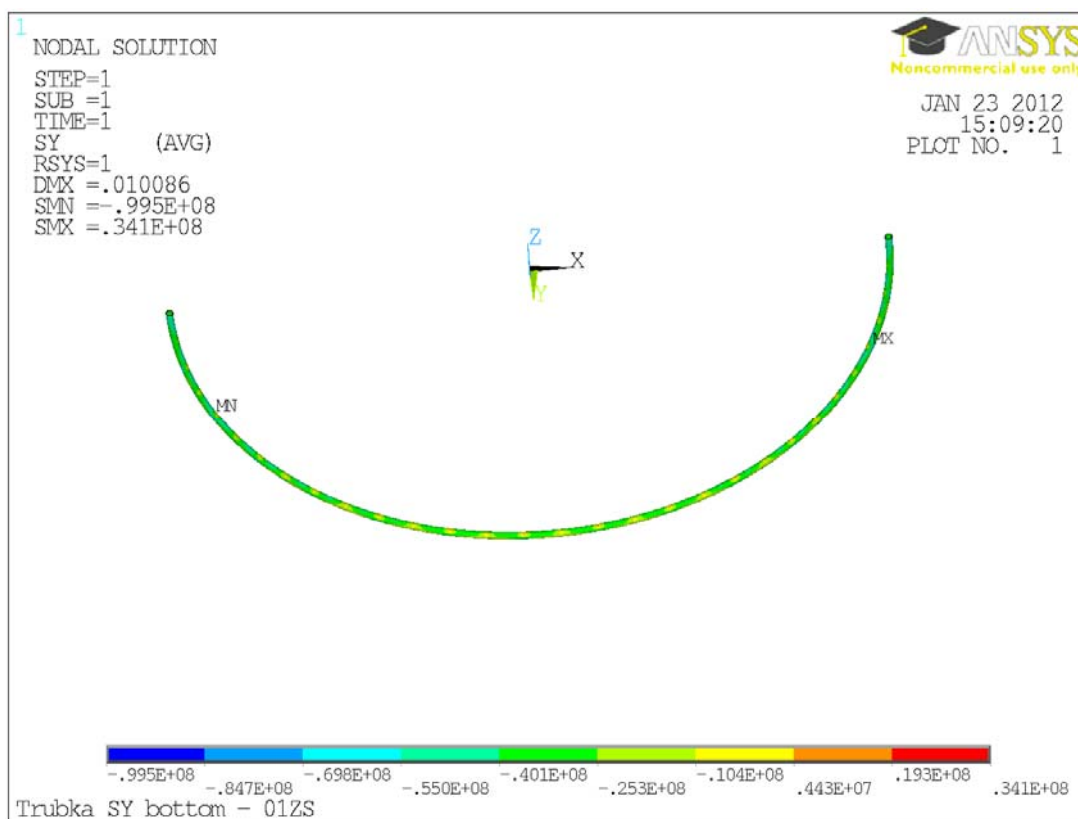
Obr. A.7 Podélné napětí  $S_x$  (pouze tlak) – deska – horní povrch – K01Obr. A.8 Podélné napětí  $S_x$  (pouze tah) – deska – horní povrch – K01



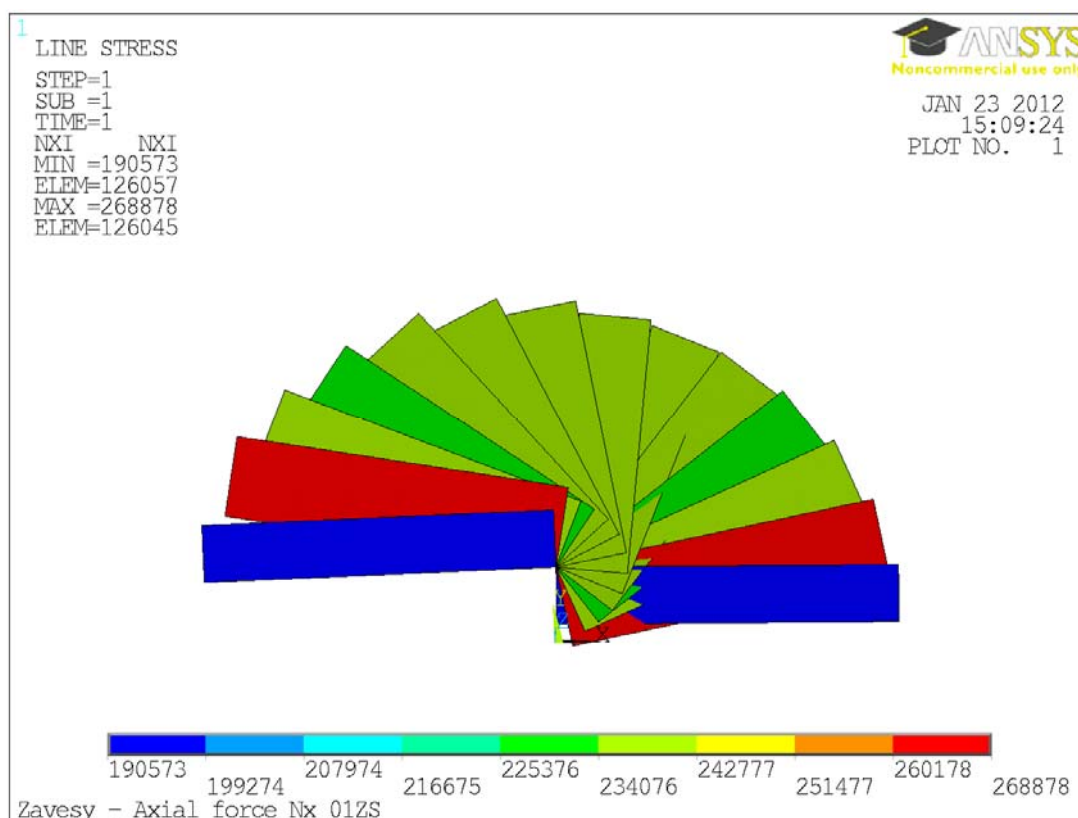
**Obr. A.9** Podélné napětí  $S_x$  (pouze tlak) – deska – dolní povrch – K01



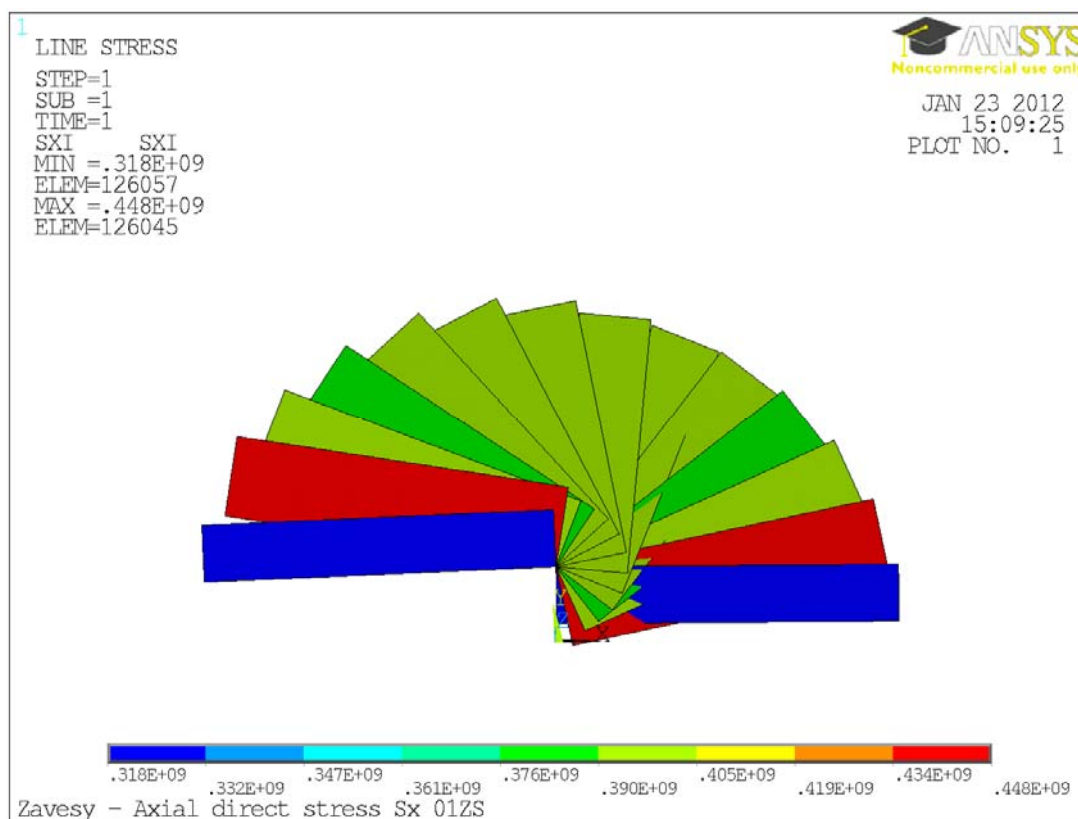
**Obr. A.10** Podélné napětí  $S_x$  (pouze tah) – deska – dolní povrch – K01

Obr. A.11 Podélné napětí  $S_x$  – trubka – horní povrch – K01Obr. A.12 Podélné napětí  $S_x$  – trubka – dolní povrch – K01



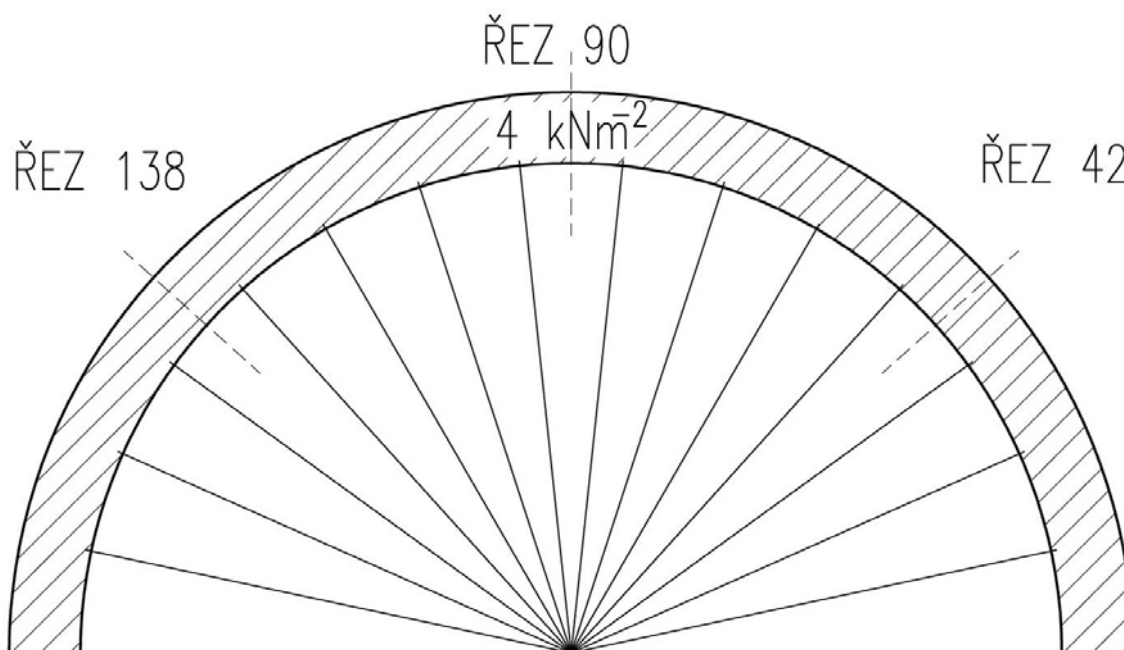


Obr. A.13 Normálová síla – závěsy – K01

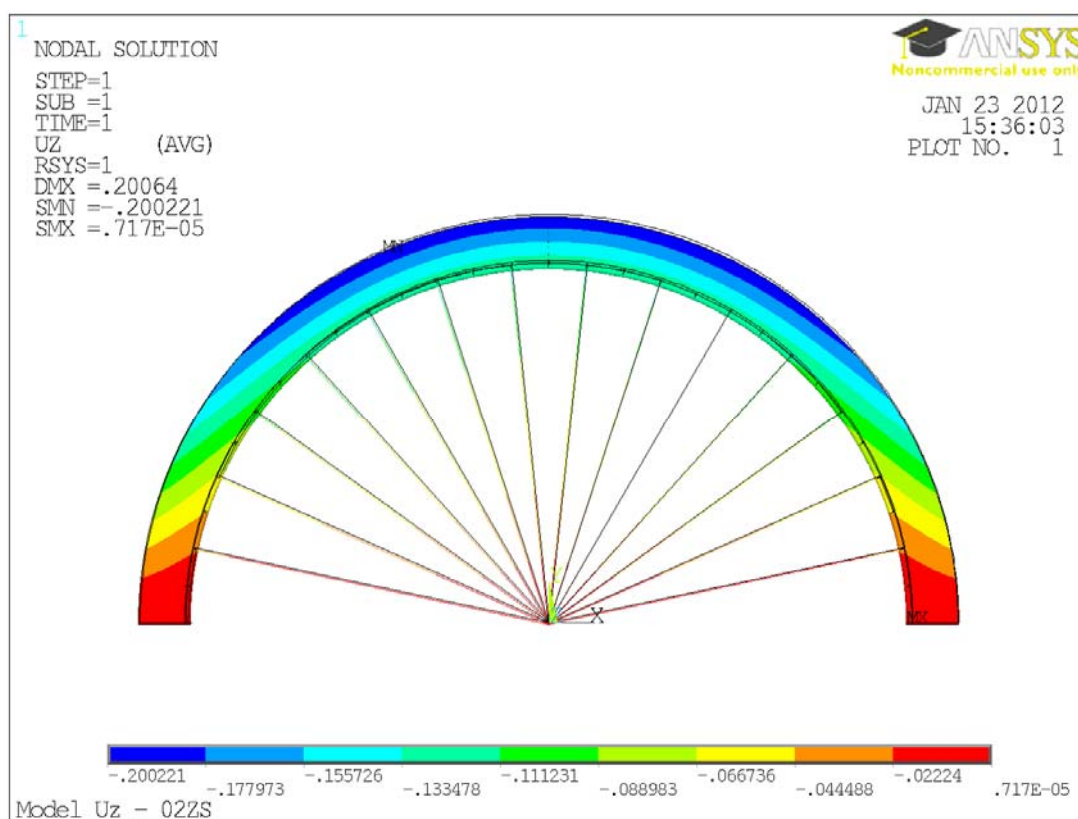


Obr. A.14 Normálové napětí – závěsy – K01

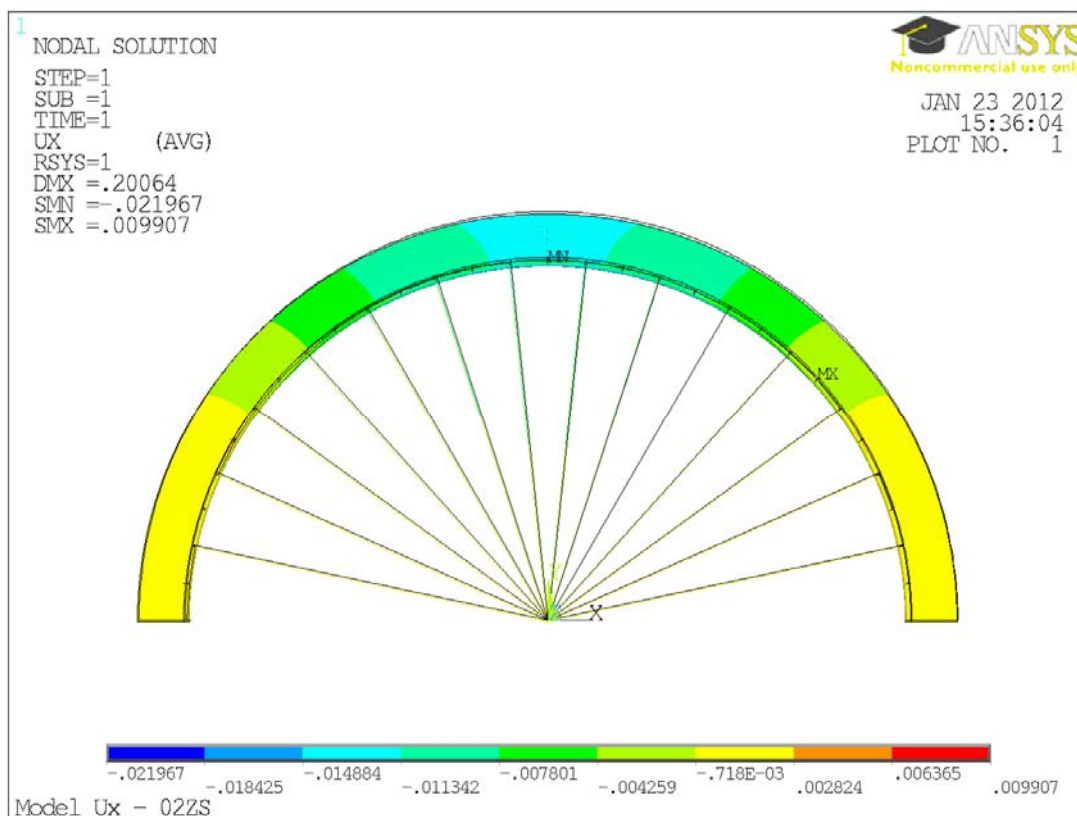




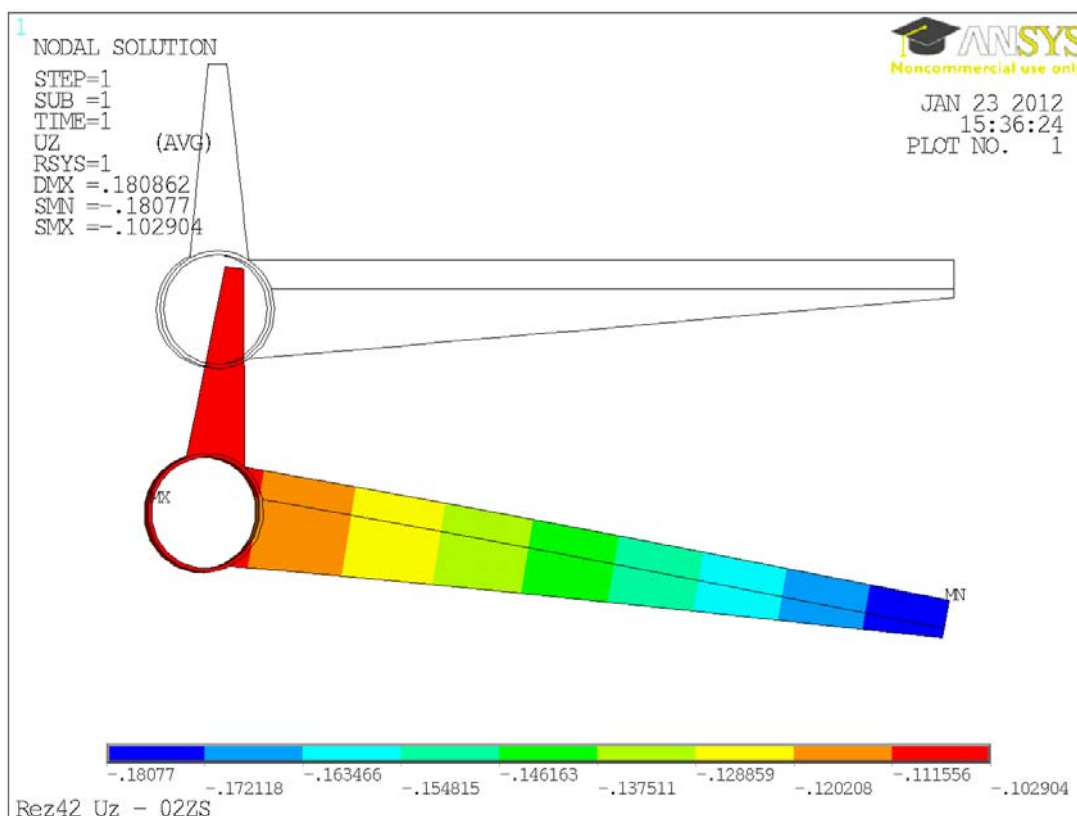
**Obr. A.15** Kombinace K02 – vlastní tíha, předpětí a zatížení chodci



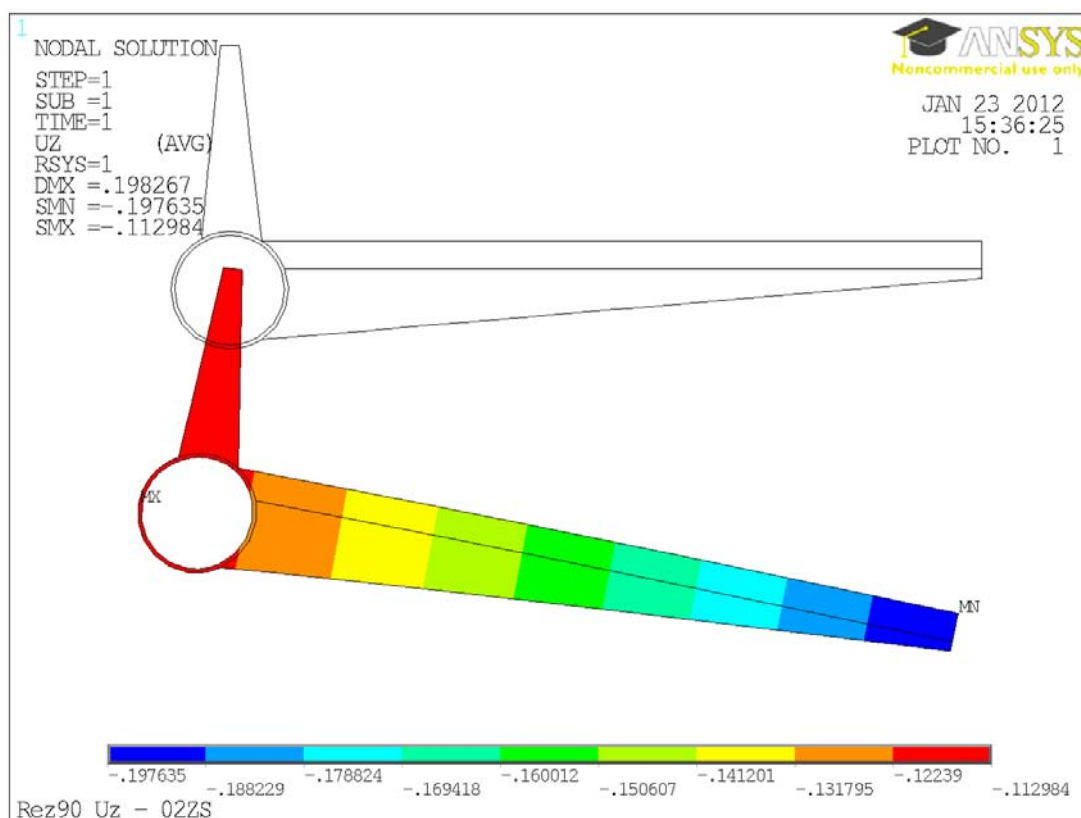
**Obr. A.16** Posunutí uz – K02



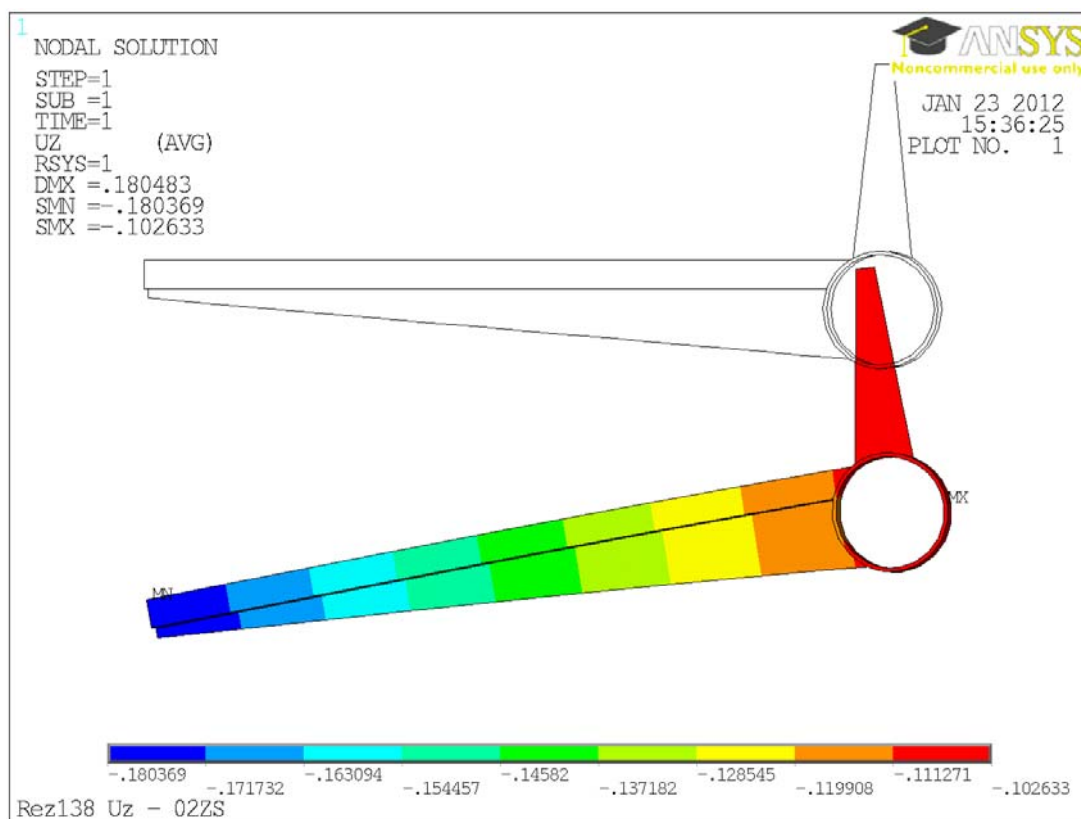
Obr. A.17 Posunutí ux – K02



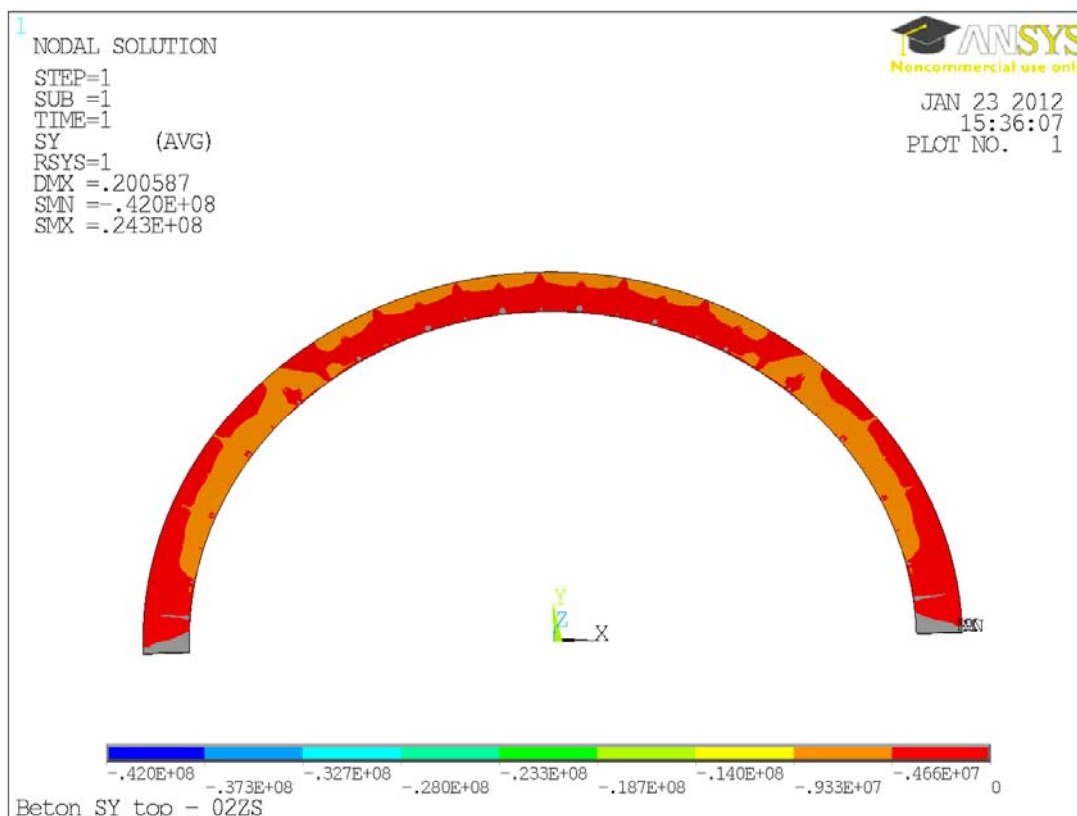
Obr. A.18 Posunutí uz – příčný řez 42 – K02



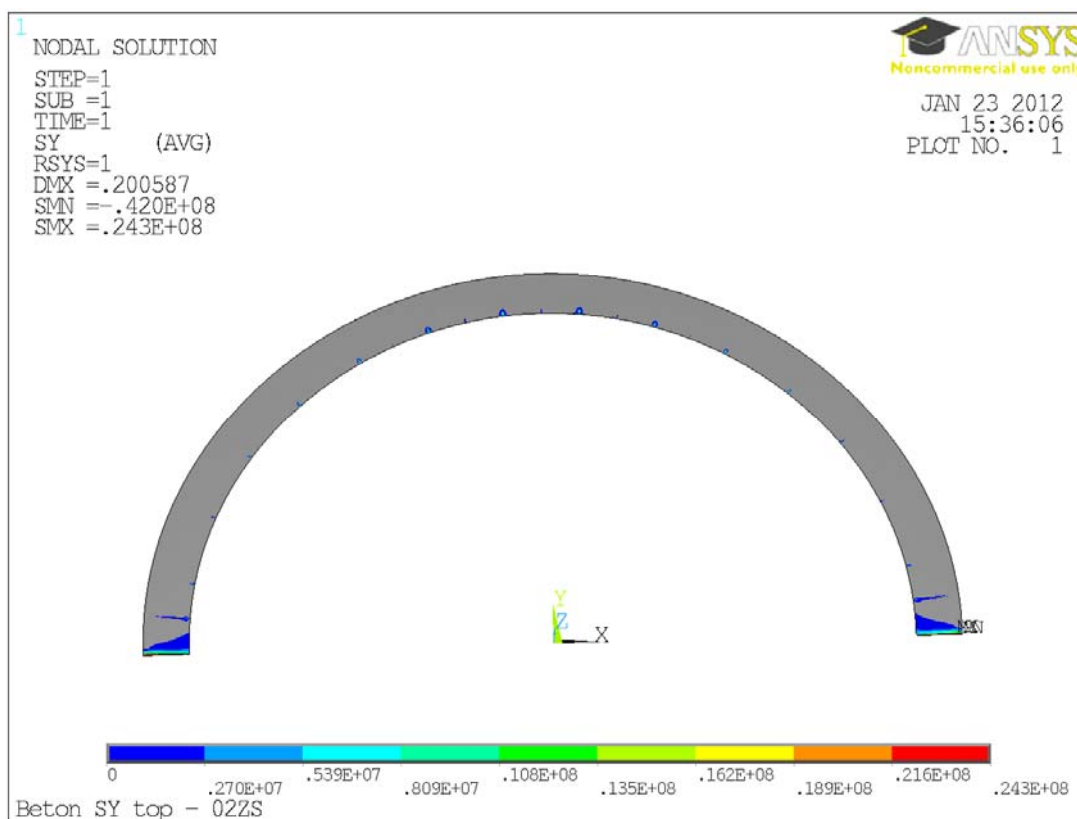
Obr. A.19 Posunutí uz – příčný řez 90 – K02



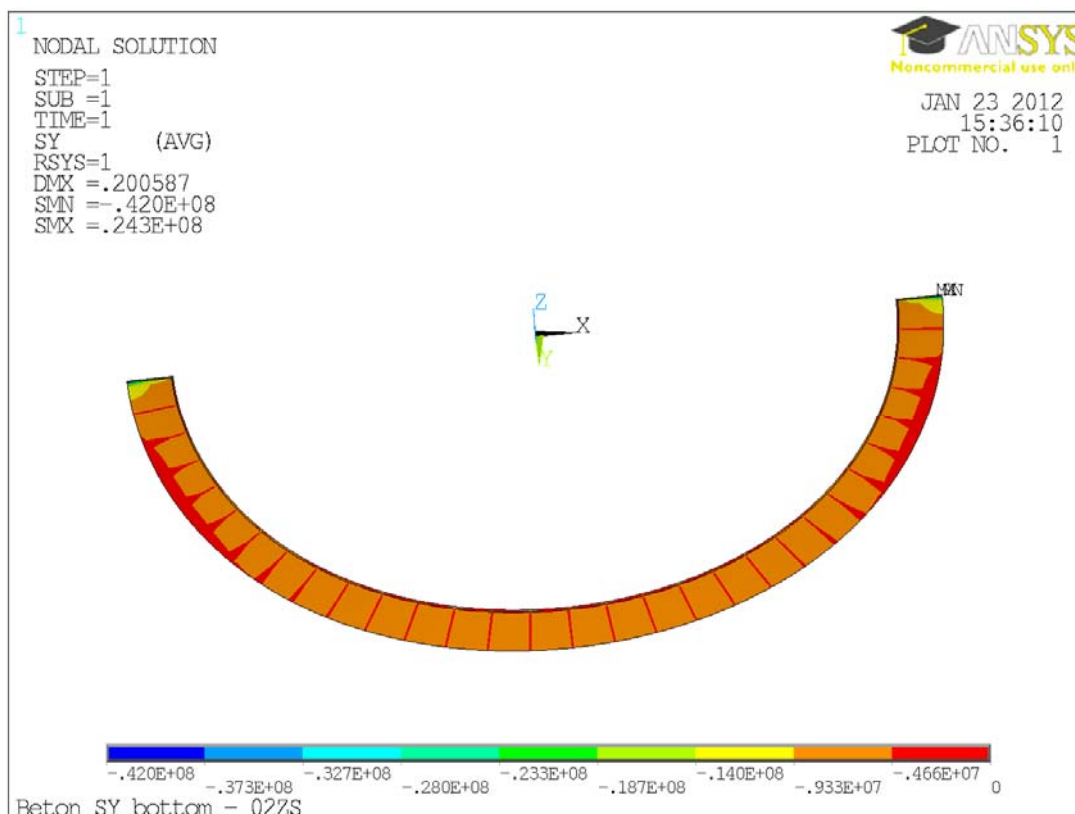
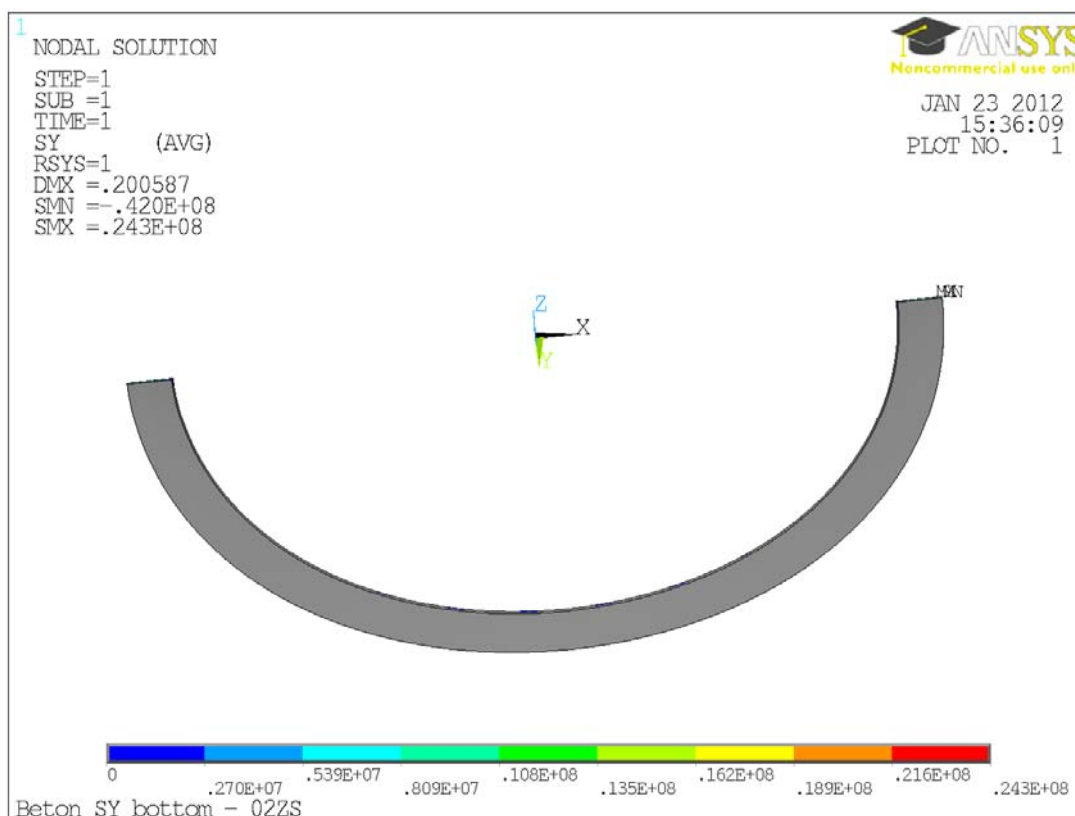
Obr. A.20 Posunutí uz – příčný řez 138 – K02

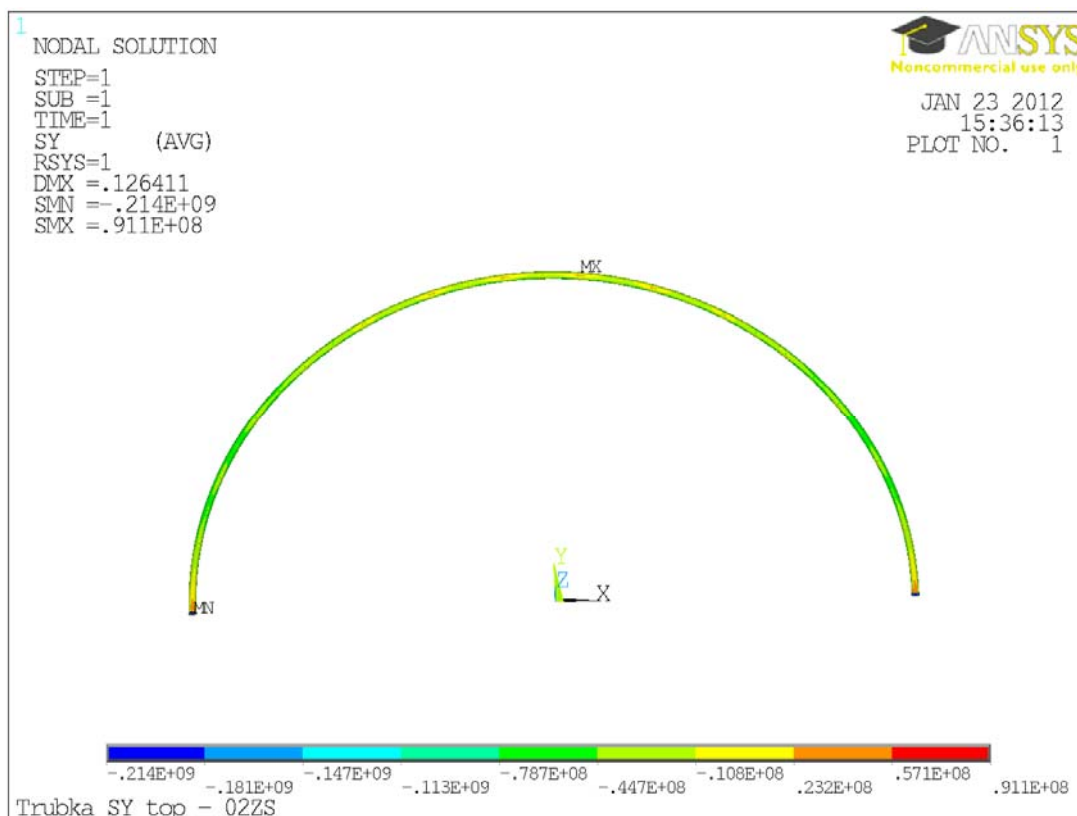
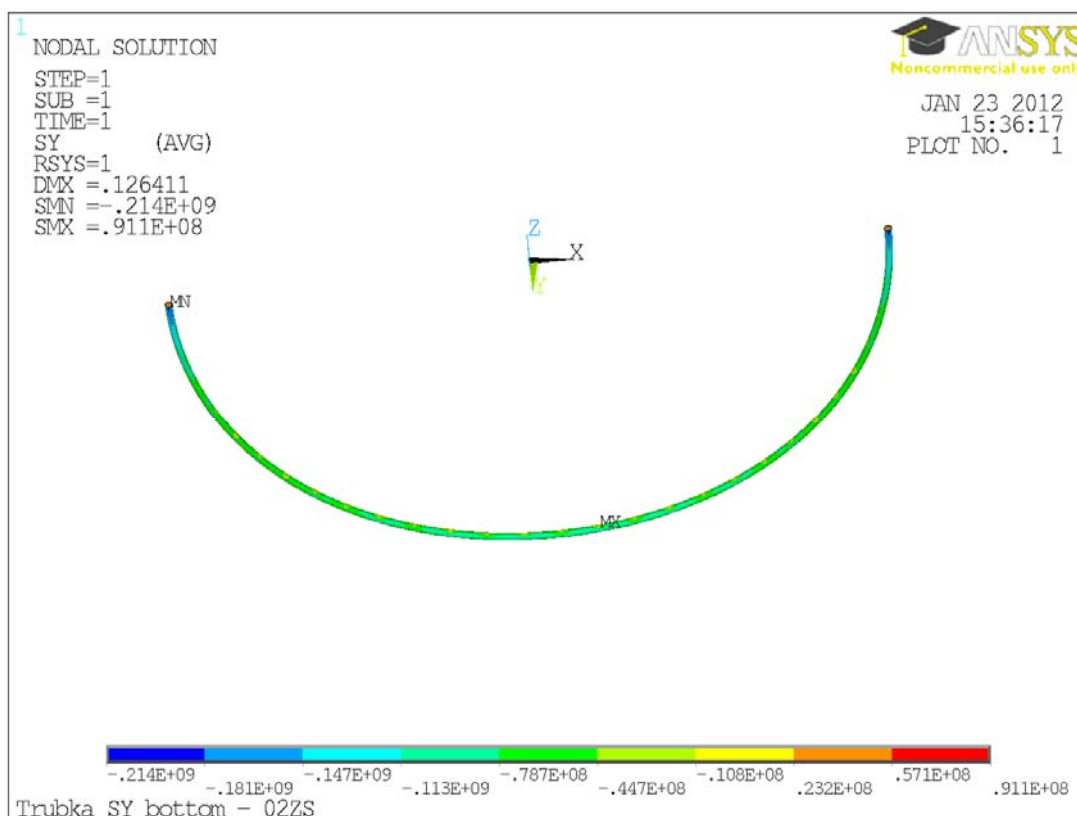


**Obr. A.21** Podélné napětí  $S_x$  (pouze tlak) – deska – horní povrch – K02

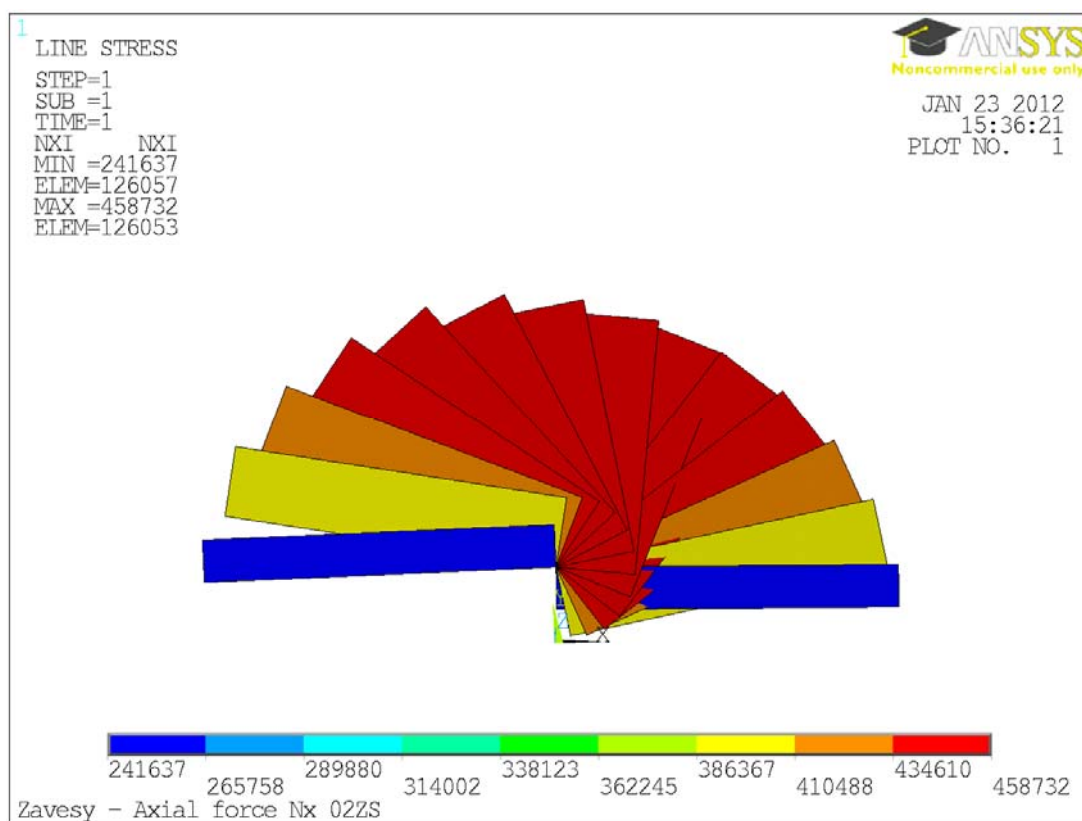


**Obr. A.22** Podélné napětí  $S_x$  (pouze tah) – deska – horní povrch – K02

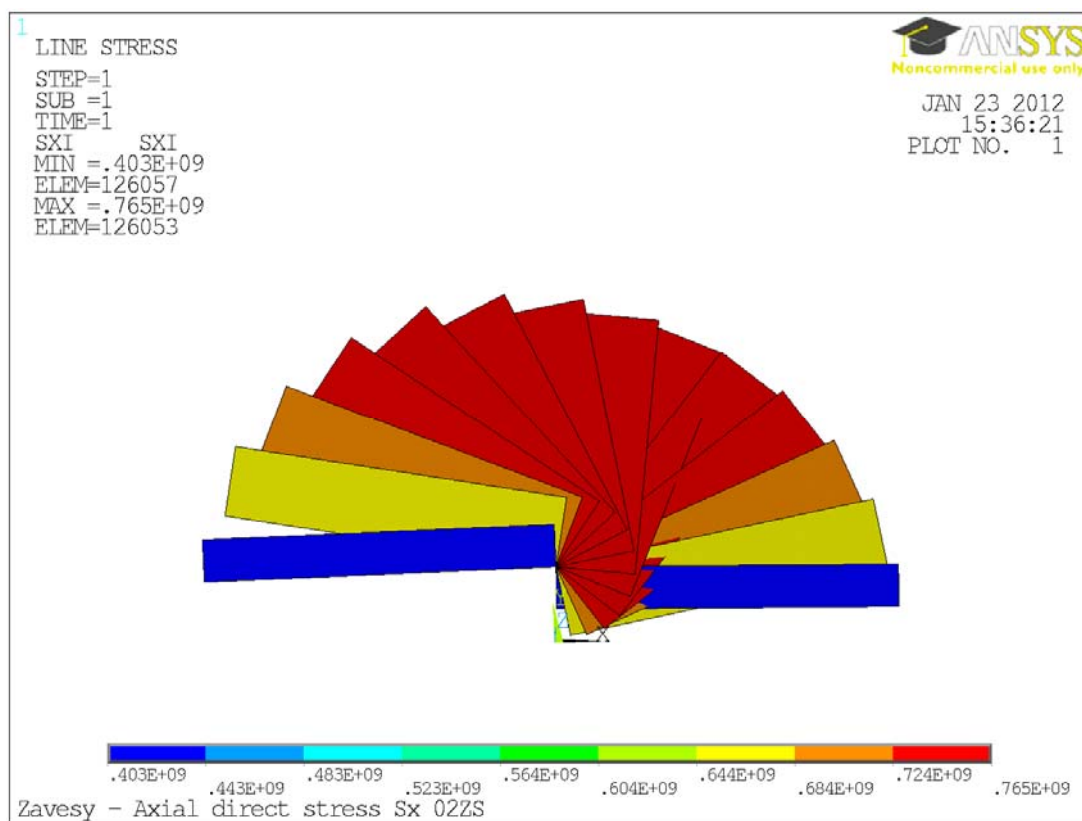
Obr. A.23 Podélné napětí  $S_x$  (pouze tlak) – deska – dolní povrch – K02Obr. A.24 Podélné napětí  $S_x$  (pouze tah) – deska – dolní povrch – K02

Obr. A.25 Podélné napětí  $S_x$  – trubka – horní povrch – K02Obr. A.26 Podélné napětí  $S_x$  – trubka – dolní povrch – K02

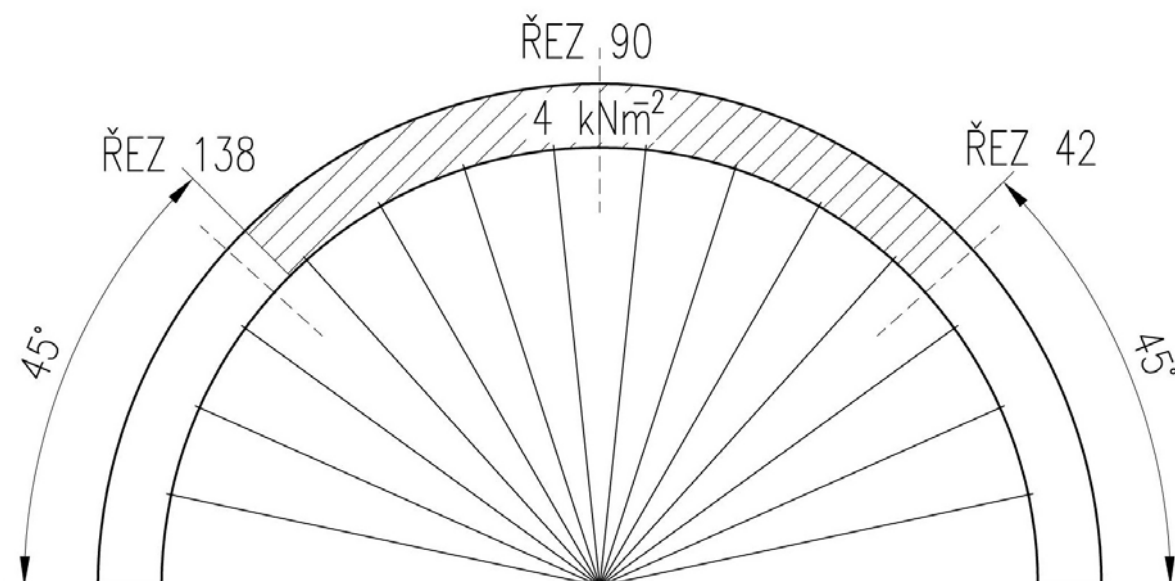




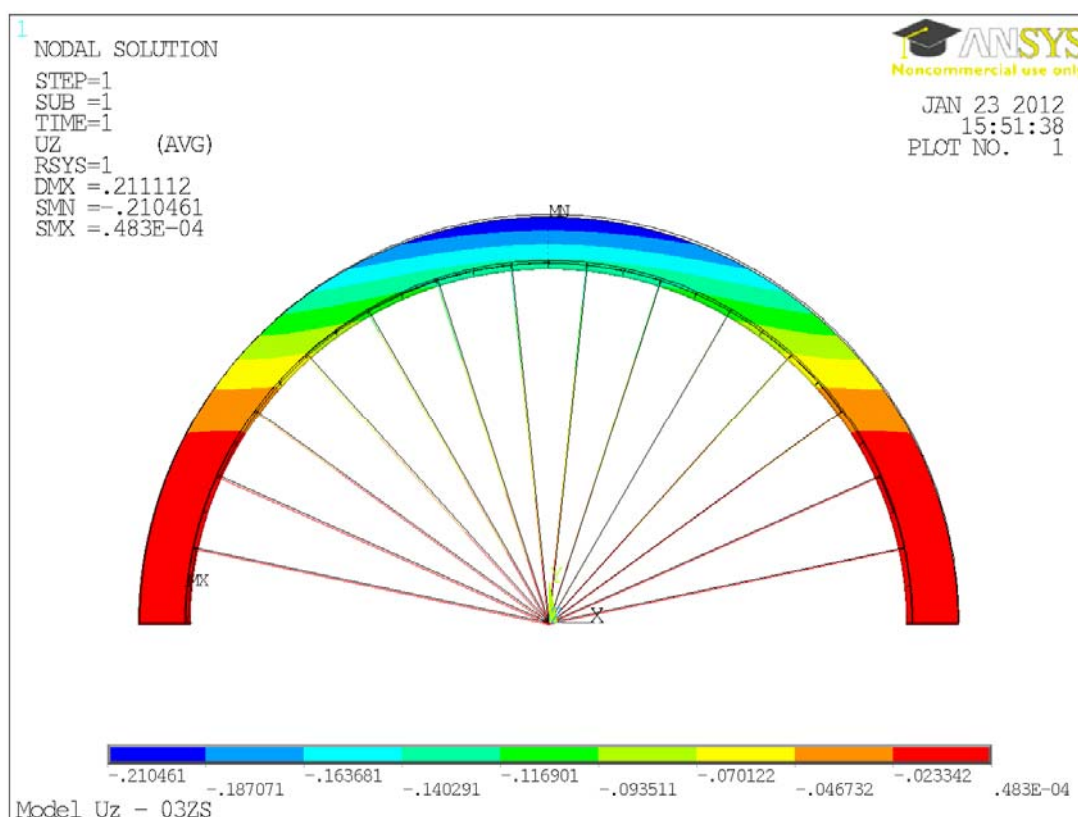
Obr. A.27 Normálová síla – závěsy – K02



Obr. A.28 Normálové napětí – závěsy – K02

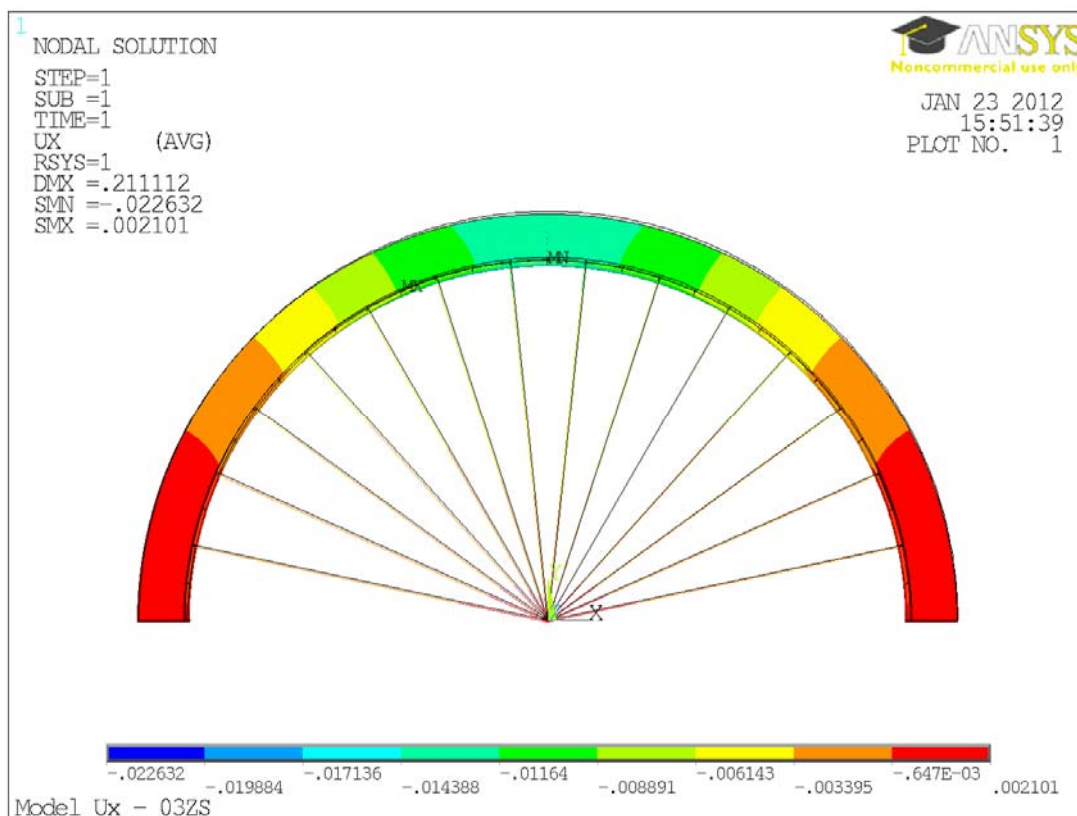


**Obr. A.29** Kombinace K03 – vlastní tíha, předpětí a zatížení chodci

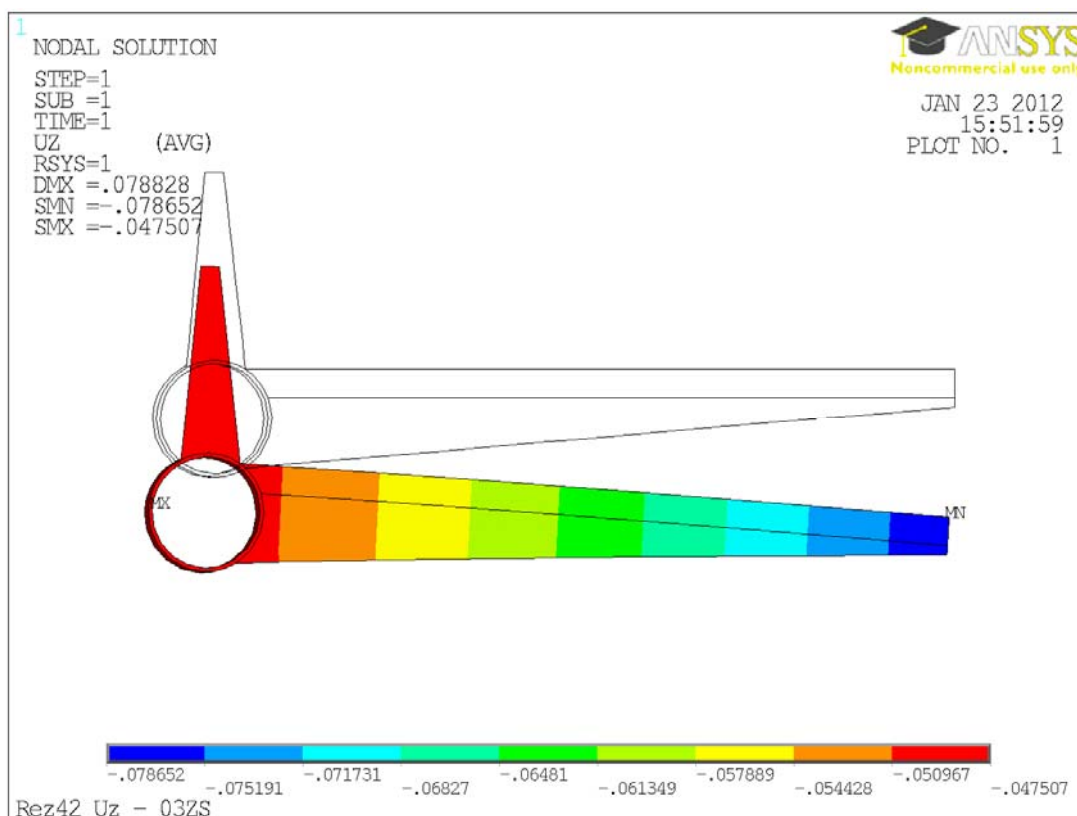


**Obr. A.30** Posunutí uz – K03

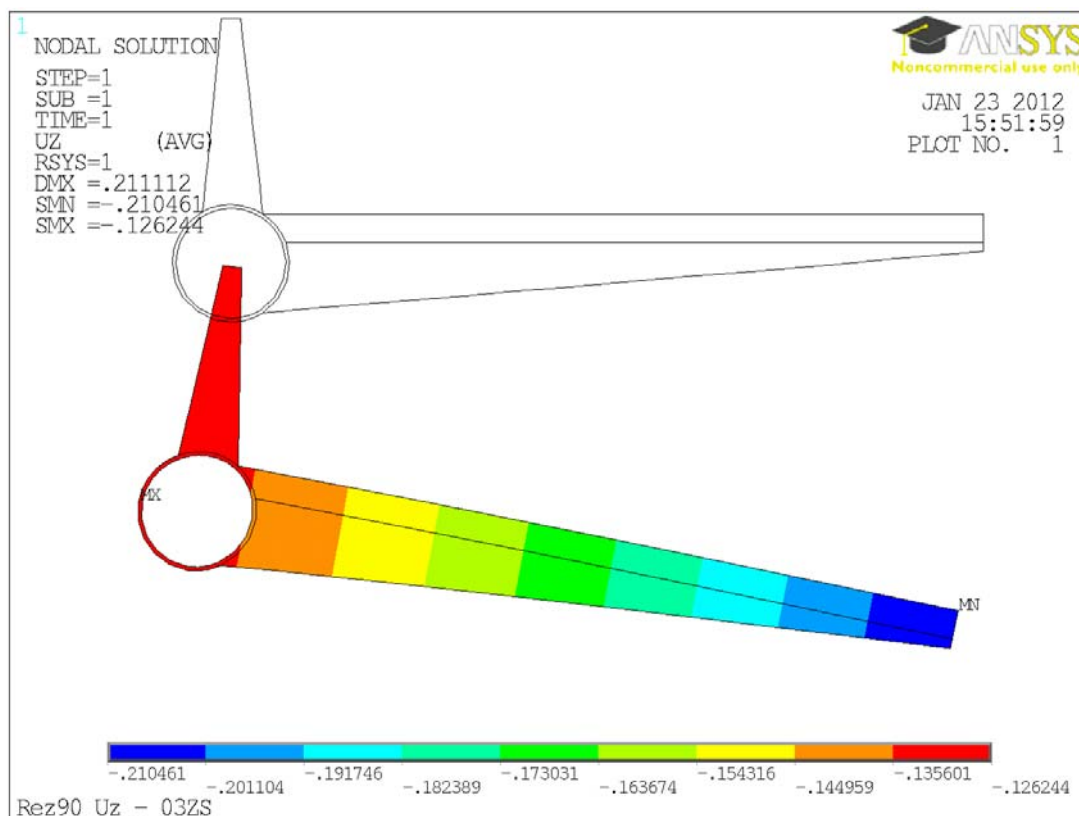




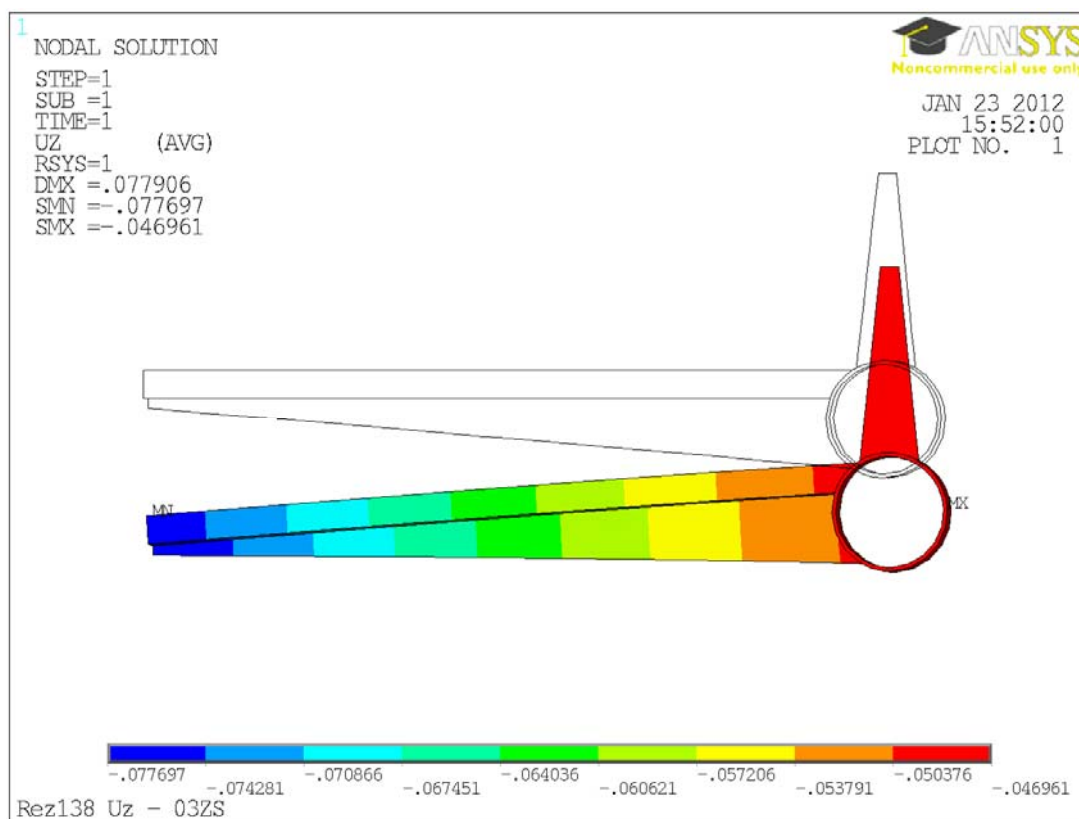
Obr. A.31 Posunutí ux – K03



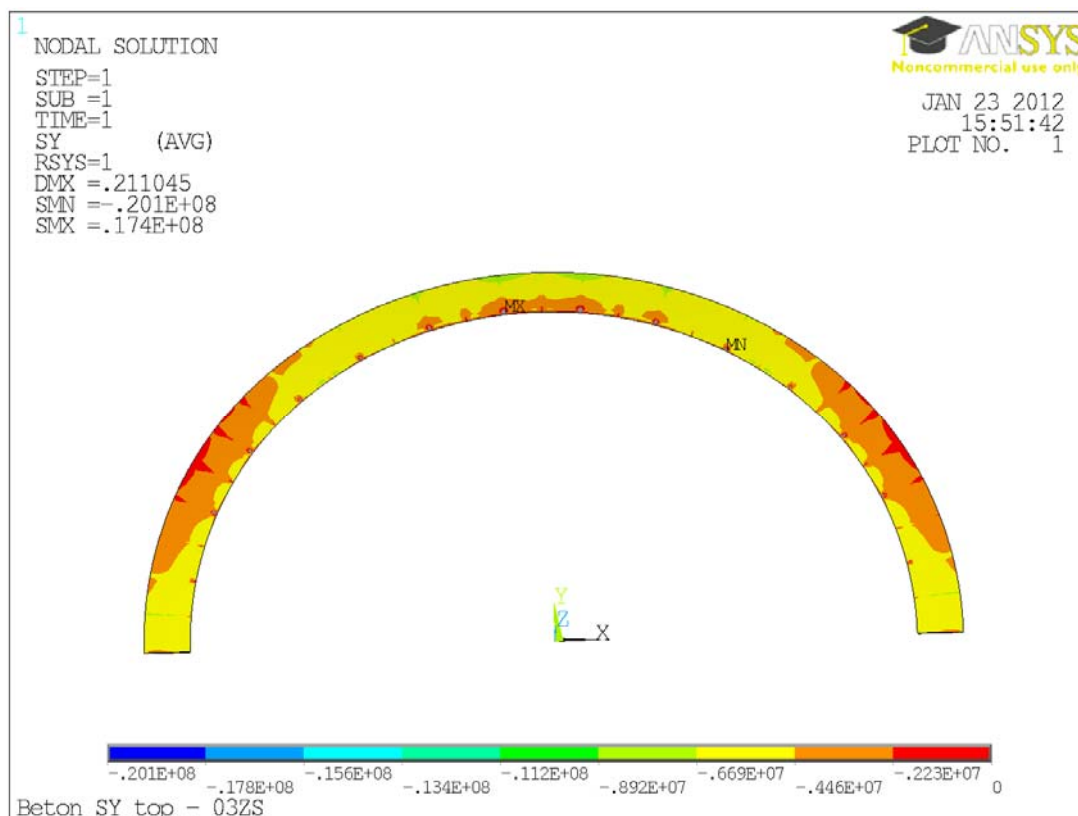
Obr. A.32 Posunutí uz – příčný řez 42 – K03



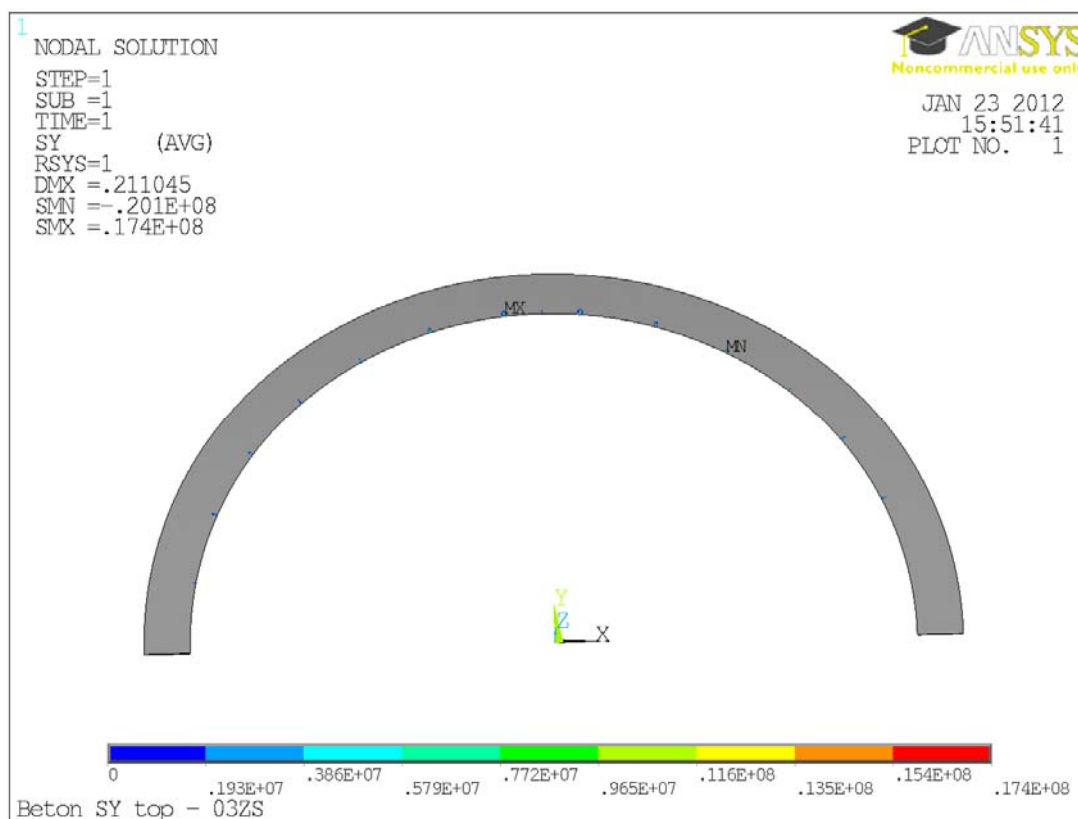
Obr. A.33 Posunutí uz – příčný řez 90 – K03



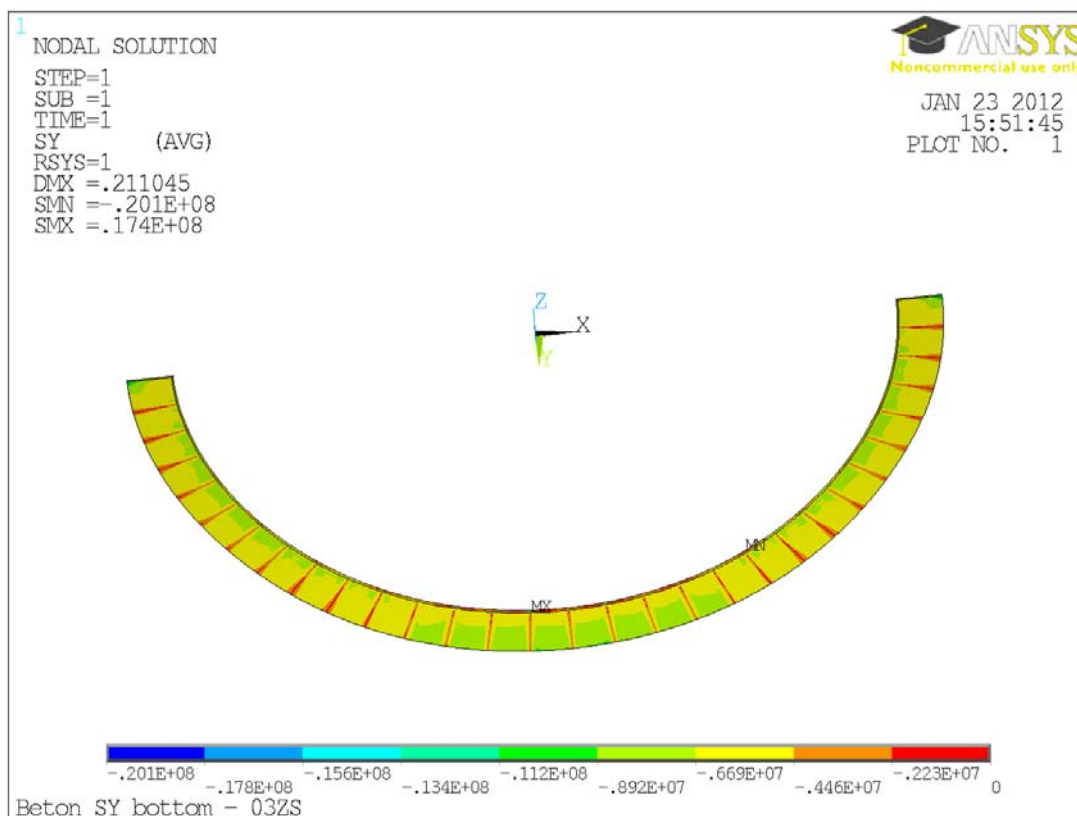
Obr. A.34 Posunutí uz – příčný řez 138 – K03



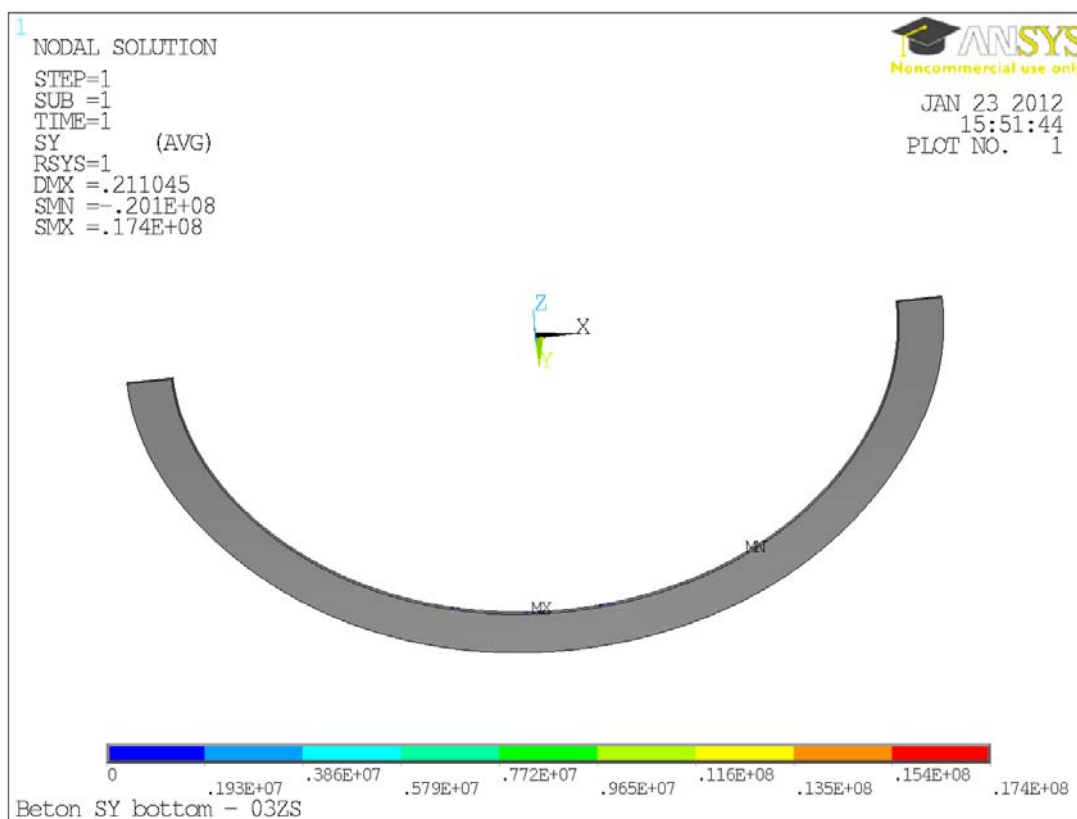
**Obr. A.35** Podélné napětí  $S_x$  (pouze tlak) – deska – horní povrch – K03



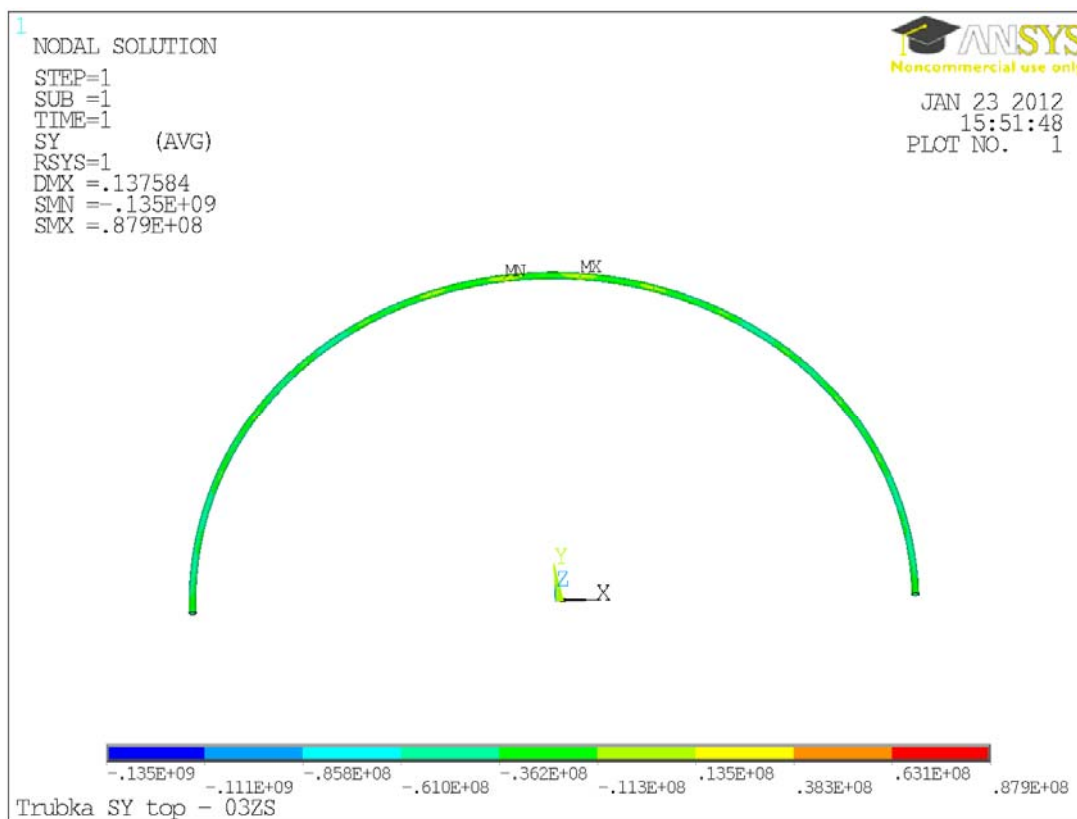
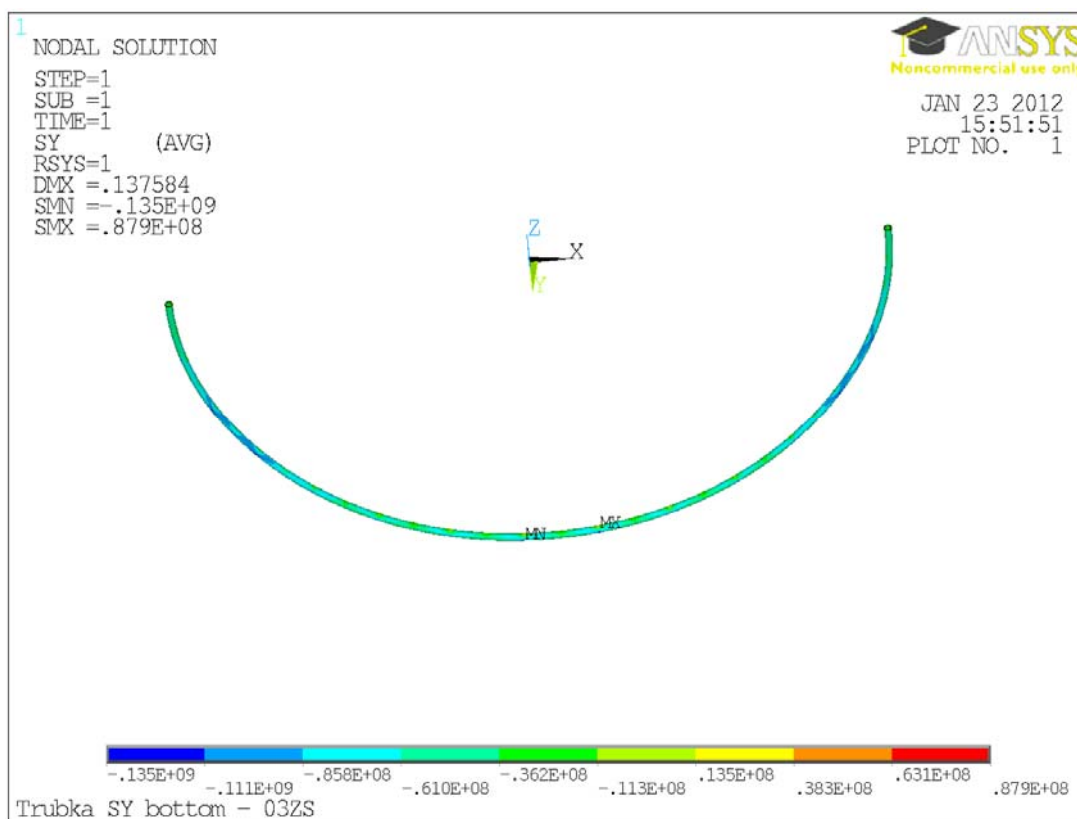
**Obr. A.36** Podélné napětí  $S_x$  (pouze tah) – deska – horní povrch – K03

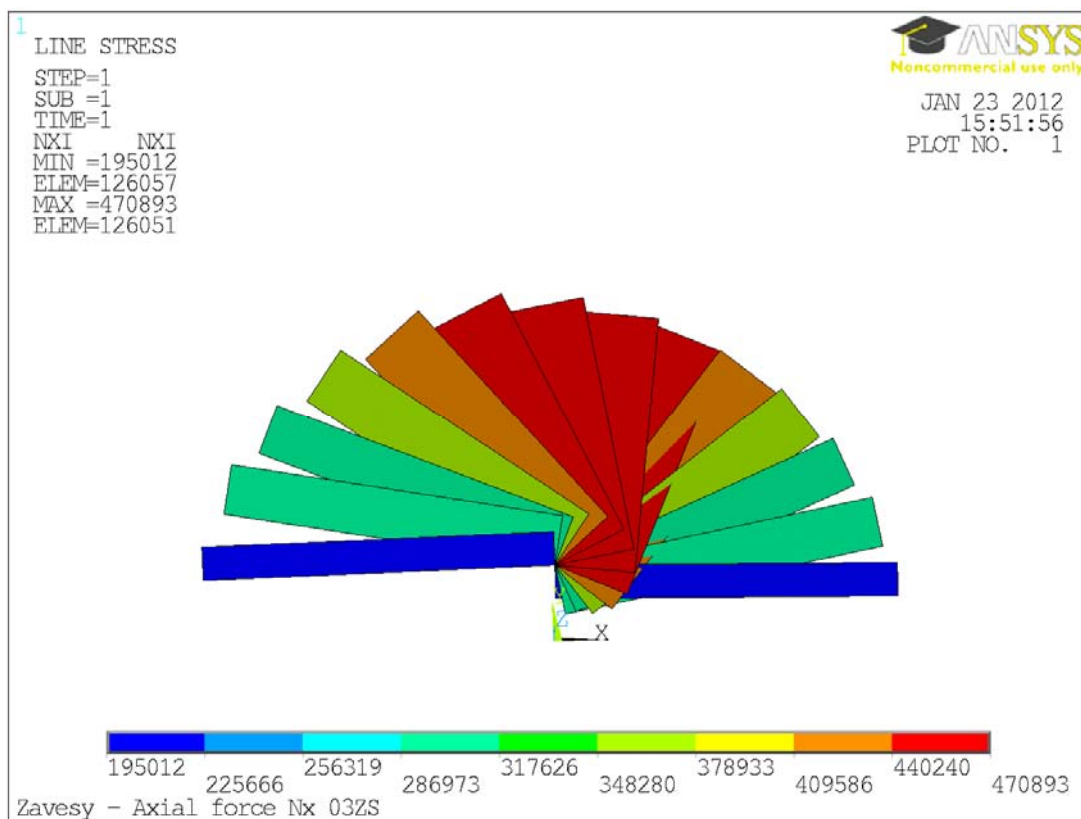


**Obr. A.37** Podélné napětí  $S_x$  (pouze tlak) – deska – dolní povrch – K03

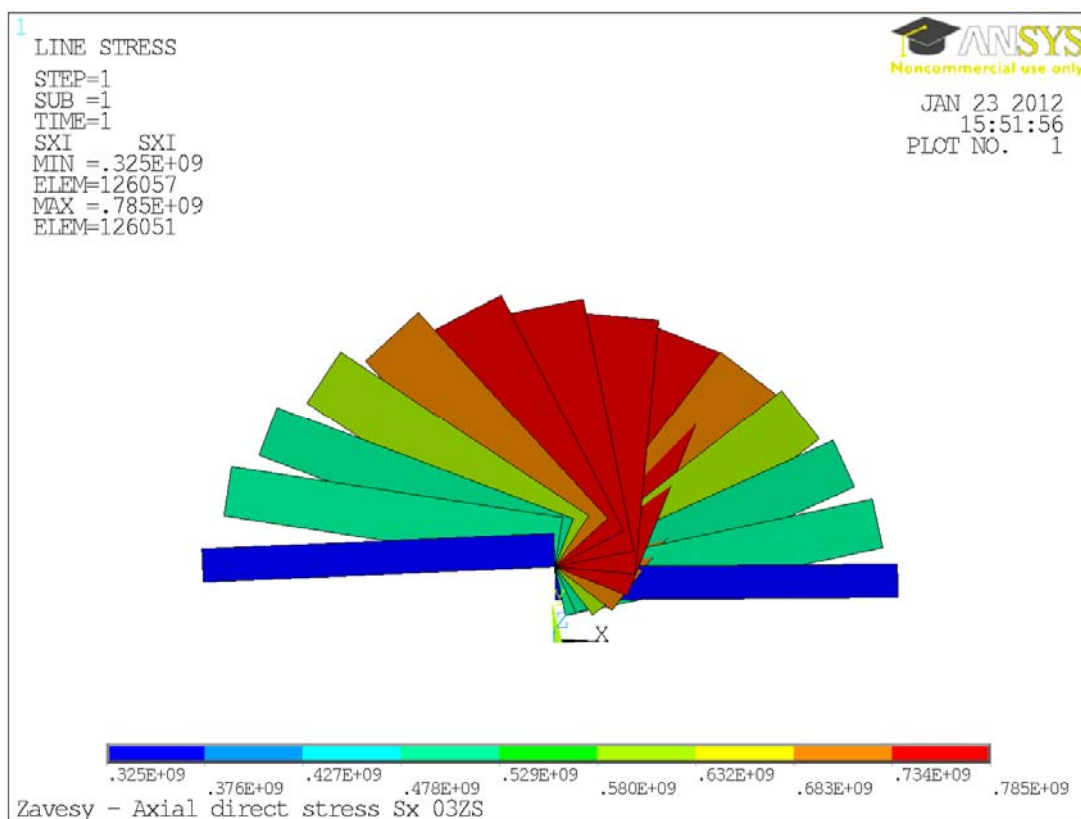


**Obr. A.38** Podélné napětí  $S_x$  (pouze tah) – deska – dolní povrch – K03

Obr. A.39 Podélné napětí  $S_x$  – trubka – horní povrch – K03Obr. A.40 Podélné napětí  $S_x$  – trubka – dolní povrch – K03

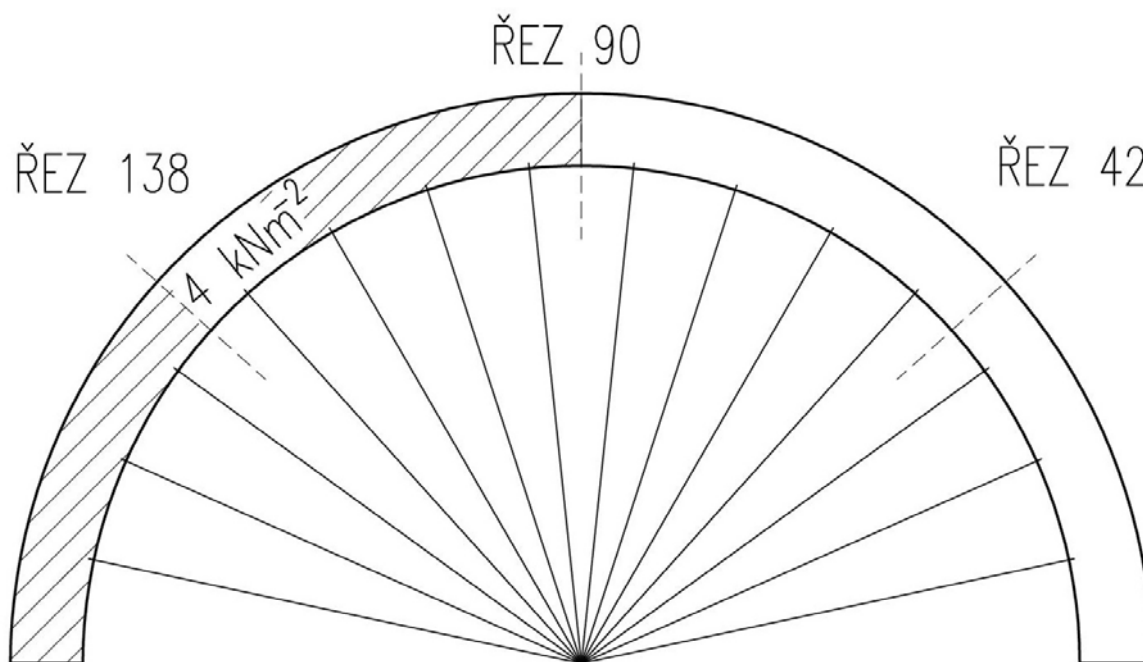


Obr. A.41 Normálová síla – závěsy – K03

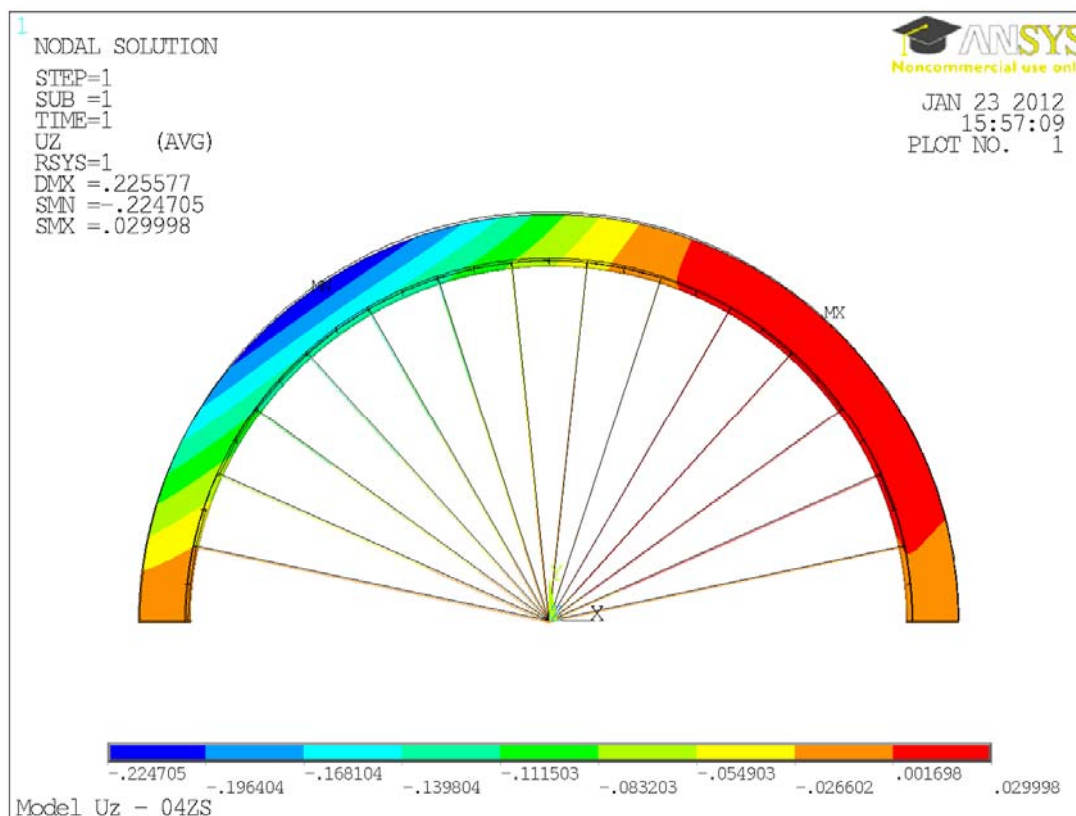


Obr. A.42 Normálové napětí – závěsy – K03

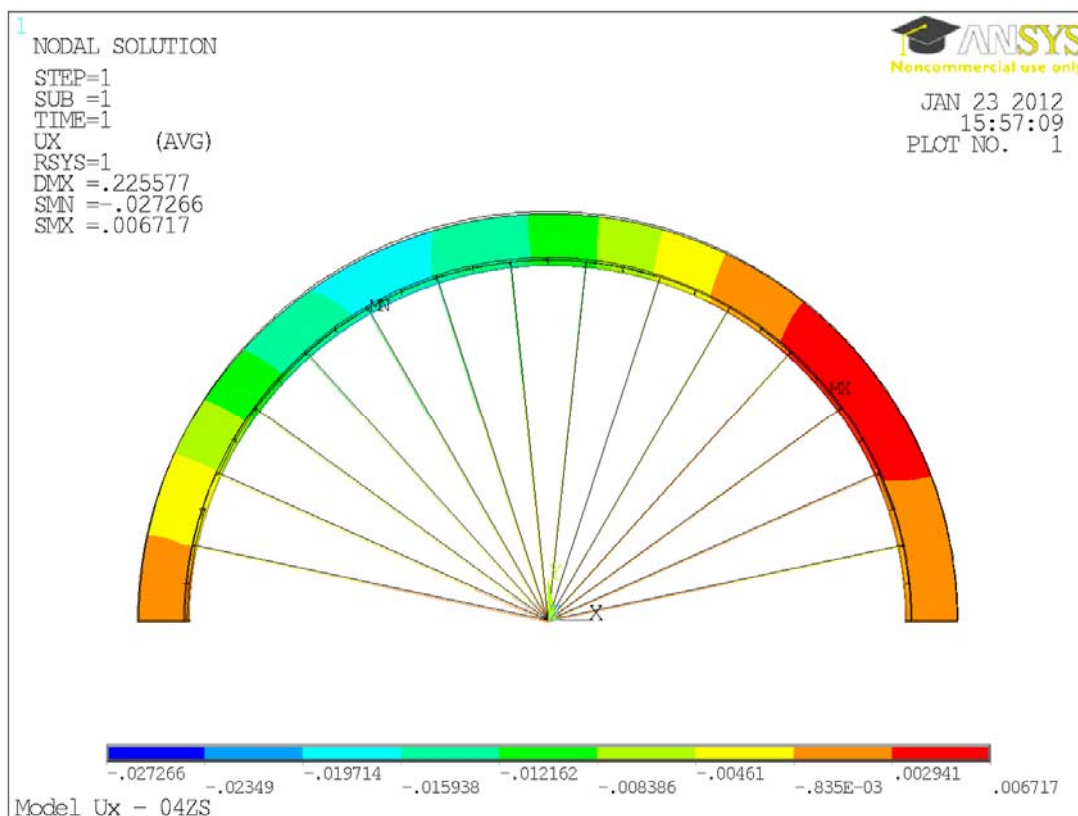




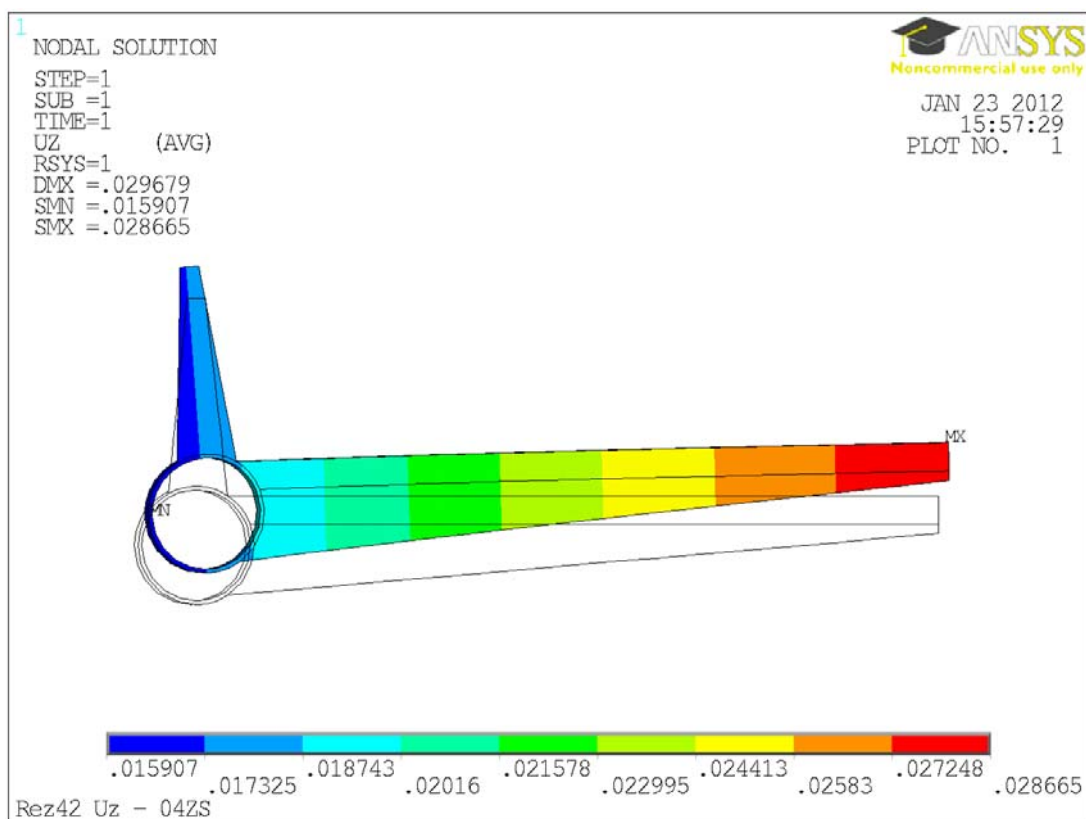
**Obr. A.43** Kombinace K04 – vlastní tíha, předpětí a zatížení chodci



**Obr. A.44** Posunutí uz – K04

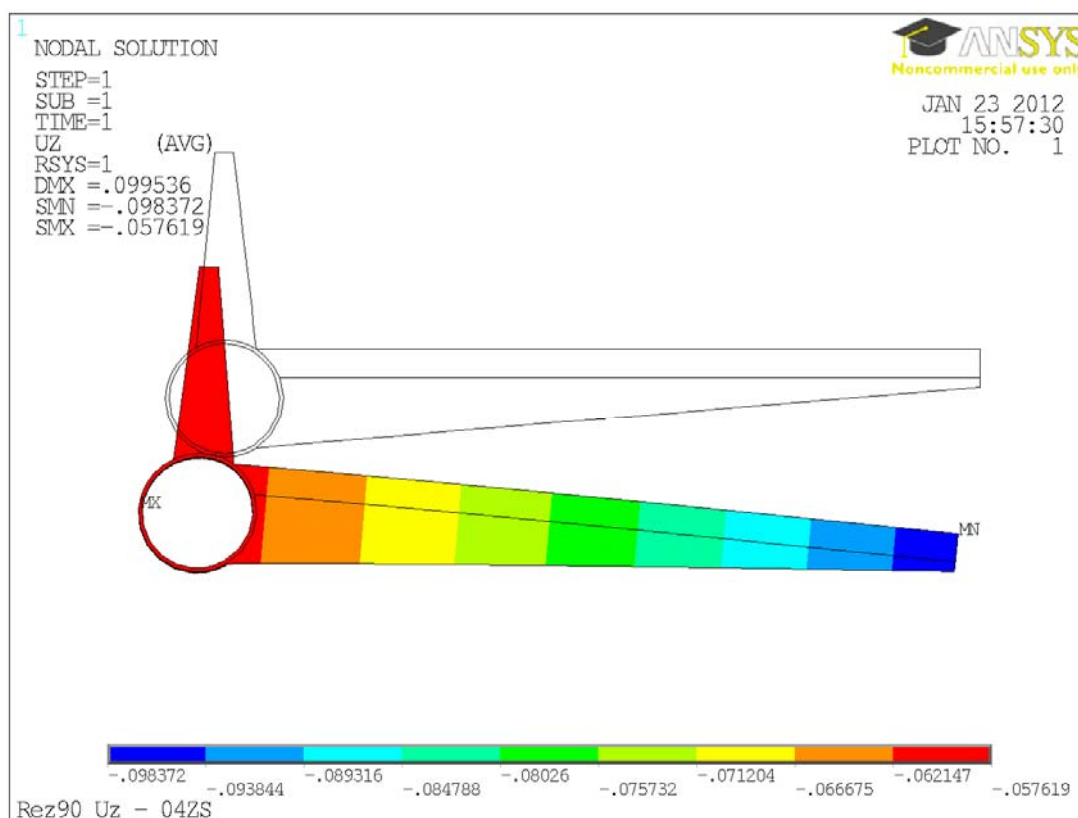


Obr. A.45 Posunutí ux – K04

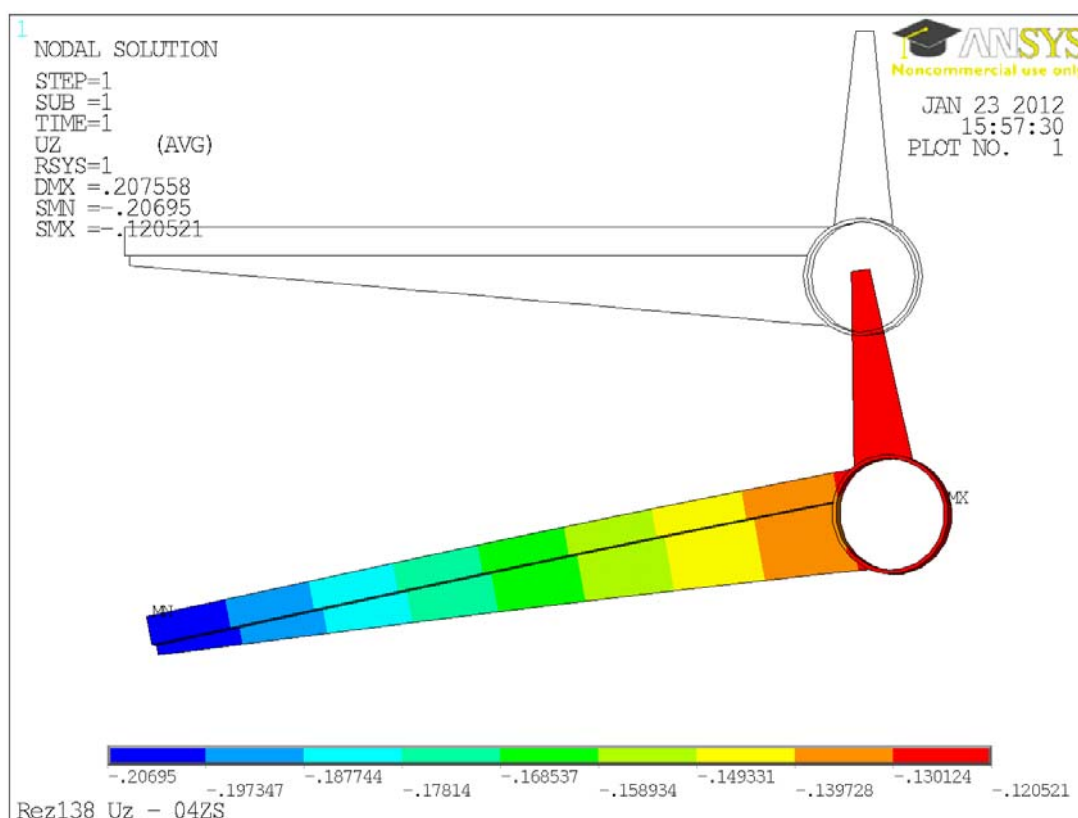


Obr. A.46 Posunutí uz – příčný řez 42 – K04





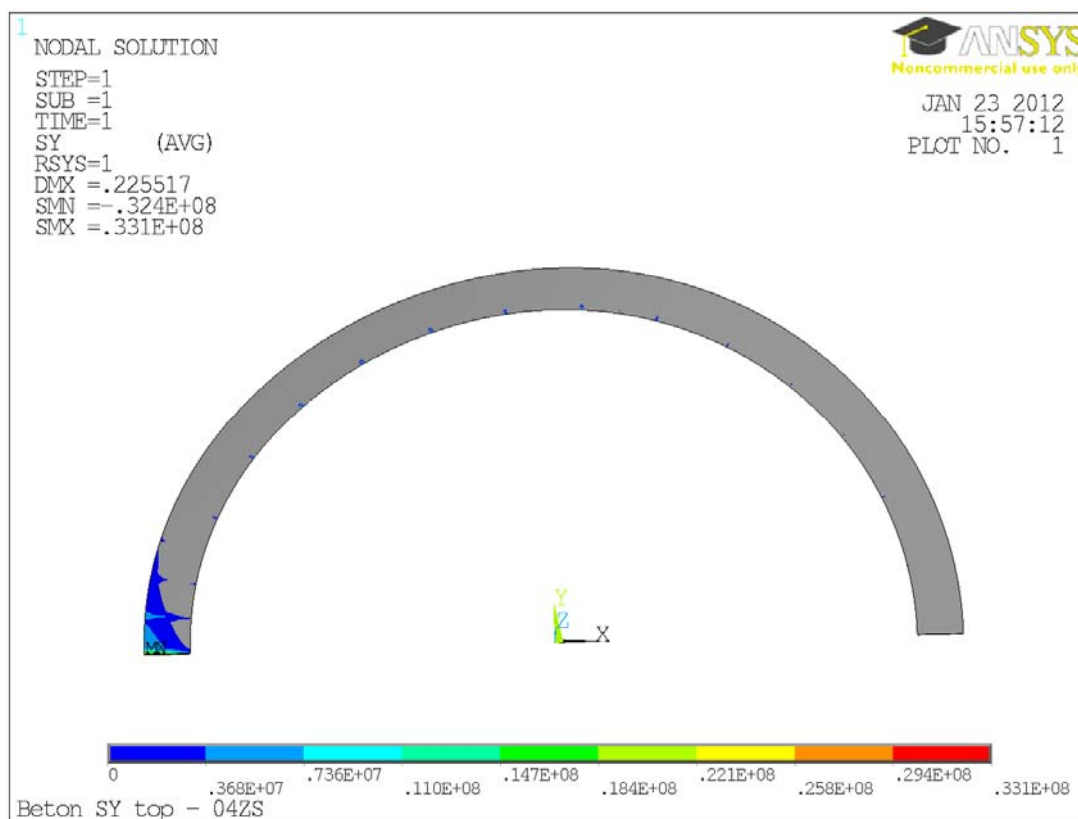
Obr. A.47 Posunutí uz – příčný řez 90 – K04



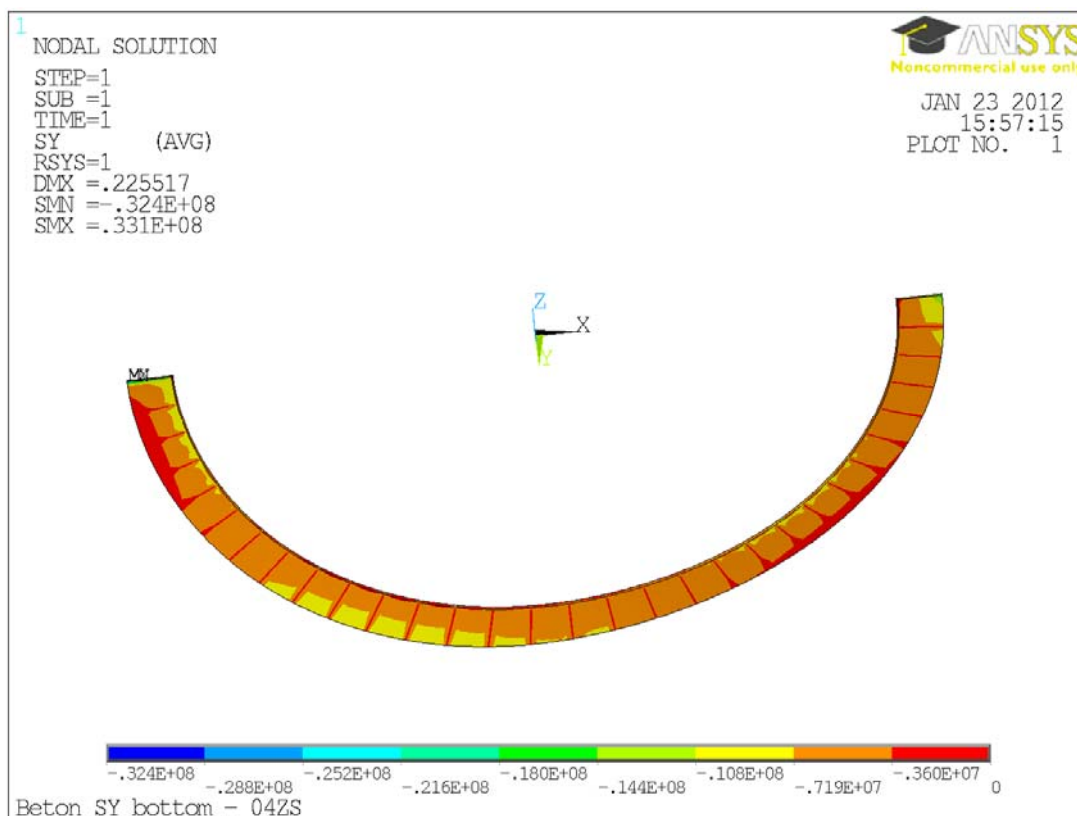
Obr. A.48 Posunutí uz – příčný řez 138 – K04



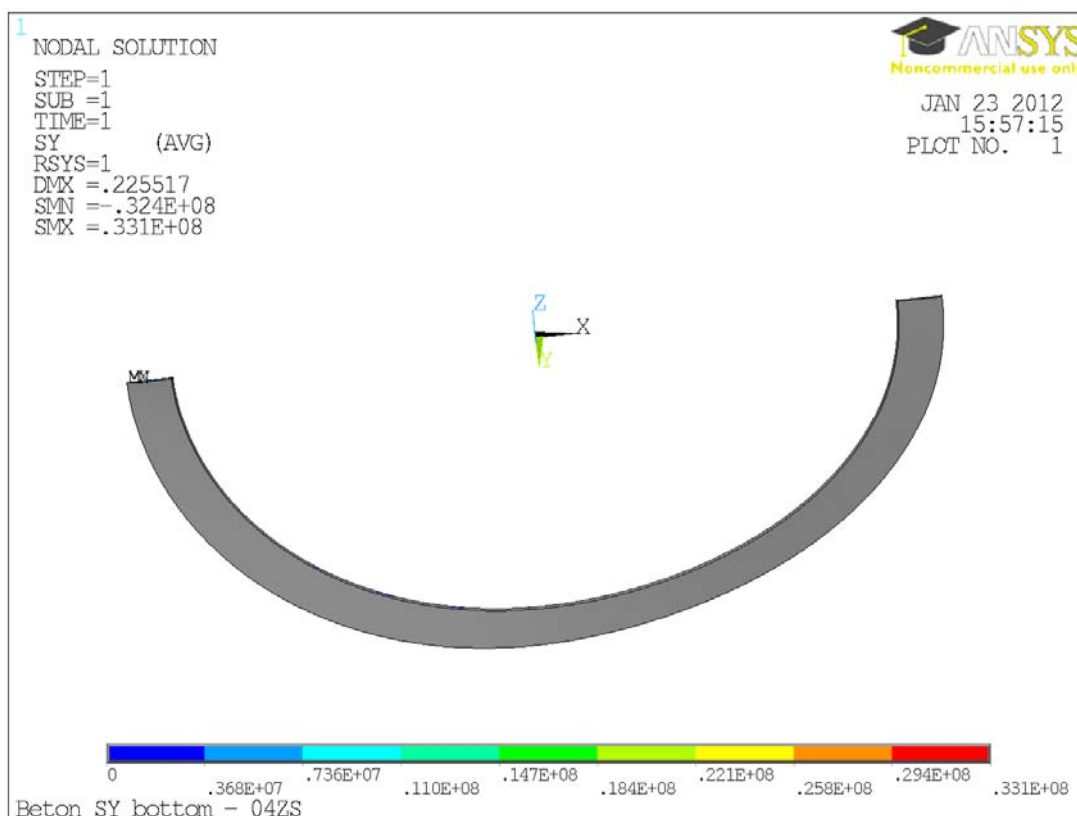
**Obr. A.49** Podélné napětí  $S_x$  (pouze tlak) – deska – horní povrch – K04



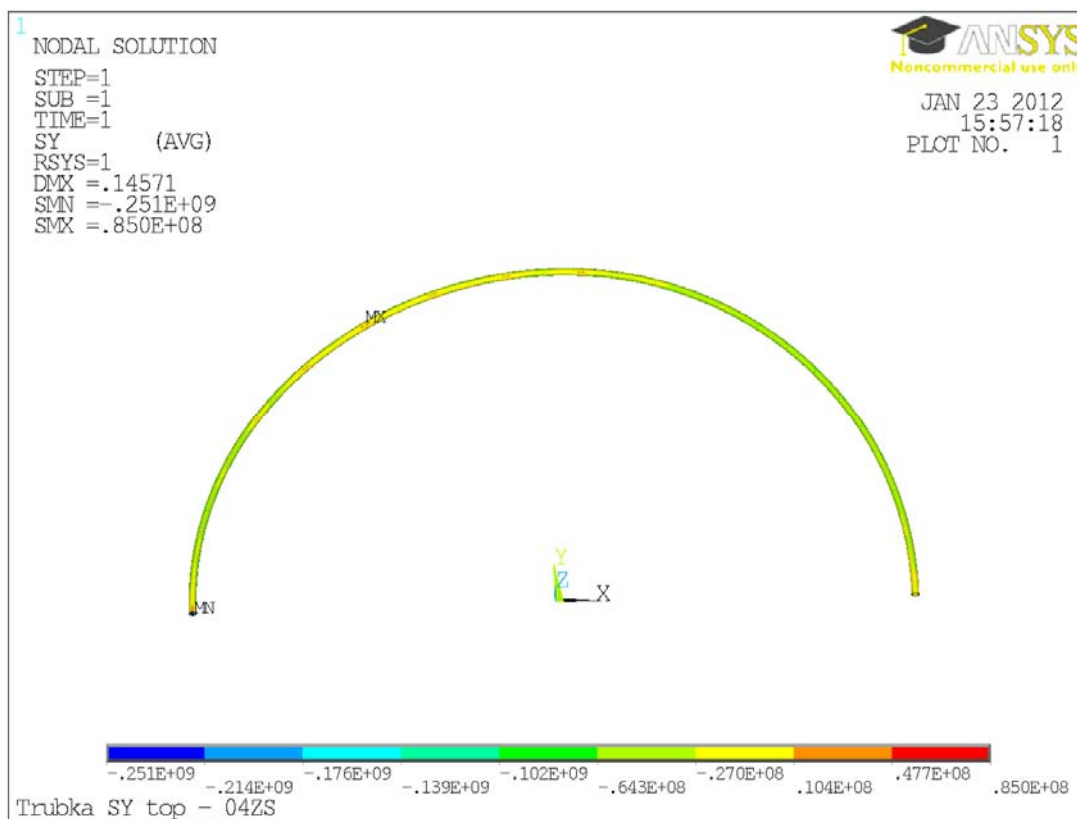
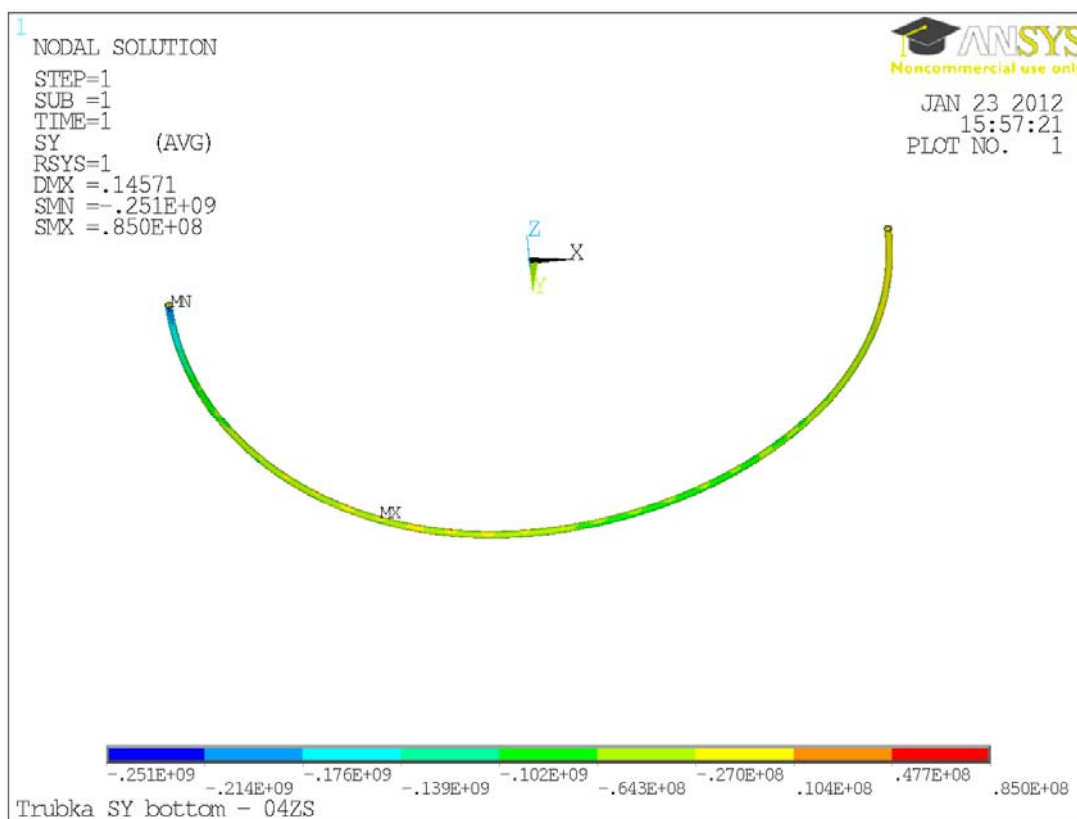
**Obr. A.50** Podélné napětí  $S_x$  (pouze tah) – deska – horní povrch – K04

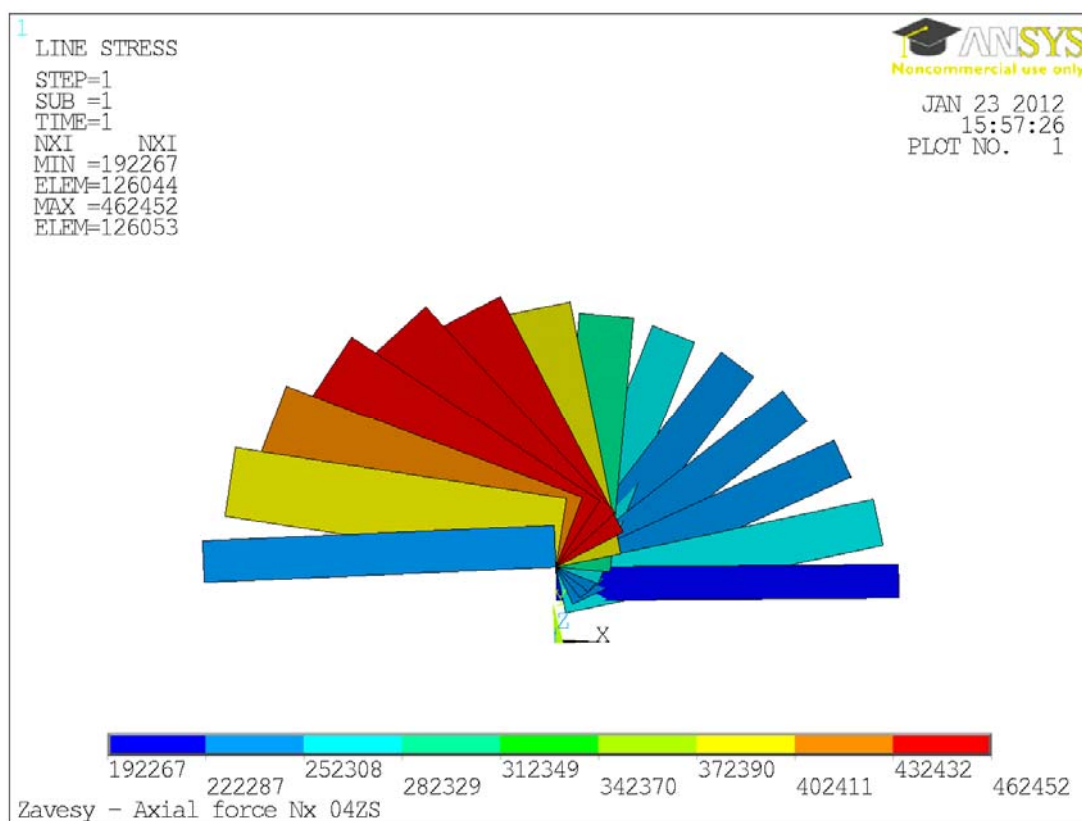


**Obr. A.51** Podélné napětí  $S_x$  (pouze tlak) – deska – dolní povrch – K04

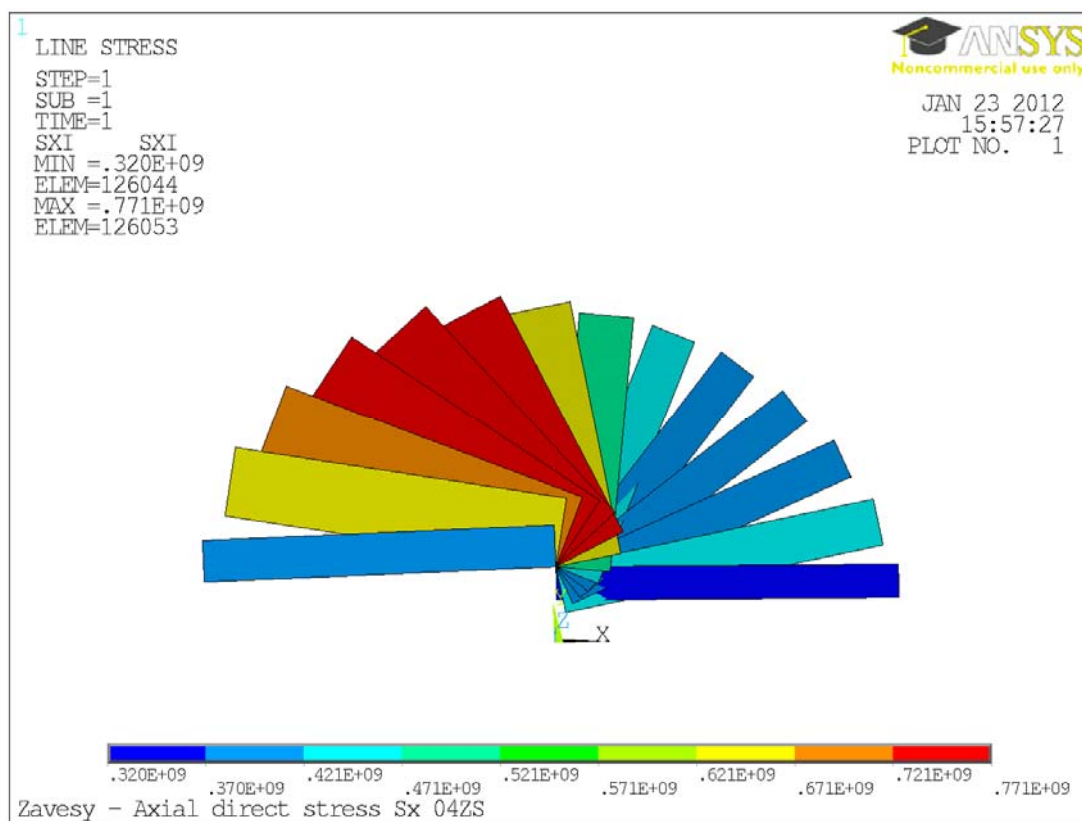


**Obr. A.52** Podélné napětí  $S_x$  (pouze tah) – deska – dolní povrch – K04

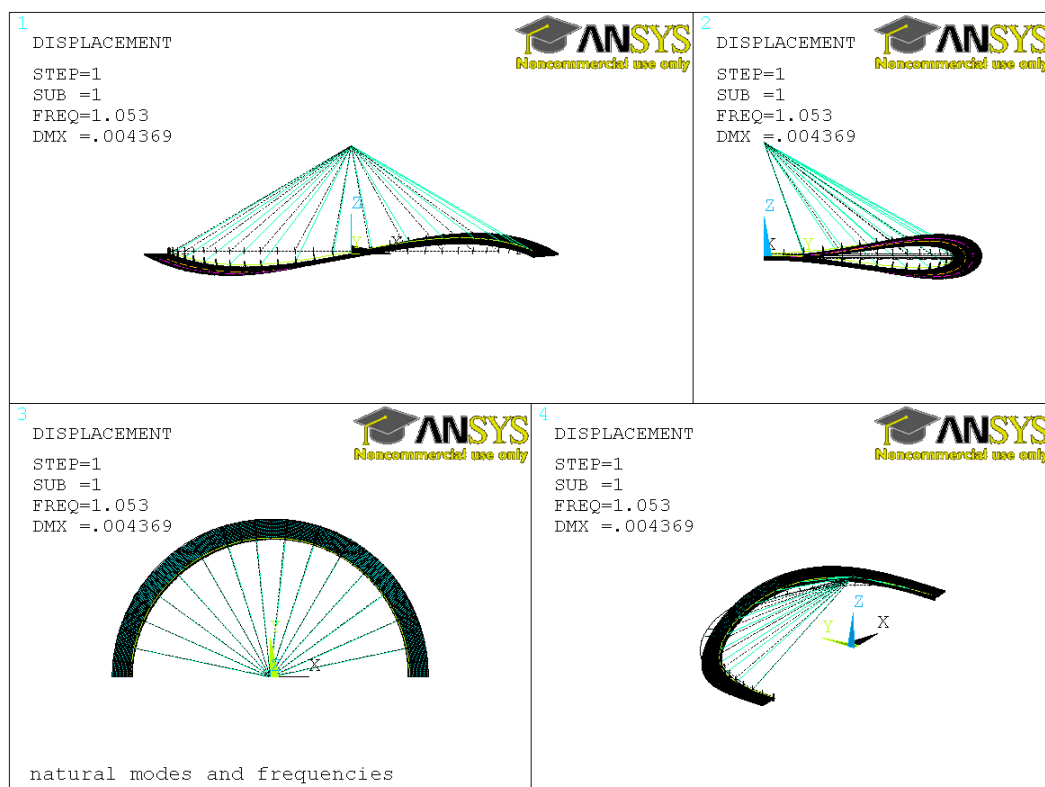
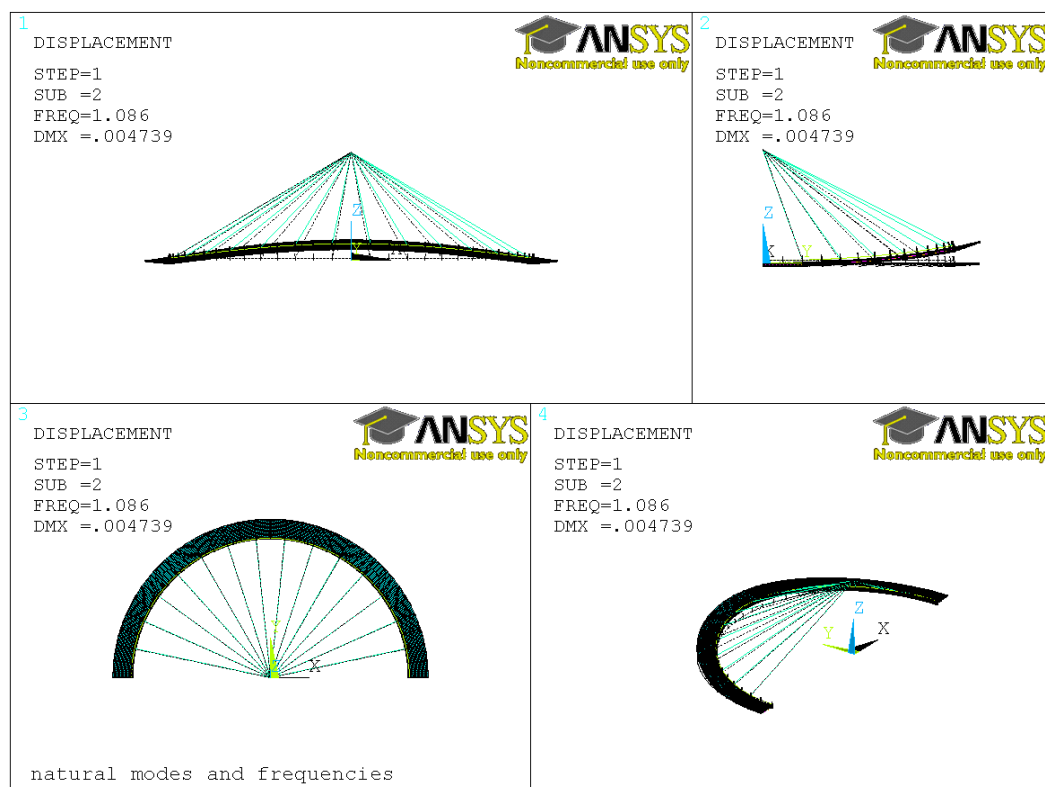
Obr. A.53 Podélné napětí  $S_x$  – trubka – horní povrch – K04Obr. A.54 Podélné napětí  $S_x$  – trubka – dolní povrch – K04

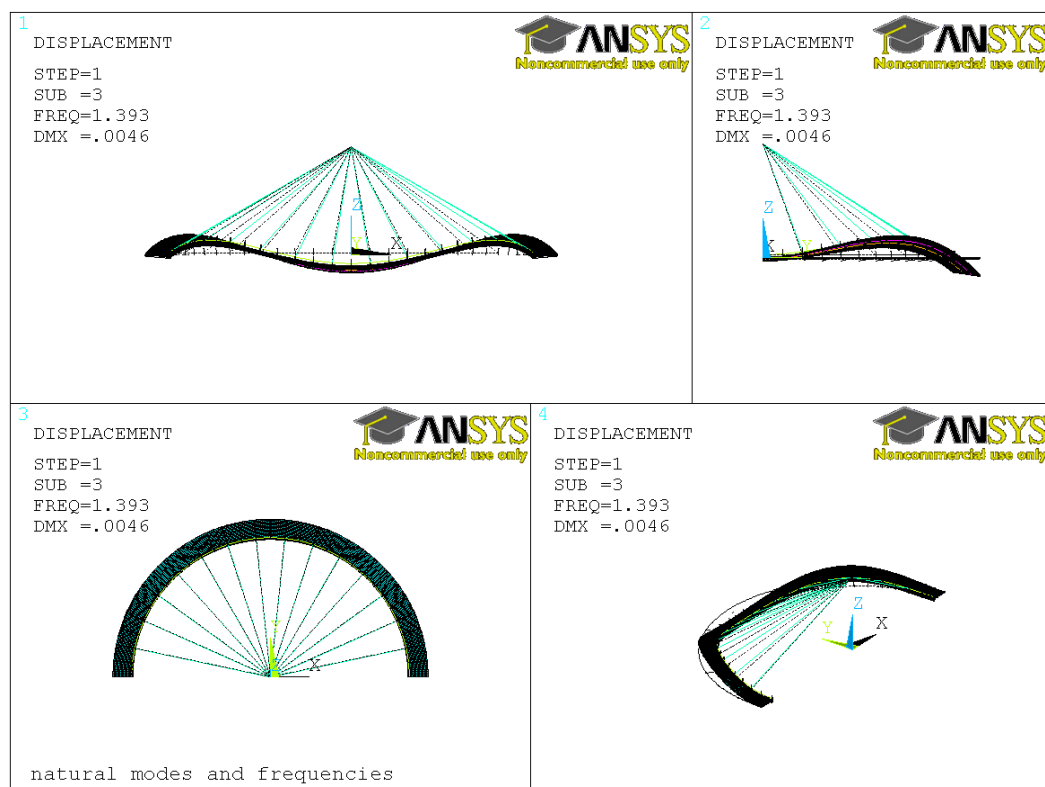
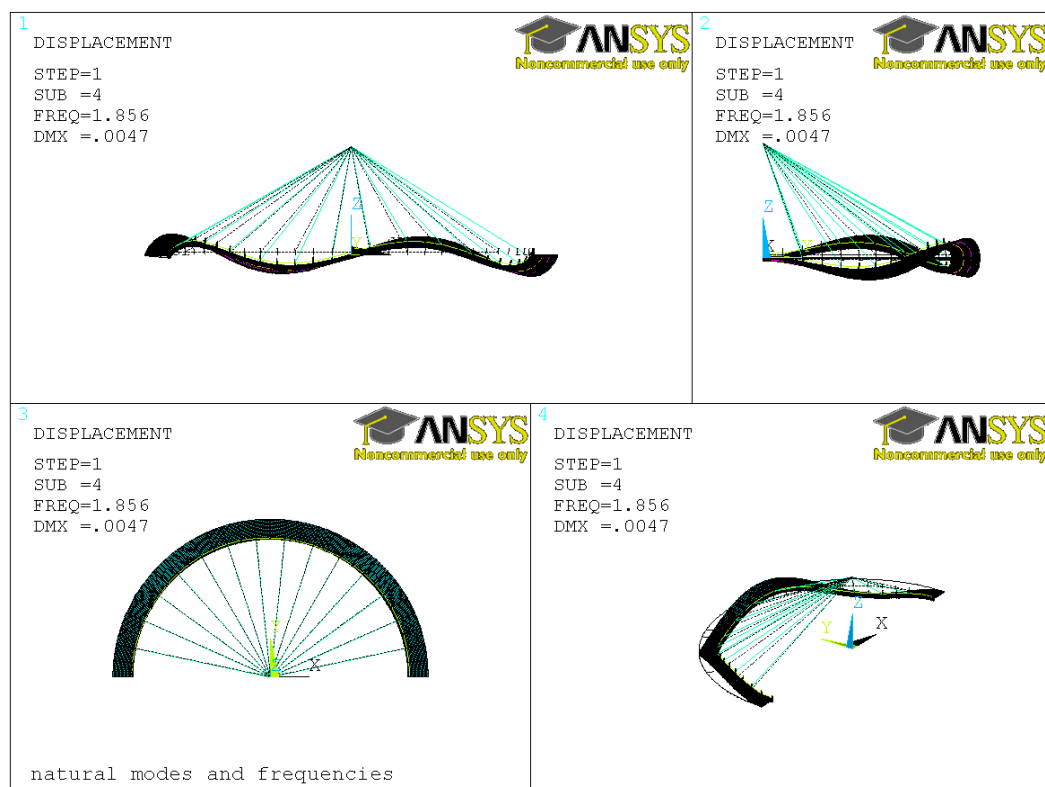


Obr. A.55 Normálová síla – závěsy – K04

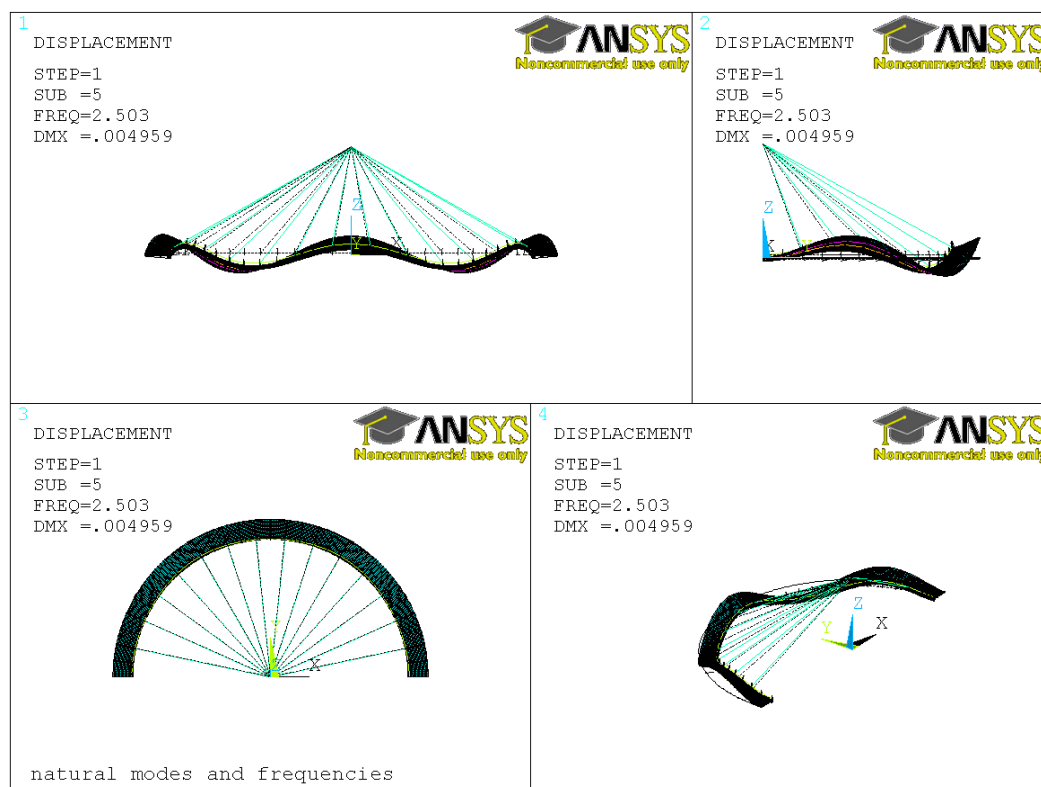
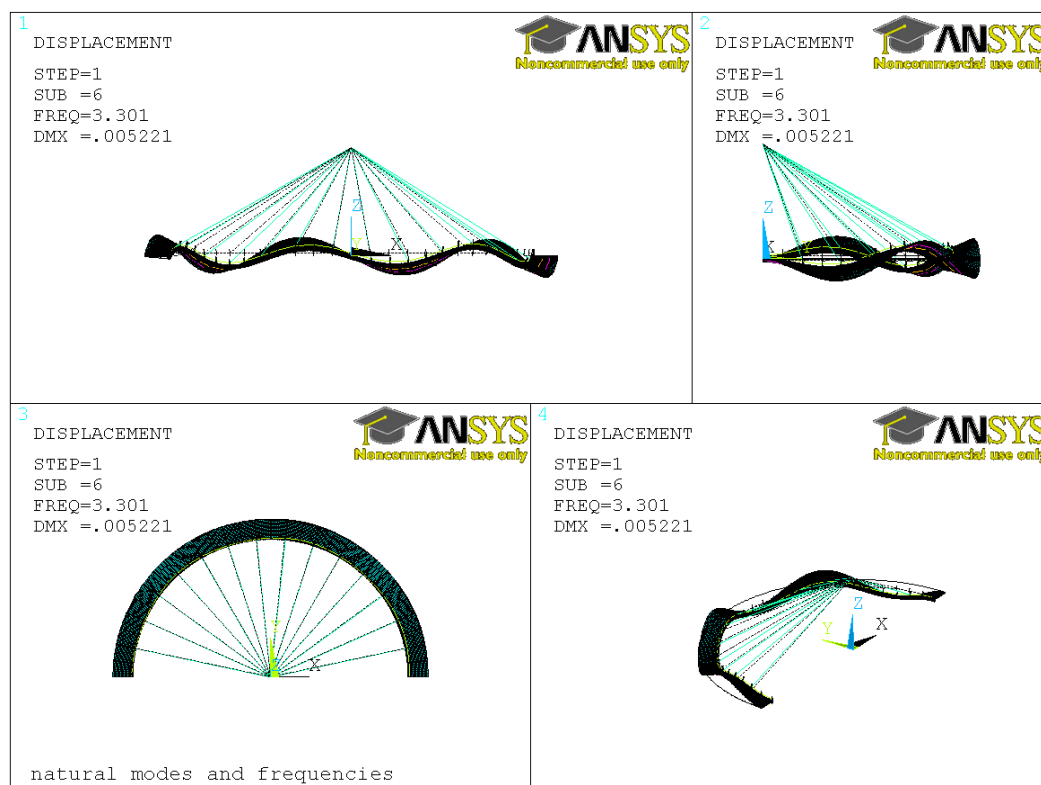


Obr. A.56 Normálové napětí – závěsy – K04

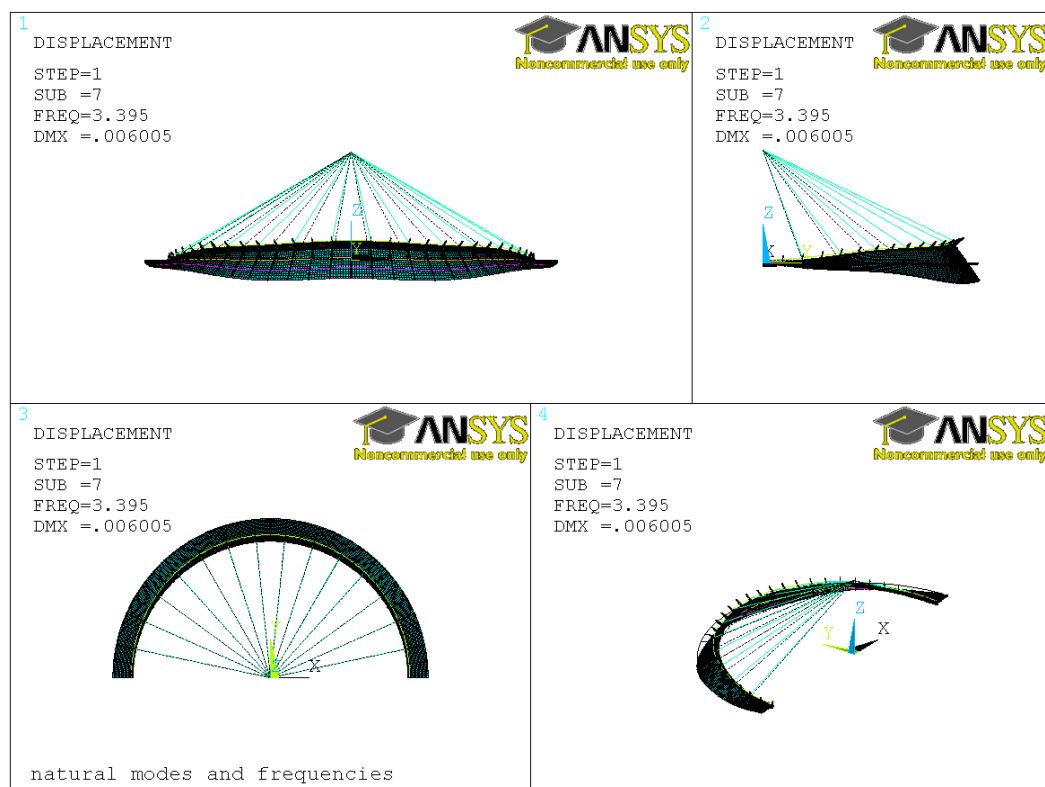
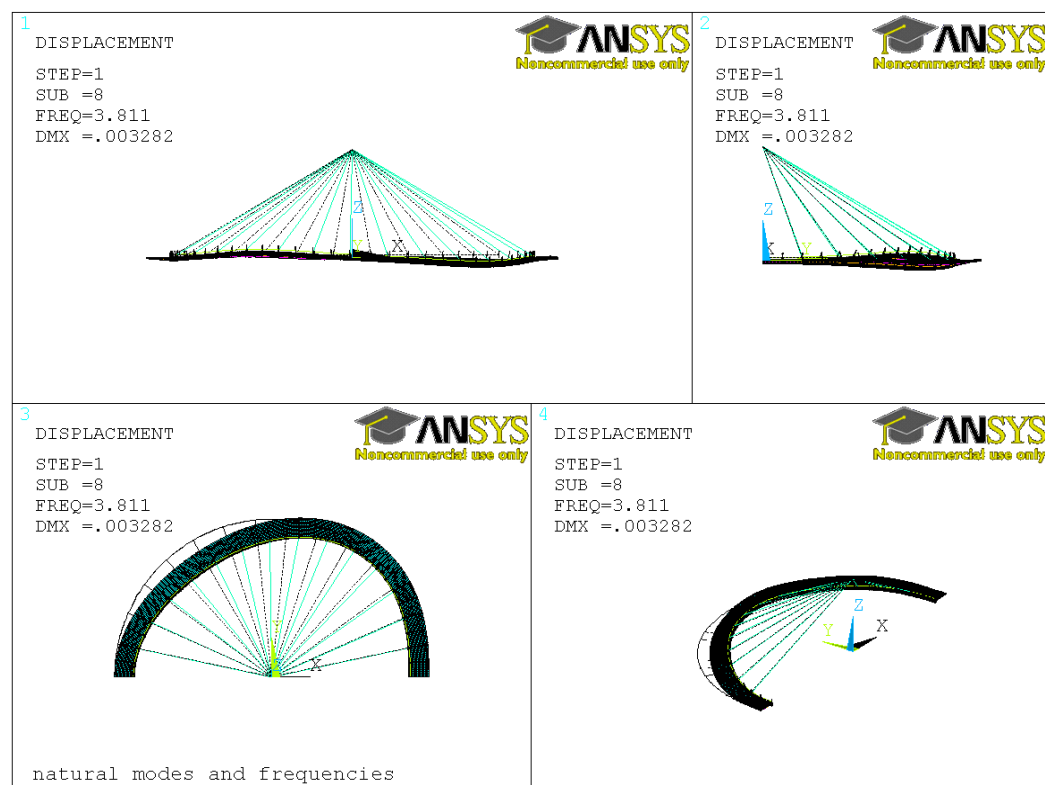
Obr. A.57 První vlastní tvar –  $f = 1,05 \text{ Hz}$ Obr. A.58 Druhý vlastní tvar –  $f = 1,09 \text{ Hz}$

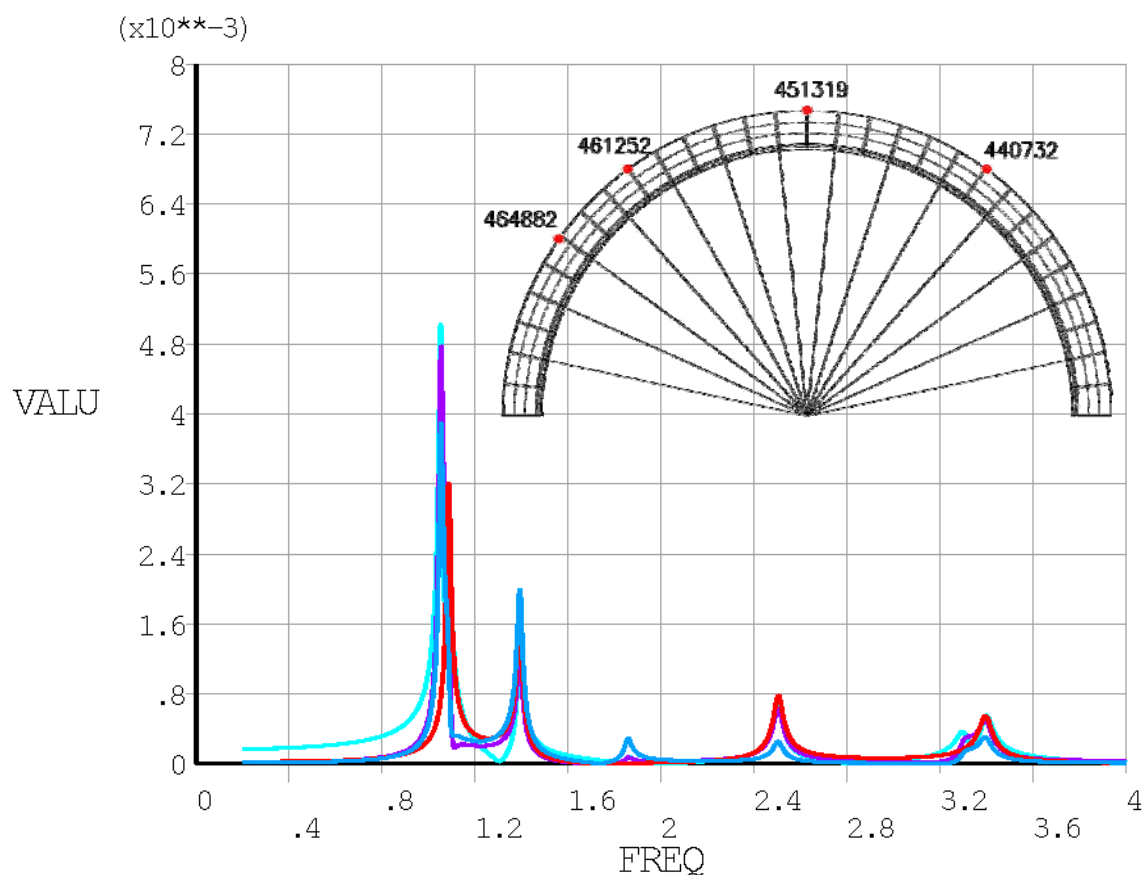
Obr. A.59 Třetí vlastní tvar –  $f = 1,39$  HzObr. A.60 Čtvrtý vlastní tvar –  $f = 1,86$  Hz



Obr. A.61 Pátý vlastní tvar –  $f = 2,50$  HzObr. A.62 Šestý vlastní tvar –  $f = 3,30$  Hz



Obr. A.63 Sedmý vlastní tvar –  $f = 3,40$  HzObr. A.64 Osmý vlastní tvar –  $f = 3,81$  Hz



Obr. A.65 Graf harmonické odezvy uzlu 440732

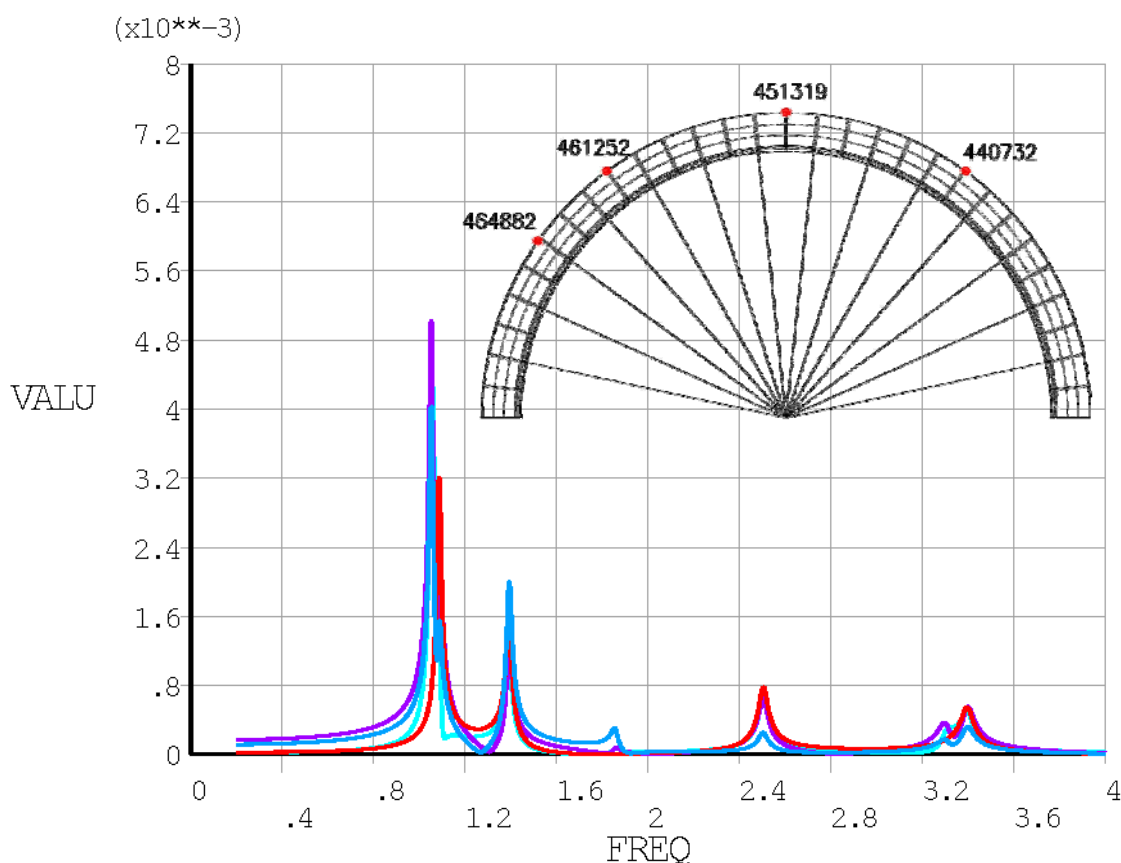
<b>Pulsující síla v uzlu 464882</b>		
$f = 1.054 \text{ Hz}$ $u_{\text{peak}} = 0.00390 \text{ m}$	(budící frekvence ve špičce odezvy) (max. vert. posunutí ve špičce odezvy)	
$F = 180 \sin 6.622477 t \text{ [N]}$ $u = 0.00390 \sin 6.622477 t \text{ [m]}$ $\phi = -102.2140^\circ$	(pulsující síla) (vert. posunutí) (fázový úhel)	
$v_{\text{max}} = 0.026 \text{ m/s}$ $a_{\text{max}} = -0.171 \text{ m/s}^2$	(maximální rychlost) (maximální akcelerace)	
Procentuální vyjádření podmínky $a_{\text{max}} / a_{\text{lim}} = 33.34\%$	$a_{\text{max}}$ 0.171 $\text{m/s}^2$	$a_{\text{lim}}$ 0.513 $\text{m/s}^2$

<b>Pulsující síla v uzlu 451319</b>		
$f = 1.087 \text{ Hz}$ $u_{\text{peak}} = 0.00320 \text{ m}$	(budící frekvence ve špičce odezvy) (max. vert. posunutí ve špičce odezvy)	
$F = 180 \sin 6.829822 t \text{ [N]}$ $u = 0.00320 \sin 6.829822 t \text{ [m]}$ $\phi = 85.2989^\circ$	(pulsující síla) (vert. posunutí) (fázový úhel)	
$v_{\text{max}} = 0.022 \text{ m/s}$ $a_{\text{max}} = -0.149 \text{ m/s}^2$	(maximální rychlost) (maximální akcelerace)	
Procentuální vyjádření podmínky $a_{\text{max}} / a_{\text{lim}} = 29.14\%$	$a_{\text{max}}$ 0.149 $\text{m/s}^2$	$a_{\text{lim}}$ 0.513 $\text{m/s}^2$

<b>Pulsující síla v uzlu 440732</b>		
$f = 1.052 \text{ Hz}$ $u_{\text{peak}} = 0.00504 \text{ m}$	(budící frekvence ve špičce odezvy) (max. vert. posunutí ve špičce odezvy)	
$F = 180 \sin 6.609911 t \text{ [N]}$ $u = 0.00504 \sin 6.609911 t \text{ [m]}$ $\phi = 102.408^\circ$	(pulsující síla) (vert. posunutí) (fázový úhel)	
$v_{\text{max}} = 0.033 \text{ m/s}$ $a_{\text{max}} = -0.220 \text{ m/s}^2$	(maximální rychlost) (maximální akcelerace)	
Procentuální vyjádření podmínky $a_{\text{max}} / a_{\text{lim}} = 42.88\%$	$a_{\text{max}}$ 0.220 $\text{m/s}^2$	$a_{\text{lim}}$ 0.513 $\text{m/s}^2$

<b>Pulsující síla v uzlu 461252</b>		
$f = 1.054 \text{ Hz}$ $u_{\text{peak}} = 0.00479 \text{ m}$	(budící frekvence ve špičce odezvy) (max. vert. posunutí ve špičce odezvy)	
$F = 180 \sin 6.622477 t \text{ [N]}$ $u = 0.00479 \sin 6.622477 t \text{ [m]}$ $\phi = -103.798^\circ$	(pulsující síla) (vert. posunutí) (fázový úhel)	
$v_{\text{max}} = 0.032 \text{ m/s}$ $a_{\text{max}} = -0.210 \text{ m/s}^2$	(maximální rychlost) (maximální akcelerace)	
Procentuální vyjádření podmínky $a_{\text{max}} / a_{\text{lim}} = 40.91\%$	$a_{\text{max}}$ 0.210 $\text{m/s}^2$	$a_{\text{lim}}$ 0.513 $\text{m/s}^2$

Obr. A.66 Vyhodnocení harmonické odezvy uzlu 440732



Obr. A.67 Graf harmonické odezvy uzlu 461252

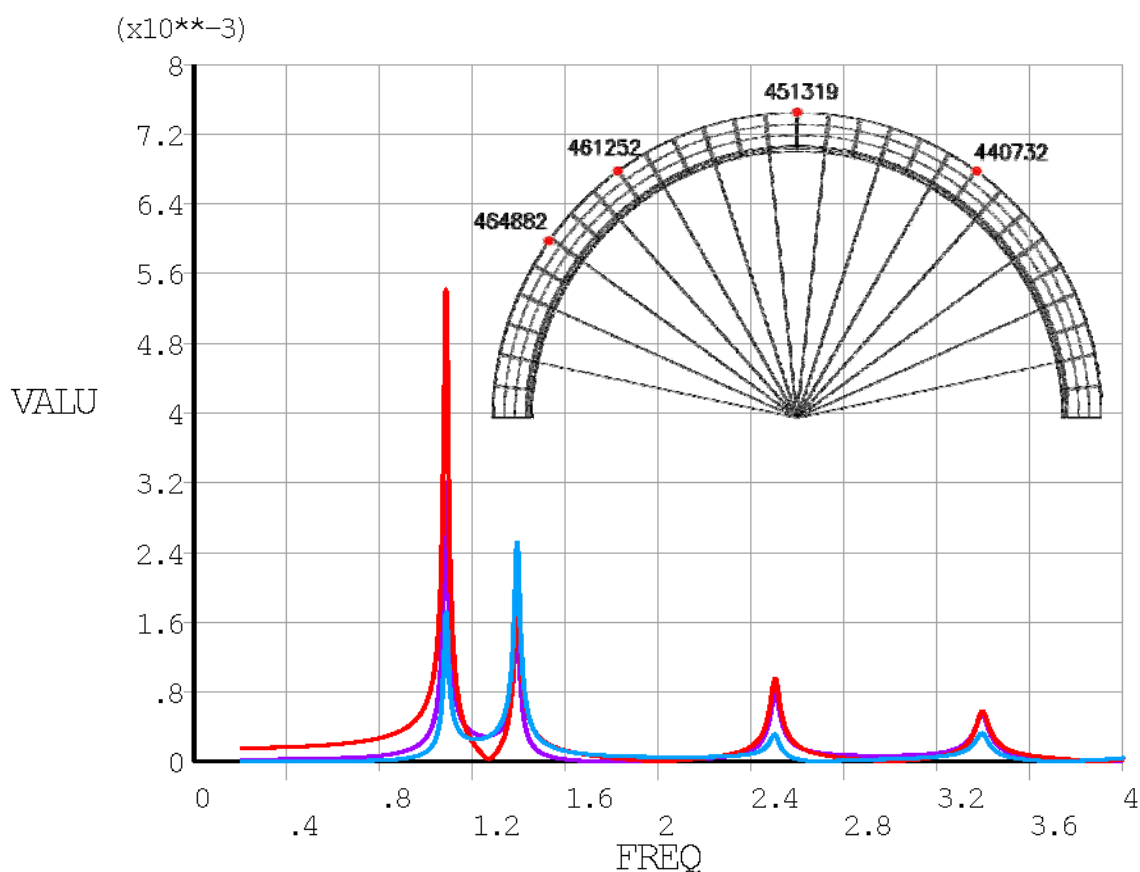
<b>Pulsující síla v uzlu 464882</b>		
$f = 1.052 \text{ Hz}$ $u_{\text{peak}} = 0.00404 \text{ m}$	(budící frekvence ve špičce odezvy) (max. vert. posunutí ve špičce odezvy)	
$F = 180 \sin 6.609911 t \text{ [N]}$ $u = 0.00404 \sin 6.609911 t \text{ [m]}$ $\phi = 100.7620^\circ$	(pulsující síla) (vert. posunutí) (fázový úhel)	
$v_{\text{max}} = 0.027 \text{ m/s}$ $a_{\text{max}} = -0.176 \text{ m/s}^2$	(maximální rychlost) (maximální akcelerace)	
Procentuální vyjádření podmínky $a_{\text{max}} / a_{\text{lim}} = 34.36\%$	$a_{\text{max}}$ 0.176 $\text{m/s}^2$	$a_{\text{lim}}$ 0.513 $\text{m/s}^2$

<b>Pulsující síla v uzlu 451319</b>		
$f = 1.087 \text{ Hz}$ $u_{\text{peak}} = 0.00321 \text{ m}$	(budící frekvence ve špičce odezvy) (max. vert. posunutí ve špičce odezvy)	
$F = 180 \sin 6.829822 t \text{ [N]}$ $u = 0.00321 \sin 6.829822 t \text{ [m]}$ $\phi = 85.3049^\circ$	(pulsující síla) (vert. posunutí) (fázový úhel)	
$v_{\text{max}} = 0.022 \text{ m/s}$ $a_{\text{max}} = -0.150 \text{ m/s}^2$	(maximální rychlost) (maximální akcelerace)	
Procentuální vyjádření podmínky $a_{\text{max}} / a_{\text{lim}} = 29.15\%$	$a_{\text{max}}$ 0.150 $\text{m/s}^2$	$a_{\text{lim}}$ 0.513 $\text{m/s}^2$

<b>Pulsující síla v uzlu 440732</b>		
$f = 1.054 \text{ Hz}$ $u_{\text{peak}} = 0.00479 \text{ m}$	(budící frekvence ve špičce odezvy) (max. vert. posunutí ve špičce odezvy)	
$F = 180 \sin 6.622477 t \text{ [N]}$ $u = 0.00479 \sin 6.622477 t \text{ [m]}$ $\phi = -103.798^\circ$	(pulsující síla) (vert. posunutí) (fázový úhel)	
$v_{\text{max}} = 0.032 \text{ m/s}$ $a_{\text{max}} = -0.210 \text{ m/s}^2$	(maximální rychlost) (maximální akcelerace)	
Procentuální vyjádření podmínky $a_{\text{max}} / a_{\text{lim}} = 40.91\%$	$a_{\text{max}}$ 0.210 $\text{m/s}^2$	$a_{\text{lim}}$ 0.513 $\text{m/s}^2$

<b>Pulsující síla v uzlu 461252</b>		
$f = 1.052 \text{ Hz}$ $u_{\text{peak}} = 0.00503 \text{ m}$	(budící frekvence ve špičce odezvy) (max. vert. posunutí ve špičce odezvy)	
$F = 180 \sin 6.609911 t \text{ [N]}$ $u = 0.00503 \sin 6.609911 t \text{ [m]}$ $\phi = 102.415^\circ$	(pulsující síla) (vert. posunutí) (fázový úhel)	
$v_{\text{max}} = 0.033 \text{ m/s}$ $a_{\text{max}} = -0.220 \text{ m/s}^2$	(maximální rychlost) (maximální akcelerace)	
Procentuální vyjádření podmínky $a_{\text{max}} / a_{\text{lim}} = 42.87\%$	$a_{\text{max}}$ 0.220 $\text{m/s}^2$	$a_{\text{lim}}$ 0.513 $\text{m/s}^2$

Obr. A.68 Vyhodnocení harmonické odezvy uzlu 461252



Obr. A.69 Graf harmonické odezvy uzlu 451319

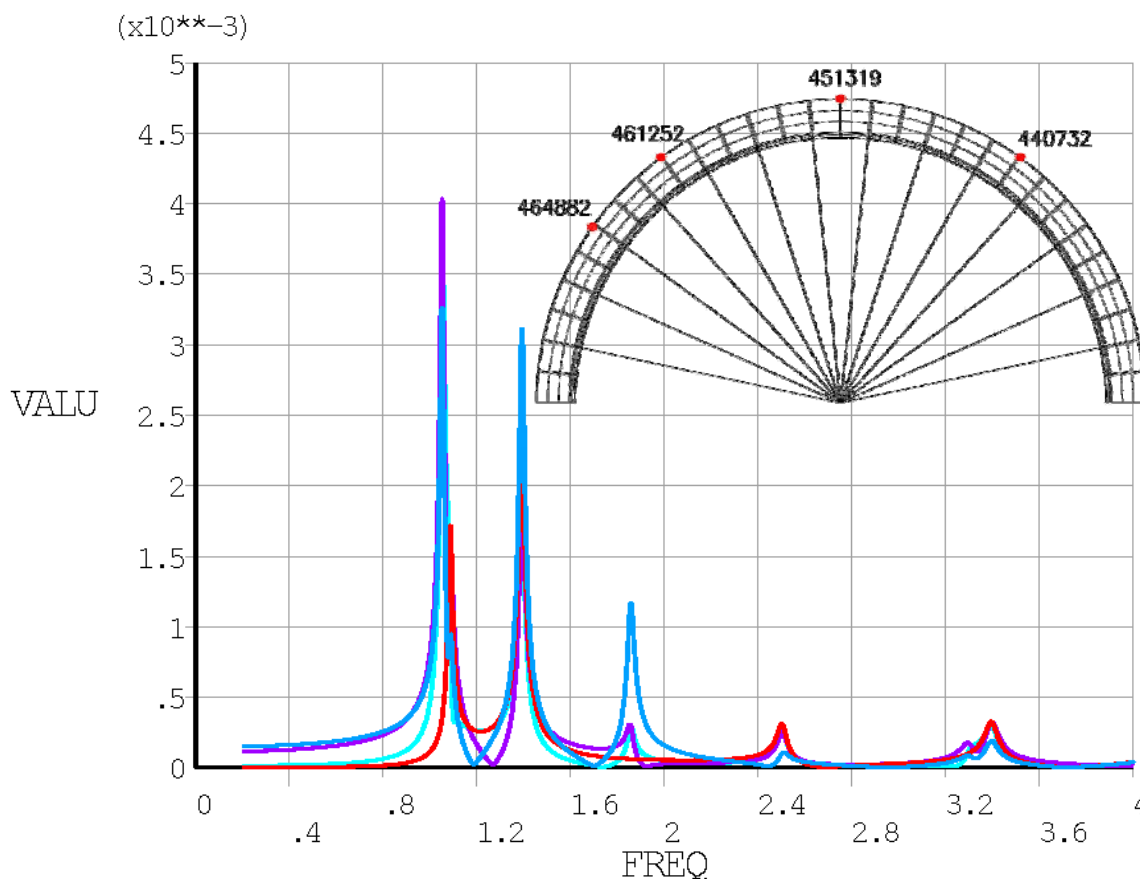
<b>Pulsující síla v uzlu 464882</b>			
$f = 1.392 \text{ Hz}$	(budící frekvence ve špičce odezvy)		
$u_{\text{peak}} = 0.00251 \text{ m}$	(max. vert. posunutí ve špičce odezvy)		
$F = 180 \sin 8.746194 t \text{ [N]}$	(pulsující síla)		
$u = 0.00251 \sin 8.746194 t \text{ [m]}$	(vert. posunutí)		
$\phi = -86.5224^\circ$	(fázový úhel)		
$v_{\text{max}} = 0.022 \text{ m/s}$	(maximální rychlost)		
$a_{\text{max}} = -0.192 \text{ m/s}^2$	(maximální akcelerace)		
Procentuální vyjádření podmínky			
$a_{\text{max}} / a_{\text{lim}} = 37.50\%$	$a_{\text{max}} = 0.192 \text{ m/s}^2$	OK	$a_{\text{lim}} = 0.513 \text{ m/s}^2$

<b>Pulsující síla v uzlu 451319</b>			
$f = 1.086 \text{ Hz}$	(budící frekvence ve špičce odezvy)		
$u_{\text{peak}} = 0.00542 \text{ m}$	(max. vert. posunutí ve špičce odezvy)		
$F = 180 \sin 6.823539 t \text{ [N]}$	(pulsující síla)		
$u = 0.00542 \sin 6.823539 t \text{ [m]}$	(vert. posunutí)		
$\phi = 94.4110^\circ$	(fázový úhel)		
$v_{\text{max}} = 0.037 \text{ m/s}$	(maximální rychlost)		
$a_{\text{max}} = -0.252 \text{ m/s}^2$	(maximální akcelerace)		
Procentuální vyjádření podmínky			
$a_{\text{max}} / a_{\text{lim}} = 49.21\%$	$a_{\text{max}} = 0.252 \text{ m/s}^2$	OK	$a_{\text{lim}} = 0.513 \text{ m/s}^2$

<b>Pulsující síla v uzlu 440732</b>			
$f = 1.087 \text{ Hz}$	(budící frekvence ve špičce odezvy)		
$u_{\text{peak}} = 0.00320 \text{ m}$	(max. vert. posunutí ve špičce odezvy)		
$F = 180 \sin 6.829822 t \text{ [N]}$	(pulsující síla)		
$u = 0.00320 \sin 6.829822 t \text{ [m]}$	(vert. posunutí)		
$\phi = 85.2989^\circ$	(fázový úhel)		
$v_{\text{max}} = 0.022 \text{ m/s}$	(maximální rychlost)		
$a_{\text{max}} = -0.149 \text{ m/s}^2$	(maximální akcelerace)		
Procentuální vyjádření podmínky			
$a_{\text{max}} / a_{\text{lim}} = 29.14\%$	$a_{\text{max}} = 0.149 \text{ m/s}^2$	OK	$a_{\text{lim}} = 0.513 \text{ m/s}^2$

<b>Pulsující síla v uzlu 461252</b>			
$f = 1.087 \text{ Hz}$	(budící frekvence ve špičce odezvy)		
$u_{\text{peak}} = 0.00321 \text{ m}$	(max. vert. posunutí ve špičce odezvy)		
$F = 180 \sin 6.829822 t \text{ [N]}$	(pulsující síla)		
$u = 0.00321 \sin 6.829822 t \text{ [m]}$	(vert. posunutí)		
$\phi = 85.3049^\circ$	(fázový úhel)		
$v_{\text{max}} = 0.022 \text{ m/s}$	(maximální rychlost)		
$a_{\text{max}} = -0.150 \text{ m/s}^2$	(maximální akcelerace)		
Procentuální vyjádření podmínky			
$a_{\text{max}} / a_{\text{lim}} = 29.15\%$	$a_{\text{max}} = 0.150 \text{ m/s}^2$	OK	$a_{\text{lim}} = 0.513 \text{ m/s}^2$

Obr. A.70 Vyhodnocení harmonické odezvy uzlu 451319



Obr. A.71 Graf harmonické odezvy uzlu 464882

<b>Pulsující síla v uzlu 464882</b>			
$f =$	1.052	Hz	(budící frekvence ve špičce odezvy)
$u_{\text{peak}} =$	0.00327	m	(max. vert. posunutí ve špičce odezvy)
$F =$	180	sin 6.609911 t	[N] (pulsující síla)
$u =$	0.00327	sin 6.609911 t	[m] (vert. posunutí)
$\phi =$	101.4210	°	(fázový úhel)
$v_{\text{max}} =$	0.022	m/s	(maximální rychlost)
$a_{\text{max}} =$	-0.143	m/s <sup>2</sup>	(maximální akcelerace)
Procentuální vyjádření podmínky			
$a_{\text{max}} / a_{\text{lim}} =$	27.86%		
	$a_{\text{max}}$ 0.143 m/s <sup>2</sup>	OK	$a_{\text{lim}}$ 0.513 m/s <sup>2</sup>

<b>Pulsující síla v uzlu 451319</b>			
$f =$	1.392	Hz	(budící frekvence ve špičce odezvy)
$u_{\text{peak}} =$	0.00251	m	(max. vert. posunutí ve špičce odezvy)
$F =$	180	sin 8.746194 t	[N] (pulsující síla)
$u =$	0.00251	sin 8.746194 t	[m] (vert. posunutí)
$\phi =$	-86.5224	°	(fázový úhel)
$v_{\text{max}} =$	0.022	m/s	(maximální rychlost)
$a_{\text{max}} =$	-0.192	m/s <sup>2</sup>	(maximální akcelerace)
Procentuální vyjádření podmínky			
$a_{\text{max}} / a_{\text{lim}} =$	37.50%		
	$a_{\text{max}}$ 0.192 m/s <sup>2</sup>	OK	$a_{\text{lim}}$ 0.513 m/s <sup>2</sup>

<b>Pulsující síla v uzlu 440732</b>			
$f =$	1.054	Hz	(budící frekvence ve špičce odezvy)
$u_{\text{peak}} =$	0.00390	m	(max. vert. posunutí ve špičce odezvy)
$F =$	180	sin 6.622477 t	[N] (pulsující síla)
$u =$	0.00390	sin 6.622477 t	[m] (vert. posunutí)
$\phi =$	-102.214	°	(fázový úhel)
$v_{\text{max}} =$	0.026	m/s	(maximální rychlost)
$a_{\text{max}} =$	-0.171	m/s <sup>2</sup>	(maximální akcelerace)
Procentuální vyjádření podmínky			
$a_{\text{max}} / a_{\text{lim}} =$	33.34%		
	$a_{\text{max}}$ 0.171 m/s <sup>2</sup>	OK	$a_{\text{lim}}$ 0.513 m/s <sup>2</sup>

<b>Pulsující síla v uzlu 461252</b>			
$f =$	1.052	Hz	(budící frekvence ve špičce odezvy)
$u_{\text{peak}} =$	0.00404	m	(max. vert. posunutí ve špičce odezvy)
$F =$	180	sin 6.609911 t	[N] (pulsující síla)
$u =$	0.00404	sin 6.609911 t	[m] (vert. posunutí)
$\phi =$	100.762	°	(fázový úhel)
$v_{\text{max}} =$	0.027	m/s	(maximální rychlost)
$a_{\text{max}} =$	-0.176	m/s <sup>2</sup>	(maximální akcelerace)
Procentuální vyjádření podmínky			
$a_{\text{max}} / a_{\text{lim}} =$	34.36%		
	$a_{\text{max}}$ 0.176 m/s <sup>2</sup>	OK	$a_{\text{lim}}$ 0.513 m/s <sup>2</sup>

Obr. A.72 Vyhodnocení harmonické odezvy uzlu 464882

# **Příloha B**

## **Výsledky statické a dynamické analýzy visuté konstrukce**

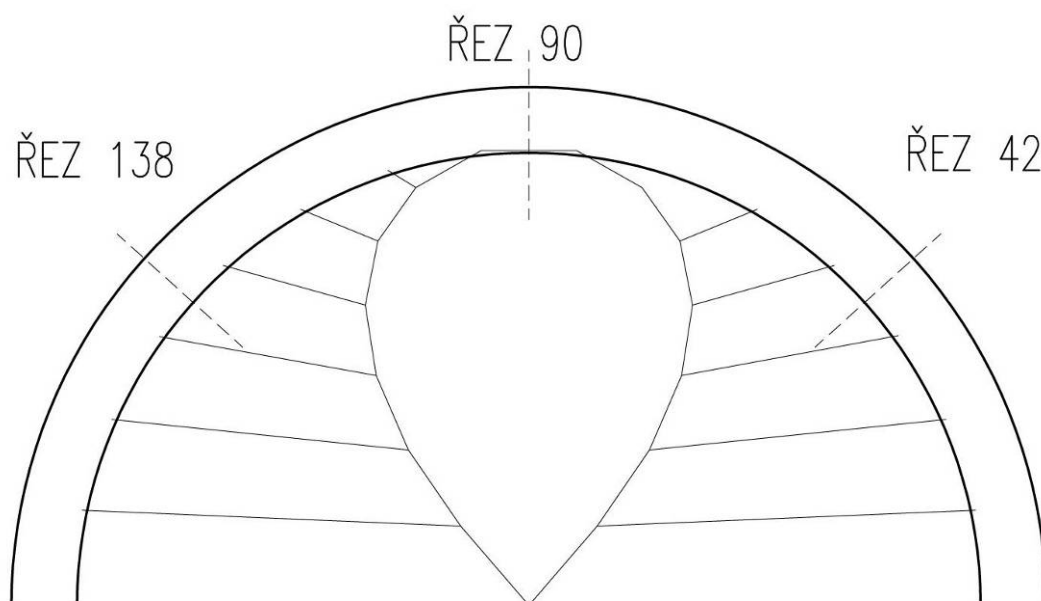
## Seznam obrázků

<b>Obr. B.1</b> Kombinace K01 – vlastní tíha a předpětí .....	B-5
<b>Obr. B.2</b> Posunutí uz – K01 .....	B-5
<b>Obr. B.3</b> Posunutí ux – K01 .....	B-6
<b>Obr. B.4</b> Posunutí uz – příčný řez 42 – K01 .....	B-6
<b>Obr. B.5</b> Posunutí uz – příčný řez 90 – K01 .....	B-7
<b>Obr. B.6</b> Posunutí uz – příčný řez 138 – K01 .....	B-7
<b>Obr. B.7</b> Podélné napětí Sx (pouze tlak) – deska – horní povrch – K01 .....	B-8
<b>Obr. B.8</b> Podélné napětí Sx (pouze tah) – deska – horní povrch – K01 .....	B-8
<b>Obr. B.9</b> Podélné napětí Sx (pouze tlak) – deska – dolní povrch – K01 .....	B-9
<b>Obr. B.10</b> Podélné napětí Sx (pouze tah) – deska – dolní povrch – K01 .....	B-9
<b>Obr. B.11</b> Podélné napětí Sx – trubka – horní povrch – K01 .....	B-10
<b>Obr. B.12</b> Podélné napětí Sx – trubka – dolní povrch – K01 .....	B-10
<b>Obr. B.13</b> Normálová síla – závěsy – K01 .....	B-11
<b>Obr. B.14</b> Normálové napětí – závěsy – K01 .....	B-11
<b>Obr. B.15</b> Normálová síla – visuté lano – K01 .....	B-12
<b>Obr. B.16</b> Normálové napětí – visuté lano – K01 .....	B-12
<b>Obr. B.17</b> Kombinace K02 – vlastní tíha, předpětí a zatížení chodci .....	B-13
<b>Obr. B.18</b> Posunutí uz – K02 .....	B-13
<b>Obr. B.19</b> Posunutí ux – K02 .....	B-14
<b>Obr. B.20</b> Posunutí uz – příčný řez 42 – K02 .....	B-14
<b>Obr. B.21</b> Posunutí uz – příčný řez 90 – K02 .....	B-15
<b>Obr. B.22</b> Posunutí uz – příčný řez 138 – K02 .....	B-15
<b>Obr. B.23</b> Podélné napětí Sx (pouze tlak) – deska – horní povrch – K02 .....	B-16
<b>Obr. B.24</b> Podélné napětí Sx (pouze tah) – deska – horní povrch – K02 .....	B-16
<b>Obr. B.25</b> Podélné napětí Sx (pouze tlak) – deska – dolní povrch – K02 .....	B-17
<b>Obr. B.26</b> Podélné napětí Sx (pouze tah) – deska – dolní povrch – K02 .....	B-17
<b>Obr. B.27</b> Podélné napětí Sx – trubka – horní povrch – K02 .....	B-18
<b>Obr. B.28</b> Podélné napětí Sx – trubka – dolní povrch – K02 .....	B-18
<b>Obr. B.29</b> Normálová síla – závěsy – K02 .....	B-19
<b>Obr. B.30</b> Normálové napětí – závěsy – K02 .....	B-19
<b>Obr. B.31</b> Normálová síla – visuté lano – K02 .....	B-20
<b>Obr. B.32</b> Normálové napětí – visuté lano – K02 .....	B-20
<b>Obr. B.33</b> Kombinace K03 – vlastní tíha, předpětí a zatížení chodci .....	B-21
<b>Obr. B.34</b> Posunutí uz – K03 .....	B-21
<b>Obr. B.35</b> Posunutí ux – K03 .....	B-22
<b>Obr. B.36</b> Posunutí uz – příčný řez 42 – K03 .....	B-22

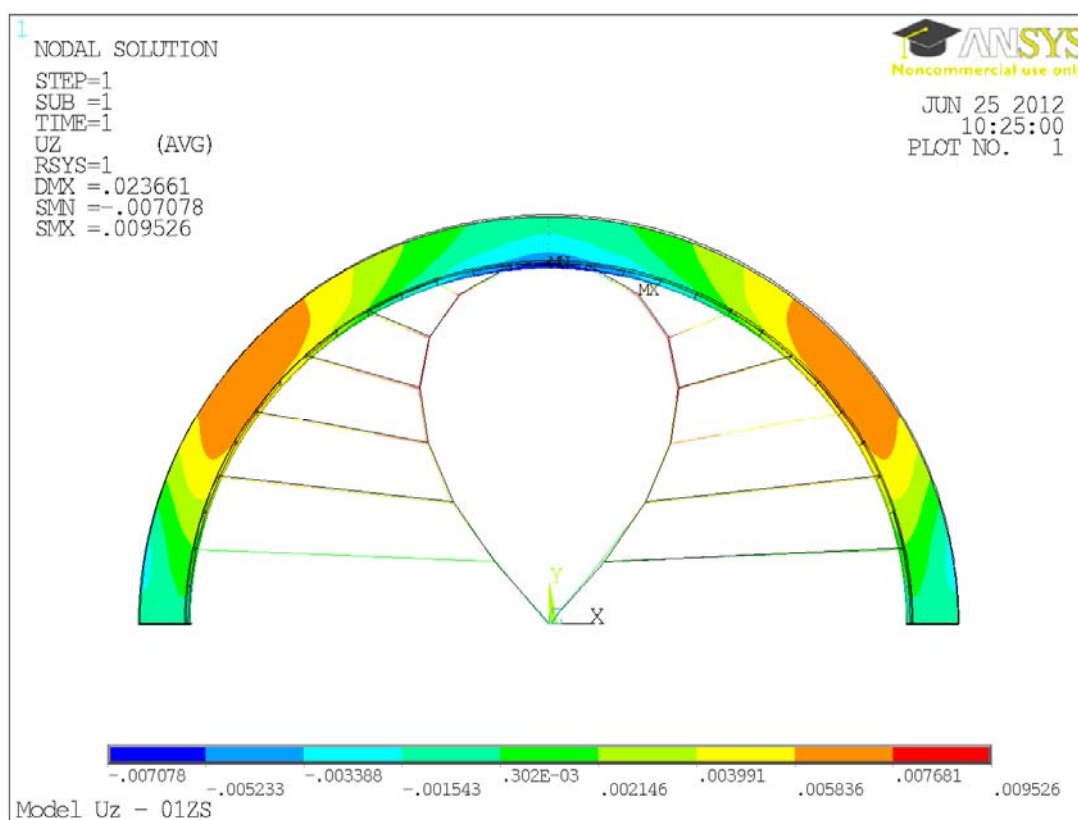


<b>Obr. B.37</b> Posunutí uz – příčný řez 90 – K03 .....	B-23
<b>Obr. B.38</b> Posunutí uz – příčný řez 138 – K03 .....	B-23
<b>Obr. B.39</b> Podélné napětí $S_x$ (pouze tlak) – deska – horní povrch – K03 .....	B-24
<b>Obr. B.40</b> Podélné napětí $S_x$ (pouze tah) – deska – horní povrch – K03 .....	B-24
<b>Obr. B.41</b> Podélné napětí $S_x$ (pouze tlak) – deska – dolní povrch – K03 .....	B-25
<b>Obr. B.42</b> Podélné napětí $S_x$ (pouze tah) – deska – dolní povrch – K03 .....	B-25
<b>Obr. B.43</b> Podélné napětí $S_x$ – trubka – horní povrch – K03 .....	B-26
<b>Obr. B.44</b> Podélné napětí $S_x$ – trubka – dolní povrch – K03 .....	B-26
<b>Obr. B.45</b> Normálová síla – závěsy – K03 .....	B-27
<b>Obr. B.46</b> Normálové napětí – závěsy – K03 .....	B-27
<b>Obr. B.47</b> Normálová síla – visuté lano – K03 .....	B-28
<b>Obr. B.48</b> Normálové napětí – visuté lano – K03 .....	B-28
<b>Obr. B.49</b> Kombinace K04 – vlastní tíha, předpětí a zatížení chodci .....	B-29
<b>Obr. B.50</b> Posunutí uz – K04 .....	B-29
<b>Obr. B.51</b> Posunutí ux – K04 .....	B-30
<b>Obr. B.52</b> Posunutí uz – příčný řez 42 – K04 .....	B-30
<b>Obr. B.53</b> Posunutí uz – příčný řez 90 – K04 .....	B-31
<b>Obr. B.54</b> Posunutí uz – příčný řez 138 – K04 .....	B-31
<b>Obr. B.55</b> Podélné napětí $S_x$ (pouze tlak) – deska – horní povrch – K04 .....	B-32
<b>Obr. B.56</b> Podélné napětí $S_x$ (pouze tah) – deska – horní povrch – K04 .....	B-32
<b>Obr. B.57</b> Podélné napětí $S_x$ (pouze tlak) – deska – dolní povrch – K04 .....	B-33
<b>Obr. B.58</b> Podélné napětí $S_x$ (pouze tah) – deska – dolní povrch – K04 .....	B-33
<b>Obr. B.59</b> Podélné napětí $S_x$ – trubka – horní povrch – K04 .....	B-34
<b>Obr. B.60</b> Podélné napětí $S_x$ – trubka – dolní povrch – K04 .....	B-34
<b>Obr. B.61</b> Normálová síla – závěsy – K04 .....	B-35
<b>Obr. B.62</b> Normálové napětí – závěsy – K04 .....	B-35
<b>Obr. B.63</b> Normálová síla – visuté lano – K04 .....	B-36
<b>Obr. B.64</b> Normálové napětí – visuté lano – K04 .....	B-36
<b>Obr. B.65</b> První vlastní tvar – $f = 0,76$ Hz – pro tuhost "weak springs" 10 N/m .....	B-37
<b>Obr. B.66</b> Druhý vlastní tvar – $f = 0,91$ Hz – pro tuhost "weak springs" 10 N/m .....	B-37
<b>Obr. B.67</b> Třetí vlastní tvar – $f = 1,09$ Hz – pro tuhost "weak springs" 10 N/m .....	B-38
<b>Obr. B.68</b> Čtvrtý vlastní tvar – $f = 1,60$ Hz – pro tuhost "weak springs" 10 N/m .....	B-38
<b>Obr. B.69</b> Pátý vlastní tvar – $f = 2,35$ Hz – pro tuhost "weak springs" 10 N/m .....	B-39
<b>Obr. B.70</b> Šestý vlastní tvar – $f = 3,22$ Hz – pro tuhost "weak springs" 10 N/m .....	B-39
<b>Obr. B.71</b> Sedmý vlastní tvar – $f = 3,54$ Hz – pro tuhost "weak springs" 10 N/m .....	B-40
<b>Obr. B.72</b> Osmý vlastní tvar – $f = 3,62$ Hz – pro tuhost "weak springs" 10 N/m .....	B-40
<b>Obr. B.73</b> Graf harmonické odezvy uzlu 442285 .....	B-41
<b>Obr. B.74</b> Vyhodnocení harmonické odezvy uzlu 442285 .....	B-41
<b>Obr. B.75</b> Graf harmonické odezvy uzlu 460091 .....	B-42

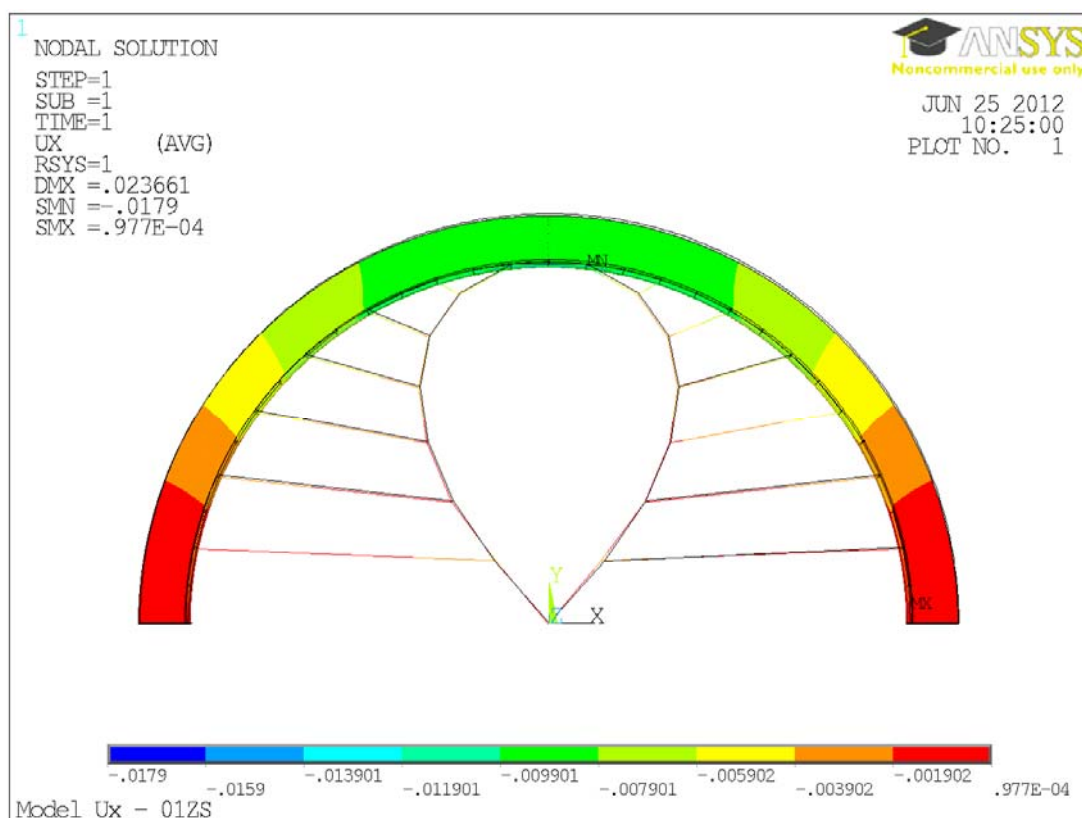
<b>Obr. B.76</b> <i>Vyhodnocení harmonické odezvy uzlu 460091</i> .....	B-42
<b>Obr. B.77</b> <i>Graf harmonické odezvy uzlu 477756</i> .....	B-43
<b>Obr. B.78</b> <i>Vyhodnocení harmonické odezvy uzlu 477756</i> .....	B-43
<b>Obr. B.79</b> <i>Graf harmonické odezvy uzlu 464478</i> .....	B-44
<b>Obr. B.80</b> <i>Vyhodnocení harmonické odezvy uzlu 464478</i> .....	B-44



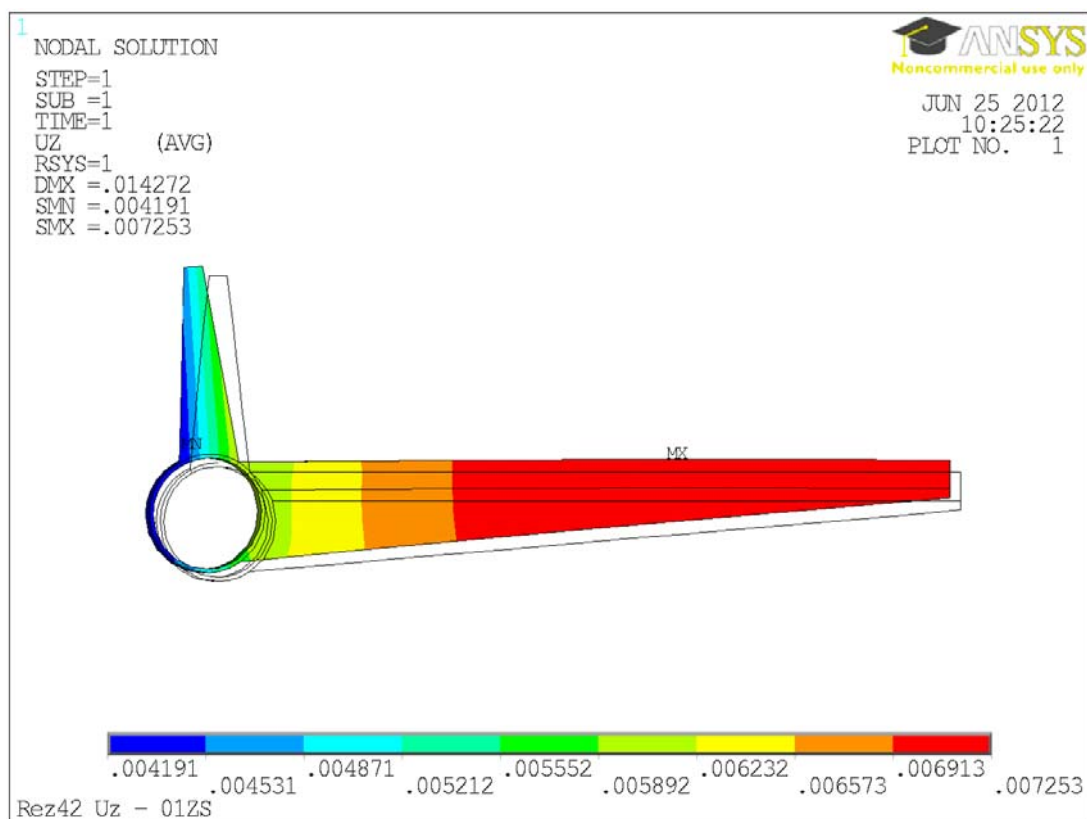
**Obr. B.1** Kombinace K01 – vlastní tíha a předpětí



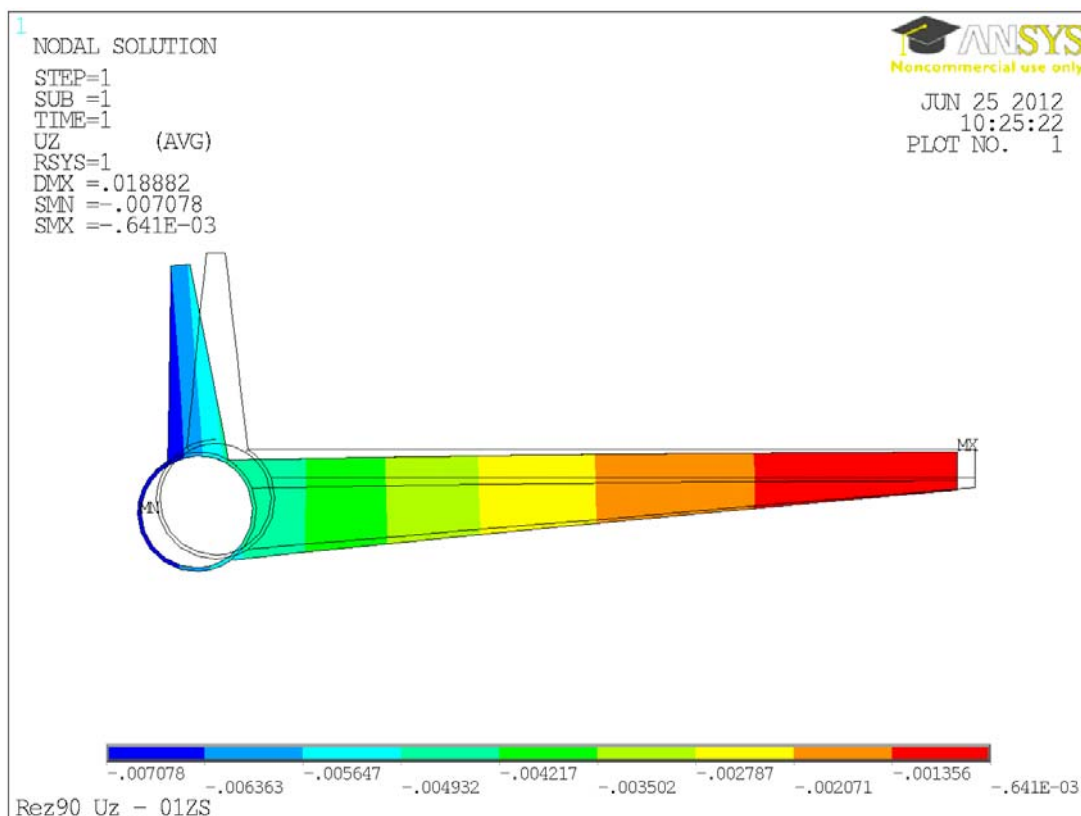
**Obr. B.2** Posunutí uz – K01



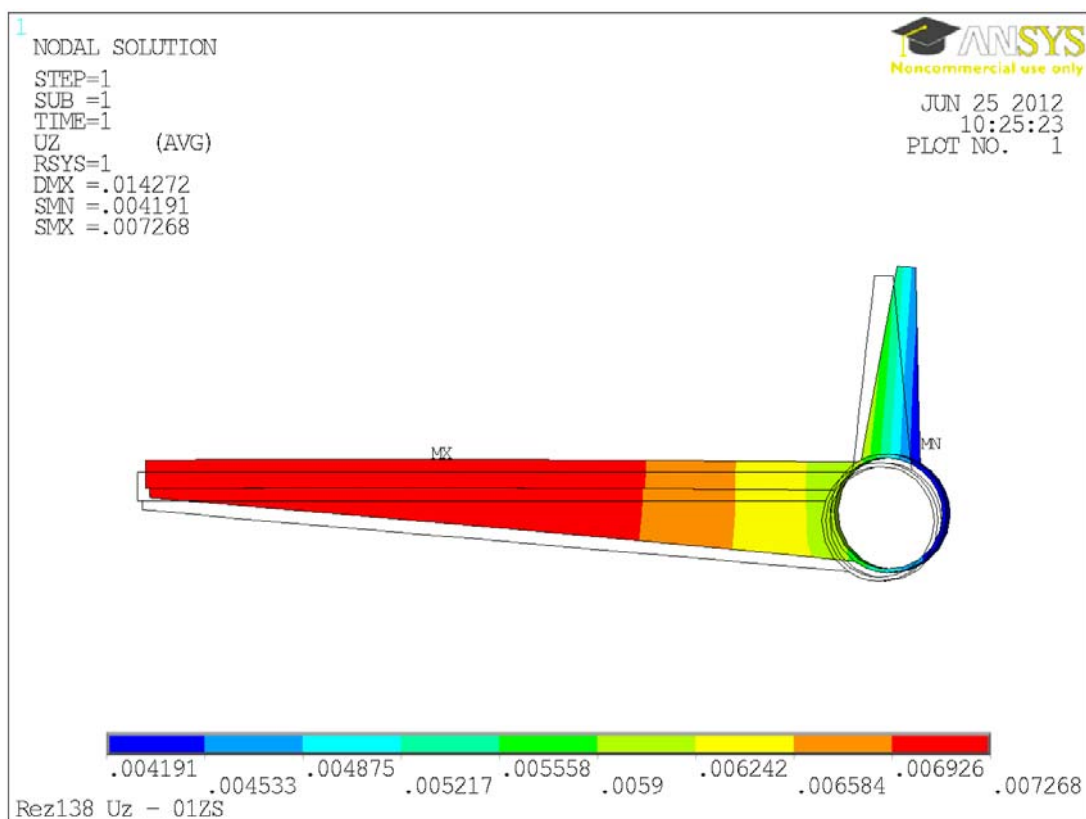
Obr. B.3 Posunutí ux – K01



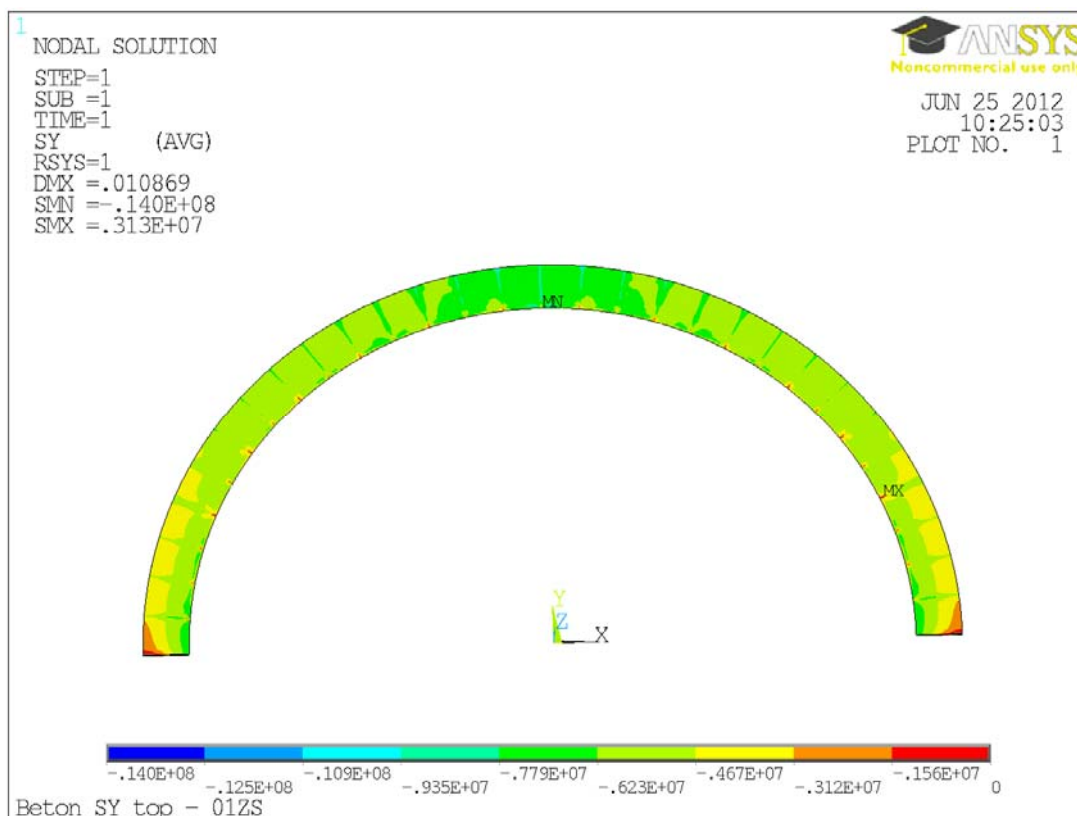
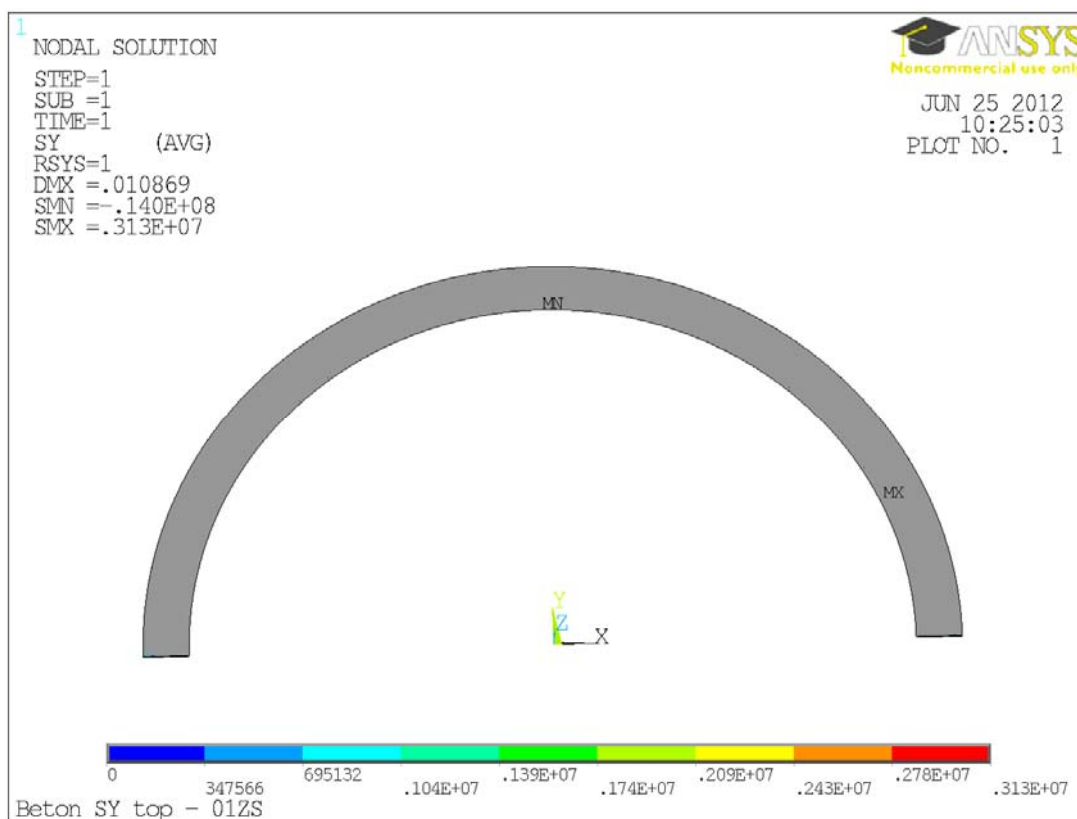
Obr. B.4 Posunutí uz – příčný řez 42 – K01

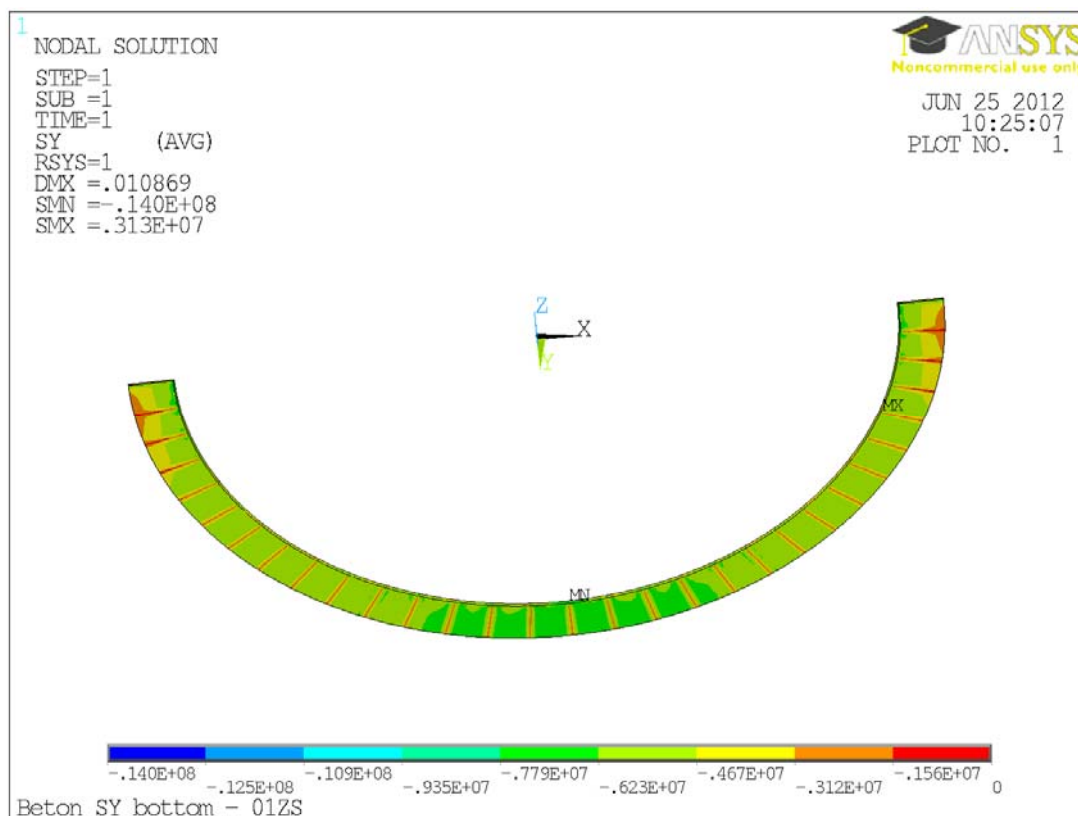


Obr. B.5 Posunutí uz – příčný řez 90 – K01

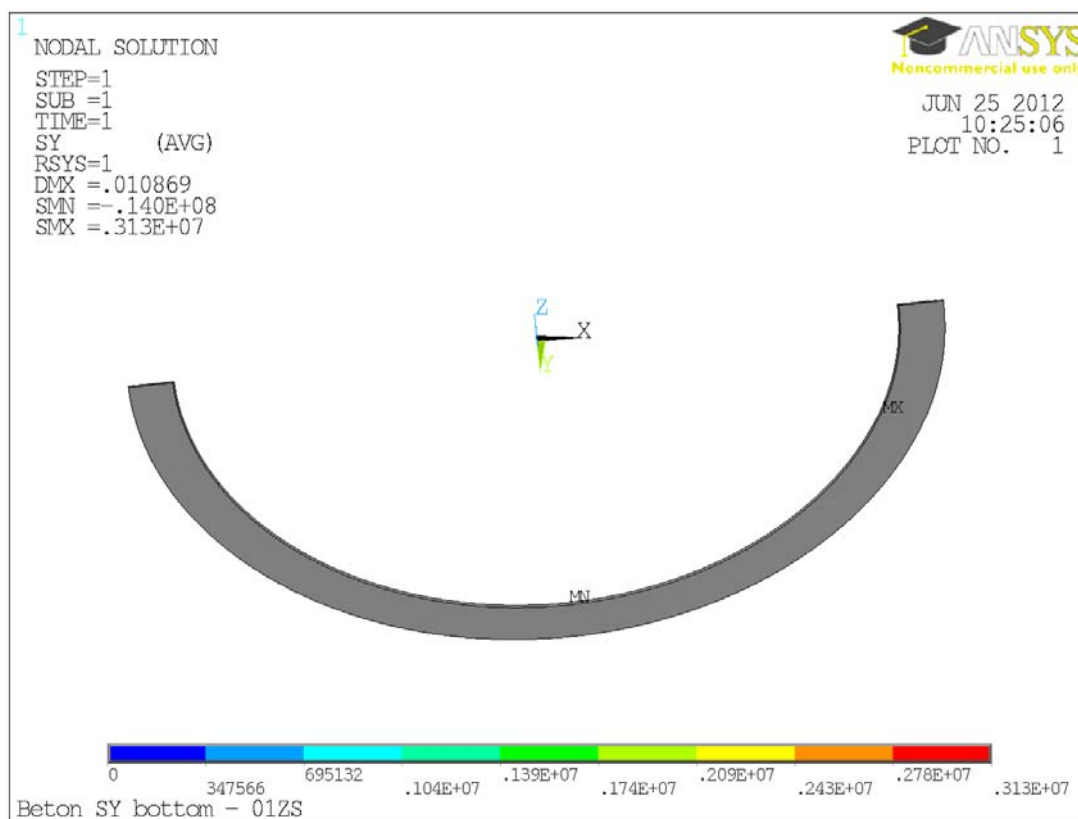


Obr. B.6 Posunutí uz – příčný řez 138 – K01

Obr. B.7 Podélné napětí  $S_x$  (pouze tlak) – deska – horní povrch – K01Obr. B.8 Podélné napětí  $S_x$  (pouze tah) – deska – horní povrch – K01

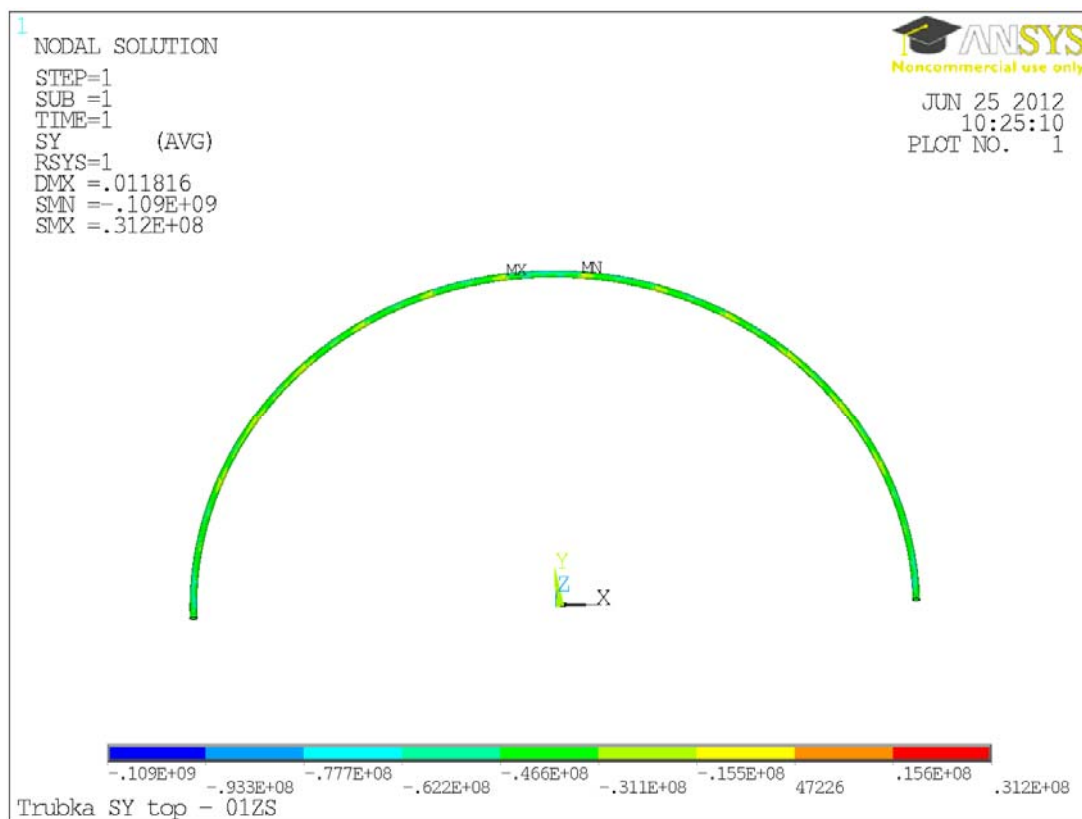
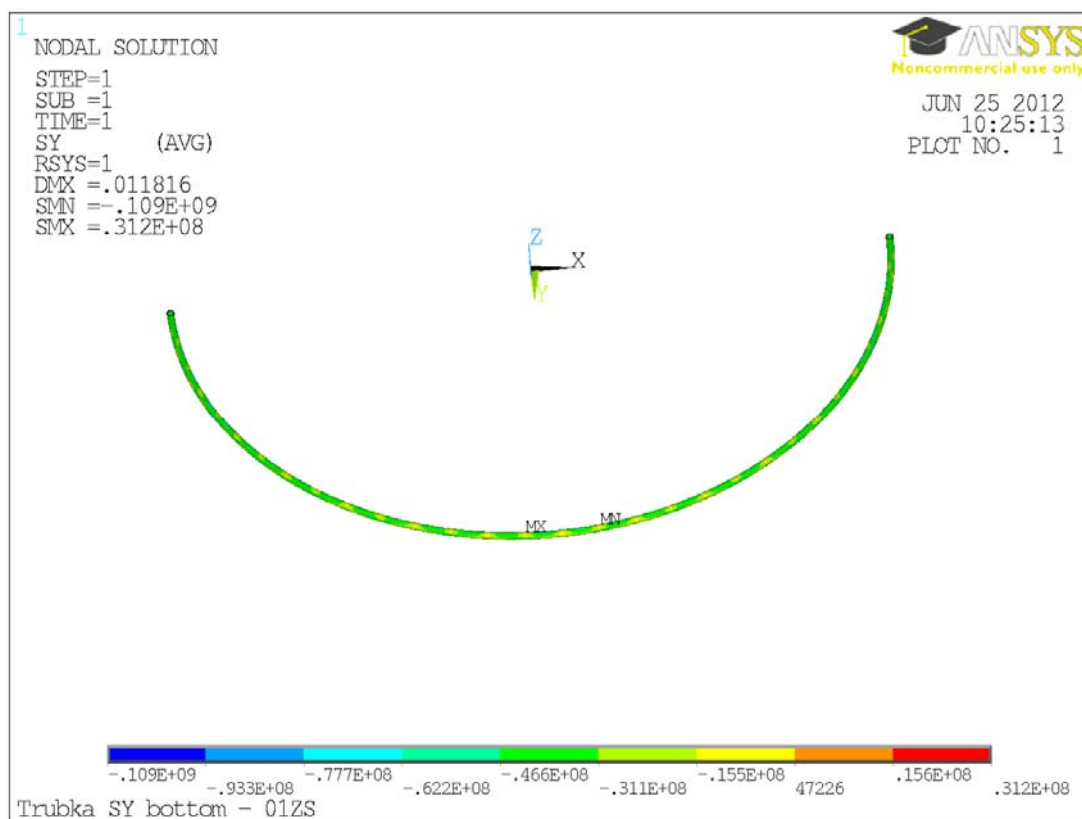


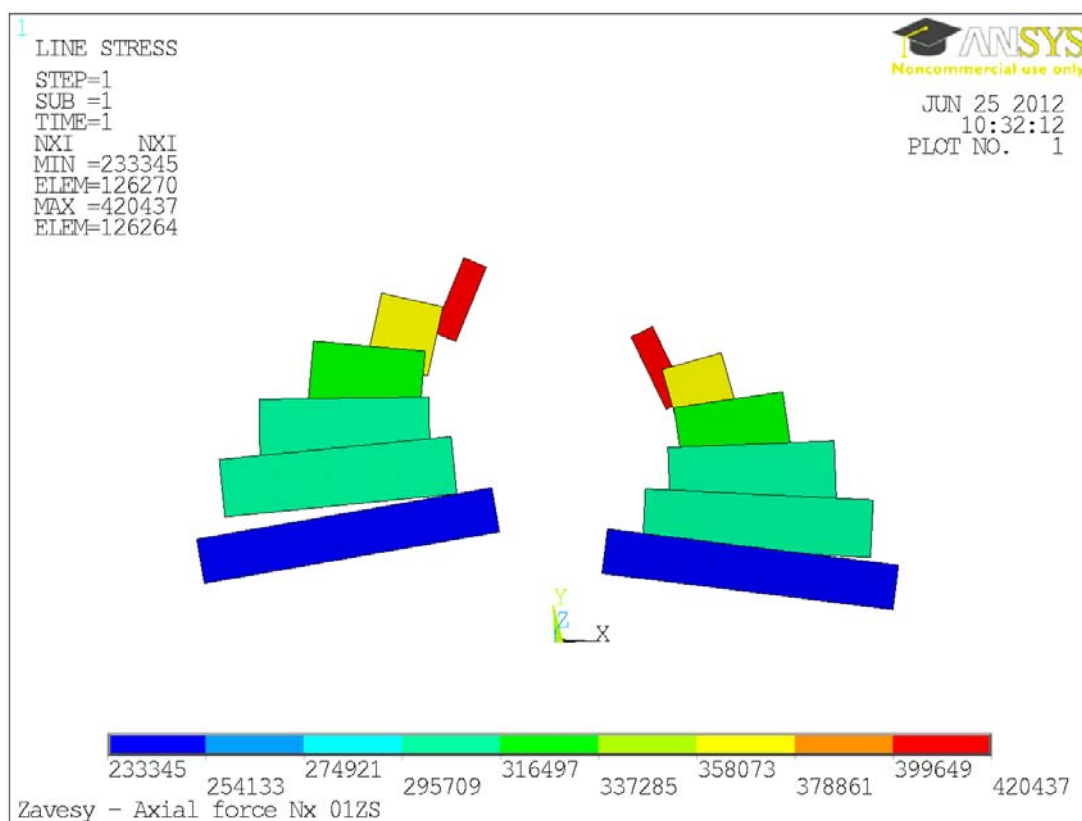
**Obr. B.9** Podélné napětí  $S_x$  (pouze tlak) – deska – dolní povrch – K01



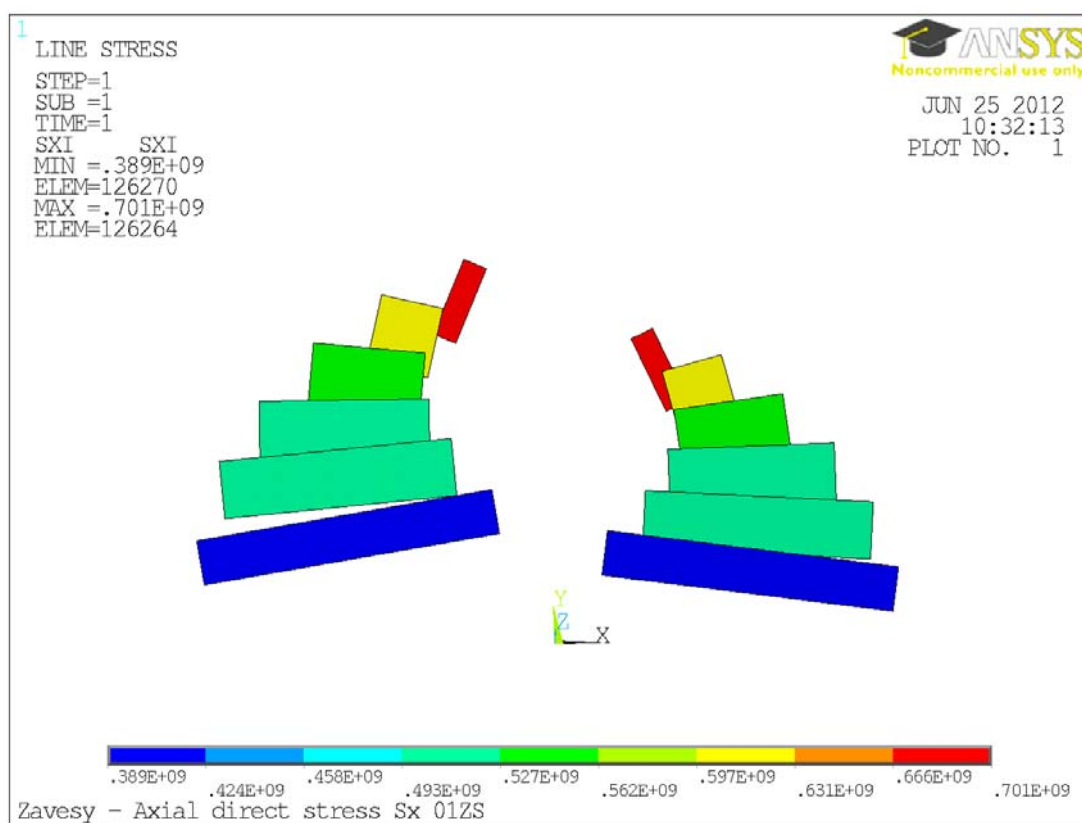
**Obr. B.10** Podélné napětí  $S_x$  (pouze tah) – deska – dolní povrch – K01



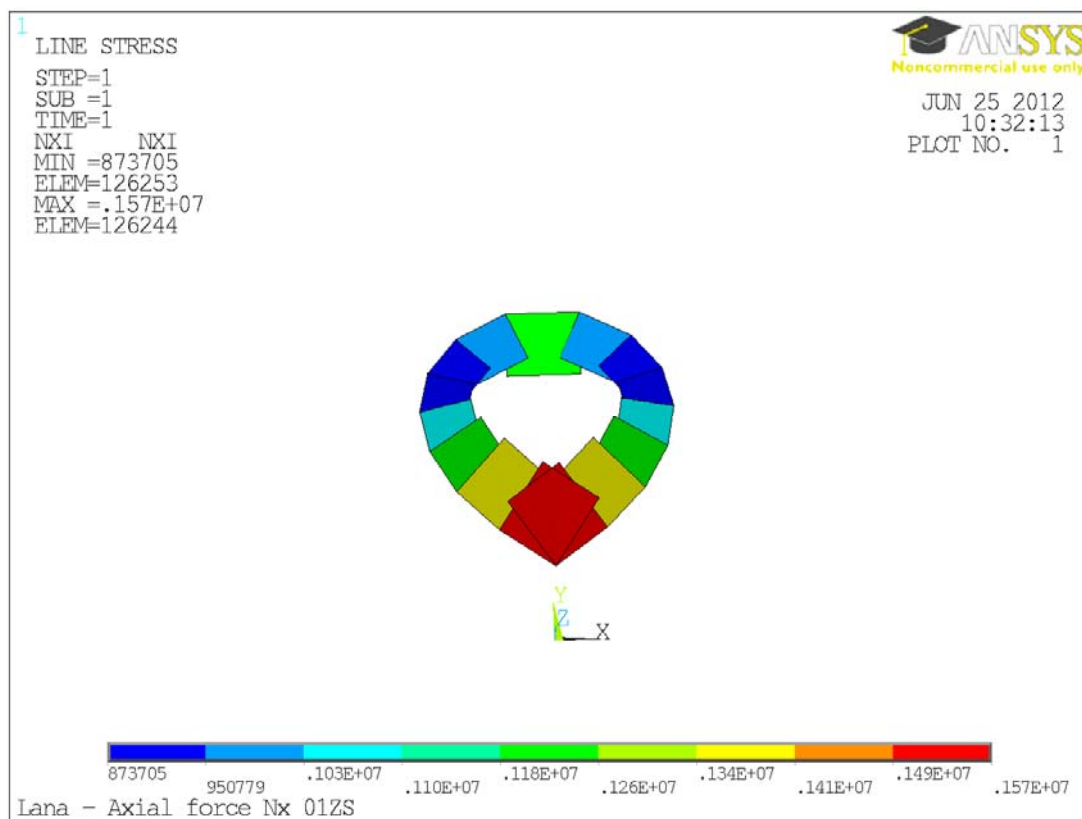
Obr. B.11 Podélné napětí  $S_x$  – trubka – horní povrch – K01Obr. B.12 Podélné napětí  $S_x$  – trubka – dolní povrch – K01



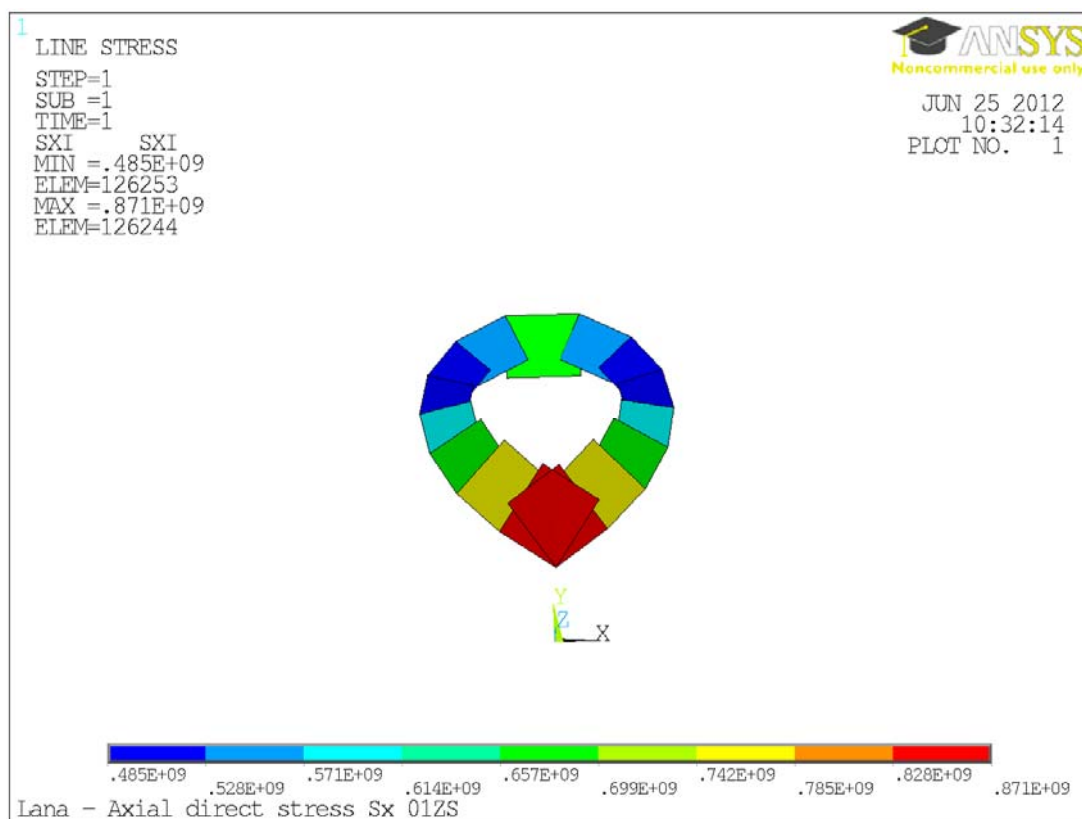
Obr. B.13 Normálová síla – závěsy – K01



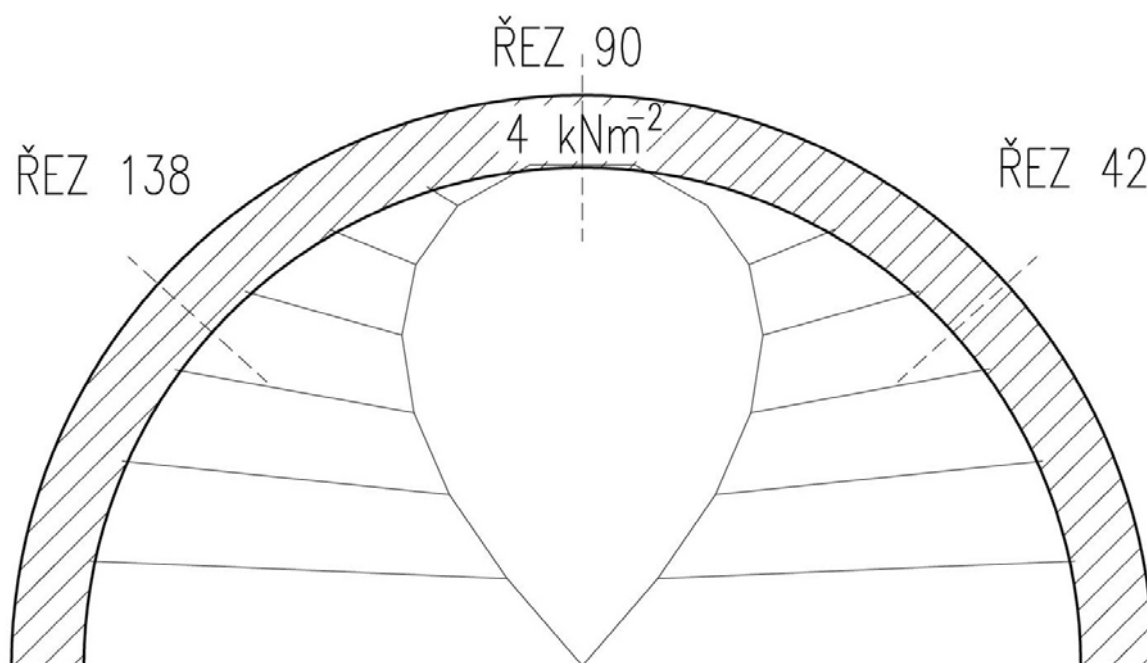
Obr. B.14 Normálové napětí – závěsy – K01



Obr. B.15 Normálová síla – visuté lano – K01



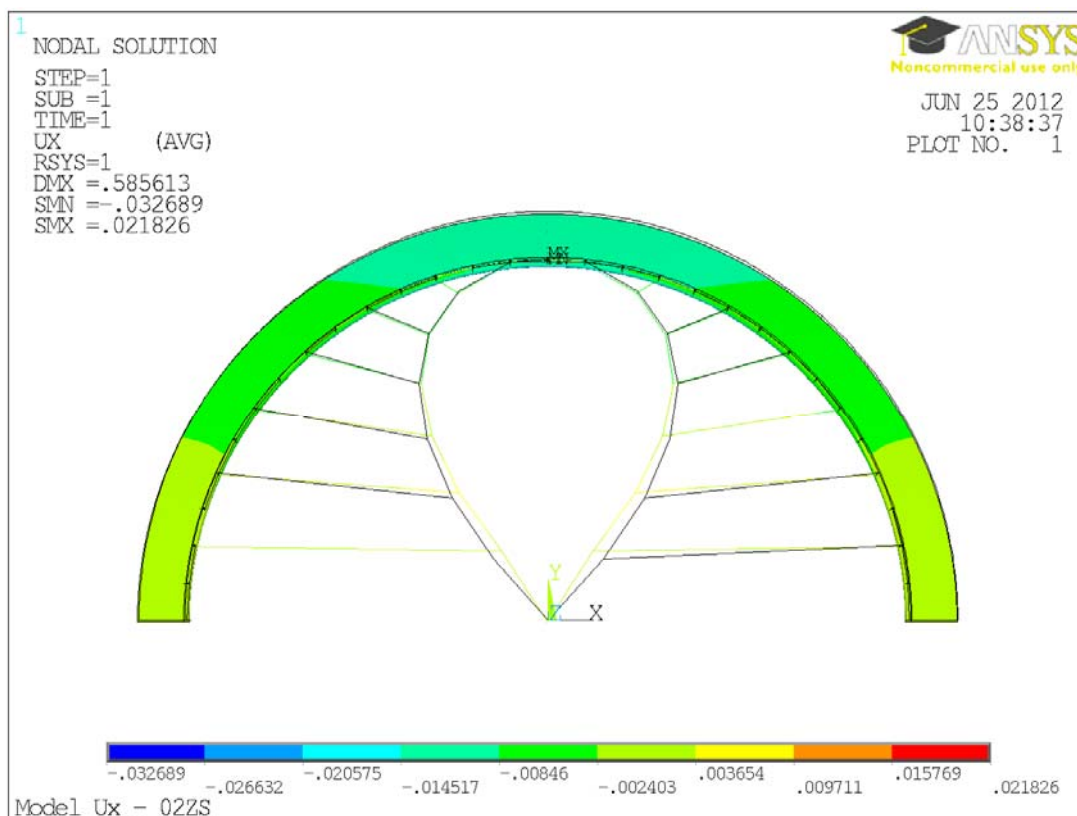
Obr. B.16 Normálové napětí – visuté lano – K01



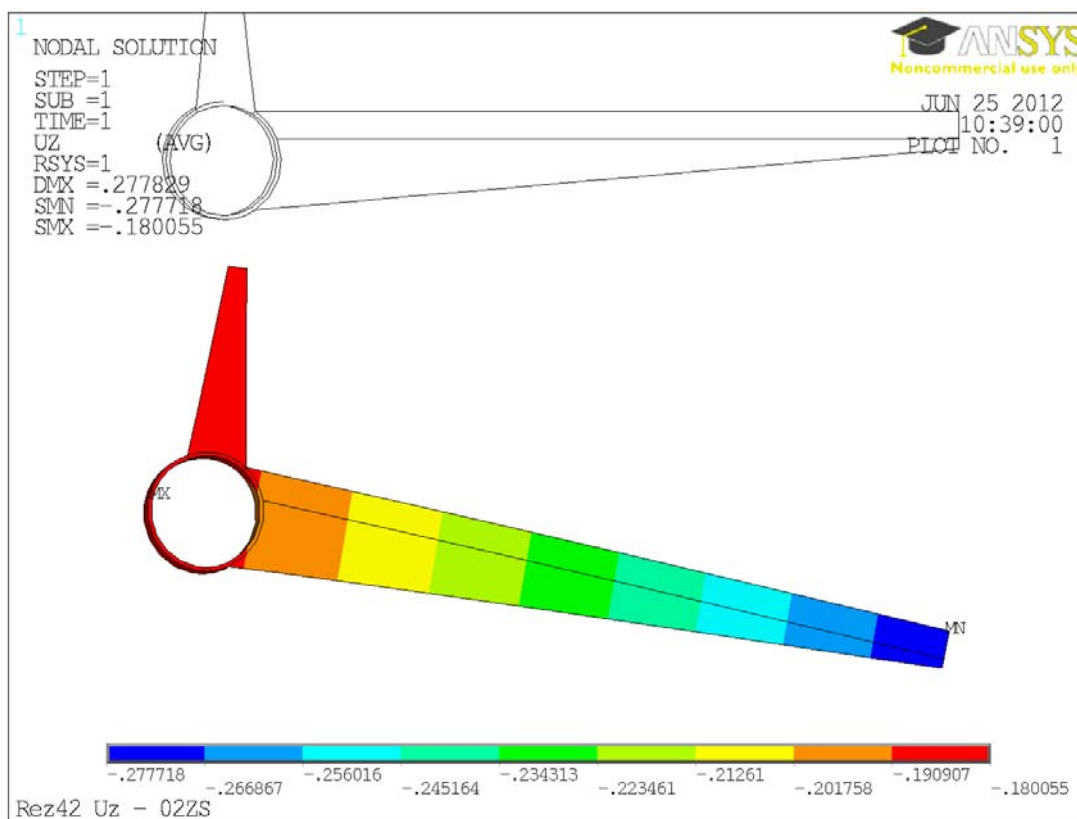
**Obr. B.17** Kombinace K02 – vlastní tíha, předpětí a zatížení chodci



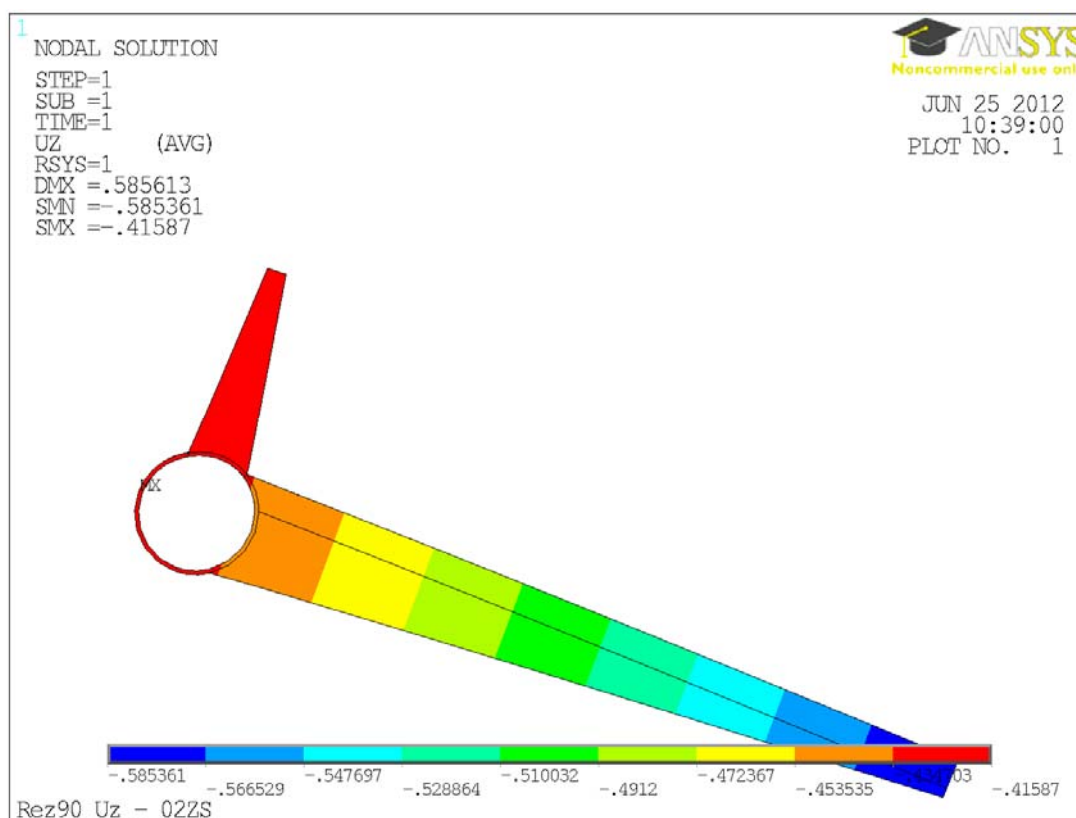
**Obr. B.18** Posunutí uz – K02



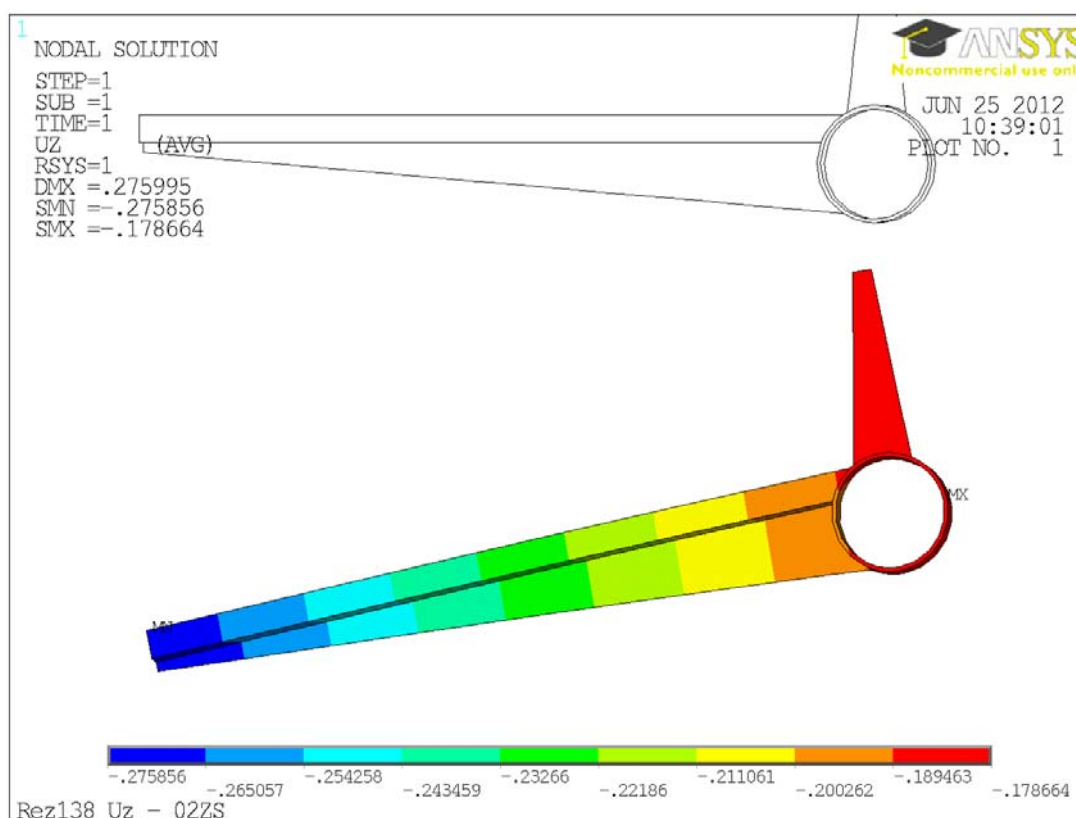
Obr. B.19 Posunutí ux – K02



Obr. B.20 Posunutí uz – příčný řez 42 – K02

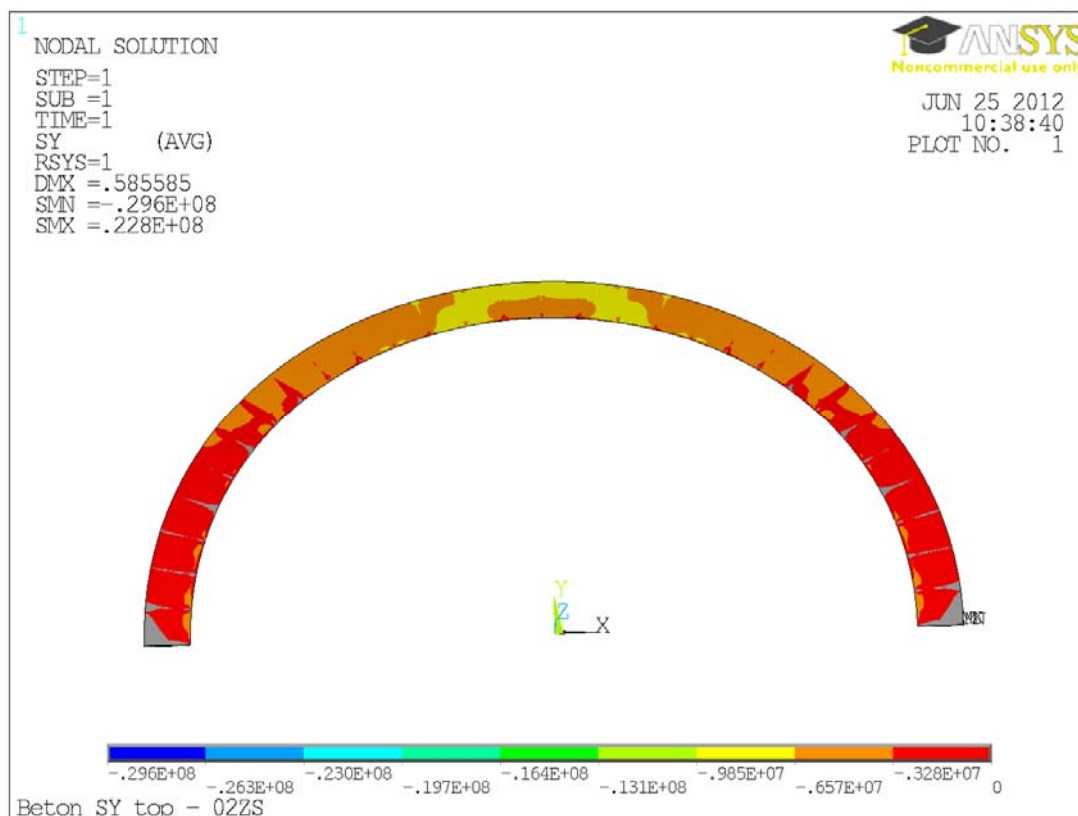


Obr. B.21 Posunutí uz – příčný řez 90 – K02

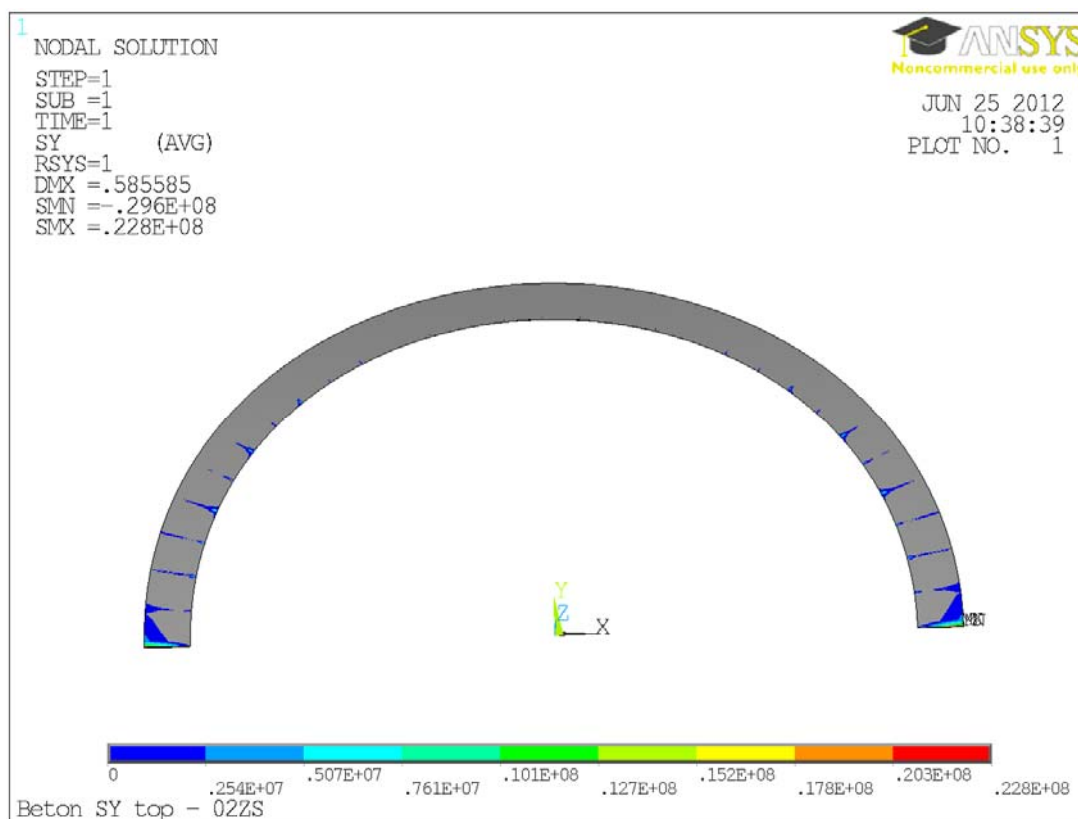


Obr. B.22 Posunutí uz – příčný řez 138 – K02



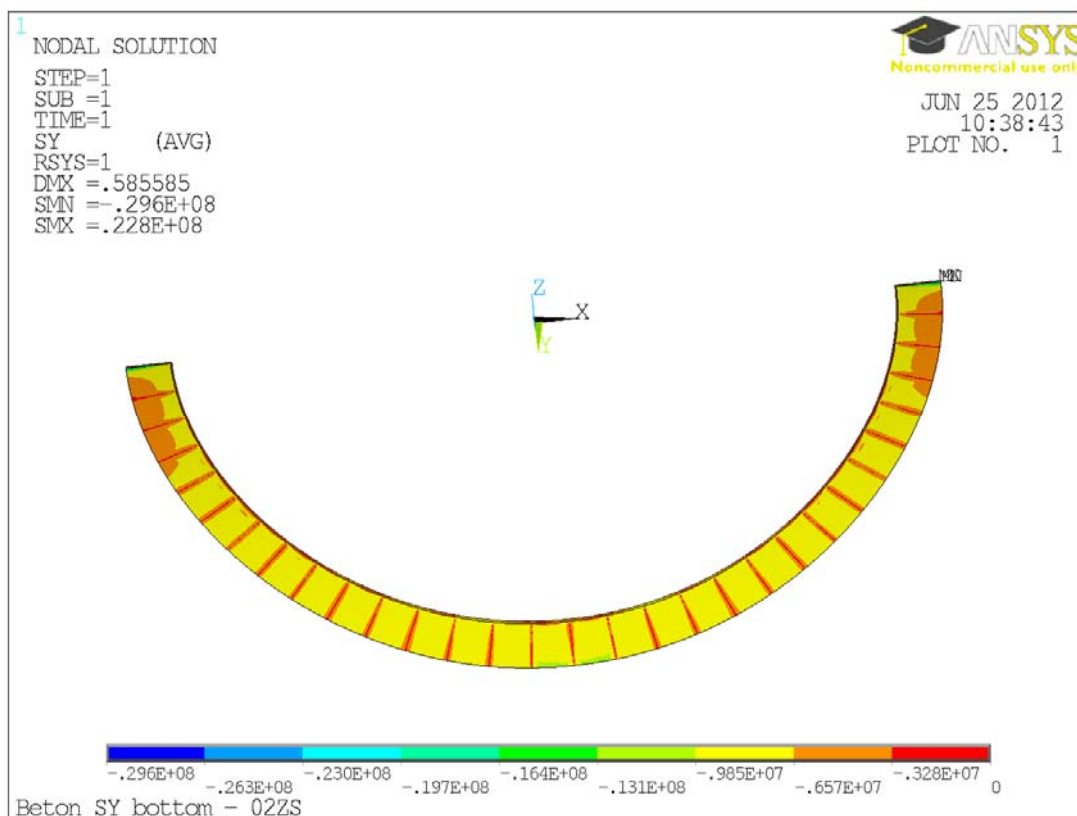


**Obr. B.23** Podélné napětí  $S_x$  (pouze tlak) – deska – horní povrch – K02

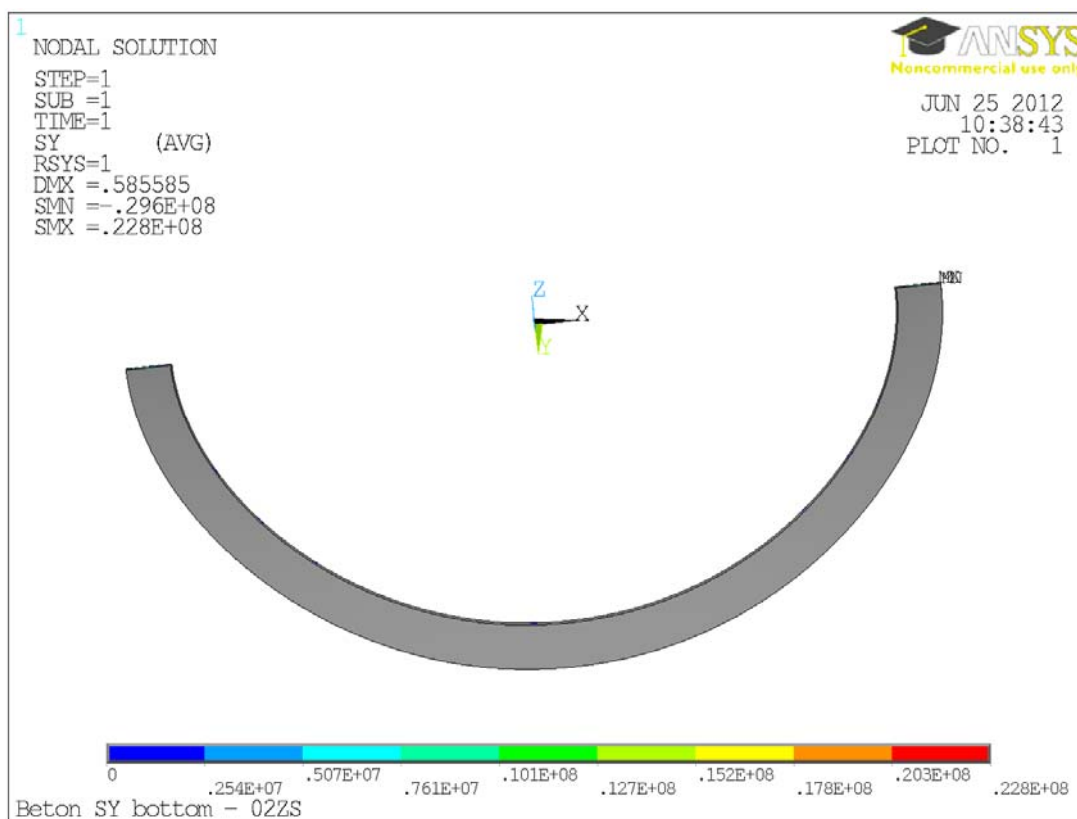


**Obr. B.24** Podélné napětí  $S_x$  (pouze tah) – deska – horní povrch – K02

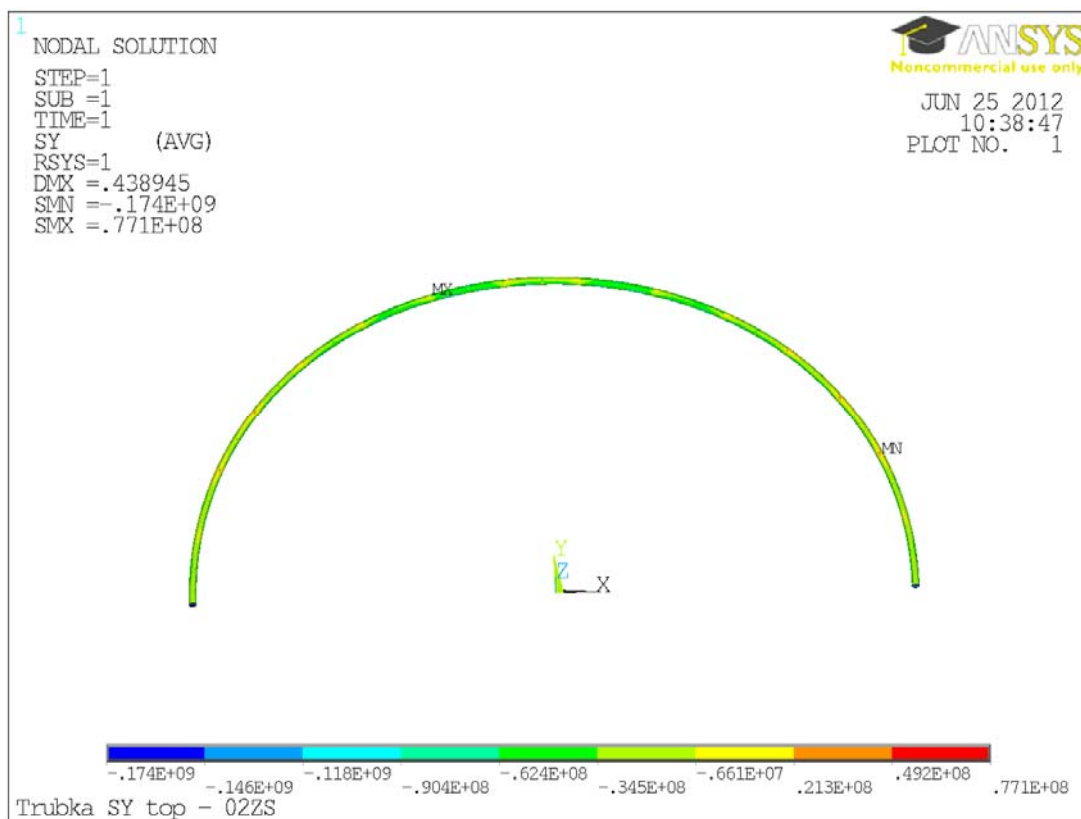
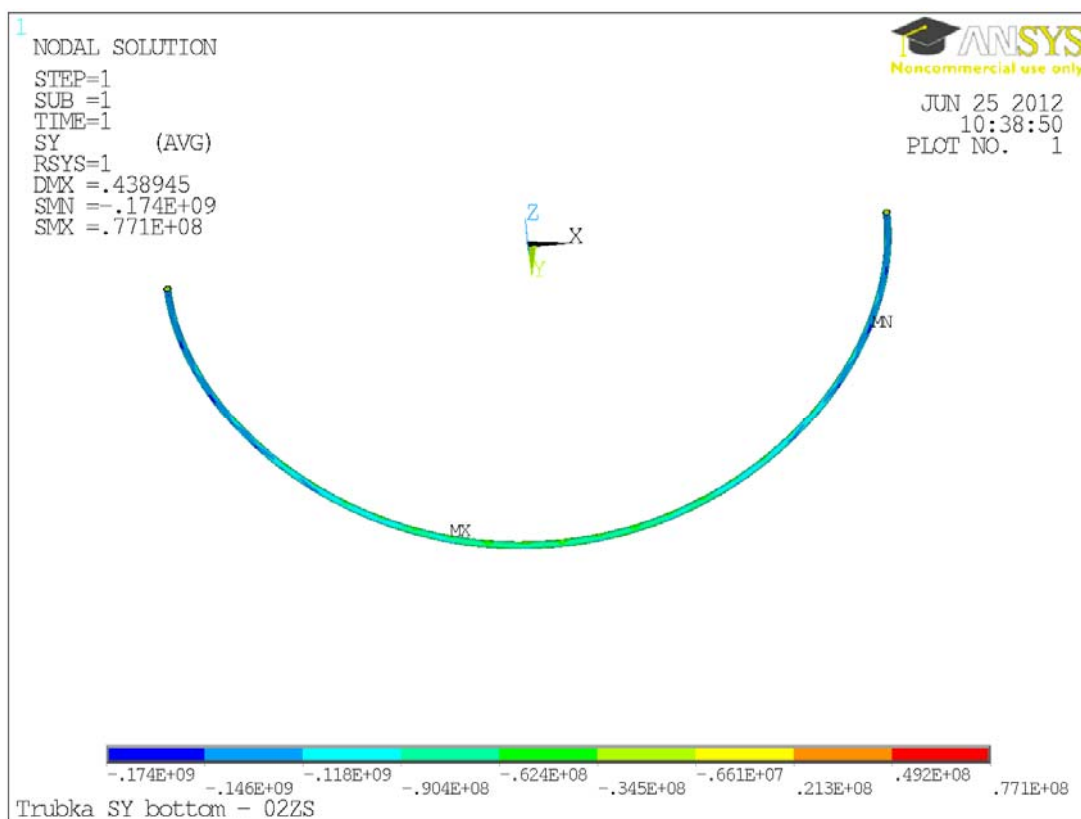


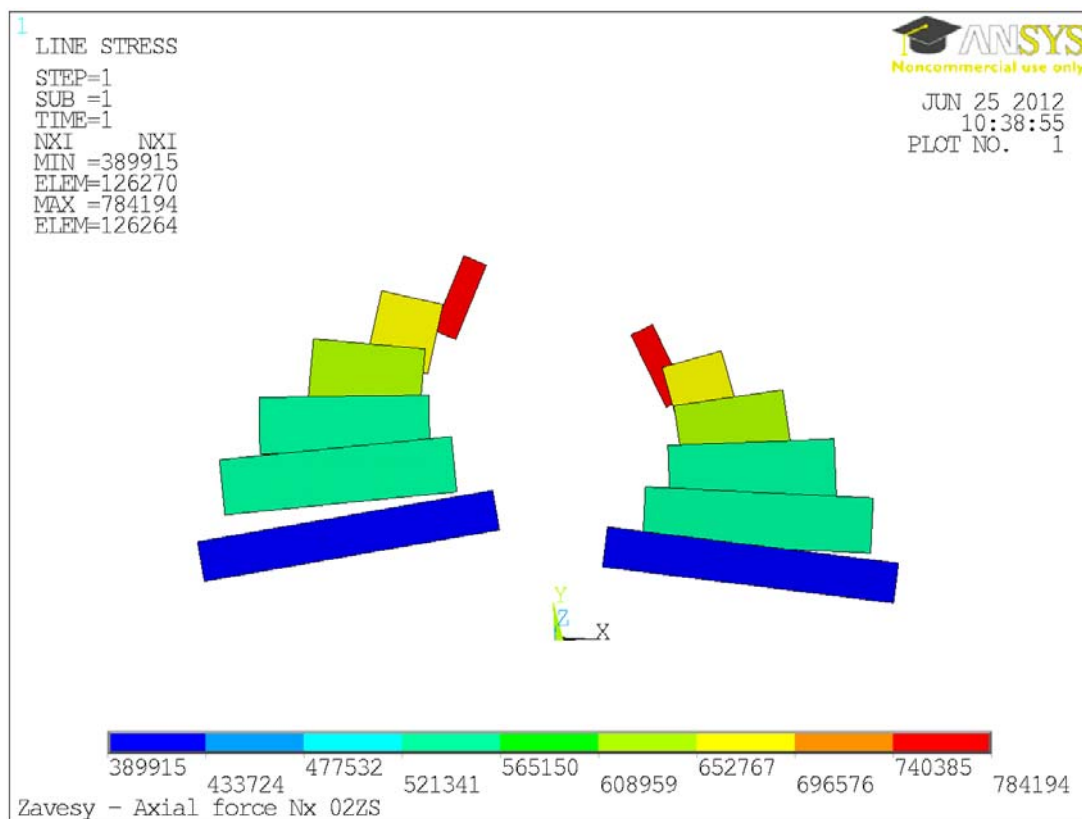


**Obr. B.25** Podélné napětí  $S_x$  (pouze tlak) – deska – dolní povrch – K02

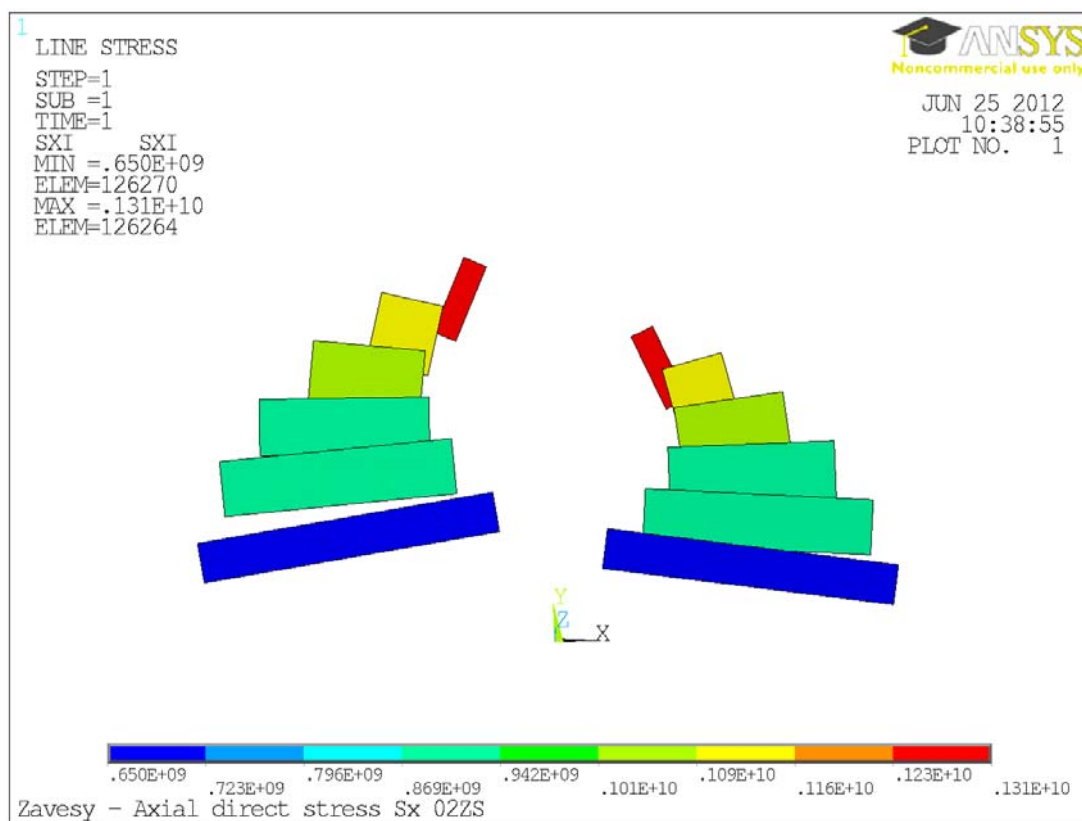


**Obr. B.26** Podélné napětí  $S_x$  (pouze tah) – deska – dolní povrch – K02

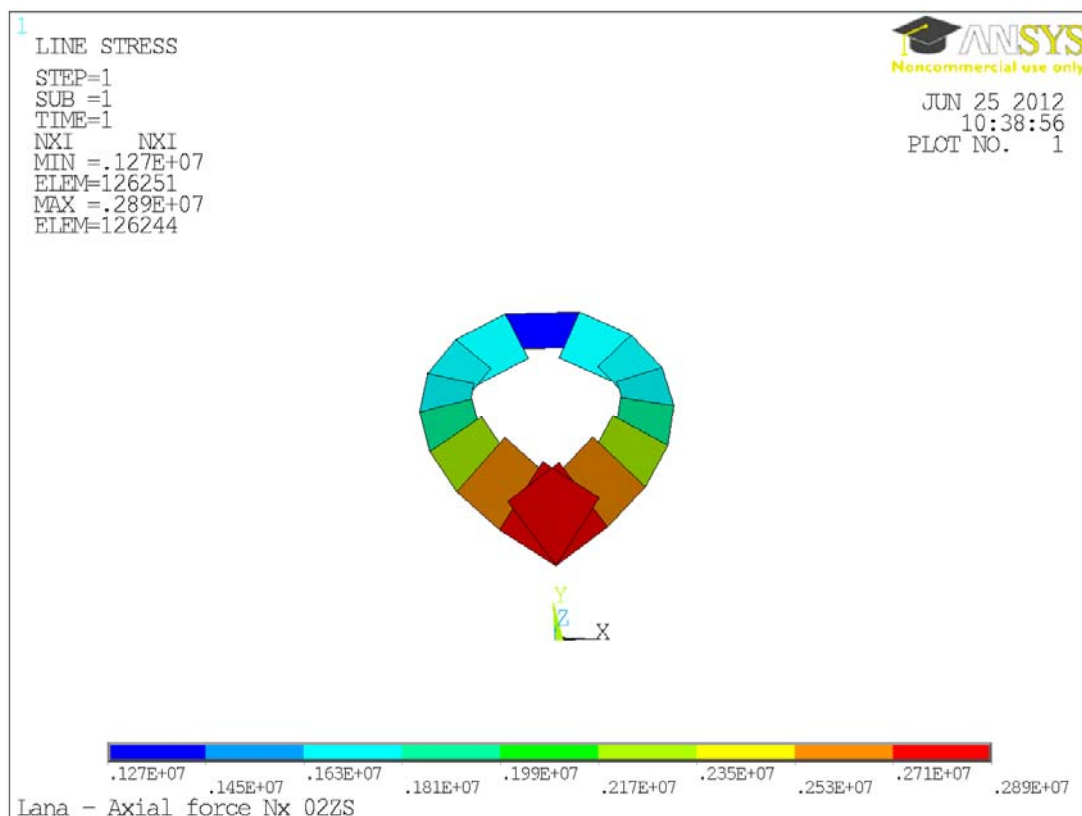
Obr. B.27 Podélné napětí  $S_x$  – trubka – horní povrch – K02Obr. B.28 Podélné napětí  $S_x$  – trubka – dolní povrch – K02



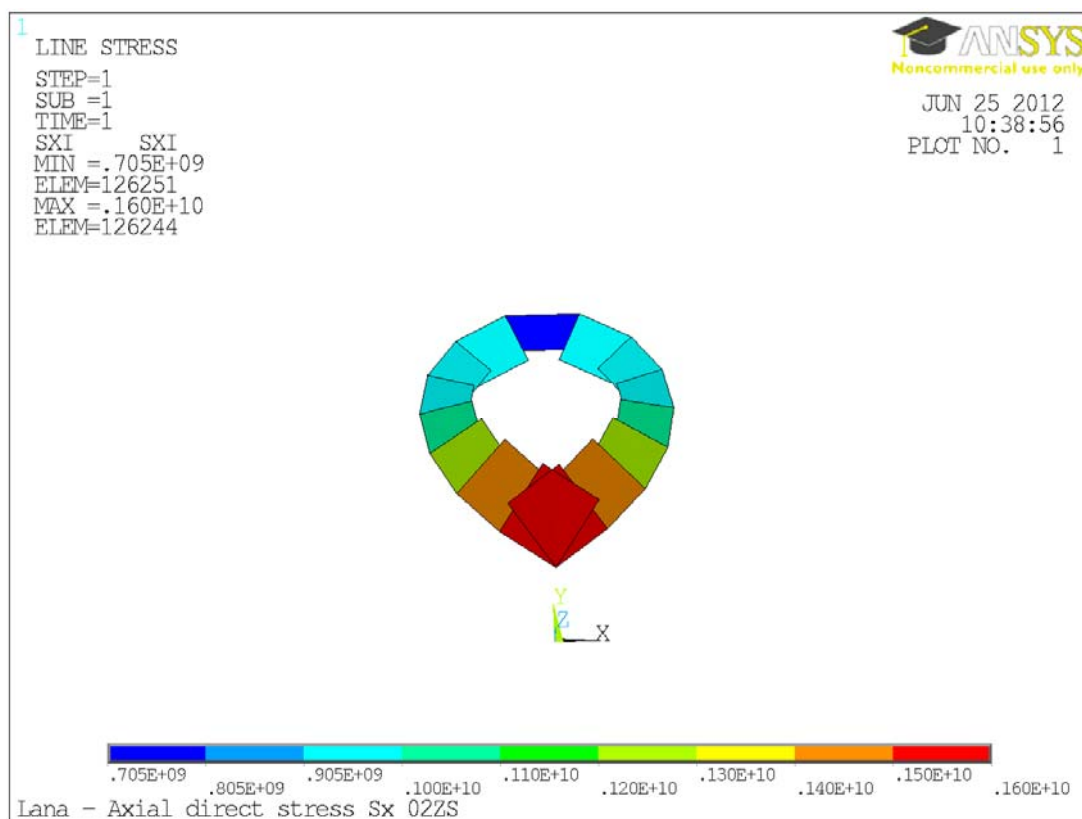
Obr. B.29 Normálová síla – závěsy – K02



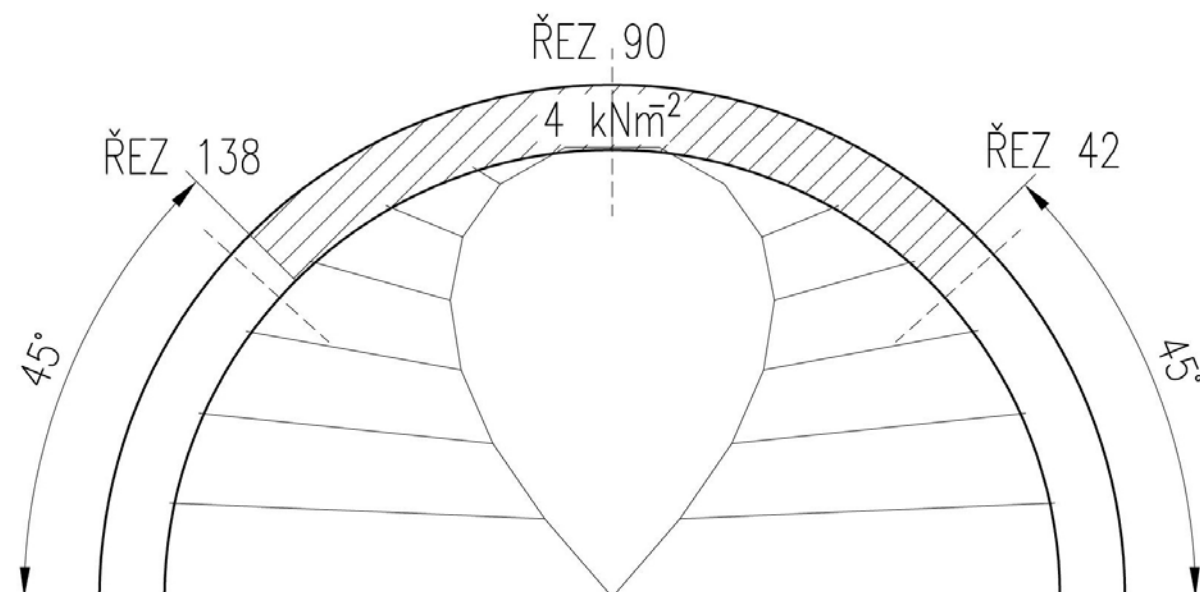
Obr. B.30 Normálové napětí – závěsy – K02



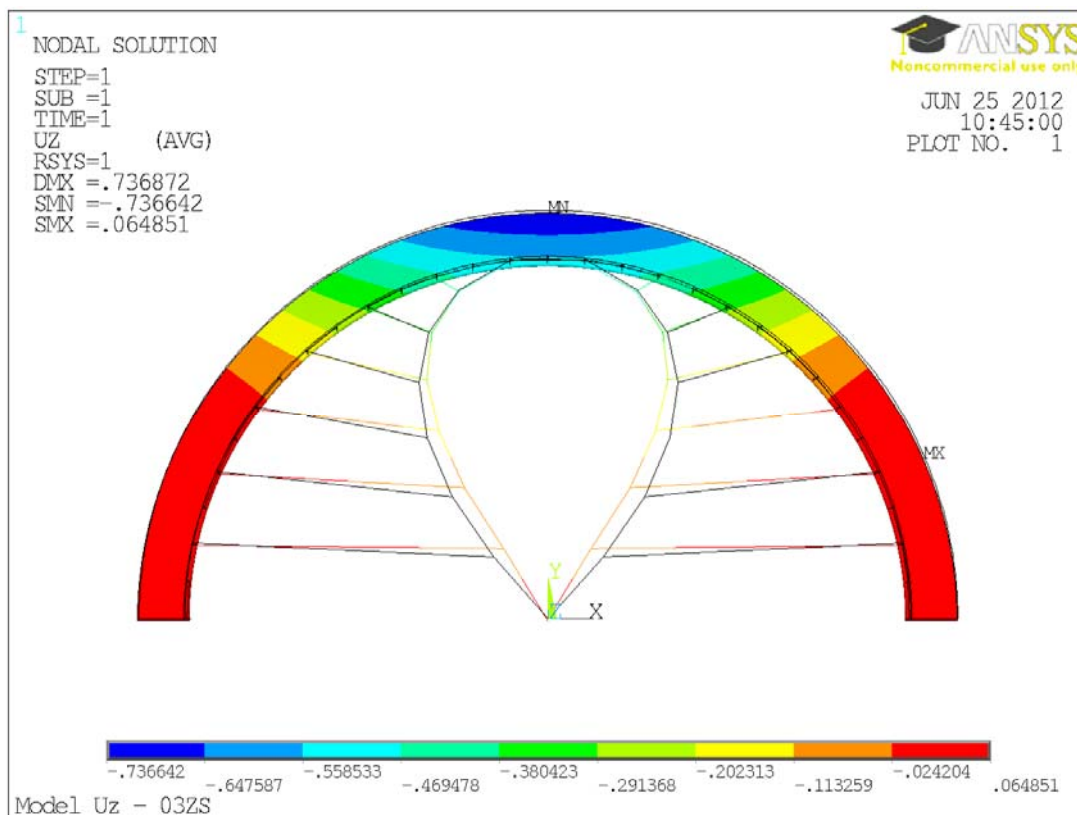
Obr. B.31 Normálová síla – visuté lano – K02



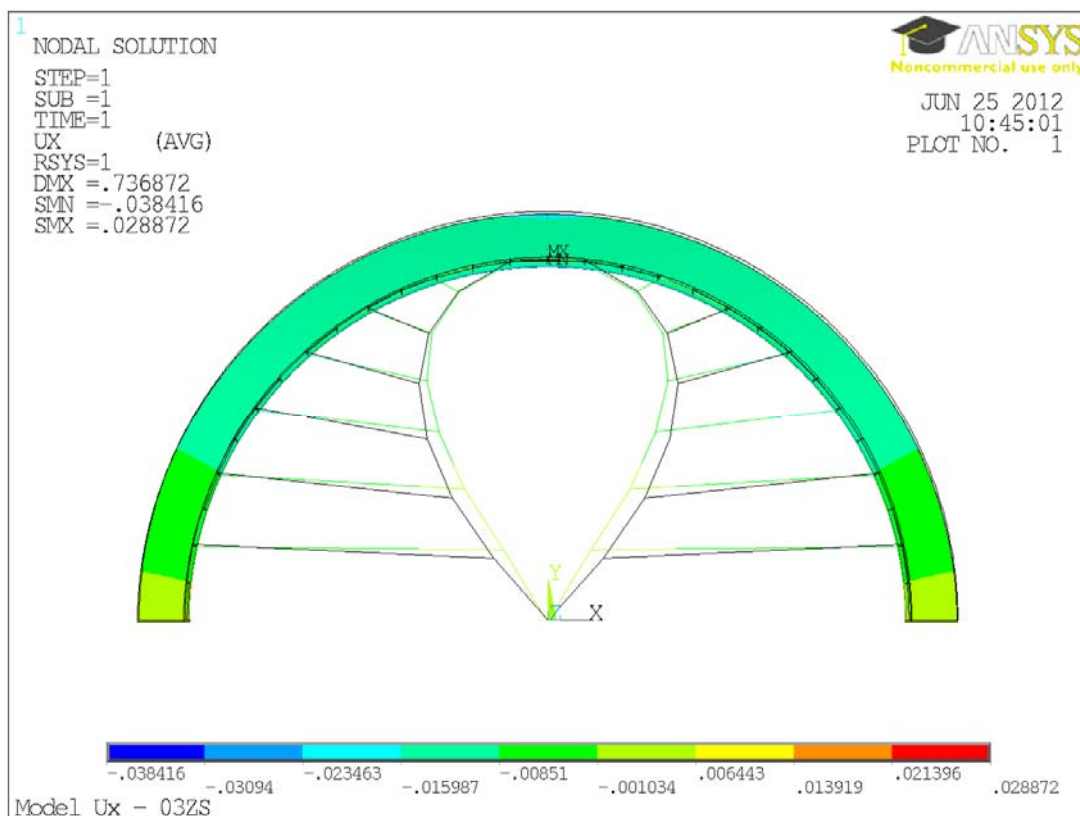
Obr. B.32 Normálové napětí – visuté lano – K02



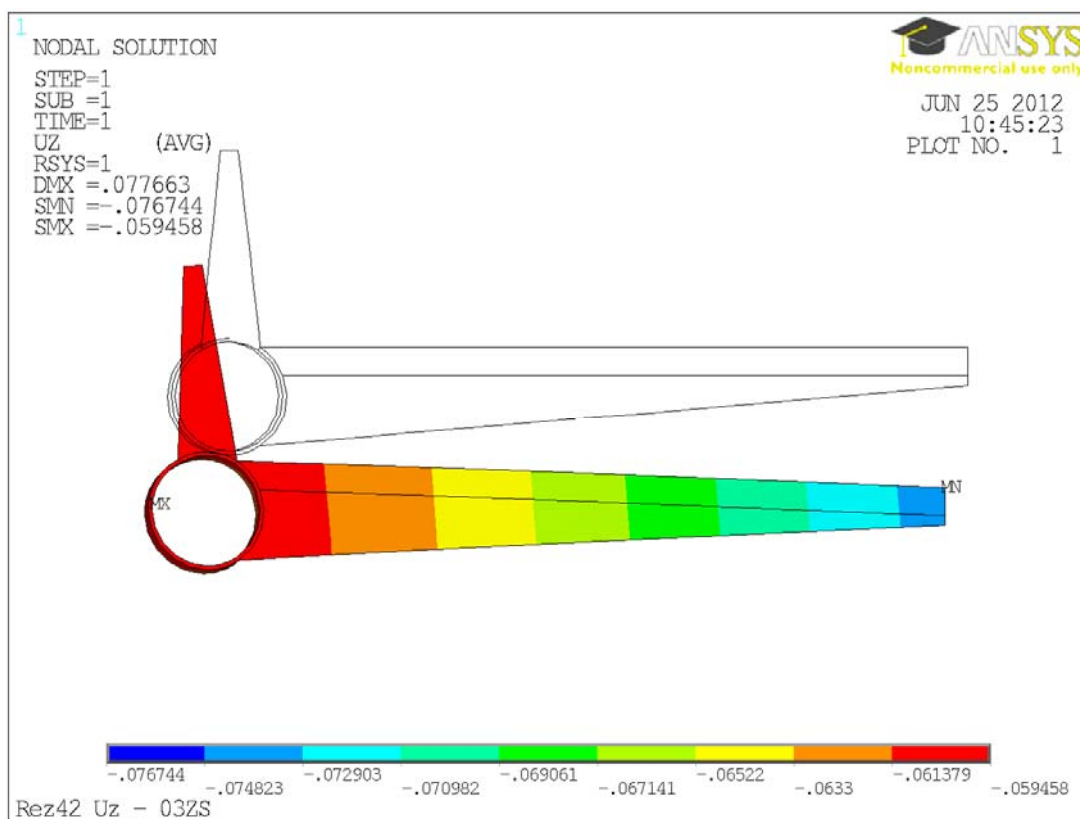
**Obr. B.33** Kombinace K03 – vlastní tíha, předpětí a zatížení chodci



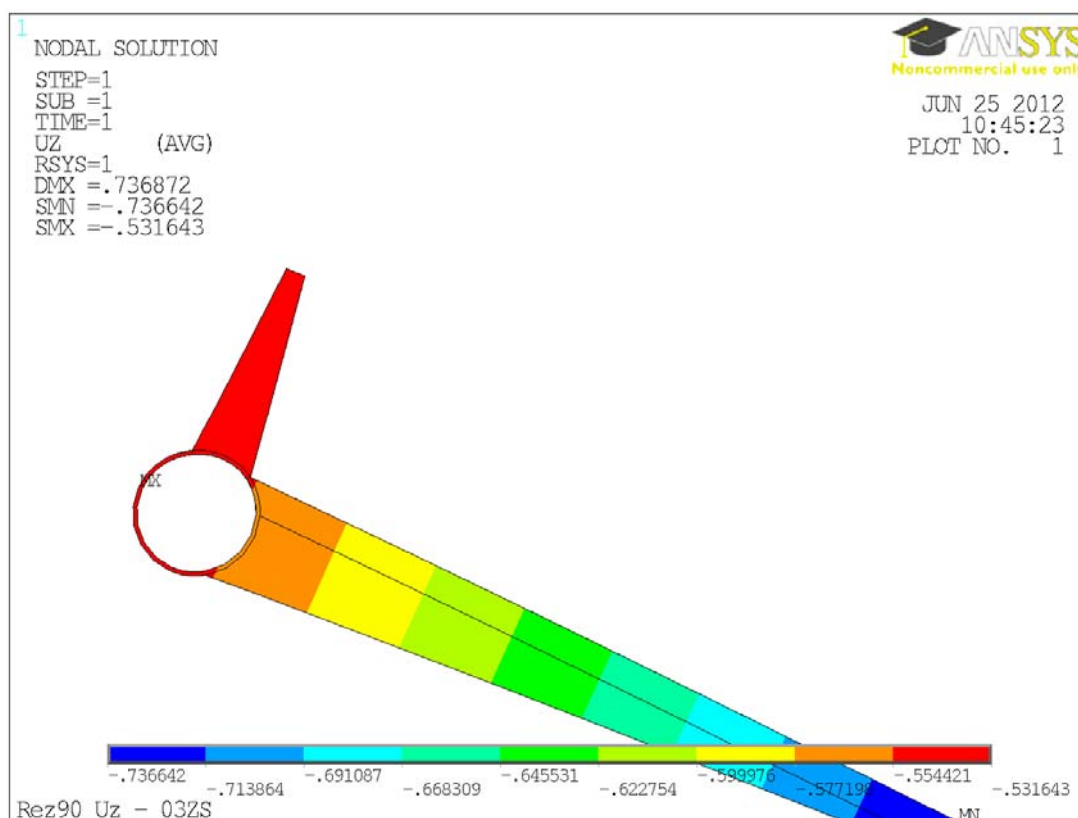
**Obr. B.34** Posunutí uz – K03



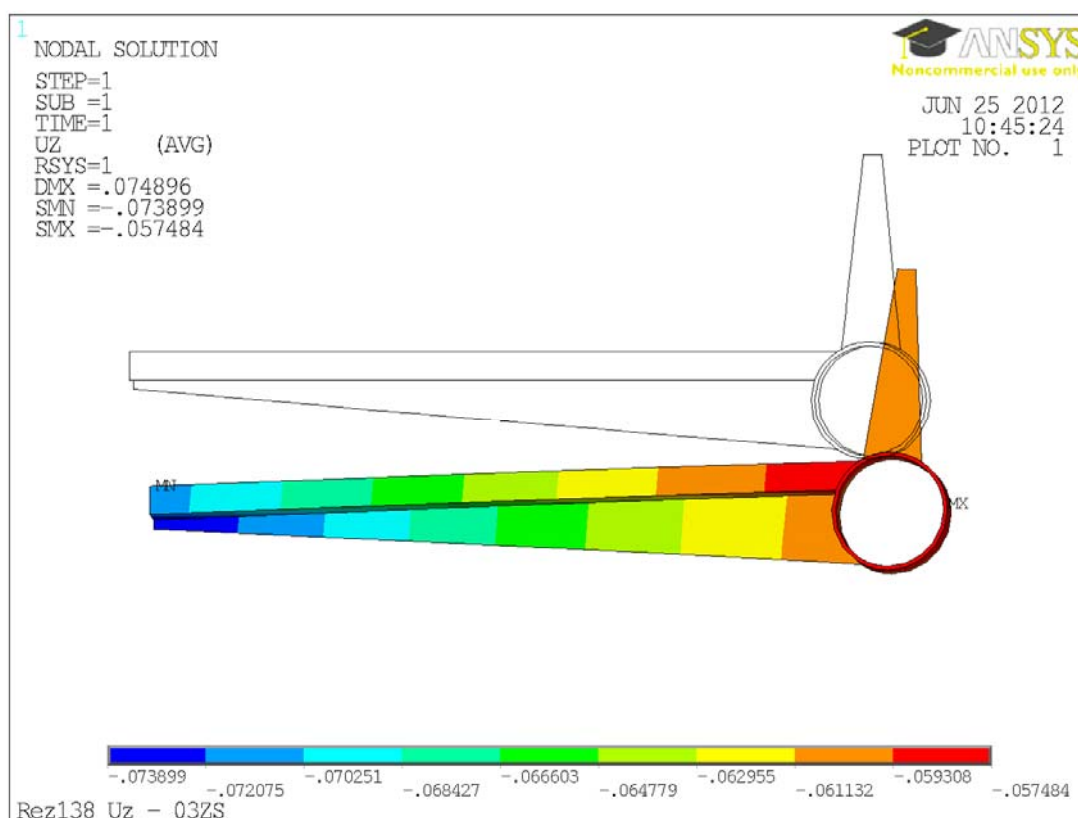
Obr. B.35 Posunutí ux – K03



Obr. B.36 Posunutí uz – příčný řez 42 – K03

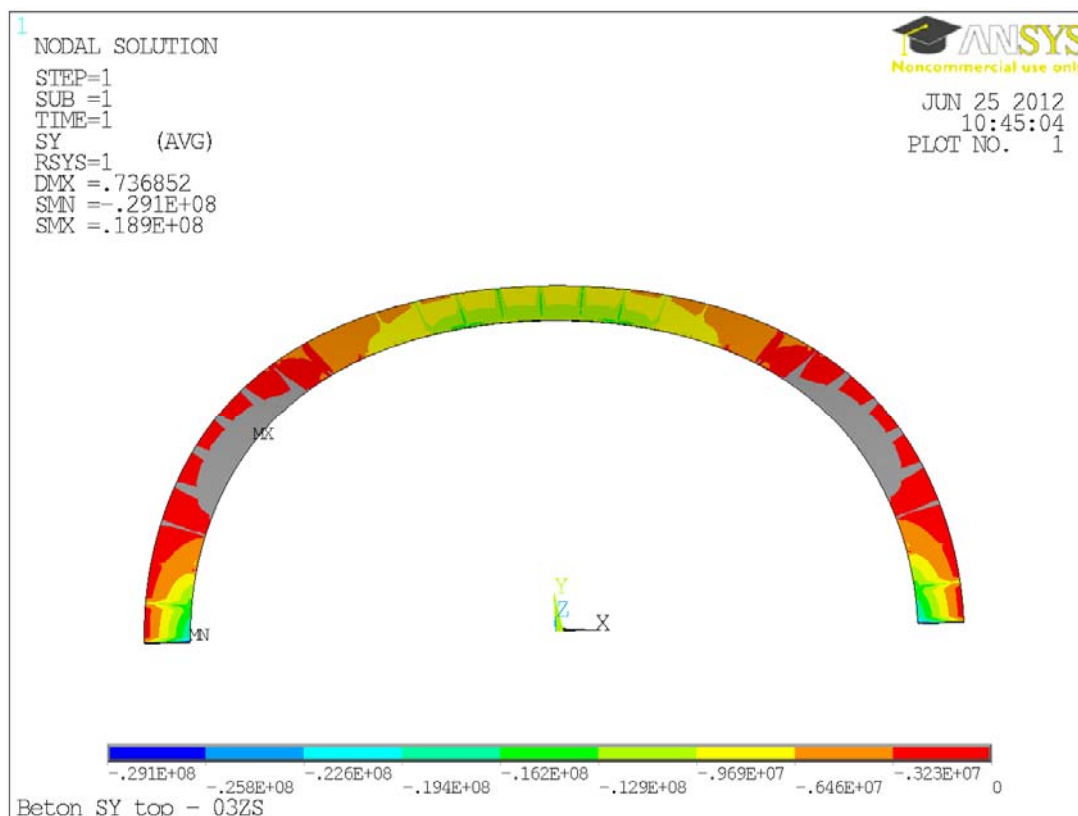
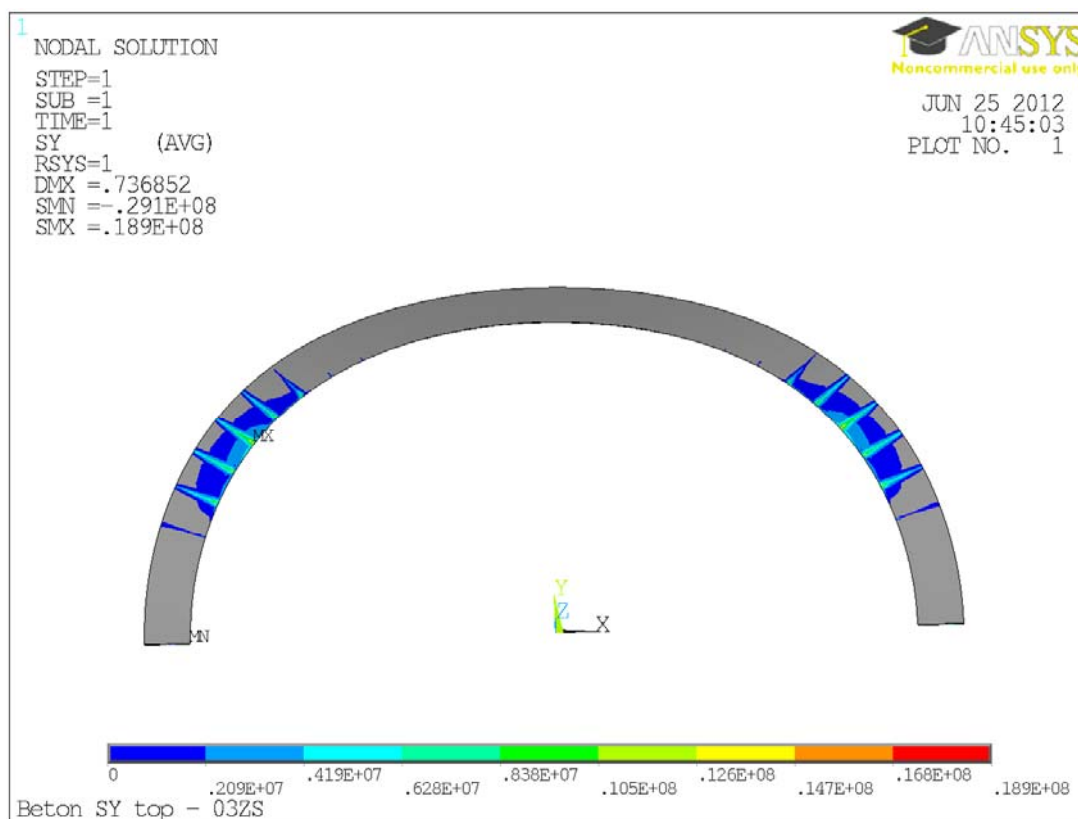


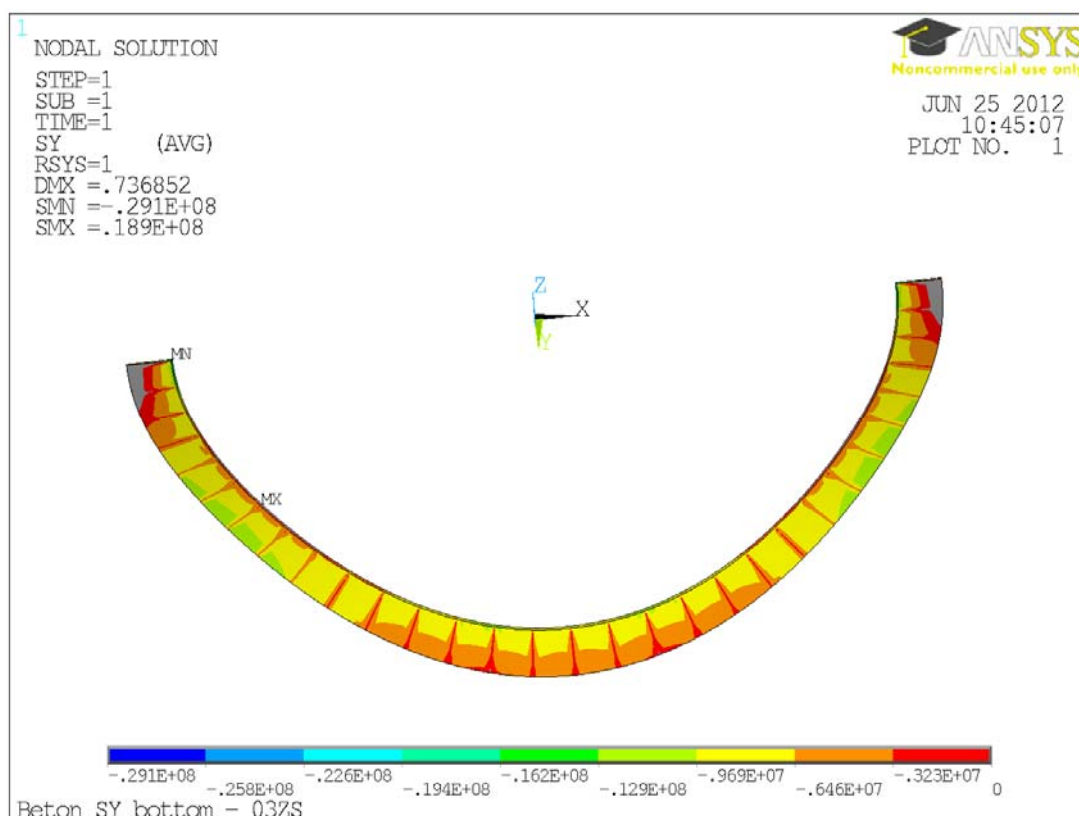
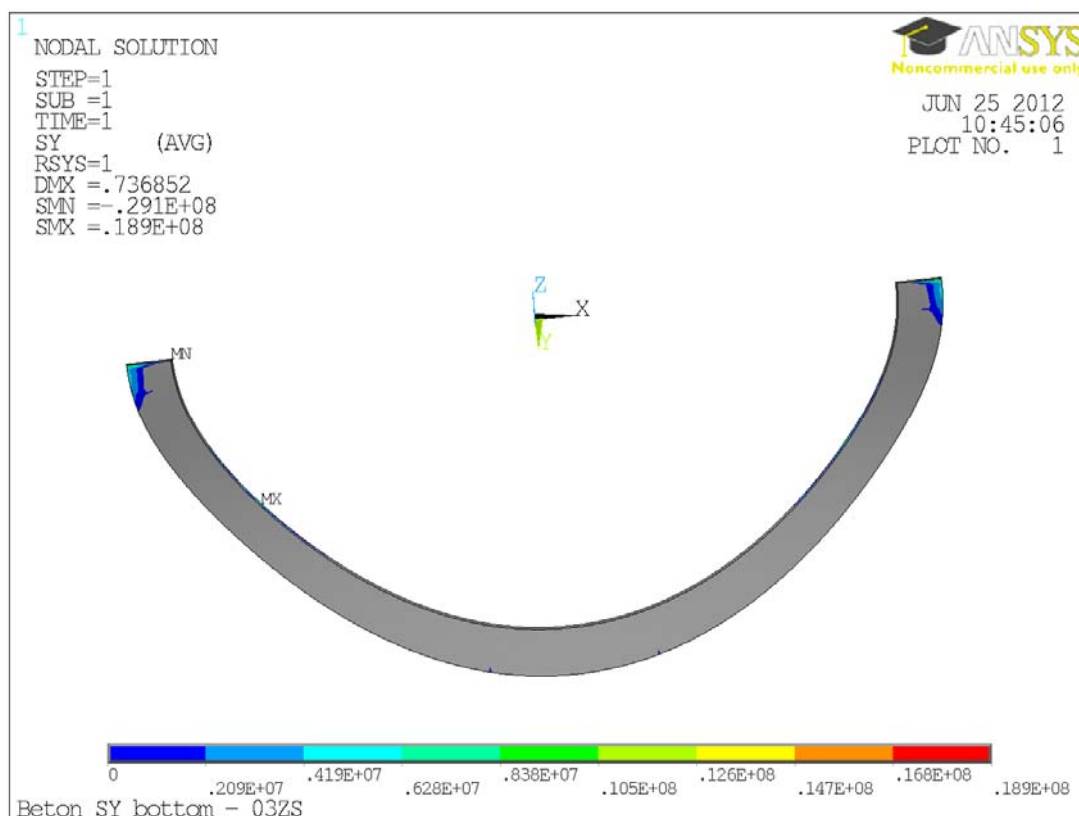
Obr. B.37 Posunutí uz – příčný řez 90 – K03

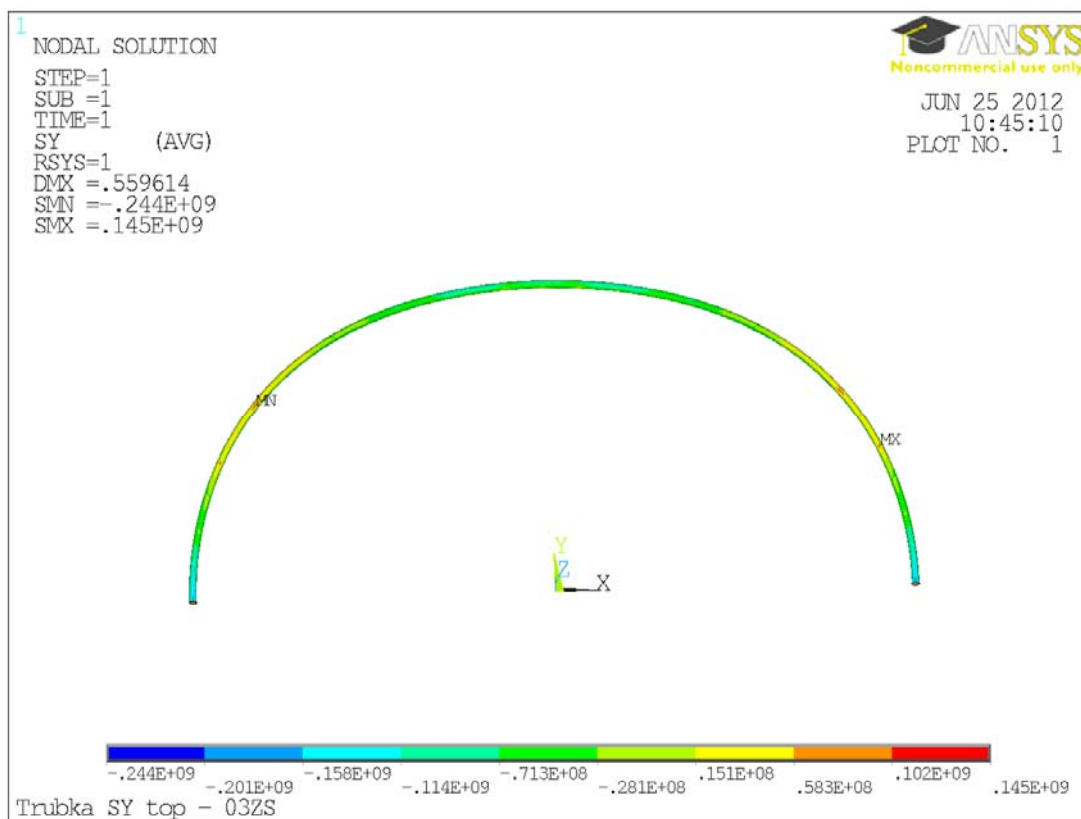
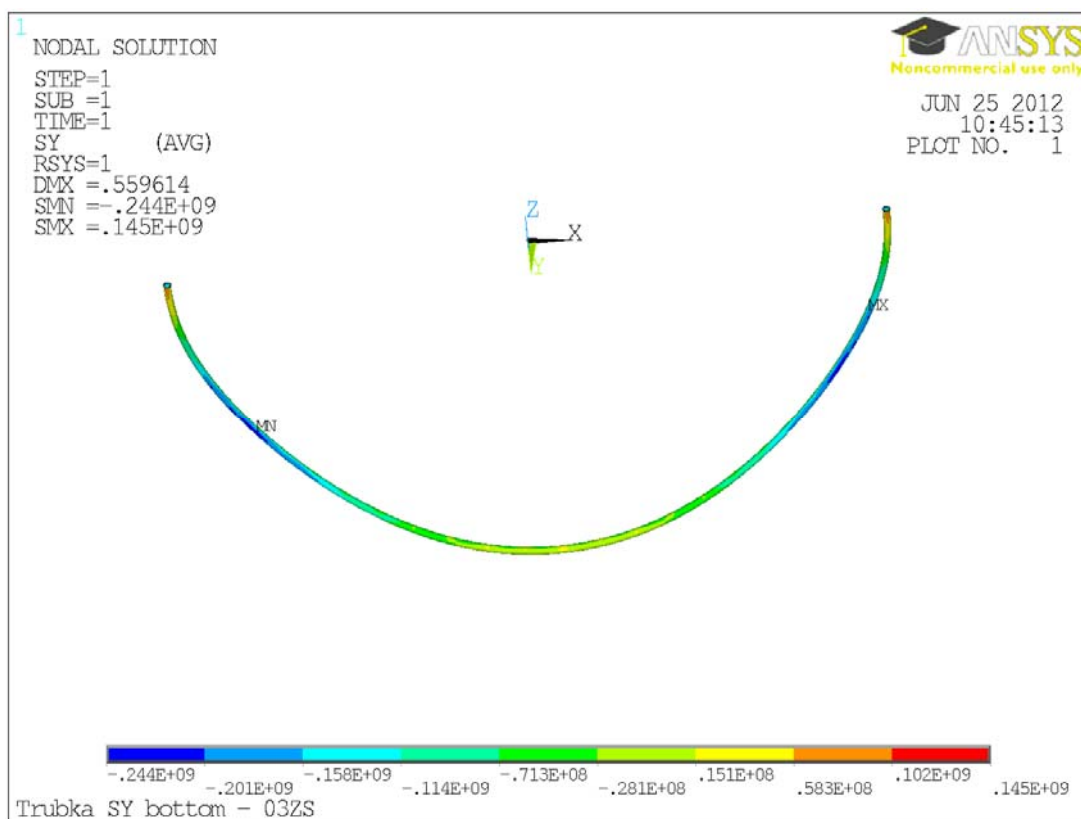


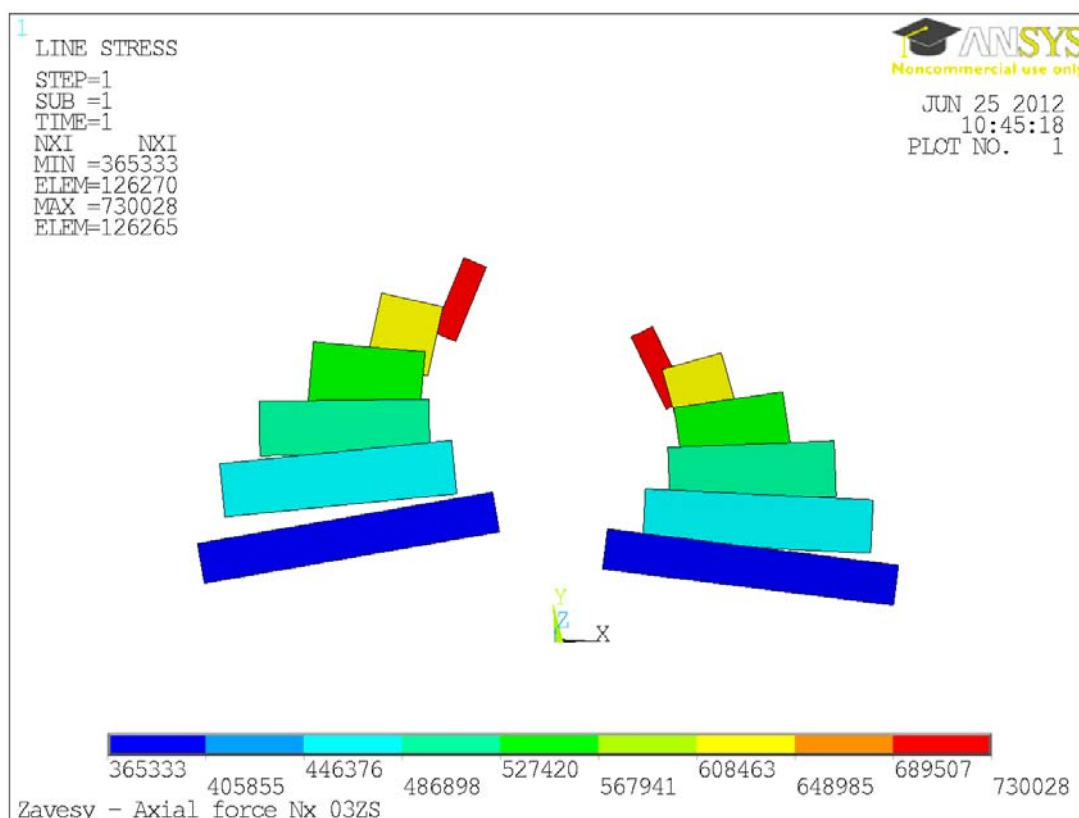
Obr. B.38 Posunutí uz – příčný řez 138 – K03



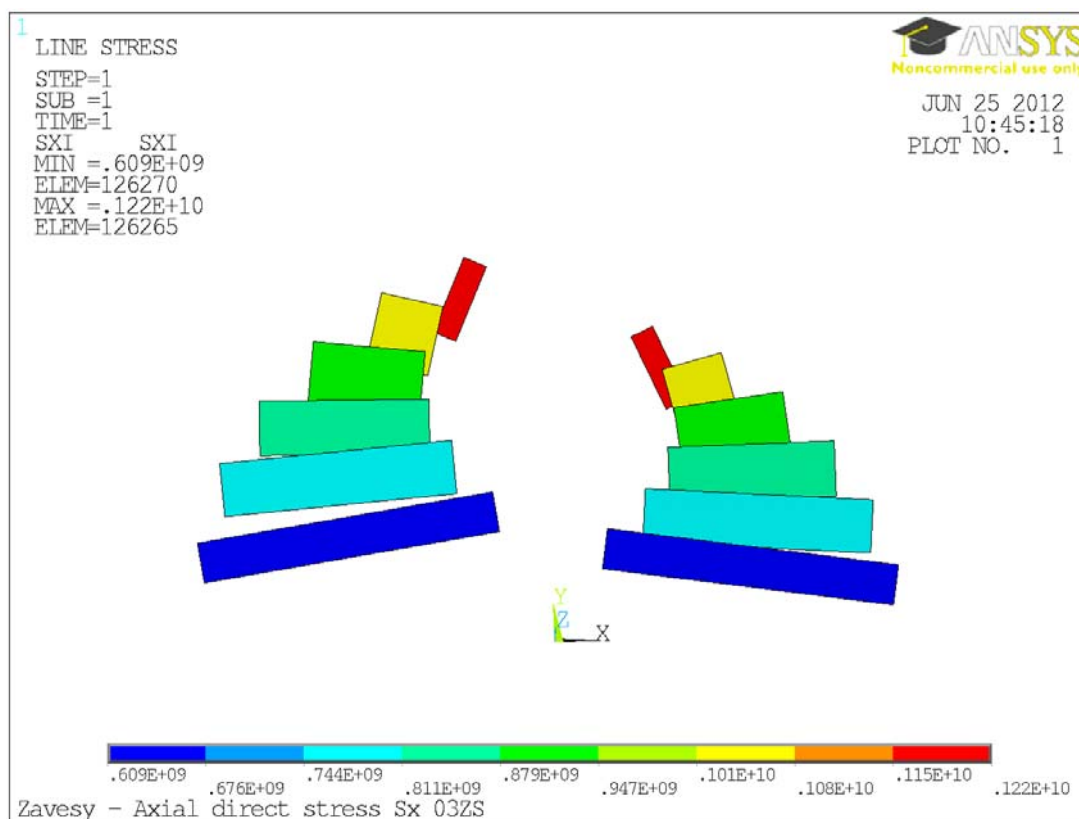
Obr. B.39 Podélné napětí  $S_x$  (pouze tlak) – deska – horní povrch – K03Obr. B.40 Podélné napětí  $S_x$  (pouze tah) – deska – horní povrch – K03

Obr. B.41 Podélné napětí  $S_x$  (pouze tlak) – deska – dolní povrch – K03Obr. B.42 Podélné napětí  $S_x$  (pouze tah) – deska – dolní povrch – K03

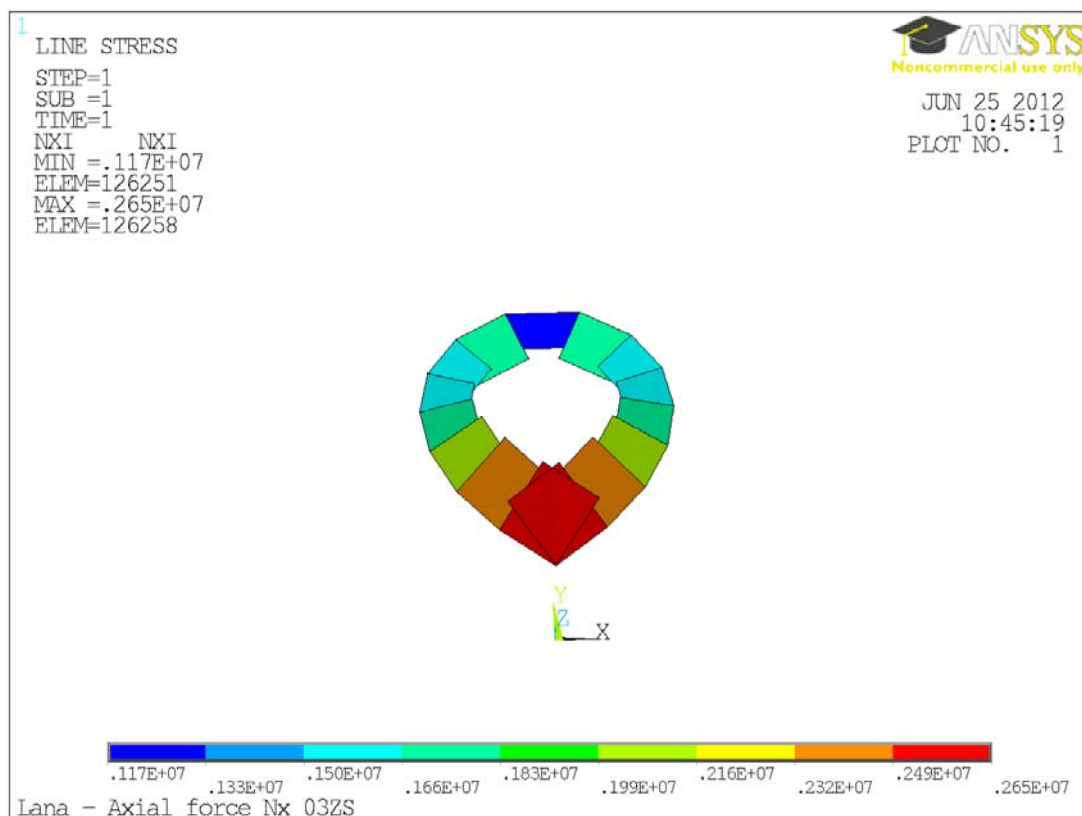
Obr. B.43 Podélné napětí  $S_x$  – trubka – horní povrch – K03Obr. B.44 Podélné napětí  $S_x$  – trubka – dolní povrch – K03



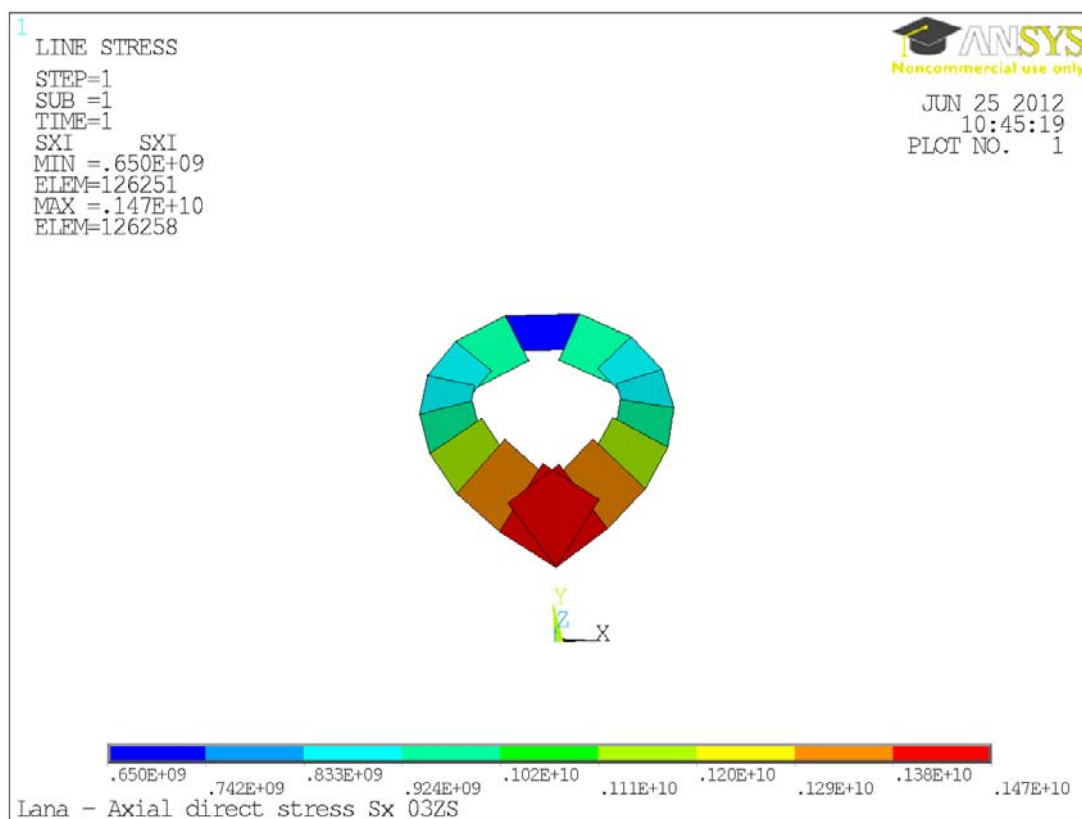
Obr. B.45 Normálová síla – závěsy – K03



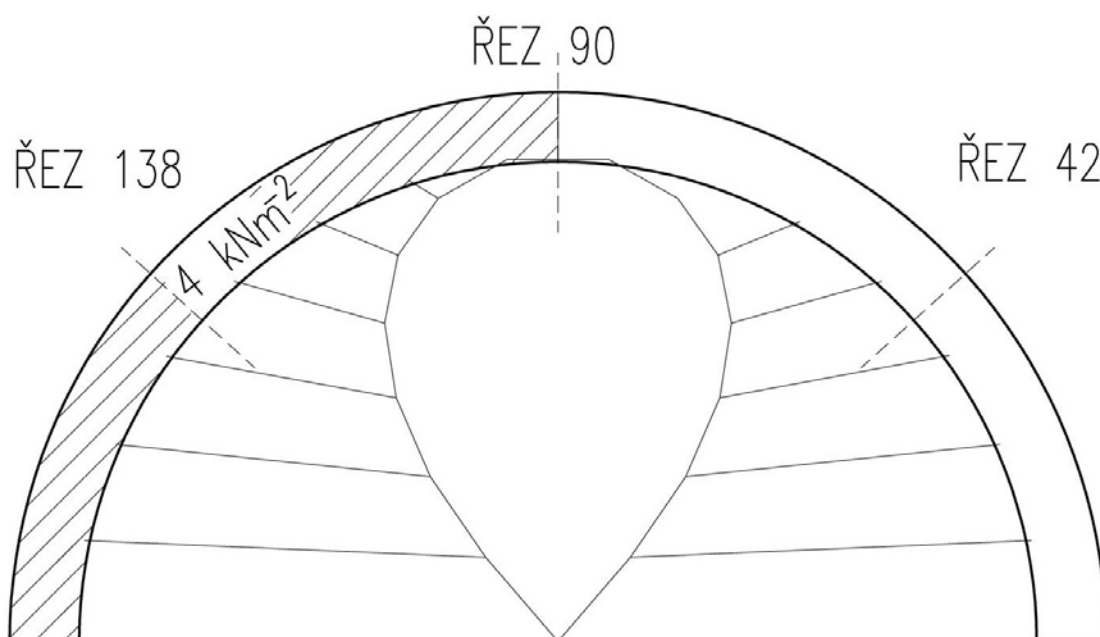
Obr. B.46 Normálové napětí – závěsy – K03



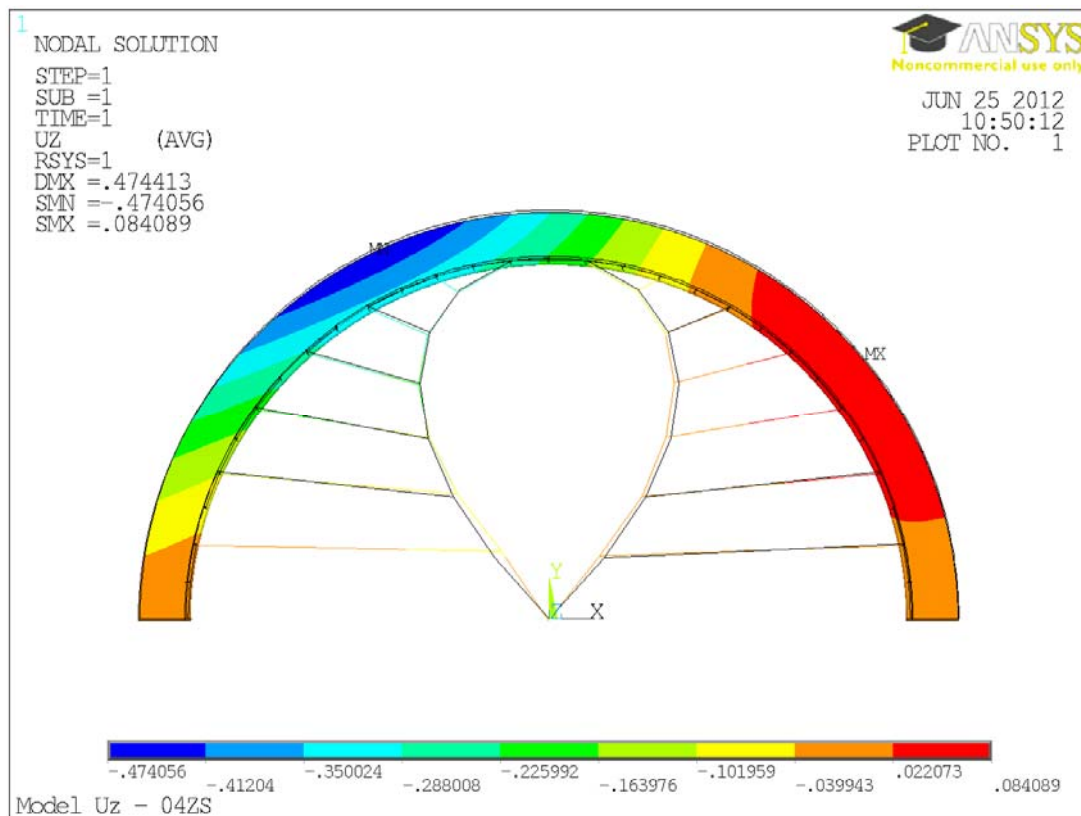
Obr. B.47 Normálová síla – visuté lano – K03



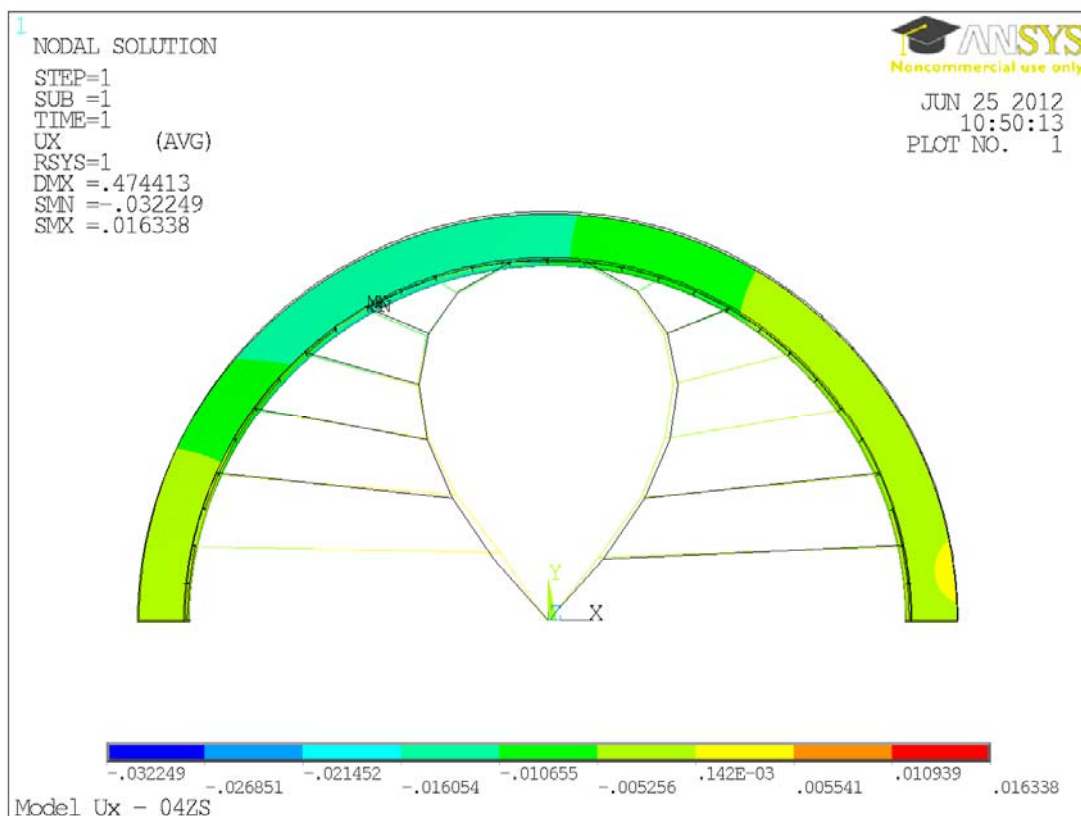
Obr. B.48 Normálové napětí – visuté lano – K03



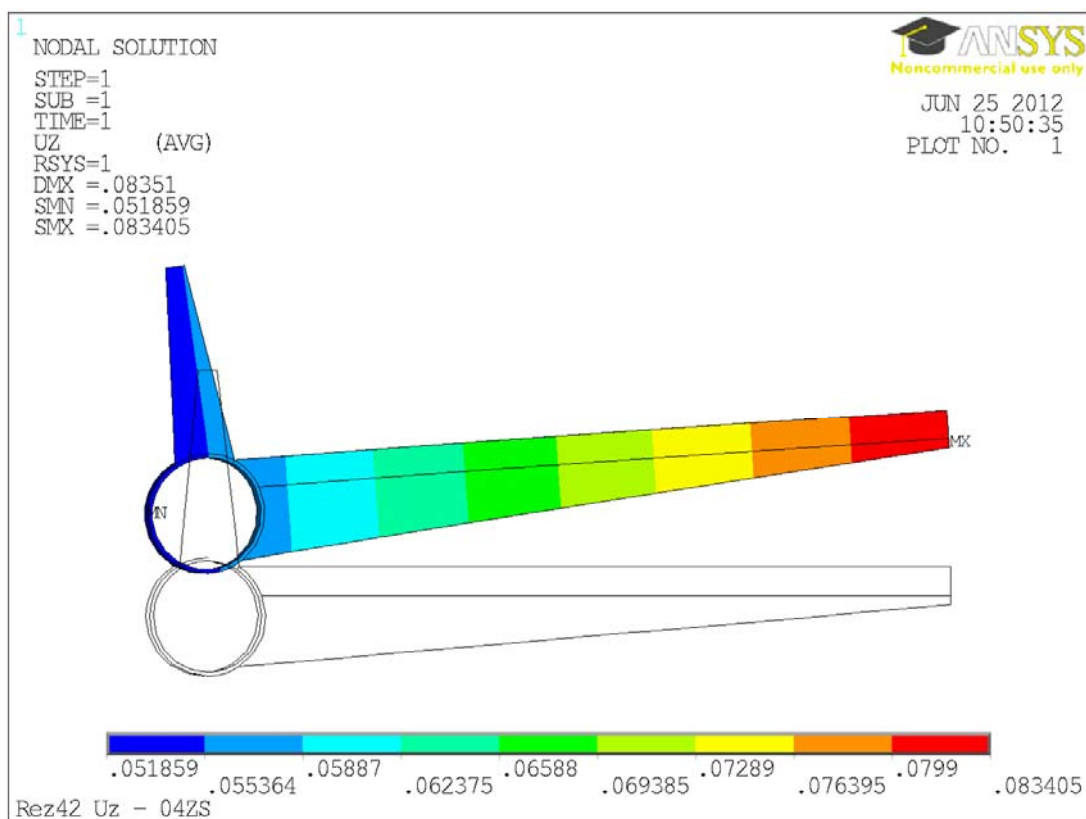
**Obr. B.49** Kombinace K04 – vlastní tíha, předpětí a zatížení chodci



**Obr. B.50** Posunutí uz – K04

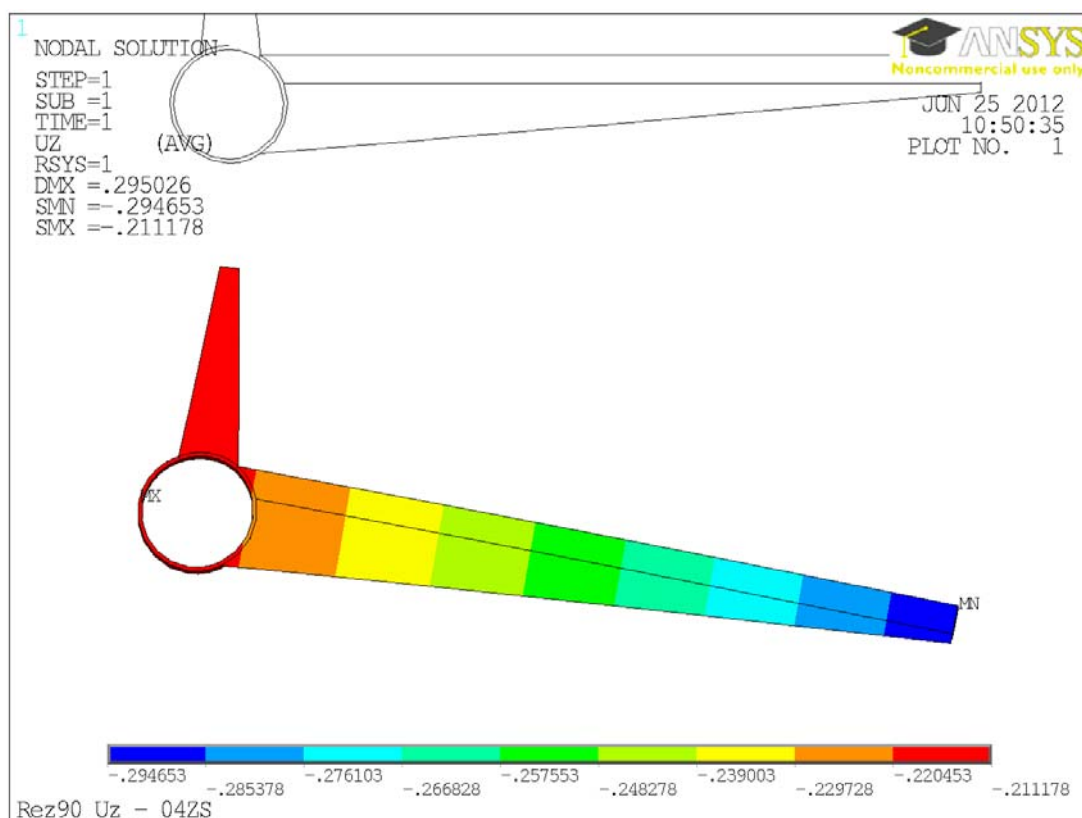


Obr. B.51 Posunutí ux – K04

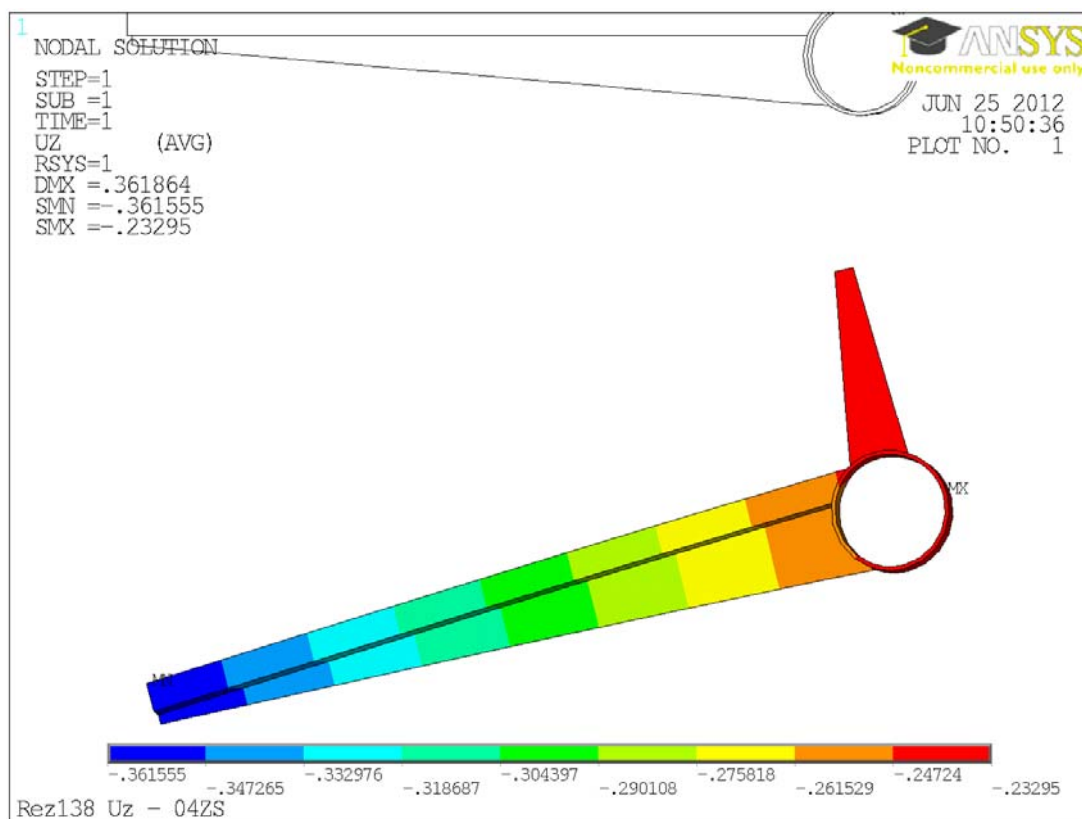


Obr. B.52 Posunutí uz – příčný řez 42 – K04

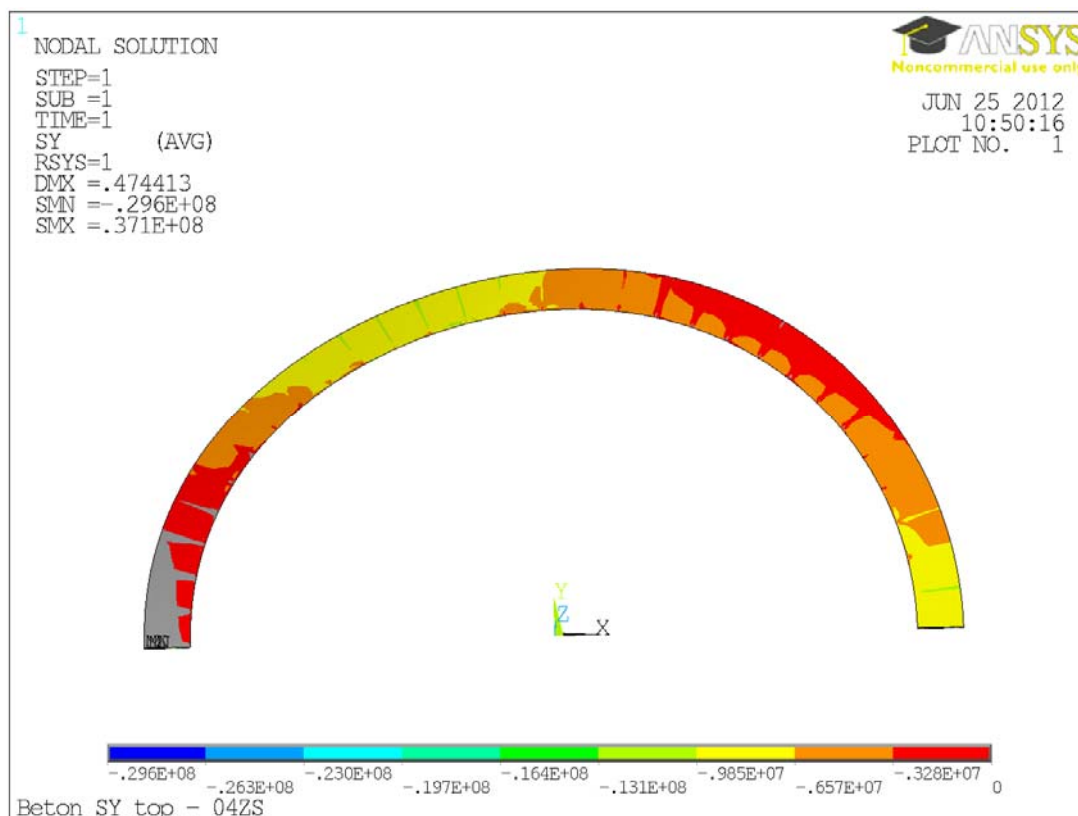




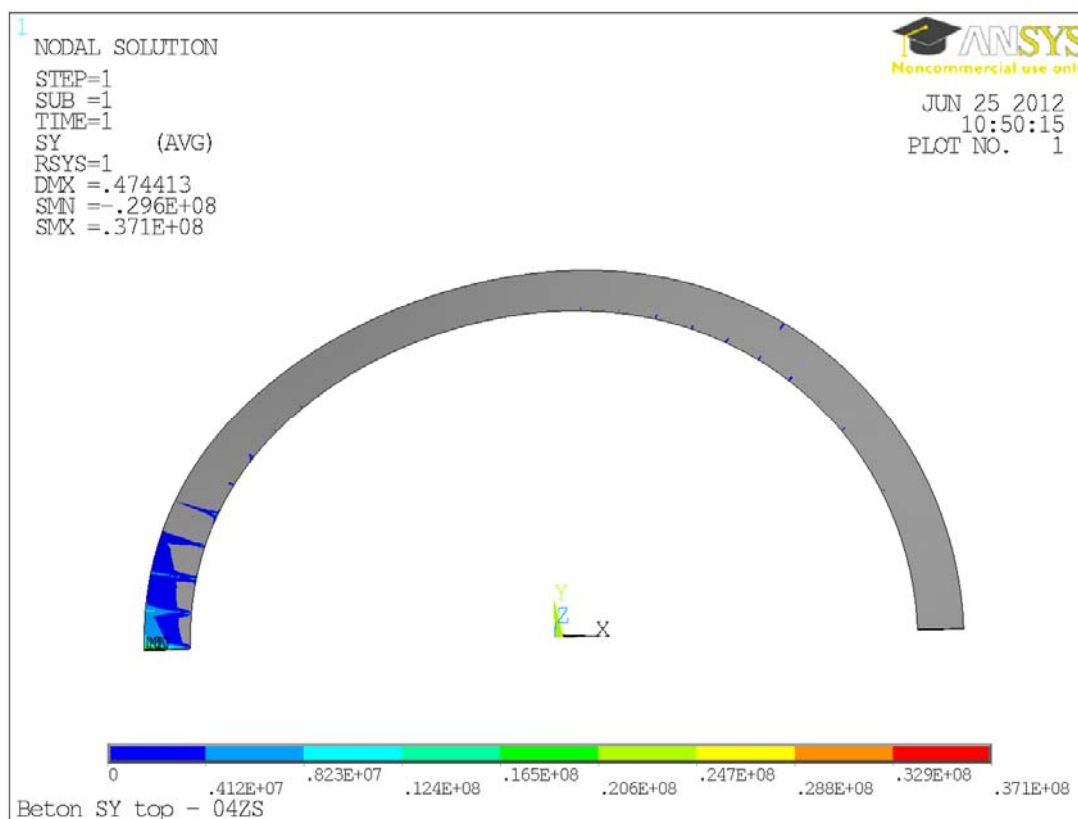
Obr. B.53 Posunutí uz – příčný řez 90 – K04



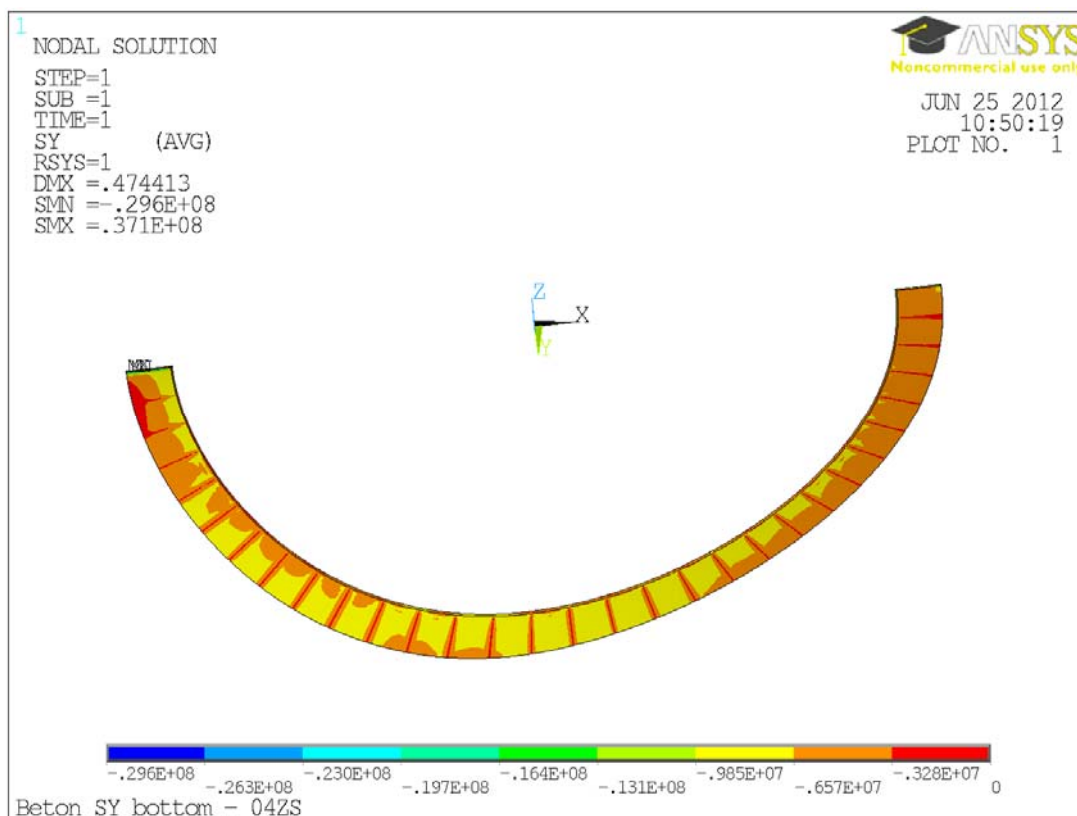
Obr. B.54 Posunutí uz – příčný řez 138 – K04



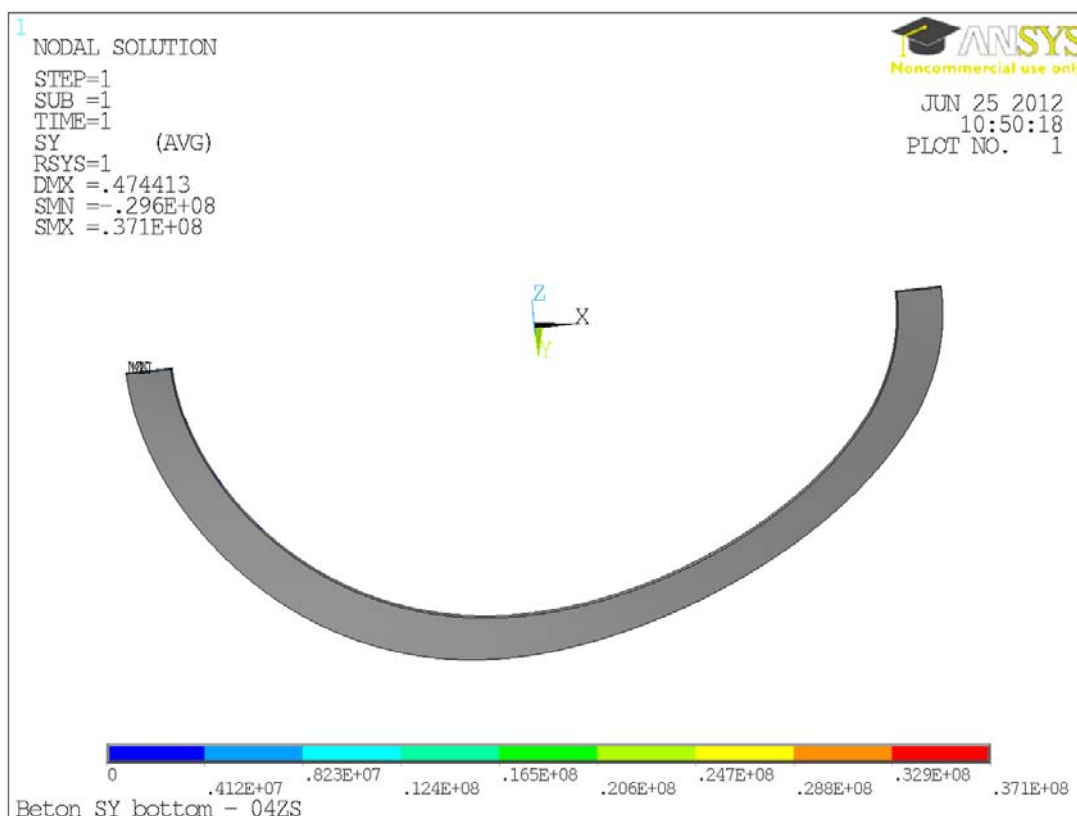
**Obr. B.55** Podélné napětí  $S_x$  (pouze tlak) – deska – horní povrch – K04



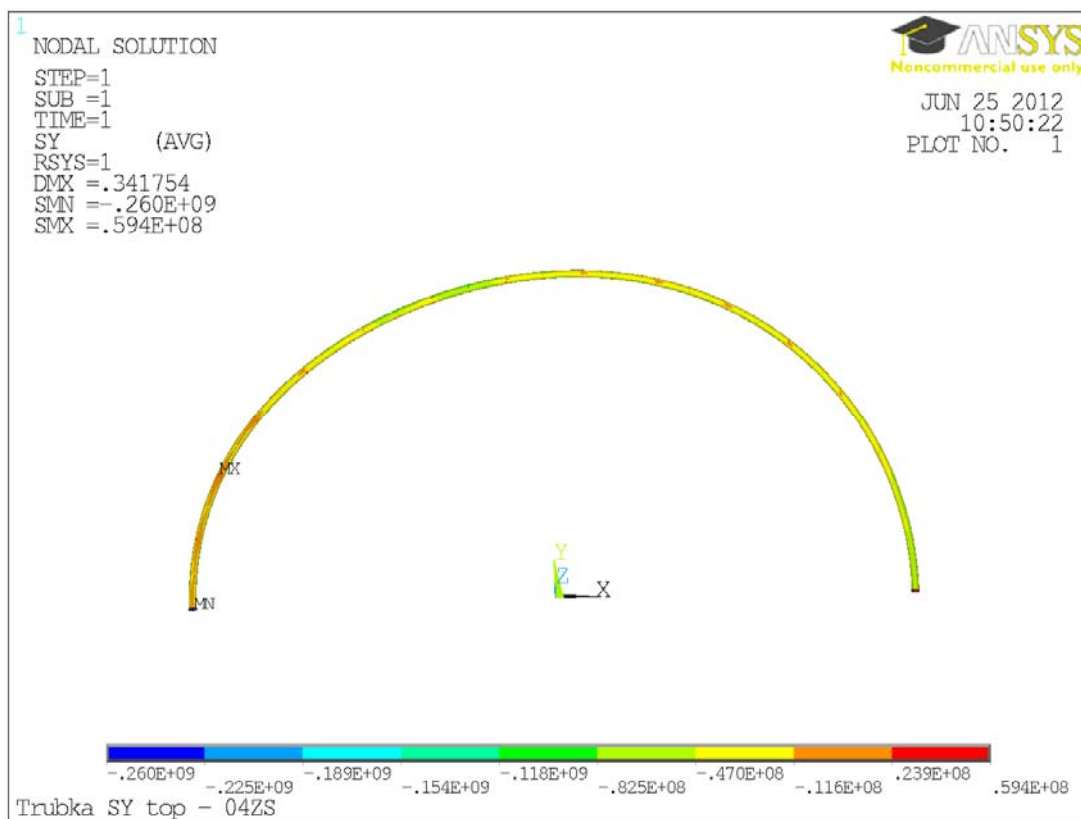
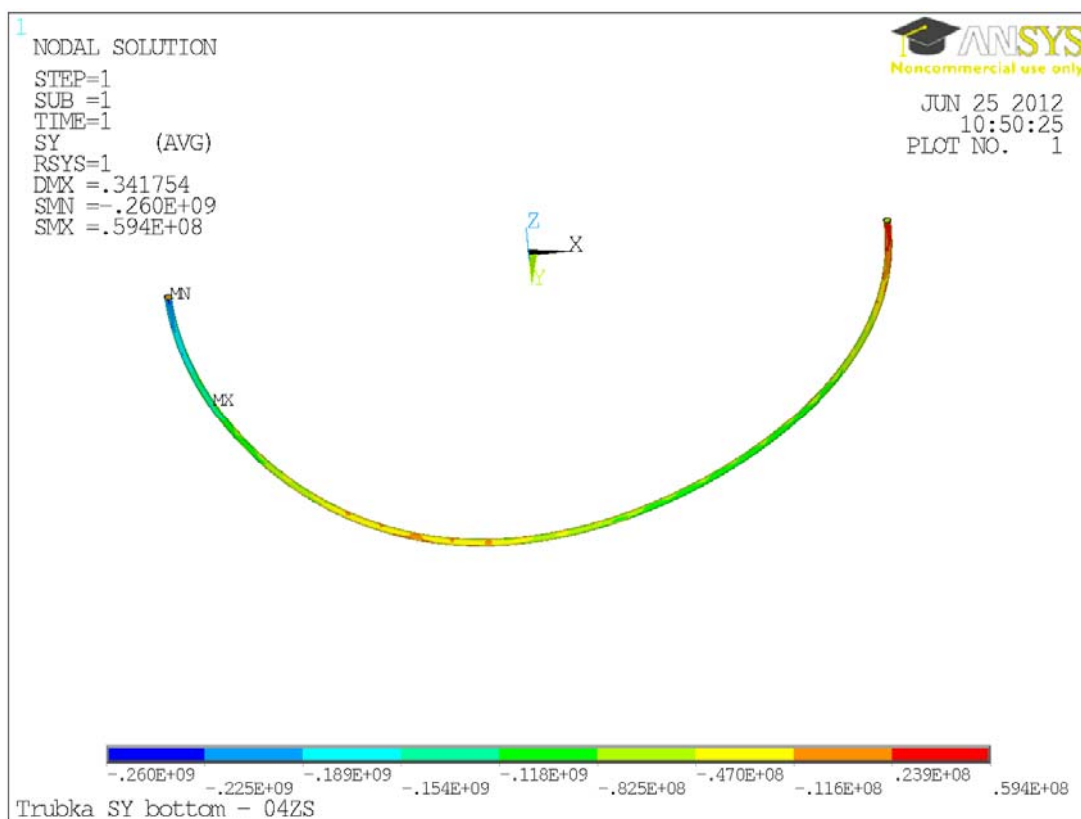
**Obr. B.56** Podélné napětí  $S_x$  (pouze tah) – deska – horní povrch – K04

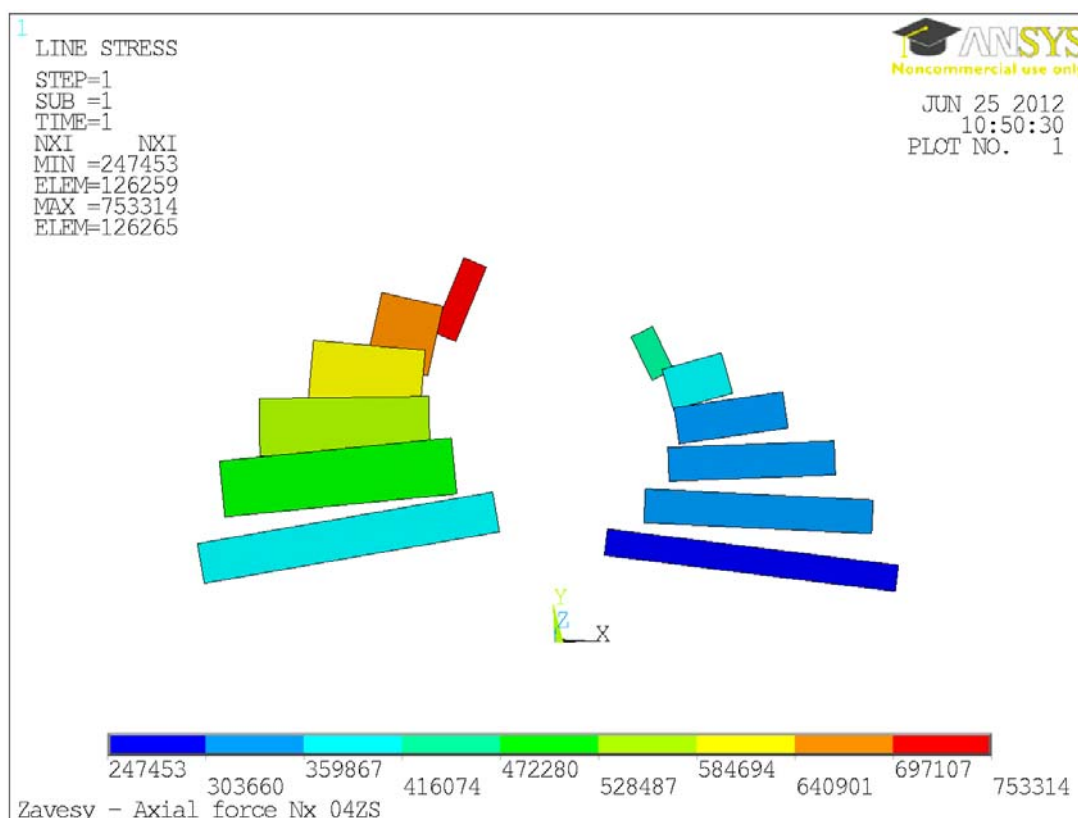


**Obr. B.57** Podélné napětí  $S_x$  (pouze tlak) – deska – dolní povrch – K04

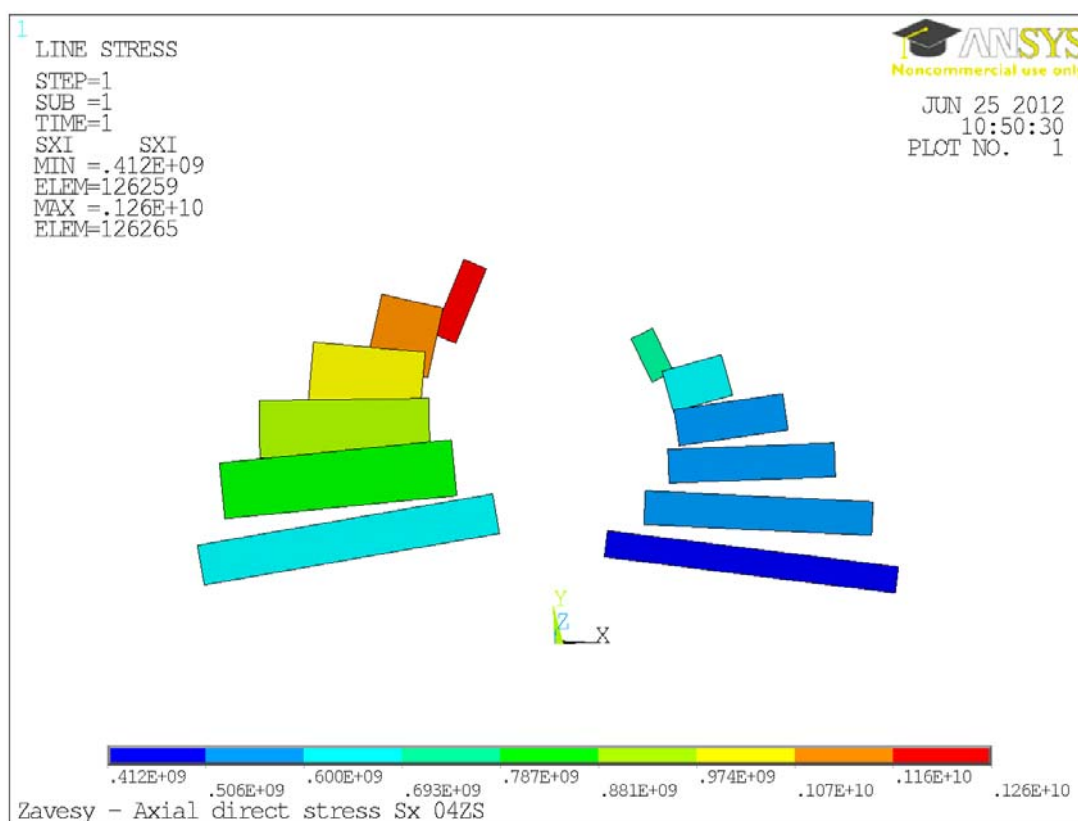


**Obr. B.58** Podélné napětí  $S_x$  (pouze tah) – deska – dolní povrch – K04

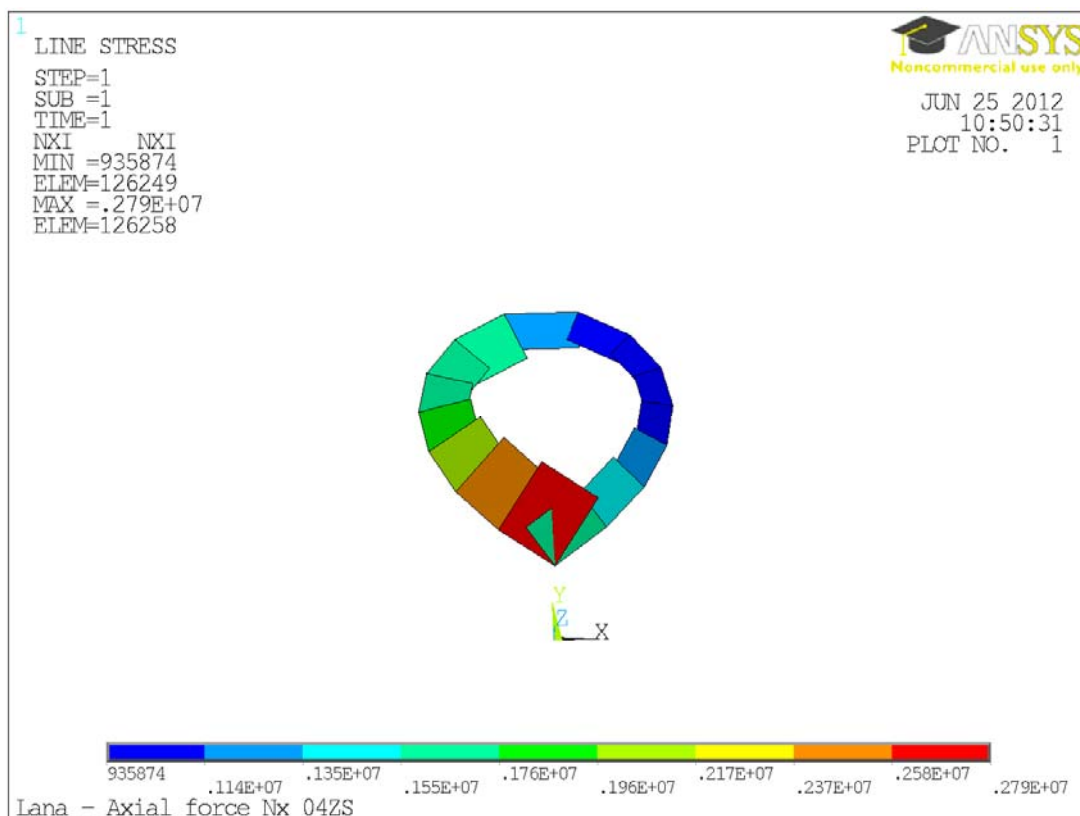
Obr. B.59 Podélné napětí  $S_x$  – trubka – horní povrch – K04Obr. B.60 Podélné napětí  $S_x$  – trubka – dolní povrch – K04



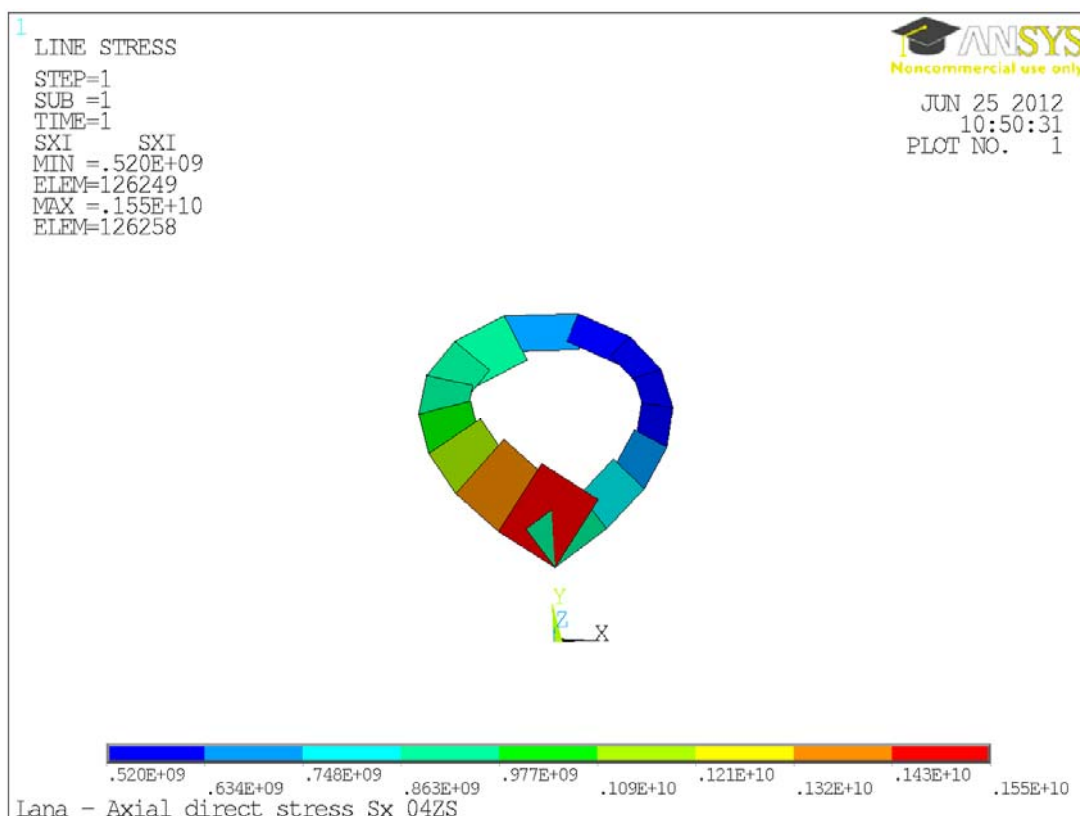
Obr. B.61 Normálová síla – závěsy – K04



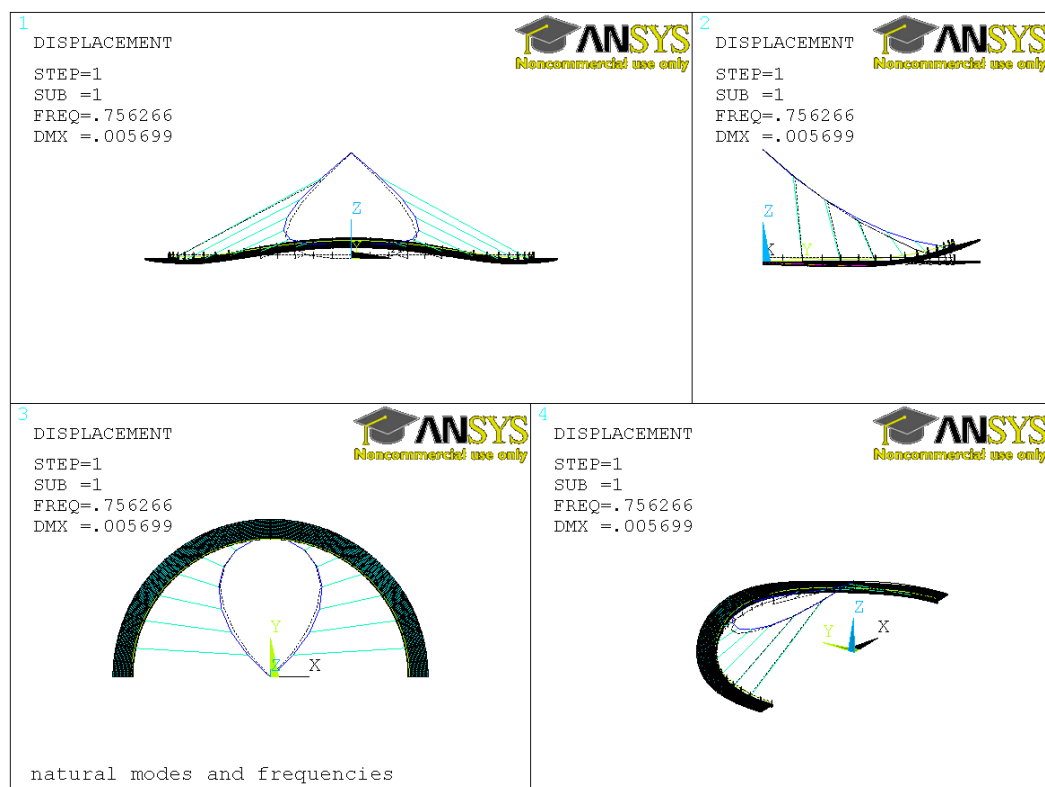
Obr. B.62 Normálové napětí – závěsy – K04



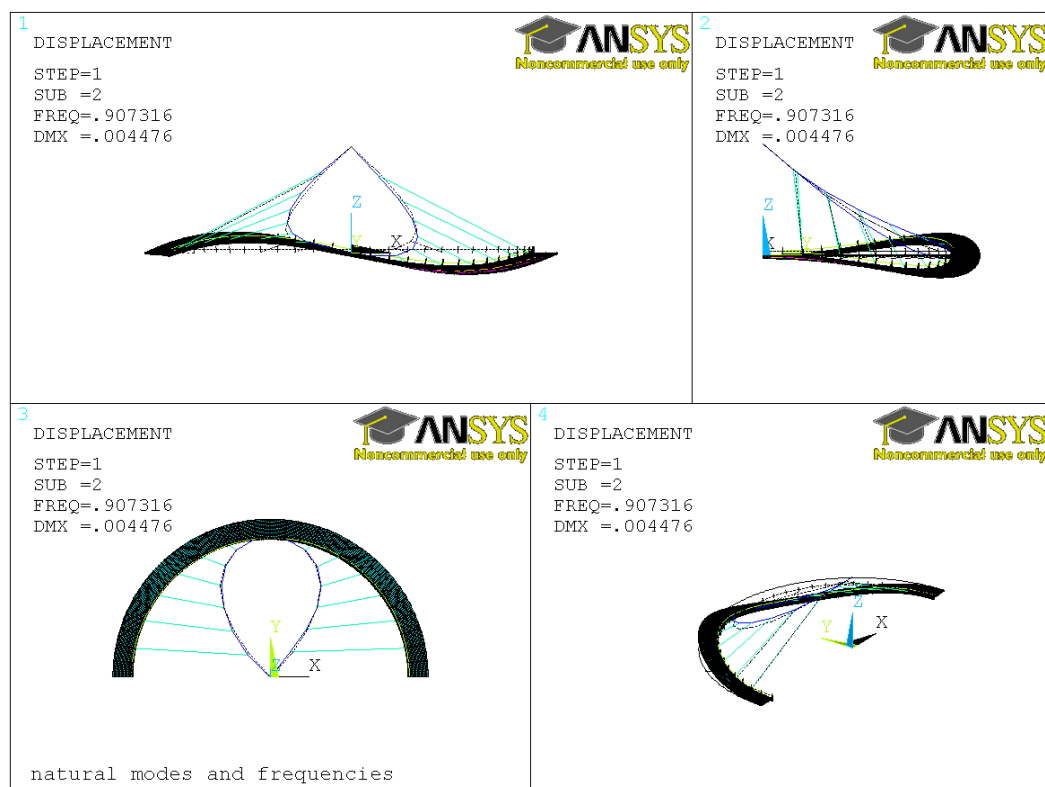
Obr. B.63 Normálová síla – visuté lano – K04



Obr. B.64 Normálové napětí – visuté lano – K04

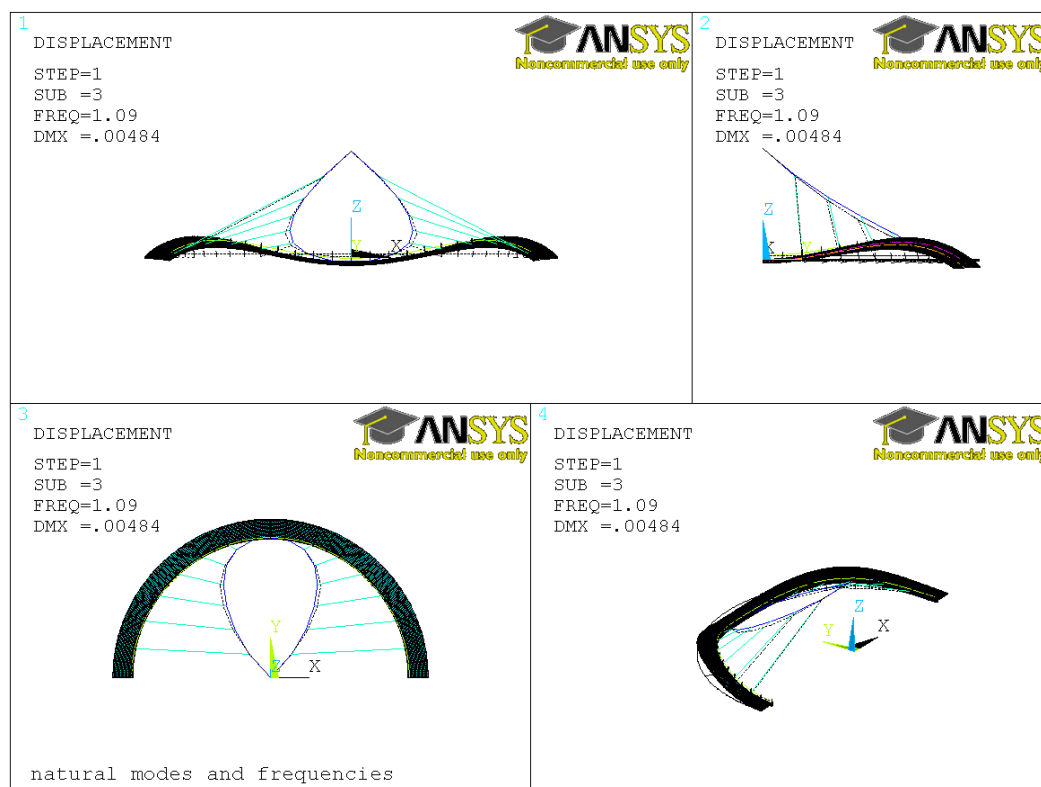


**Obr. B.65** První vlastní tvar –  $f = 0,76$  Hz – pro tuhost "weak springs" 10 N/m

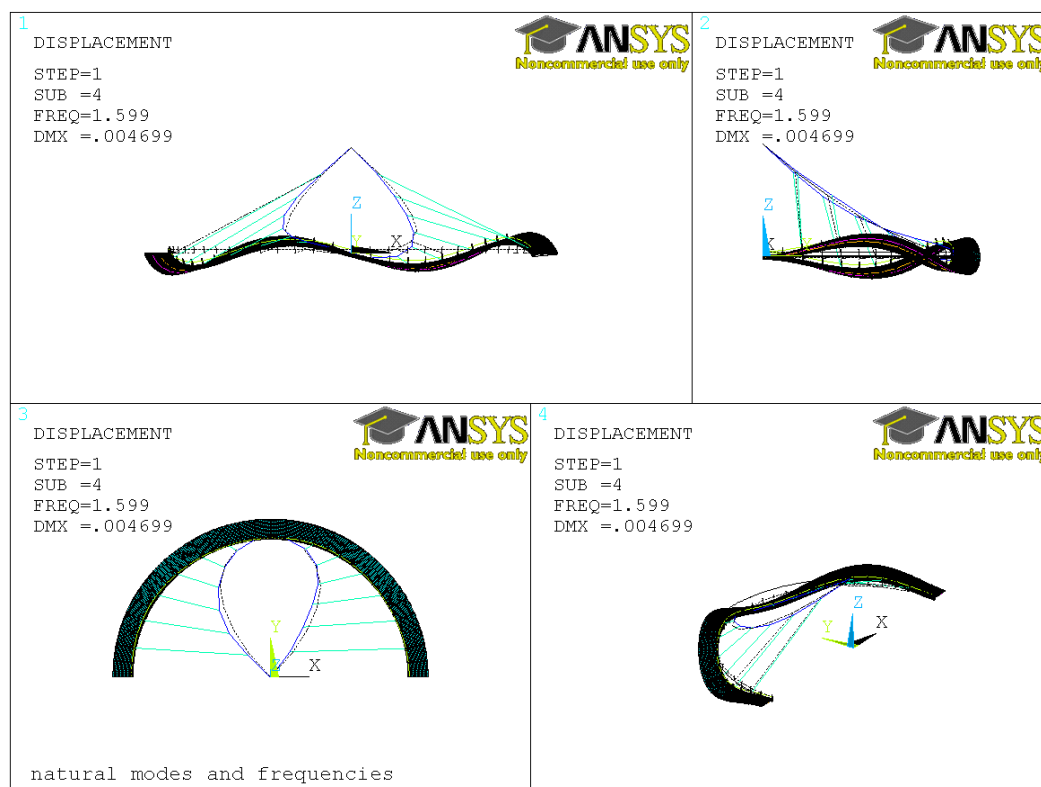


**Obr. B.66** Druhý vlastní tvar –  $f = 0,91$  Hz – pro tuhost "weak springs" 10 N/m

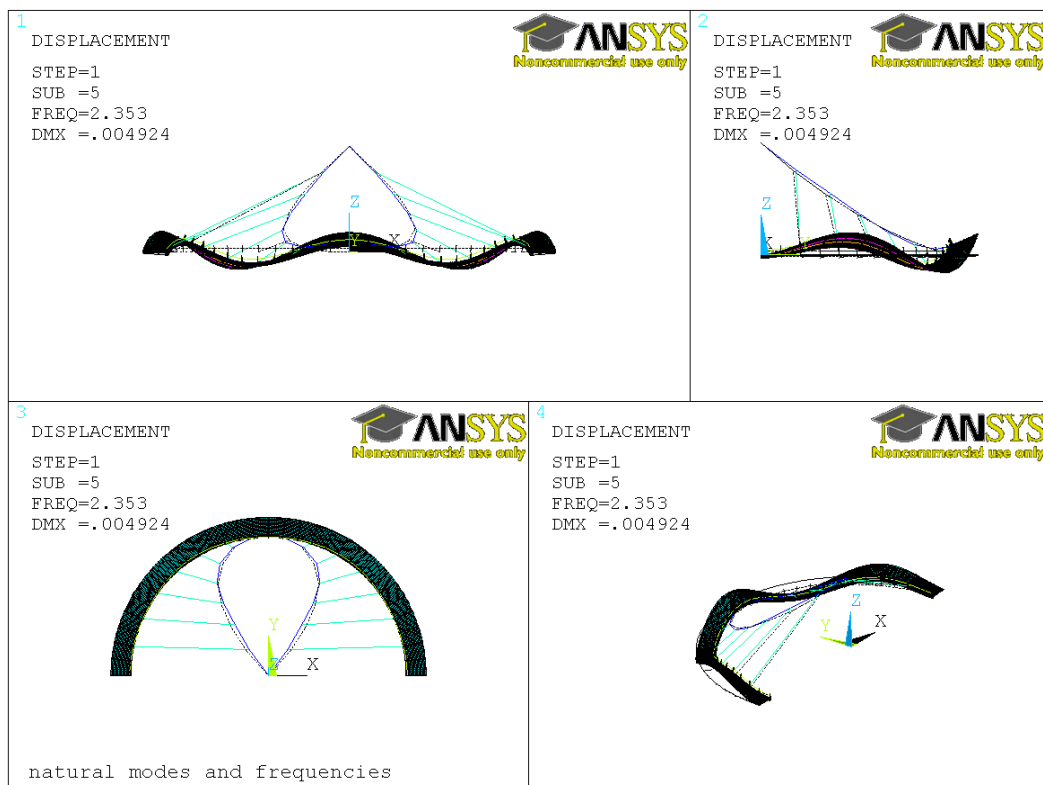




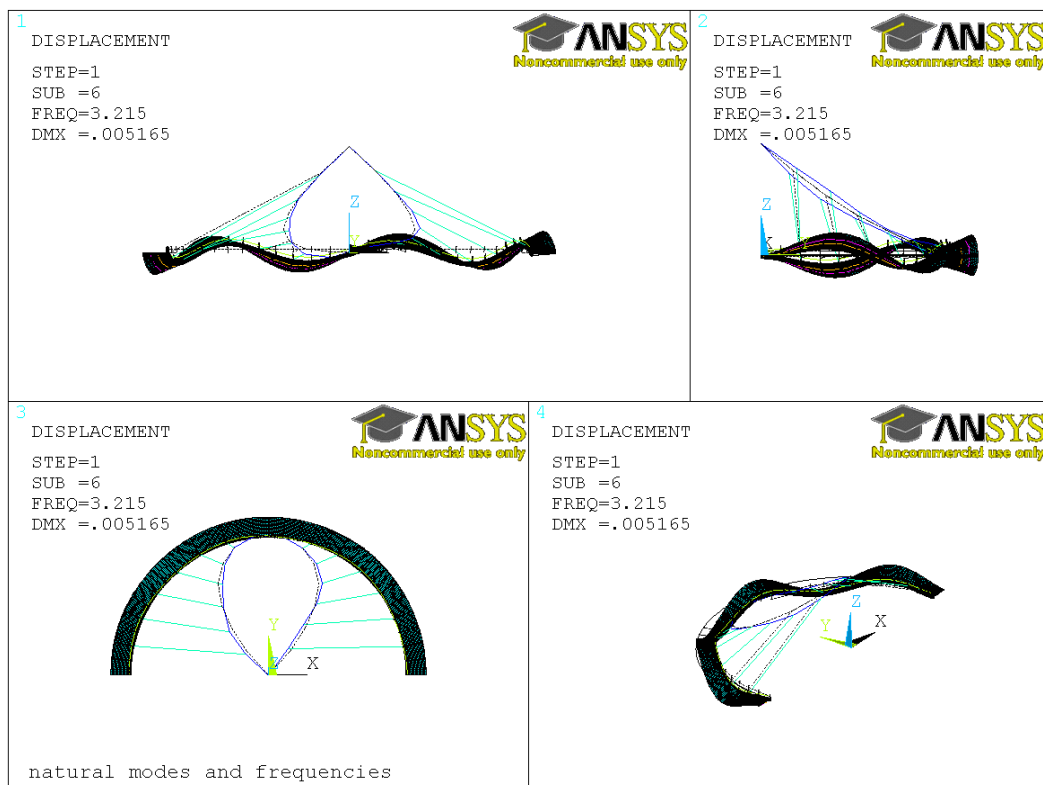
**Obr. B.67** Třetí vlastní tvar –  $f = 1,09 \text{ Hz}$  – pro tuhost "weak springs" 10 N/m



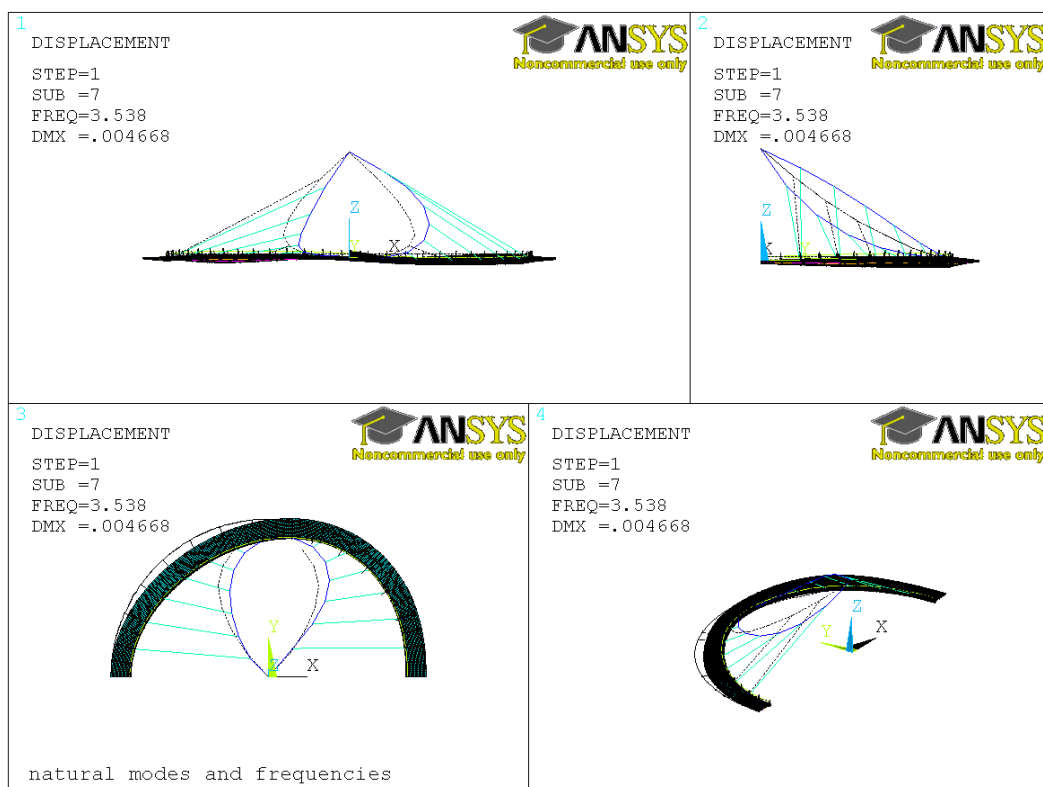
**Obr. B.68** Čtvrtý vlastní tvar –  $f = 1,60 \text{ Hz}$  – pro tuhost "weak springs" 10 N/m



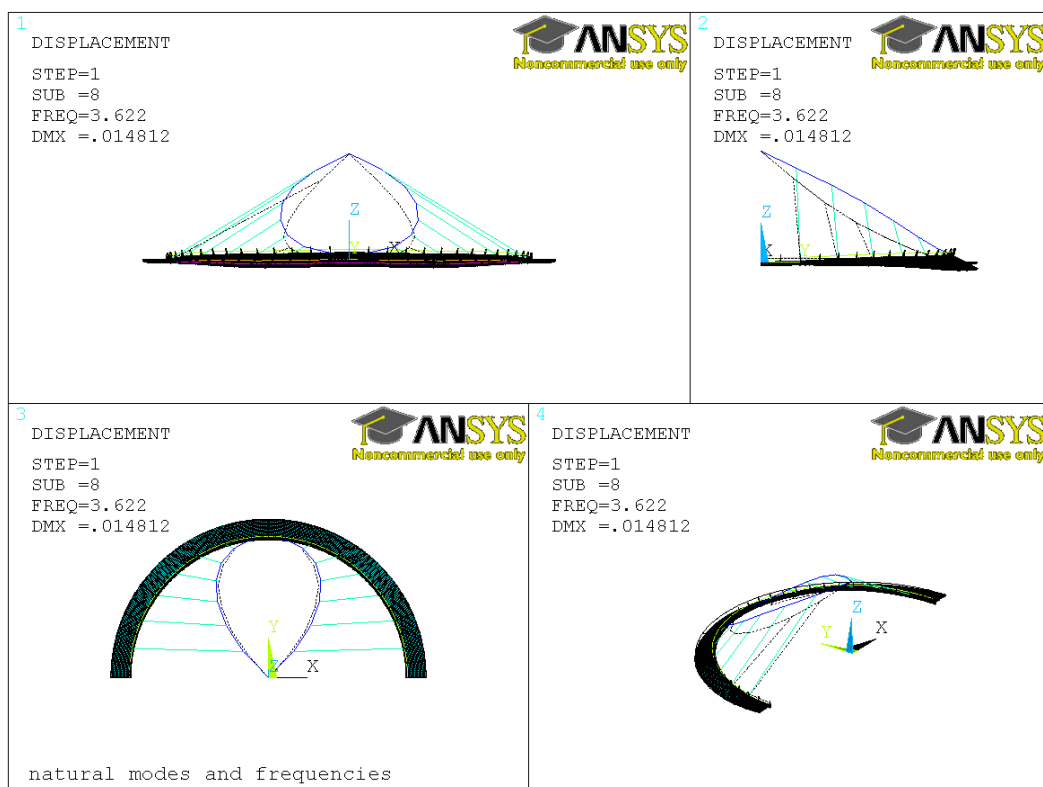
**Obr. B.69** Pátý vlastní tvar –  $f = 2,35 \text{ Hz}$  – pro tuhost "weak springs" 10 N/m



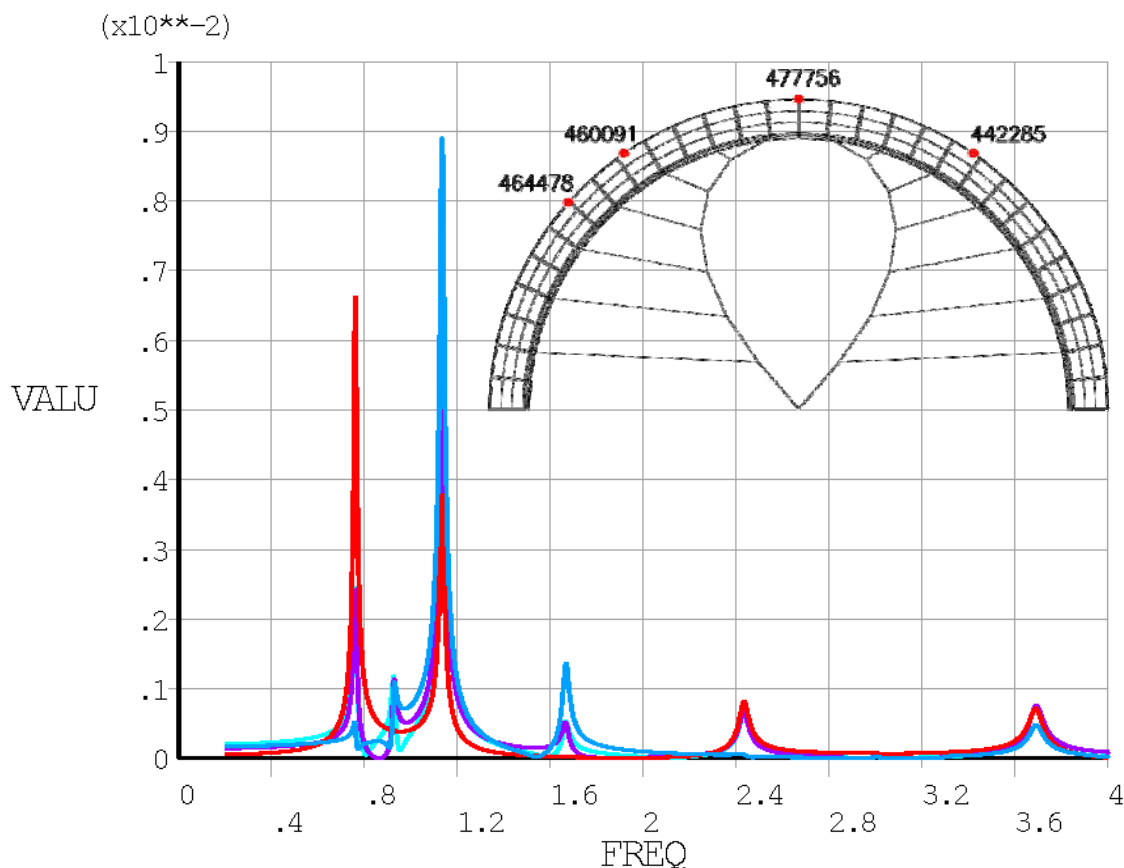
**Obr. B.70** Šestý vlastní tvar –  $f = 3,22 \text{ Hz}$  – pro tuhost "weak springs" 10 N/m



**Obr. B.71** Sedmý vlastní tvar –  $f = 3,54 \text{ Hz}$  – pro tuhost "weak springs" 10 N/m



**Obr. B.72** Osmý vlastní tvar –  $f = 3,62 \text{ Hz}$  – pro tuhost "weak springs" 10 N/m



Obr. B.73 Graf harmonické odezvy uzlu 442285

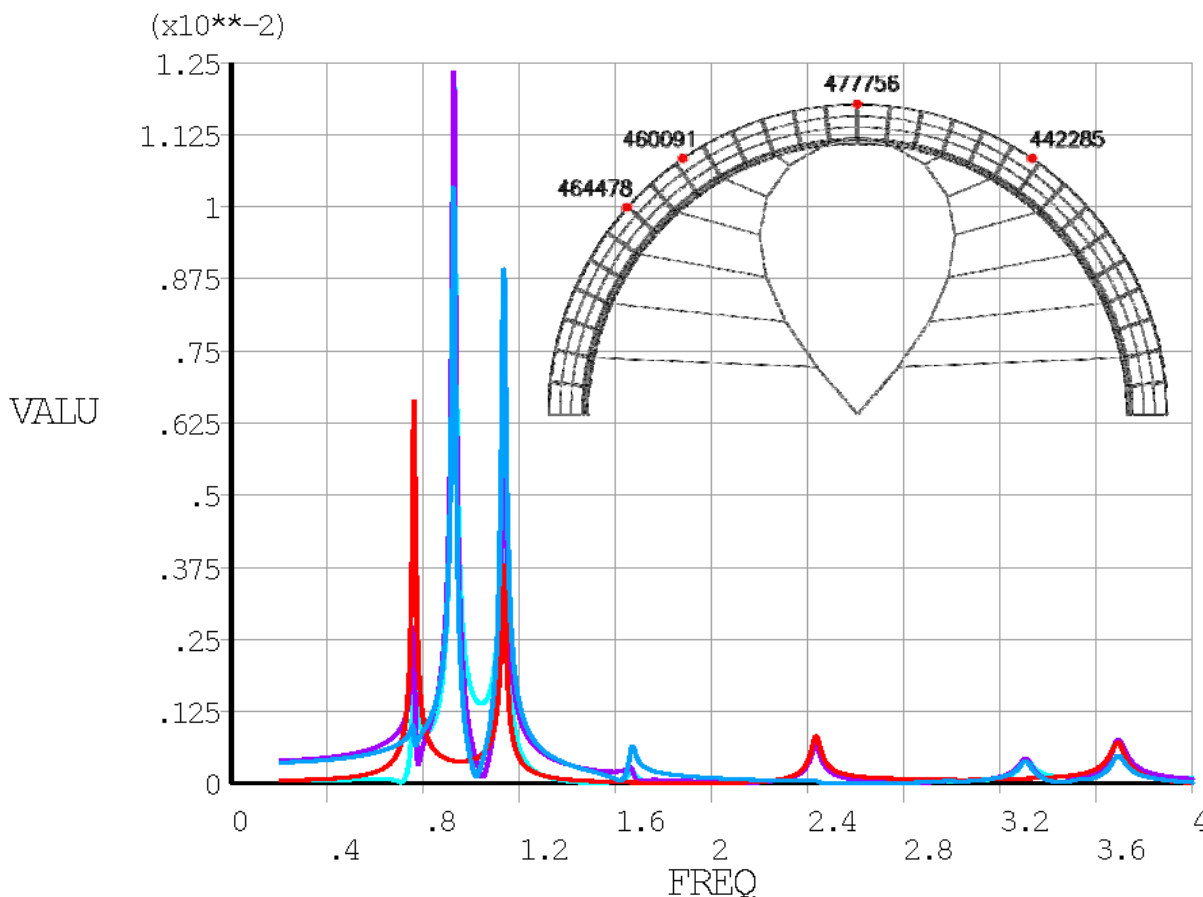
<b>Pulsující síla v uzlu 477756</b>			
$f =$	0.761	Hz	(budící frekvence ve špičce odezvy)
$u_{\text{peak}} =$	0.00571	m	(max. vert. posunutí ve špičce odezvy)
$F =$	180	$\sin 4.781504 t$	[N] (pulsující síla)
$u =$	0.00571	$\sin 4.781504 t$	[m] (vert. posunutí)
$\phi =$	88.5355	°	(fázový úhel)
$v_{\text{max}} =$	0.027	m/s	(maximální rychlost)
$a_{\text{max}} =$	-0.131	m/s <sup>2</sup>	(maximální akcelerace)
Procentuální vyjádření podmínky			
$a_{\text{max}} / a_{\text{lim}} =$	29.94%		
$a_{\text{max}}$	0.131	OK	$a_{\text{lim}}$ 0.436
	m/s <sup>2</sup>		m/s <sup>2</sup>

<b>Pulsující síla v uzlu 460091</b>			
$f =$	0.927	Hz	(budící frekvence ve špičce odezvy)
$u_{\text{peak}} =$	0.00671	m	(max. vert. posunutí ve špičce odezvy)
$F =$	180	$\sin 5.824513 t$	[N] (pulsující síla)
$u =$	0.00671	$\sin 5.824513 t$	[m] (vert. posunutí)
$\phi =$	-90.0641	°	(fázový úhel)
$v_{\text{max}} =$	0.039	m/s	(maximální rychlost)
$a_{\text{max}} =$	-0.228	m/s <sup>2</sup>	(maximální akcelerace)
Procentuální vyjádření podmínky			
$a_{\text{max}} / a_{\text{lim}} =$	52.18%		
$a_{\text{max}}$	0.228	OK	$a_{\text{lim}}$ 0.436
	m/s <sup>2</sup>		m/s <sup>2</sup>

<b>Pulsující síla v uzlu 442285</b>			
$f =$	0.927	Hz	(budící frekvence ve špičce odezvy)
$u_{\text{peak}} =$	0.00672	m	(max. vert. posunutí ve špičce odezvy)
$F =$	180	$\sin 5.824513 t$	[N] (pulsující síla)
$u =$	0.00672	$\sin 5.824513 t$	[m] (vert. posunutí)
$\phi =$	91.4543	°	(fázový úhel)
$v_{\text{max}} =$	0.039	m/s	(maximální rychlost)
$a_{\text{max}} =$	-0.228	m/s <sup>2</sup>	(maximální akcelerace)
Procentuální vyjádření podmínky			
$a_{\text{max}} / a_{\text{lim}} =$	52.30%		
$a_{\text{max}}$	0.228	OK	$a_{\text{lim}}$ 0.436
	m/s <sup>2</sup>		m/s <sup>2</sup>

<b>Pulsující síla v uzlu 464478</b>			
$f =$	0.927	Hz	(budící frekvence ve špičce odezvy)
$u_{\text{peak}} =$	0.00561	m	(max. vert. posunutí ve špičce odezvy)
$F =$	180	$\sin 5.824513 t$	[N] (pulsující síla)
$u =$	0.00561	$\sin 5.824513 t$	[m] (vert. posunutí)
$\phi =$	-91.2277	°	(fázový úhel)
$v_{\text{max}} =$	0.033	m/s	(maximální rychlost)
$a_{\text{max}} =$	-0.190	m/s <sup>2</sup>	(maximální akcelerace)
Procentuální vyjádření podmínky			
$a_{\text{max}} / a_{\text{lim}} =$	43.61%		
$a_{\text{max}}$	0.190	OK	$a_{\text{lim}}$ 0.436
	m/s <sup>2</sup>		m/s <sup>2</sup>

Obr. B.74 Vyhodnocení harmonické odezvy uzlu 442285



Obr. B.75 Graf harmonické odezvy uzlu 460091

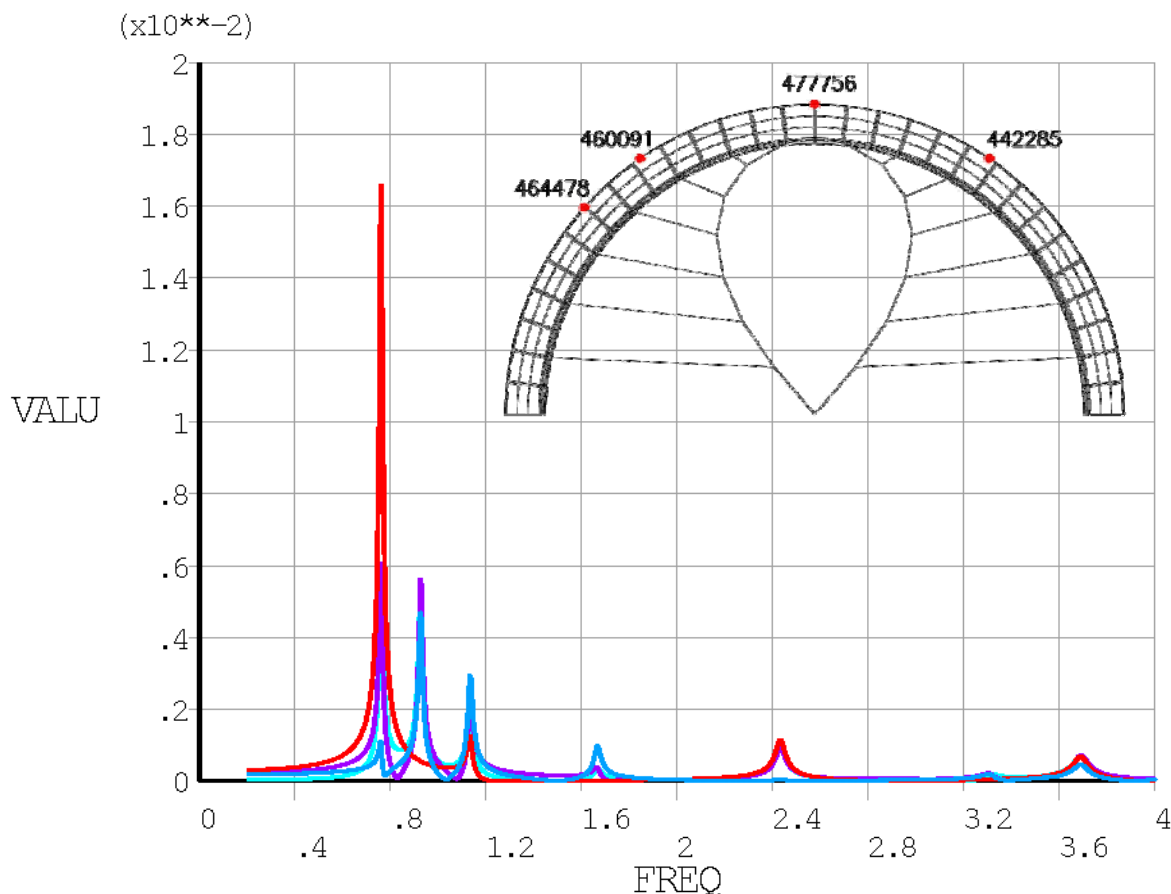
Pulsující síla v uzlu 477756			
$f = 0.761$ Hz	(budící frekvence ve špičce odezvy)		
$u_{\text{peak}} = 0.00572$ m	(max. vert. posunutí ve špičce odezvy)		
$F = 180 \sin 4.781504 t$ [N]	(pulsující síla)		
$u = 0.00572 \sin 4.781504 t$ [m]	(vert. posunutí)		
$\phi = 88.5332^\circ$	(fázový úhel)		
$v_{\text{max}} = 0.027$ m/s	(maximální rychlost)		
$a_{\text{max}} = -0.131$ m/s <sup>2</sup>	(maximální akcelerace)		
Procentuální vyjádření podmínky			
$a_{\text{max}} / a_{\text{lim}} = 29.97\%$	$a_{\text{max}} = 0.131$ m/s <sup>2</sup>	OK	$a_{\text{lim}} = 0.436$ m/s <sup>2</sup>

Pulsující síla v uzlu 460091			
$f = 0.927$ Hz	(budící frekvence ve špičce odezvy)		
$u_{\text{peak}} = 0.00673$ m	(max. vert. posunutí ve špičce odezvy)		
$F = 180 \sin 5.824513 t$ [N]	(pulsující síla)		
$u = 0.00673 \sin 5.824513 t$ [m]	(vert. posunutí)		
$\phi = 91.4498^\circ$	(fázový úhel)		
$v_{\text{max}} = 0.039$ m/s	(maximální rychlost)		
$a_{\text{max}} = -0.228$ m/s <sup>2</sup>	(maximální akcelerace)		
Procentuální vyjádření podmínky			
$a_{\text{max}} / a_{\text{lim}} = 52.34\%$	$a_{\text{max}} = 0.228$ m/s <sup>2</sup>	OK	$a_{\text{lim}} = 0.436$ m/s <sup>2</sup>

Pulsující síla v uzlu 442285			
$f = 0.927$ Hz	(budící frekvence ve špičce odezvy)		
$u_{\text{peak}} = 0.00671$ m	(max. vert. posunutí ve špičce odezvy)		
$F = 180 \sin 5.824513 t$ [N]	(pulsující síla)		
$u = 0.00671 \sin 5.824513 t$ [m]	(vert. posunutí)		
$\phi = -90.0641^\circ$	(fázový úhel)		
$v_{\text{max}} = 0.039$ m/s	(maximální rychlost)		
$a_{\text{max}} = -0.228$ m/s <sup>2</sup>	(maximální akcelerace)		
Procentuální vyjádření podmínky			
$a_{\text{max}} / a_{\text{lim}} = 52.18\%$	$a_{\text{max}} = 0.228$ m/s <sup>2</sup>	OK	$a_{\text{lim}} = 0.436$ m/s <sup>2</sup>

Pulsující síla v uzlu 464478			
$f = 0.927$ Hz	(budící frekvence ve špičce odezvy)		
$u_{\text{peak}} = 0.00563$ m	(max. vert. posunutí ve špičce odezvy)		
$F = 180 \sin 5.824513 t$ [N]	(pulsující síla)		
$u = 0.00563 \sin 5.824513 t$ [m]	(vert. posunutí)		
$\phi = 92.3564^\circ$	(fázový úhel)		
$v_{\text{max}} = 0.033$ m/s	(maximální rychlost)		
$a_{\text{max}} = -0.191$ m/s <sup>2</sup>	(maximální akcelerace)		
Procentuální vyjádření podmínky			
$a_{\text{max}} / a_{\text{lim}} = 43.78\%$	$a_{\text{max}} = 0.191$ m/s <sup>2</sup>	OK	$a_{\text{lim}} = 0.436$ m/s <sup>2</sup>

Obr. B.76 Vyhodnocení harmonické odezvy uzlu 460091



Obr. B.77 Graf harmonické odezvy uzlu 477756

<b>Pulsující síla v uzlu 477756</b>			
$f =$	0.761	Hz	(budící frekvence ve špičce odezvy)
$u_{peak} =$	0.01569	m	(max. vert. posunutí ve špičce odezvy)
$F =$	180	$\sin 4.781504 t$	[N] (pulsující síla)
$u =$	0.01569	$\sin 4.781504 t$	[m] (vert. posunutí)
$\phi =$	89.3141	°	(fázový úhel)
$v_{max} =$	0.075	m/s	(maximální rychlost)
$a_{max} =$	-0.359	m/s <sup>2</sup>	(maximální akcelerace)
Procentuální vyjádření podmínky			
$a_{max} / a_{lim} =$	82.25%		
$a_{max}$	0.359	OK	$a_{lim}$
m/s <sup>2</sup>			0.436
			m/s <sup>2</sup>

<b>Pulsující síla v uzlu 460091</b>			
$f =$	0.761	Hz	(budící frekvence ve špičce odezvy)
$u_{peak} =$	0.00572	m	(max. vert. posunutí ve špičce odezvy)
$F =$	180	$\sin 4.781504 t$	[N] (pulsující síla)
$u =$	0.00572	$\sin 4.781504 t$	[m] (vert. posunutí)
$\phi =$	88.5332	°	(fázový úhel)
$v_{max} =$	0.027	m/s	(maximální rychlost)
$a_{max} =$	-0.131	m/s <sup>2</sup>	(maximální akcelerace)
Procentuální vyjádření podmínky			
$a_{max} / a_{lim} =$	29.97%		
$a_{max}$	0.131	OK	$a_{lim}$
m/s <sup>2</sup>			0.436
			m/s <sup>2</sup>

<b>Pulsující síla v uzlu 442285</b>			
$f =$	0.761	Hz	(budící frekvence ve špičce odezvy)
$u_{peak} =$	0.00571	m	(max. vert. posunutí ve špičce odezvy)
$F =$	180	$\sin 4.781504 t$	[N] (pulsující síla)
$u =$	0.00571	$\sin 4.781504 t$	[m] (vert. posunutí)
$\phi =$	88.5355	°	(fázový úhel)
$v_{max} =$	0.027	m/s	(maximální rychlost)
$a_{max} =$	-0.131	m/s <sup>2</sup>	(maximální akcelerace)
Procentuální vyjádření podmínky			
$a_{max} / a_{lim} =$	29.94%		
$a_{max}$	0.131	OK	$a_{lim}$
m/s <sup>2</sup>			0.436
			m/s <sup>2</sup>

<b>Pulsující síla v uzlu 464478</b>			
$f =$	1.135	Hz	(budící frekvence ve špičce odezvy)
$u_{peak} =$	0.00217	m	(max. vert. posunutí ve špičce odezvy)
$F =$	180	$\sin 7.131415 t$	[N] (pulsující síla)
$u =$	0.00217	$\sin 7.131415 t$	[m] (vert. posunutí)
$\phi =$	-92.7778	°	(fázový úhel)
$v_{max} =$	0.015	m/s	(maximální rychlost)
$a_{max} =$	-0.110	m/s <sup>2</sup>	(maximální akcelerace)
Procentuální vyjádření podmínky			
$a_{max} / a_{lim} =$	25.25%		
$a_{max}$	0.110	OK	$a_{lim}$
m/s <sup>2</sup>			0.436
			m/s <sup>2</sup>

Obr. B.78 Vyhodnocení harmonické odezvy uzlu 477756





# **Příloha C**

## **Fotografická dokumentace výstavby modelu**

## Seznam obrázků

<b>Obr. C.1</b> Výroba ocelové části mostovky .....	C-4
<b>Obr. C.2</b> Detail příčnicku zábradlí .....	C-4
<b>Obr. C.3</b> Detail spojení ocelových půloblouků .....	C-4
<b>Obr. C.4</b> Ocelová konstrukce pylonu .....	C-5
<b>Obr. C.5</b> Detail hlavy pylonu pro kotvení závěsů .....	C-5
<b>Obr. C.6</b> Pohled na hlavu pylonu zespod .....	C-5
<b>Obr. C.7</b> Nátěr ocelové části mostovky .....	C-6
<b>Obr. C.8</b> Průchodky pro visuté lano ve středu visuté části .....	C-6
<b>Obr. C.9</b> Detail vlnovky pro spřažení betonové desky s ocelovou trubkou .....	C-6
<b>Obr. C.10</b> Pylon opatřený nátěrem .....	C-7
<b>Obr. C.11</b> Hlava pylonu pro zavěšenou část .....	C-7
<b>Obr. C.12</b> Hlava pylonu pro visutou část .....	C-7
<b>Obr. C.13</b> Usazení kotevních bloků a ocelové konstrukce .....	C-8
<b>Obr. C.14</b> Detail kotvení pylonu .....	C-8
<b>Obr. C.15</b> Podlití kotvení pylonu a spojení půloblouků mostovky .....	C-8
<b>Obr. C.16</b> Osazení závěsů a visutého lana .....	C-9
<b>Obr. C.17</b> Detail spojení visutého lana a závěsů .....	C-9
<b>Obr. C.18</b> Pohled na vidličky a řešení spojení trubky a visutého lana .....	C-9
<b>Obr. C.19</b> Předpínání lana pro podélnou stabilitu v základovém bloku .....	C-10
<b>Obr. C.20</b> Bednění a výztuž kotevního bloku .....	C-10
<b>Obr. C.21</b> Betonáž kotevního bloku .....	C-10
<b>Obr. C.22</b> Vylitý kotevní blok .....	C-11
<b>Obr. C.23</b> Osazování závaží .....	C-11
<b>Obr. C.24</b> Kompletně osazené závaží .....	C-11
<b>Obr. C.25</b> Bednění mostovky - řešení náběhu u kotevního bloku .....	C-12
<b>Obr. C.26</b> Bednění mostovky .....	C-12
<b>Obr. C.27</b> Kompletně osazené bednění mostovky .....	C-12
<b>Obr. C.28</b> Drátky pro drátkobeton .....	C-13
<b>Obr. C.29</b> Výroba betonové směsi .....	C-13
<b>Obr. C.30</b> Betonáž zavěšené části .....	C-13
<b>Obr. C.31</b> Betonáž visuté části .....	C-14
<b>Obr. C.32</b> Ochrana před vysycháním betonové směsi .....	C-14
<b>Obr. C.33</b> Detail náběhu po odbednění mostovky .....	C-14
<b>Obr. C.34</b> Pohled na mostovku visuté části z pohledu chodce .....	C-15
<b>Obr. C.35</b> Mostovka zespod po odbednění .....	C-15
<b>Obr. C.36</b> Kompletně dokončený model .....	C-15

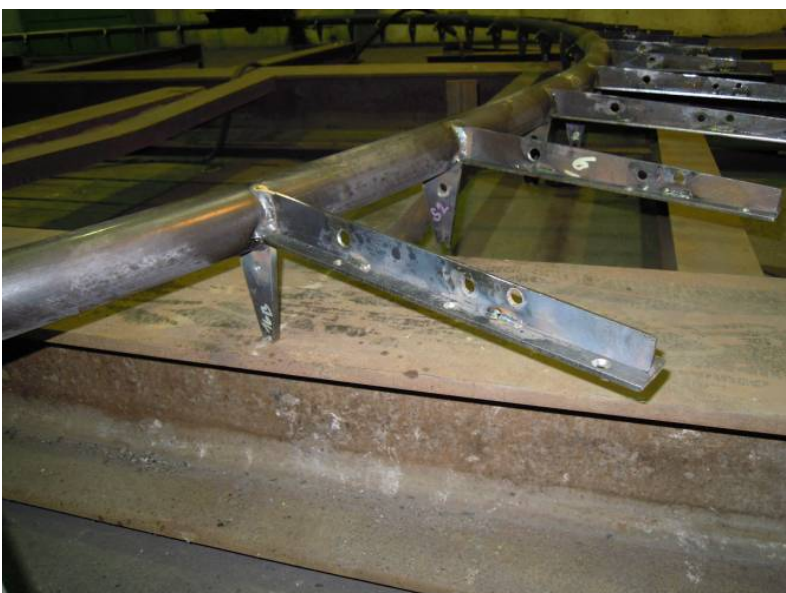
<b>Obr. C.37</b> Tenzometry na dolním povrchu betonové desky mostovky .....	C-16
<b>Obr. C.38</b> Tenzometry na horním povrchu betonové desky mostovky.....	C-16
<b>Obr. C.39</b> Rozcvičení modelu nahodilým zatížením .....	C-16
<b>Obr. C.40</b> Statická zatěžovací zkouška zavěšené části, stav Z-ZSA.....	C-17
<b>Obr. C.41</b> Statická zatěžovací zkouška zavěšené části, stav Z-ZSB.....	C-17
<b>Obr. C.42</b> Statická zatěžovací zkouška zavěšené části, stav Z-ZSC .....	C-17
<b>Obr. C.43</b> Statická zatěžovací zkouška zavěšené části, stav Z-ZSD .....	C-18
<b>Obr. C.44</b> Statická zatěžovací zkouška visuté části, stav V-ZSA .....	C-18
<b>Obr. C.45</b> Statická zatěžovací zkouška visuté části, stav V-ZSB .....	C-18
<b>Obr. C.46</b> Statická zatěžovací zkouška visuté části, stav V-ZSC .....	C-19
<b>Obr. C.47</b> Statická zatěžovací zkouška visuté části stav, V-ZSD.....	C-19
<b>Obr. C.48</b> Mezní zatěžovací zkouška zavěšené části .....	C-19
<b>Obr. C.49</b> Trhliny po mezní zatěžovací zkoušce na zavěšené části .....	C-20
<b>Obr. C.50</b> Mezní zatěžovací zkouška zavěšené části .....	C-20
<b>Obr. C.51</b> Trhliny po mezní zatěžovací zkoušce na visuté části .....	C-20
<b>Obr. C.52</b> Měřicí aparatura pro dynamická měření na modelu .....	C-21
<b>Obr. C.53</b> Akcelerometr pro měření zrychlení .....	C-21
<b>Obr. C.54</b> Trhlina vzniklá po uvolnění předpětí mostovky.....	C-21
<b>Obr. C.55</b> Rozřezání modelu pro transport .....	C-22
<b>Obr. C.56</b> Odstranění kotevního bloku pomocí jeřábu .....	C-22
<b>Obr. C.57</b> Příčný řez mostovkou v řezu .....	C-22



**Obr. C.1** Výroba ocelové části mostovky

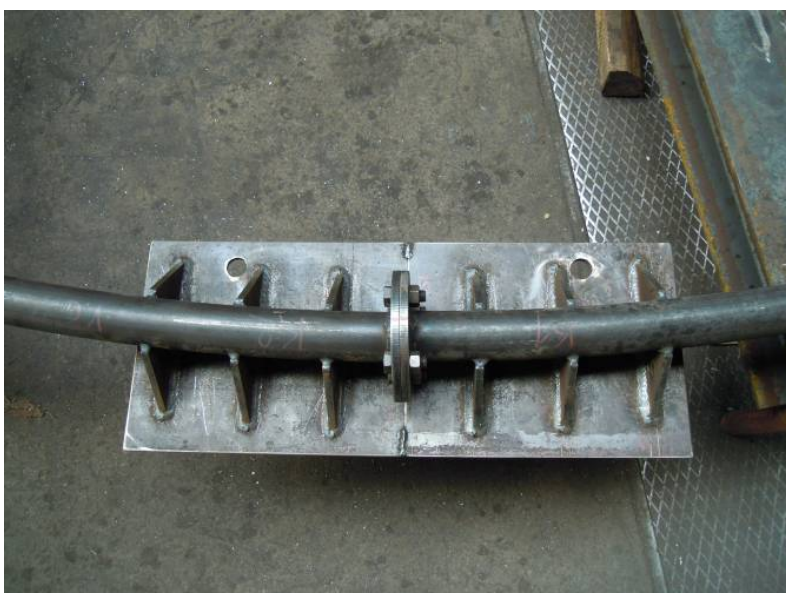
*Výroba ocelové části modelu byla provedena firmou MBNS International spol. s r.o. Práce započaly v listopadu 2010.*

*Ocelová část mostovky byla vyrobena ze dvou půloblouků, které se po transportu spojily v jeden celek.*



**Obr. C.2** Detail příčniku zábradlí

*Ocelová část mostovky byla tvořena trubkou  $\varnothing 63/3.6$  a na ni přivařenými příčnými a plechy zábradlí.*



**Obr. C.3** Detail spojení ocelových půloblouků

*Po sešroubování přírub byl celý detail zabetonován do kotevního bloku.*





**Obr. C.4** Ocelová konstrukce pylonu

*Pylon byl vyroben z ocelového profilu Jäckl 200/150/8. Hlava pylonu byla tvořena ze strany visuté části čtvercovým profilem Jäckl 80/80/10. Ze strany zavěšené vychází z pylonu kšilt, tvořený ocelovým plechem výšky 100 mm a tloušťky 10 mm.*



**Obr. C.5** Detail hlavy pylonu pro kotvení závěsů

*Ocelový kšilt pro kotvení závěsů byl vyztužen ve čtvrtinách plechem tloušťky 10 mm.*



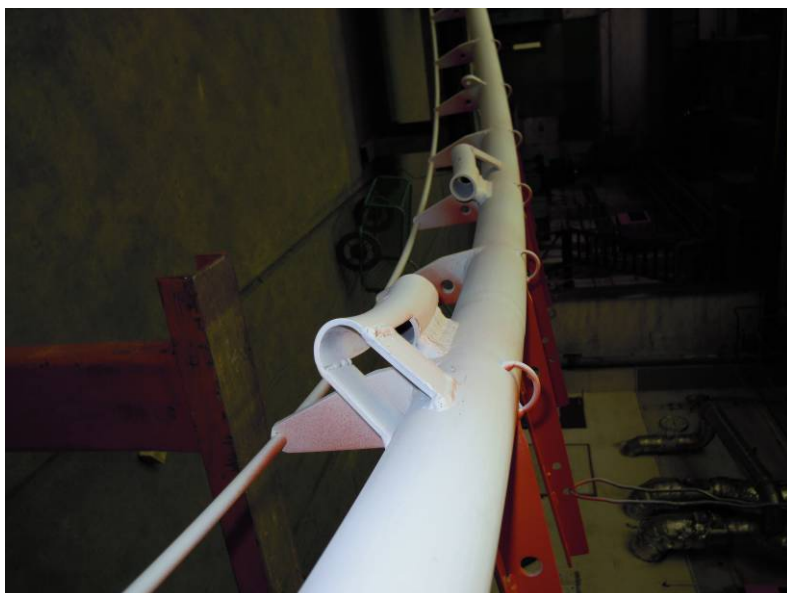
**Obr. C.6** Pohled na hlavu pylonu zespod

*Hlava pylonu musela umožnit kotvení visutého lana na jedné straně a závěsu na druhé straně.*



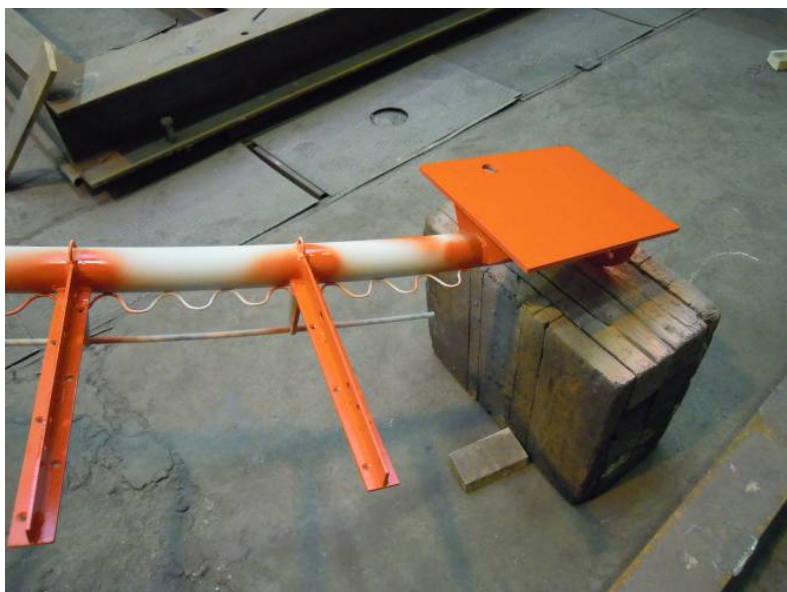
**Obr. C.7** *Nátěr ocelové části mostovky*

*Každý půlobloun byl natírán zvlášť.*



**Obr. C.8** *Průchodky pro visuté lano ve středu visuté části*

*Ocelová trubka byla zespod opatřena oky pro uchycení balastního zatížení.*



**Obr. C.9** *Detail vlnovky pro spřažení betonové desky s ocelovou trubicí*

*Ocelová vlnovka z drátu Ø4 mm tvořila spřahovací výztuž, která byla přivařena zhruba v ose desky.*





**Obr. C.10** *Pylon opatřený náterem*



**Obr. C.11** *Hlava pylonu pro zavěšenou část*

*Ve vrcholu pylonu bylo oko pro snadnější manipulaci s jeřábem.*



**Obr. C.12** *Hlava pylonu pro visutou část*

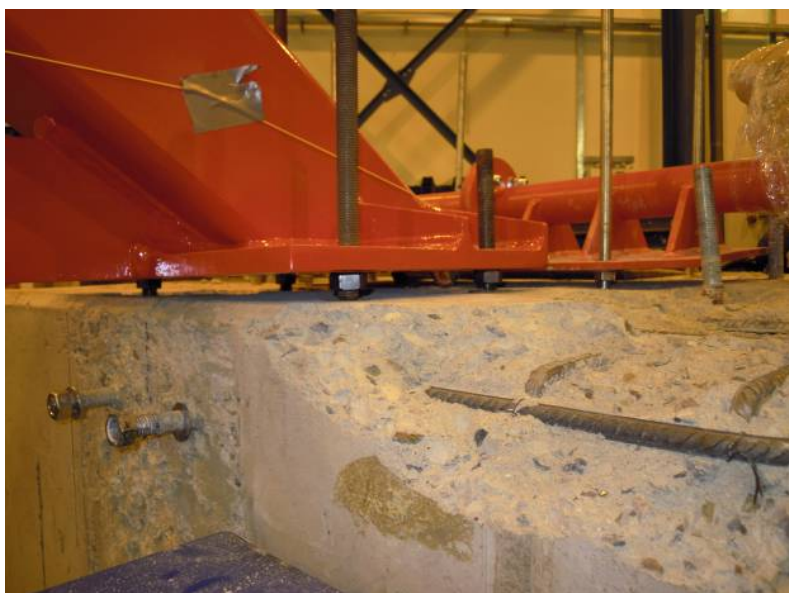
*Výroba ocelové konstrukce byla ukončena v prosinci 2010.*





**Obr. C.13** Usazení kotevních bloků a ocelové konstrukce

*Ocelová konstrukce byla přepravena do sdružených laboratoří pro zkoušení nosných konstrukcí, kde se prováděla od 3.1.2011 její montáž.*



**Obr. C.14** Detail kotvení pylonu

*Usazení do definitivní polohy bylo provedeno pomocí matic pod kotevním plechem.*



**Obr. C.15** Podlití kotvení pylonu a spojení půloblouků mostovky

*Závitové tyče okolo spojení půloblouků sloužily k přichycení kotevního bloku*



**Obr. C.16** Osazení závěsů a visutého lana

*Ocelová trubka byla podepřena ve čtvrtinách provizorními podporami.*



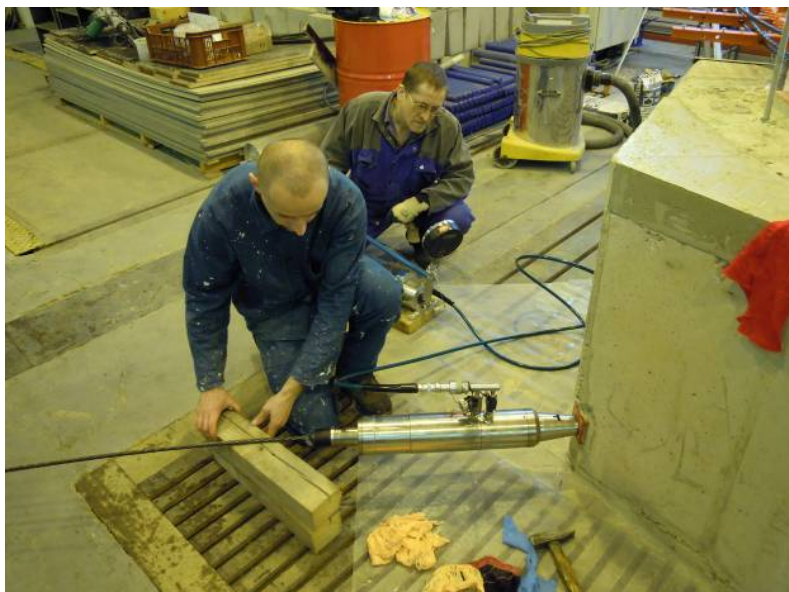
**Obr. C.17** Detail spojení visutého lana a závěsů

*Celý detail je jištěn proti prokluzu po laně lanovou svorkou.*



**Obr. C.18** Pohled na vidličky a řešení spojení trubky a visutého lana





**Obr. C.19** Předpínání lana pro podélnou stabilitu v základovém bloku

Podélná stabilita byla zaručena pomocí systému táhla a vzpěry. Táhlo tvořilo předpínací lano a vzpěru nosník HEB200, uložený mezi základovými bloky.



**Obr. C.20** Bednění a výztuž kotevního bloku

Obrázek ukazuje vykřížení předpínací výztuže a kotevní sklípky vytvořené z polystyrenu.



**Obr. C.21** Betonáž kotevního bloku.

Betonová směs se hutnila vibrátorem.



**Obr. C.22** *Vylitý kotevní blok***Obr. C.23** *Osazování závaží*

Závaží tvořil betonový blok o rozměrech 500 x 220 x 230 mm (hmotnost 56 kg) a dva ocelové válce o průměru 50 mm a délce 630 mm (hmotnost jednoho válce cca 9,7 kg).

**Obr. C.24** *Kompletně osazené závaží*

Po osazení závaží se provedla rektifikace závěsů.





**Obr. C.25** *Bednění mostovky – řešení náběhu u kotevního bloku*

*Z kotevního bloku vycházela výztuž pro jeho spojení s betonovou deskou mostovky.*



**Obr. C.26** *Bednění mostovky*

*Bednění bylo tvořeno voduvzdornou překližkou, která byla pomocí dřevěných klínů doražena k příčnickům. Dřevěné klíny pak umožnily snadnější odbednění.*



**Obr. C.27** *Kompletně osazené bednění mostovky*

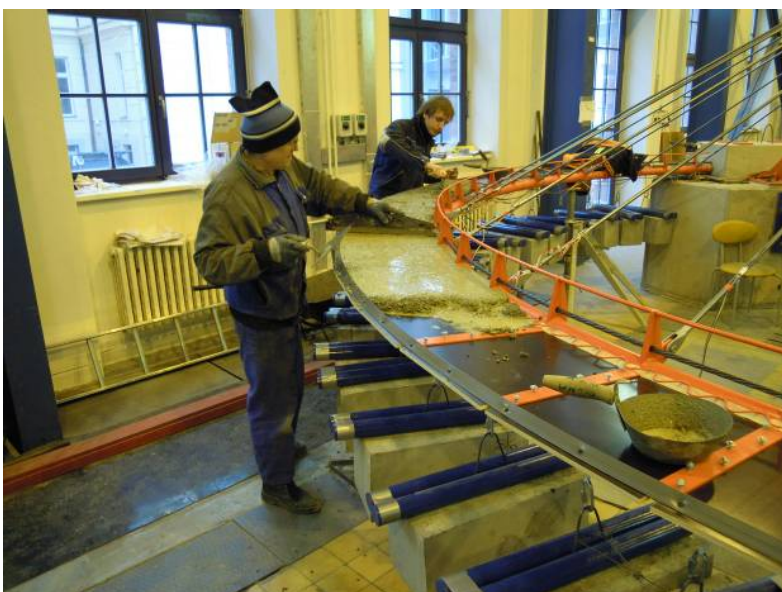


**Obr. C.28** *Drátky  
pro drátobeton*

*Betonová směs zavěšené varianty byla tvořena vláknobetonem a pro visutou variantu drátobetonem.*



**Obr. C.29** *Výroba betonové směsi*



**Obr. C.30** *Betonáž zavěšené části*

*Pracovní tým byl složen z pracovníků a doktorandů ústavu Betonových a zděných konstrukcí.*





**Obr. C.31** *Betonáž visuté části*



**Obr. C.32** *Ochrana před vysycháním betonové směsi*

*Ochrana před vysycháním byla tvořena vrstvou vlhčené geotextilie pokryté igelitem.*



**Obr. C.33** *Detail náběhu po odbednění mostovky*

*Kotvení předpínacích lan je doplněno rektifikační maticí (na Obr. C.33 stříbrná).*



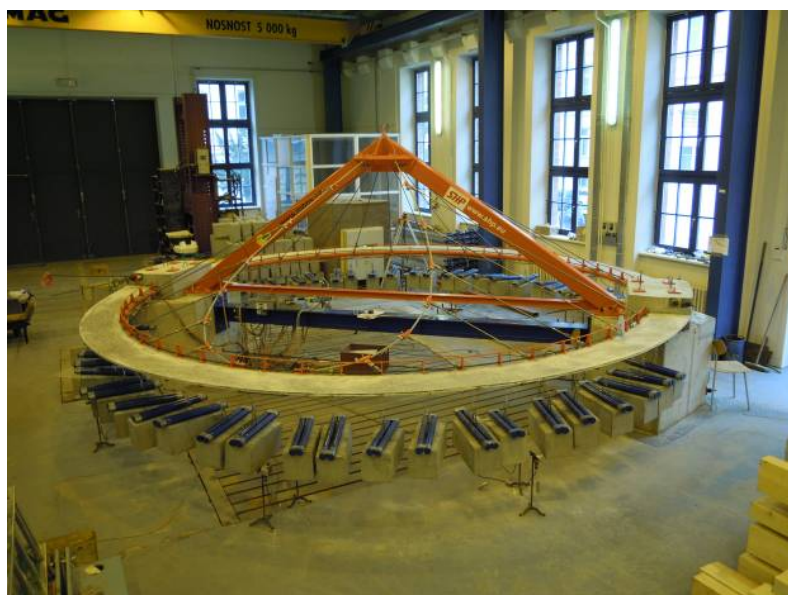


**Obr. C.34** *Pohled na mostovku visuté části z pohledu chodce*



**Obr. C.35** *Mostovka zespod po odbednění*

*Balastní zatížení bylo zavěšeno pomocí bílého lanka a spony. Zátěž měla přesnou polohu vůči mostovce.*



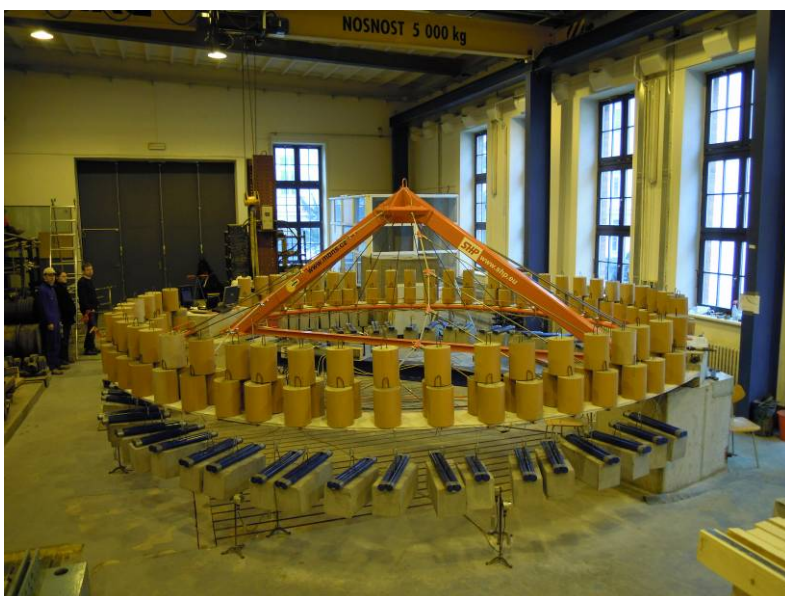
**Obr. C.36** *Kompletně dokončený model*



**Obr. C.37** *Tenzometry na dolním povrchu betonové desky mostovky*



**Obr. C.38** *Tenzometry na horním povrchu betonové desky mostovky*



**Obr. C.39** *Rozcvičení modelu nahodilým zatížením*

*Model lávky byl několikrát zatížen a odtížen nahodilým zatížením střídavě na obou stranách. Tento postup umožnil ustálení průhybů a dosednutí všech částí modelu.*

*Rozcvičením modelu byla ukončena jeho montáž dne 18.2.2011.*





**Obr. C.40** Statická  
zatěžovací zkouška  
zavěšené části, stav Z-ZSA

*Statická zatěžovací zkouška  
obou částí modelu byla  
provedena za jeden den  
21.2.2011.*



**Obr. C.41** Statická  
zatěžovací zkouška  
zavěšené části, stav Z-ZSB



**Obr. C.42** Statická  
zatěžovací zkouška  
zavěšené části, stav Z-ZSC





**Obr. C.43** *Statická  
zatěžovací zkouška  
zavěšené části, stav Z-ZSD*

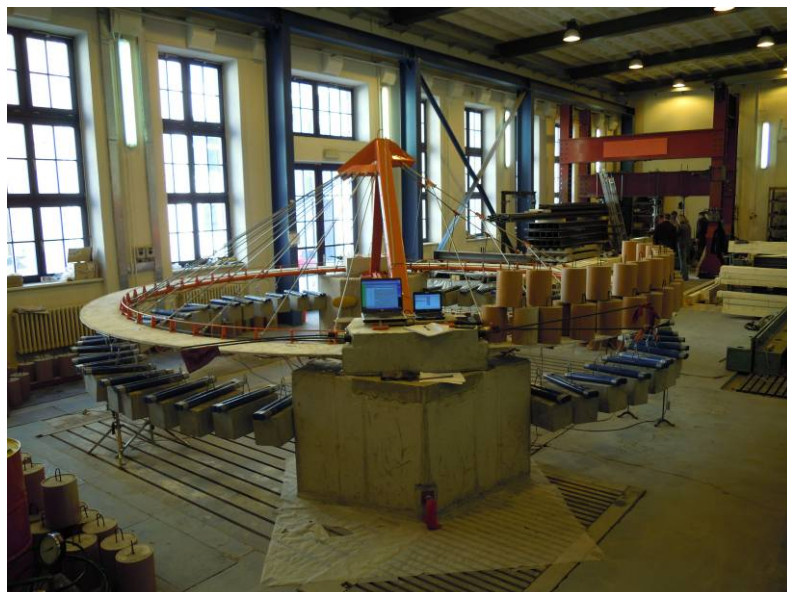


**Obr. C.44** *Statická  
zatěžovací zkouška visuté  
části, stav V-ZSA*



**Obr. C.45** *Statická  
zatěžovací zkouška visuté  
části, stav V-ZSB*

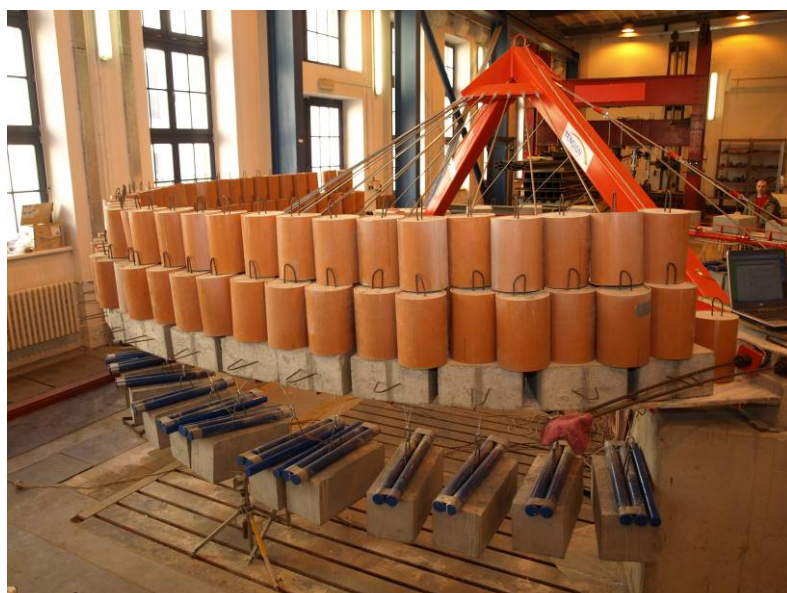




**Obr. C.46** Statická  
zatěžovací zkouška visuté  
části, stav V-ZSC



**Obr. C.47** Statická  
zatěžovací zkouška visuté  
části stav, V-ZSD



**Obr. C.48** Mezní zatěžovací  
zkouška zavěšené části

*Dne 28.2.2012 se konala mezní zatěžovací zkouška. V jednom dni se provedlo postupné zatěžování nejprve zavěšené a poté visuté části.*



**Obr. C.49** Trhliny po mezní zatěžovací zkoušce na zavěšené části

*V oblasti vetknutí desky mostovky do kotevního bloku se v místech nad příčnky objevily trhliny v betonu. Nad příčnky byla deska o tloušťce pouze 16 mm.*



**Obr. C.50** Mezní zatěžovací zkouška zavěšené části



**Obr. C.51** Trhliny po mezní zatěžovací zkoušce na visuté části

*Rozvoj trhlin na visuté části byl díky použití drátkobetonu v menším rozsahu i přes viditelně větší průhyby.*





**Obr. C.52** *Měřicí aparatura pro dynamická měření na modelu*

*Dne 11.3.2011 byla provedena doplňující dynamická měření pod vedením Prof. Ing. Jaroslava Smutného, CSc. Měření prokázala shodu s matematickým modelem.*



**Obr. C.53** *Akcelerometr pro měření zrychlení*



**Obr. C.54** *Trhlina vzniklá po uvolnění předpětí mostovky*

*Dne 22.3.2011 započaly práce na likvidaci modelu.*





**Obr. C.55** *Rozřezání modelu pro transport*



**Obr. C.56** *Odstranění kotevního bloku pomocí jeřábu*



**Obr. C.57** *Příčný řez mostovkou v řezu*

*Dne 23.3.2011 byl model definitivně odstraněn.*

# **Příloha D**

## **Vyhodnocení průhybů a poměrného přetvoření modelu**

## Seznam tabulek

<b>Tab. D.1</b> SZZ – svislé průhyby od jednotlivých čidel.....	D-3
<b>Tab. D.2</b> SZZ – náklony od jednotlivých čidel .....	D-3
<b>Tab. D.3</b> SZZ – svislé průhyby v polovině rozpětí pro $TUP \propto MN/m$ .....	D-4
<b>Tab. D.4</b> SZZ – náklony v polovině rozpětí pro $TUP \propto MN/m$ .....	D-4
<b>Tab. D.5</b> SZZ – svislé průhyby v polovině rozpětí pro $TUP 100,0 MN/m$ .....	D-5
<b>Tab. D.6</b> SZZ – náklony v polovině rozpětí pro $TUP 100,0 MN/m$ .....	D-5
<b>Tab. D.7</b> SZZ – svislé průhyby v polovině rozpětí pro $TUP 3,3 MN/m$ .....	D-6
<b>Tab. D.8</b> SZZ – náklony v polovině rozpětí pro $TUP 3,3 MN/m$ .....	D-6
<b>Tab. D.9</b> SZZ – poměrné přetvoření od všech čidel na zavěšené části.....	D-7
<b>Tab. D.10</b> SZZ – poměrné přetvoření od všech čidel na visuté části.....	D-8
<b>Tab. D.11</b> SZZ – poměrné přetvoření v desce v polovině rozpětí pro $TUP \propto MN/m$ .....	D-9
<b>Tab. D.12</b> SZZ – poměrné přetvoření v trubce v polovině rozpětí pro $TUP \propto MN/m$ .....	D-9
<b>Tab. D.13</b> SZZ – poměrné přetvoření v desce v polovině rozpětí pro $TUP 100,0 MN/m$ ....	D-10
<b>Tab. D.14</b> SZZ – poměrné přetvoření v trubce v polovině rozpětí pro $TUP 100,0 MN/m$ ...	D-10
<b>Tab. D.15</b> SZZ – poměrné přetvoření v desce v polovině rozpětí pro $TUP 3,3 MN/m$ .....	D-11
<b>Tab. D.16</b> SZZ – poměrné přetvoření v trubce v polovině rozpětí pro $TUP 3,3 MN/m$ .....	D-11
<b>Tab. D.17</b> MZZ – svislé průhyby od jednotlivých čidel .....	D-12
<b>Tab. D.18</b> MZZ – náklony od jednotlivých čidel.....	D-12
<b>Tab. D.19</b> MZZ – svislé průhyby v polovině rozpětí pro $TUP \propto MN/m$ .....	D-13
<b>Tab. D.20</b> MZZ – náklony v polovině rozpětí pro $TUP \propto MN/m$ .....	D-13
<b>Tab. D.21</b> MZZ – svislé průhyby v polovině rozpětí pro $TUP 100,0 MN/m$ .....	D-14
<b>Tab. D.22</b> MZZ – náklony v polovině rozpětí pro $TUP 100,0 MN/m$ .....	D-14
<b>Tab. D.23</b> MZZ – svislé průhyby v polovině rozpětí pro $TUP 3,3 MN/m$ .....	D-15
<b>Tab. D.24</b> MZZ – náklony v polovině rozpětí pro $TUP 3,3 MN/m$ .....	D-15
<b>Tab. D.25</b> MZZ – poměrné přetvoření od vybraných čidel.....	D-16
<b>Tab. D.26</b> MZZ – poměrné přetvoření v desce v polovině rozpětí pro $TUP \propto MN/m$ .....	D-17
<b>Tab. D.27</b> MZZ – poměrné přetvoření v trubce v polovině rozpětí pro $TUP \propto MN/m$ .....	D-17
<b>Tab. D.28</b> MZZ – poměrné přetvoření v desce v polovině rozpětí pro $TUP 100,0 MN/m$ ...	D-18
<b>Tab. D.29</b> MZZ – poměrné přetvoření v trubce v polovině rozpětí pro $TUP 100,0 MN/m$ .	D-18
<b>Tab. D.30</b> MZZ – poměrné přetvoření v desce v polovině rozpětí pro $TUP 3,3 MN/m$ .....	D-19
<b>Tab. D.31</b> MZZ – poměrné přetvoření v trubce v polovině rozpětí pro $TUP 3,3 MN/m$ .....	D-19

### Vysvětlení některých zkratk:

SZZ – statická zatěžovací zkouška

MZZ – mezní zatěžovací zkouška

TUP – tuhost uložení pylonu

**Tab. D.1 SZZ – svislé průhyby od jednotlivých čidel**

Stav		Z-ZSA			Z-ZSB			Z-ZSC			Z-ZSD		
Část	Čidla	Analýza [mm]	Měření [mm]	Rozdíl* [mm]	Analýza [mm]	Měření [mm]	Rozdíl* [mm]	Analýza [mm]	Měření [mm]	Rozdíl* [mm]	Analýza [mm]	Měření [mm]	Rozdíl* [mm]
zav.	PZ01	-11.5	-15.0	-3.5	-8.8	-10.8	-2.0	-4.6	-5.2	-0.6	-7.5	-10.2	-2.7
	PZ02	-18.0	-21.0	-3.0	-13.5	-14.7	-1.2	-5.5	-5.6	-0.1	-13.2	-15.4	-2.1
	<b>PZ03</b>	<b>-15.0</b>	<b>-20.0</b>	<b>-5.0</b>	<b>-12.2</b>	<b>-15.2</b>	<b>-3.0</b>	<b>-8.3</b>	<b>-9.8</b>	<b>-1.5</b>	<b>-7.8</b>	<b>-10.5</b>	<b>-2.7</b>
	<b>PZ04</b>	<b>-23.1</b>	<b>-27.0</b>	<b>-3.9</b>	<b>-19.3</b>	<b>-20.6</b>	<b>-1.3</b>	<b>-13.2</b>	<b>-13.7</b>	<b>-0.5</b>	<b>-11.9</b>	<b>-13.9</b>	<b>-2.0</b>
	PZ05	-11.5	-15.0	-3.5	-8.8	-10.6	-1.8	-7.5	-8.7	-1.2	-4.6	-5.7	-1.2
	PZ06	-18.0	-20.4	-2.4	-13.5	-14.3	-0.8	-13.2	-13.6	-0.4	-5.5	-5.9	-0.4
vis.	PV01	9.9	13.1	3.3	7.7	9.5	1.8	5.2	6.0	0.8	5.2	7.3	2.1
	PV02	11.0	14.6	3.6	8.6	10.5	1.9	5.9	6.6	0.7	5.8	8.2	2.4
	<b>PV03</b>	<b>18.1</b>	<b>21.6</b>	<b>3.5</b>	<b>14.1</b>	<b>15.7</b>	<b>1.6</b>	<b>9.6</b>	<b>10.1</b>	<b>0.5</b>	<b>9.6</b>	<b>11.3</b>	<b>1.7</b>
	<b>PV04</b>	<b>21.5</b>	<b>26.0</b>	<b>4.4</b>	<b>16.8</b>	<b>18.9</b>	<b>2.1</b>	<b>11.4</b>	<b>12.1</b>	<b>0.7</b>	<b>11.4</b>	<b>13.8</b>	<b>2.4</b>
	PV05	9.9	13.4	3.6	7.7	9.6	2.0	5.2	6.3	1.1	5.2	6.6	1.4
	PV06	11.0	14.9	3.9	8.6	10.7	2.1	5.8	7.1	1.2	5.9	7.2	1.4

Stav		V-ZSA			V-ZSB			V-ZSC			V-ZSD		
Část	Čidla	Analýza [mm]	Měření [mm]	Rozdíl* [mm]	Analýza [mm]	Měření [mm]	Rozdíl* [mm]	Analýza [mm]	Měření [mm]	Rozdíl* [mm]	Analýza [mm]	Měření [mm]	Rozdíl* [mm]
zav.	PZ01	11.0	12.8	1.8	9.6	9.8	0.3	5.9	5.9	0.0	5.9	6.3	0.4
	PZ02	12.4	14.4	2.0	10.9	11.0	0.1	6.7	6.6	-0.1	6.7	7.1	0.5
	<b>PZ03</b>	<b>14.6</b>	<b>17.5</b>	<b>2.9</b>	<b>12.8</b>	<b>13.4</b>	<b>0.7</b>	<b>7.8</b>	<b>8.3</b>	<b>0.4</b>	<b>7.8</b>	<b>8.5</b>	<b>0.6</b>
	<b>PZ04</b>	<b>16.8</b>	<b>19.8</b>	<b>3.1</b>	<b>14.7</b>	<b>15.2</b>	<b>0.6</b>	<b>9.0</b>	<b>9.4</b>	<b>0.4</b>	<b>9.0</b>	<b>9.6</b>	<b>0.6</b>
	PZ05	11.0	12.8	1.9	9.6	9.8	0.2	5.9	6.1	0.2	5.9	6.0	0.1
	PZ06	12.4	14.5	2.1	10.9	10.9	0.1	6.7	6.9	0.2	6.7	6.6	-0.1
vis.	PV01	-15.5	-17.2	-1.7	-11.8	-11.7	0.1	-2.2	-2.1	0.2	-13.7	-15.7	-1.9
	PV02	-21.9	-23.1	-1.2	-16.0	-15.5	0.5	-2.0	-1.5	0.5	-20.4	-22.2	-1.8
	<b>PV03</b>	<b>-29.0</b>	<b>-26.7</b>	<b>2.3</b>	<b>-30.5</b>	<b>-25.6</b>	<b>4.8</b>	<b>-15.0</b>	<b>-12.8</b>	<b>2.3</b>	<b>-16.8</b>	<b>-15.3</b>	<b>1.6</b>
	<b>PV04</b>	<b>-39.7</b>	<b>-36.8</b>	<b>2.9</b>	<b>-41.7</b>	<b>-35.7</b>	<b>6.0</b>	<b>-20.5</b>	<b>-17.5</b>	<b>3.0</b>	<b>-23.5</b>	<b>-21.7</b>	<b>1.7</b>
	PV05	-15.5	-17.1	-1.6	-11.8	-11.7	0.1	-13.7	-14.3	-0.6	-2.2	-1.1	1.2
	PV06	-21.9	-22.9	-1.0	-16.0	-15.5	0.5	-20.4	-20.4	0.0	-2.0	-0.3	1.6

\* rozdíl mezi měřením a analýzou

**Tab. D.2 SZZ – náklony od jednotlivých čidel**

Stav		Z-ZSA			Z-ZSB			V-ZSA			V-ZSB		
Část	Z čidel	Analýza [mm]	Měření [mm]	Rozdíl* [mm]	Analýza [mm]	Měření [mm]	Rozdíl* [mm]	Analýza [mm]	Měření [mm]	Rozdíl* [mm]	Analýza [mm]	Měření [mm]	Rozdíl* [mm]
zav.	PZ01-PZ02	-6.7	-6.2	0.6	-4.9	-4.1	0.8	1.5	1.7	0.2	1.3	1.2	-0.1
	<b>PZ03-PZ04</b>	<b>-8.4</b>	<b>-7.2</b>	<b>1.2</b>	<b>-7.4</b>	<b>-5.6</b>	<b>1.8</b>	<b>2.3</b>	<b>2.5</b>	<b>0.2</b>	<b>2.0</b>	<b>1.9</b>	<b>-0.1</b>
	PZ05-PZ06	-6.7	-5.6	1.1	-4.9	-3.8	1.1	1.5	1.8	0.3	1.3	1.2	-0.1
vis.	PV01-PV02	1.2	1.5	0.3	1.0	1.1	0.1	-6.6	-6.1	0.5	-4.3	-3.9	0.5
	<b>PV03-PV04</b>	<b>3.6</b>	<b>4.6</b>	<b>1.0</b>	<b>2.8</b>	<b>3.3</b>	<b>0.6</b>	<b>-11.2</b>	<b>-10.6</b>	<b>0.6</b>	<b>-11.6</b>	<b>-10.5</b>	<b>1.2</b>
	PV05-PV06	1.2	1.5	0.3	1.0	1.1	0.1	-6.6	-6.0	0.6	-4.3	-4.0	0.4
Stav		Z-ZSC			Z-ZSD			V-ZSC			V-ZSD		
Část	Z čidel	Analýza [mm]	Měření [mm]	Rozdíl* [mm]	Analýza [mm]	Měření [mm]	Rozdíl* [mm]	Analýza [mm]	Měření [mm]	Rozdíl* [mm]	Analýza [mm]	Měření [mm]	Rozdíl* [mm]
zav.	PZ01-PZ02	-1.0	-0.4	0.6	-5.9	-5.4	0.6	0.8	0.7	-0.1	0.8	0.9	0.1
	<b>PZ03-PZ04</b>	<b>-5.0</b>	<b>-4.0</b>	<b>1.0</b>	<b>-4.2</b>	<b>-3.6</b>	<b>0.6</b>	<b>1.2</b>	<b>1.1</b>	<b>-0.1</b>	<b>1.2</b>	<b>1.2</b>	<b>0.0</b>
	PZ05-PZ06	-5.9	-5.1	0.9	-1.0	-0.2	0.8	0.8	0.8	0.0	0.8	0.7	-0.1
vis.	PV01-PV02	0.7	0.6	-0.1	0.7	1.0	0.3	0.3	0.6	0.3	-7.0	-6.8	0.1
	<b>PV03-PV04</b>	<b>1.9</b>	<b>2.1</b>	<b>0.2</b>	<b>1.9</b>	<b>2.5</b>	<b>0.7</b>	<b>-5.7</b>	<b>-4.9</b>	<b>0.8</b>	<b>-6.9</b>	<b>-6.7</b>	<b>0.2</b>
	PV05-PV06	0.6	0.8	0.1	0.7	0.6	0.0	-7.0	-6.3	0.7	0.3	0.8	0.5

\* rozdíl mezi měřením a analýzou

Tab. D.3 SZZ – svislé průhyby v polovině rozpětí pro  $TUP \propto MN/m$ 

Svislý průhyb ocelové trubky v polovině rozpětí						
Část Čidlo	Analýza		Měření		Měření - Analýza	
	zavěšená PZ03 [mm]	visutá PV03 [mm]	zavěšená PZ03 [mm]	visutá PV03 [mm]	zavěšená PZ03 [mm]	visutá PV03 [mm]
Z-ZSA	-15.0	18.1	-20.0	21.6	-5.0	3.5
Z-ZSB	-12.2	14.1	-15.2	15.7	-3.0	1.6
Z-ZSC	-8.3	9.6	-9.8	10.1	-1.5	0.5
Z-ZSD	-7.8	9.6	-10.5	11.3	-2.7	1.7
V-ZSA	14.6	-29.0	17.5	-26.7	2.9	2.3
V-ZSB	12.8	-30.5	13.4	-25.6	0.7	4.8
V-ZSC	7.8	-15.0	8.3	-12.8	0.4	2.3
V-ZSD	7.8	-16.8	8.5	-15.3	0.6	1.6
Svislý průhyb konzolového okraje ocelového příčnicku v polovině rozpětí						
Část Čidlo	Analýza		Měření		Měření - Analýza	
	zavěšená PZ04 [mm]	visutá PV04 [mm]	zavěšená PZ04 [mm]	visutá PV04 [mm]	zavěšená PZ04 [mm]	visutá PV04 [mm]
Z-ZSA	-23.1	21.5	-27.0	26.0	-3.9	4.4
Z-ZSB	-19.3	16.8	-20.6	18.9	-1.3	2.1
Z-ZSC	-13.2	11.4	-13.7	12.1	-0.5	0.7
Z-ZSD	-11.9	11.4	-13.9	13.8	-2.0	2.4
V-ZSA	16.8	-39.7	19.8	-36.8	3.1	2.9
V-ZSB	14.7	-41.7	15.2	-35.7	0.6	6.0
V-ZSC	9.0	-20.5	9.4	-17.5	0.4	3.0
V-ZSD	9.0	-23.5	9.6	-21.7	0.6	1.7

Tab. D.4 SZZ – náklony v polovině rozpětí pro  $TUP \propto MN/m$ 

Náklon mostovky $\Delta$						
Část Z čidel	Analýza		Měření		Měření - Analýza	
	zavěšená PZ03-PZ04 [mm]	visutá PV03-PV04 [mm]	zavěšená PZ03-PZ04 [mm]	visutá PV03-PV04 [mm]	zavěšená PZ03-PZ04 [mm]	visutá PV03-PV04 [mm]
Z-ZSA	-8.4	3.6	-7.2	4.6	1.2	1.0
Z-ZSB	-7.4	2.8	-5.6	3.3	1.8	0.6
Z-ZSC	-5.0	1.9	-4.0	2.1	1.0	0.2
Z-ZSD	-4.2	1.9	-3.6	2.5	0.6	0.7
V-ZSA	2.3	-11.2	2.5	-10.6	0.2	0.6
V-ZSB	2.0	-11.6	1.9	-10.5	-0.1	1.2
V-ZSC	1.2	-5.7	1.1	-4.9	-0.1	0.8
V-ZSD	1.2	-6.9	1.2	-6.7	0.0	0.2

Tab. D.5 SZZ – svislé průhyby v polovině rozpětí pro TUP 100,0 MN/m

Svislý průhyb ocelové trubky v polovině rozpětí						
Část Čidlo	Analýza		Měření		Měření - Analýza	
	zavěšená PZ03 [mm]	visutá PV03 [mm]	zavěšená PZ03 [mm]	visutá PV03 [mm]	zavěšená PZ03 [mm]	visutá PV03 [mm]
Z-ZSA	-15.2	18.3	-20.0	21.6	-4.8	3.3
Z-ZSB	-12.3	14.3	-15.2	15.7	-2.9	1.4
Z-ZSC	-8.4	9.7	-9.8	10.1	-1.4	0.4
Z-ZSD	-7.9	9.7	-10.5	11.3	-2.6	1.6
V-ZSA	14.8	-29.2	17.5	-26.7	2.7	2.5
V-ZSB	12.9	-30.7	13.4	-25.6	0.5	5.0
V-ZSC	7.9	-15.2	8.3	-12.8	0.4	2.4
V-ZSD	7.9	-16.9	8.5	-15.3	0.6	1.7
Svislý průhyb konzolového okraje ocelového příčnicku v polovině rozpětí						
Část Čidlo	Analýza		Měření		Měření - Analýza	
	zavěšená PZ04 [mm]	visutá PV04 [mm]	zavěšená PZ04 [mm]	visutá PV04 [mm]	zavěšená PZ04 [mm]	visutá PV04 [mm]
Z-ZSA	-23.3	21.8	-27.0	26.0	-3.7	4.2
Z-ZSB	-19.4	17.0	-20.6	18.9	-1.2	1.9
Z-ZSC	-13.3	11.5	-13.7	12.1	-0.4	0.6
Z-ZSD	-12.0	11.5	-13.9	13.8	-1.9	2.2
V-ZSA	17.0	-40.0	19.8	-36.8	2.9	3.2
V-ZSB	14.8	-41.9	15.2	-35.7	0.4	6.2
V-ZSC	9.1	-20.6	9.4	-17.5	0.3	3.2
V-ZSD	9.1	-23.6	9.6	-21.7	0.5	1.9

Tab. D.6 SZZ – náklony v polovině rozpětí pro TUP 100,0 MN/m

Náklon mostovky $\Delta$						
Část Z čidel	Analýza		Měření		Měření - Analýza	
	zavěšená PZ03-PZ04 [mm]	visutá PV03-PV04 [mm]	zavěšená PZ03-PZ04 [mm]	visutá PV03-PV04 [mm]	zavěšená PZ03-PZ04 [mm]	visutá PV03-PV04 [mm]
Z-ZSA	-8.4	3.6	-7.2	4.6	1.2	1.0
Z-ZSB	-7.4	2.8	-5.6	3.3	1.8	0.5
Z-ZSC	-5.0	1.9	-4.0	2.1	1.0	0.2
Z-ZSD	-4.2	1.9	-3.6	2.5	0.6	0.6
V-ZSA	2.3	-11.2	2.5	-10.6	0.2	0.6
V-ZSB	2.0	-11.7	1.9	-10.5	-0.1	1.2
V-ZSC	1.2	-5.7	1.1	-4.9	-0.1	0.8
V-ZSD	1.2	-6.9	1.2	-6.7	0.0	0.2

Tab. D.7 SZZ – svislé průhyby v polovině rozpětí pro TUP 3,3 MN/m

Svislý průhyb ocelové trubky v polovině rozpětí						
Část Čidlo	Analýza		Měření		Měření - Analýza	
	zavěšená PZ03 [mm]	visutá PV03 [mm]	zavěšená PZ03 [mm]	visutá PV03 [mm]	zavěšená PZ03 [mm]	visutá PV03 [mm]
Z-ZSA	-18.9	23.2	-20.0	21.6	-1.1	-1.6
Z-ZSB	-15.2	18.1	-15.2	15.7	0.0	-2.4
Z-ZSC	-10.4	12.3	-9.8	10.1	0.5	-2.2
Z-ZSD	-9.9	12.3	-10.5	11.3	-0.6	-0.9
V-ZSA	18.6	-34.3	17.5	-26.7	-1.1	7.7
V-ZSB	16.3	-35.1	13.4	-25.6	-2.8	9.5
V-ZSC	10.0	-17.9	8.3	-12.8	-1.7	5.1
V-ZSD	10.0	-19.7	8.5	-15.3	-1.5	4.4
Svislý průhyb konzolového okraje ocelového příčnicku v polovině rozpětí						
část čidlo	Analýza		Měření		Měření - Analýza	
	zavěšená PZ04 [mm]	visutá PV04 [mm]	zavěšená PZ04 [mm]	visutá PV04 [mm]	zavěšená PZ04 [mm]	visutá PV04 [mm]
Z-ZSA	-27.6	27.5	-27.0	26.0	0.6	-1.6
Z-ZSB	-22.8	21.5	-20.6	18.9	2.2	-2.5
Z-ZSC	-15.5	14.6	-13.7	12.1	1.8	-2.4
Z-ZSD	-14.2	14.6	-13.9	13.8	0.3	-0.8
V-ZSA	21.4	-46.1	19.8	-36.8	-1.6	9.3
V-ZSB	18.7	-47.2	15.2	-35.7	-3.5	11.5
V-ZSC	11.5	-23.9	9.4	-17.5	-2.1	6.4
V-ZSD	11.5	-26.9	9.6	-21.7	-1.9	5.1

Tab. D.8 SZZ – náklony v polovině rozpětí pro TUP 3,3 MN/m

Náklon mostovky $\Delta$						
Část Z čidel	Analýza		Měření		Měření - Analýza	
	zavěšená PZ03-PZ04 [mm]	visutá PV03-PV04 [mm]	zavěšená PZ03-PZ04 [mm]	visutá PV03-PV04 [mm]	zavěšená PZ03-PZ04 [mm]	visutá PV03-PV04 [mm]
Z-ZSA	-9.0	4.5	-7.2	4.6	1.8	0.0
Z-ZSB	-7.8	3.5	-5.6	3.3	2.3	-0.2
Z-ZSC	-5.4	2.4	-4.0	2.1	1.3	-0.3
Z-ZSD	-4.5	2.4	-3.6	2.5	0.9	0.1
V-ZSA	2.9	-12.2	2.5	-10.6	-0.4	1.7
V-ZSB	2.5	-12.6	1.9	-10.5	-0.7	2.1
V-ZSC	1.5	-6.2	1.1	-4.9	-0.4	1.4
V-ZSD	1.5	-7.5	1.2	-6.7	-0.3	0.7



Tab. D.9 SZZ – poměrné přetvoření od všech čidel na zavěšené části

Stav		Z-ZSA			Z-ZSB			Z-ZSC			Z-ZSD		
		Analýza [μm/m]	Měření [μm/m]	Rozdíl* [μm/m]	Analýza [μm/m]	Měření [μm/m]	Rozdíl* [μm/m]	Analýza [μm/m]	Měření [μm/m]	Rozdíl* [μm/m]	Analýza [μm/m]	Měření [μm/m]	Rozdíl* [μm/m]
Deska	<b>TZD01</b>	<b>59.3</b>	<b>54.0</b>	<b>-5.2</b>	<b>47.7</b>	<b>50.2</b>	<b>2.5</b>	<b>23.9</b>	<b>32.2</b>	<b>8.3</b>	<b>20.7</b>	<b>16.1</b>	<b>-4.6</b>
	<b>TZD02</b>	<b>-32.1</b>	<b>-35.1</b>	<b>-3.0</b>	<b>-27.6</b>	<b>-32.2</b>	<b>-4.6</b>	<b>-13.9</b>	<b>-11.4</b>	<b>2.5</b>	<b>-12.4</b>	<b>-12.3</b>	<b>0.1</b>
	TZD03	39.4	33.2	-6.2	20.5	6.6	-13.9	37.5	37.0	-0.5	3.3	-5.7	-9.0
	TZD04	-29.5	-22.7	6.8	-21.1	-13.3	7.8	-20.8	-18.0	2.8	-10.5	-6.6	3.9
	TZD05	106.4	110.9	4.5	74.5	81.5	7.0	79.1	71.1	-8.0	31.7	31.3	-0.4
	TZD06	-44.2	-33.2	11.1	-42.6	-36.0	6.6	-18.5	-11.4	7.2	-29.4	-18.0	11.4
Deska	TVD01	-71.3	-66.4	4.9	-55.6	-50.2	5.4	-37.8	-30.3	7.5	-37.6	-34.1	3.5
	TVD02	11.3	11.4	0.1	8.8	9.5	0.6	5.9	4.7	-1.2	5.9	6.6	0.7
	<b>TVD03</b>	<b>31.0</b>	<b>23.7</b>	<b>-7.3</b>	<b>24.1</b>	<b>18.0</b>	<b>-6.1</b>	<b>16.3</b>	<b>12.3</b>	<b>-4.0</b>	<b>16.3</b>	<b>10.4</b>	<b>-5.9</b>
	<b>TVD04</b>	<b>-11.4</b>	<b>-10.4</b>	<b>1.0</b>	<b>-8.9</b>	<b>-9.5</b>	<b>-0.6</b>	<b>-6.1</b>	<b>-6.6</b>	<b>-0.5</b>	<b>-6.0</b>	<b>-8.5</b>	<b>-2.5</b>
	TVD05	-20.7	-14.2	6.5	-16.1	-10.4	5.7	-11.0	-6.6	4.4	-10.8	-9.5	1.4
	TVD06	1.7	-6.6	-8.3	1.4	-3.8	-5.2	0.8	-1.9	-2.7	0.9	-4.7	-5.6
	TVD07	-82.8	-88.2	-5.4	-64.6	-61.6	3.0	-43.7	-42.7	1.1	-44.1	-39.8	4.2
	TVD08	13.9	20.9	7.0	10.8	12.3	1.5	7.2	8.5	1.3	7.4	2.8	-4.5
Trubka	TZT01	89.3	109.6	20.4	62.5	63.5	1.0	64.5	43.3	-21.2	30.1	54.8	24.7
	TZT02	-373.9	-377.9	-4.0	-246.1	-267.3	-21.2	-84.0	-96.2	-12.2	-304.0	-269.2	34.8
	<b>TZT03</b>	<b>72.8</b>	<b>43.3</b>	<b>-29.6</b>	<b>73.0</b>	<b>51.0</b>	<b>-22.0</b>	<b>24.4</b>	<b>3.8</b>	<b>-20.5</b>	<b>39.6</b>	<b>27.9</b>	<b>-11.8</b>
	<b>TZT04</b>	<b>-214.9</b>	<b>-173.1</b>	<b>41.8</b>	<b>-172.2</b>	<b>-133.7</b>	<b>38.6</b>	<b>-100.9</b>	<b>-76.9</b>	<b>24.0</b>	<b>-104.5</b>	<b>-80.8</b>	<b>23.8</b>
	TZT05	34.0	6.7	-27.3	-4.9	-26.0	-21.0	76.0	56.7	-19.3	-47.6	-58.7	-11.0
	TZT06	-203.8	-181.7	22.1	-149.8	-127.9	22.0	-137.5	-126.9	10.6	-78.8	-75.0	3.8
	TZT07	139.4	102.9	-36.5	99.8	60.6	-39.3	54.0	38.5	-15.5	93.7	28.8	-64.9
	TZT08	-397.4	-397.1	0.3	-258.5	-270.2	-11.7	-321.2	-288.5	32.8	-90.9	-99.0	-8.1
Trubka	TVT01	-78.3	-92.3	-14.1	-60.8	-54.8	6.0	-41.5	-27.9	13.6	-40.9	-58.7	-17.7
	TVT02	207.3	276.9	69.6	162.2	211.5	49.3	110.7	138.5	27.8	110.0	153.8	43.8
	<b>TVT03</b>	<b>30.6</b>	<b>16.3</b>	<b>-14.2</b>	<b>23.6</b>	<b>10.6</b>	<b>-13.0</b>	<b>16.2</b>	<b>7.7</b>	<b>-8.5</b>	<b>16.0</b>	<b>1.0</b>	<b>-15.0</b>
	<b>TVT04</b>	<b>-88.3</b>	<b>-103.8</b>	<b>-15.5</b>	<b>-68.5</b>	<b>-80.8</b>	<b>-12.3</b>	<b>-46.7</b>	<b>-51.0</b>	<b>-4.2</b>	<b>-46.5</b>	<b>-59.6</b>	<b>-13.1</b>
	TVT05	-24.6	-6.7	17.9	-19.3	-7.7	11.6	-12.9	-8.7	4.3	-12.8	1.9	14.7
	TVT06	31.4	3.8	-27.6	24.8	1.9	-22.9	16.8	-1.9	-18.7	16.6	11.5	-5.0
	TVT07	-72.1	-112.5	-40.4	-56.2	-61.5	-5.4	-37.6	-46.2	-8.6	-38.2	-26.0	12.2
	TVT08	204.7	275.0	70.3	160.3	207.7	47.4	108.4	134.6	26.2	109.5	152.9	43.4
Pylon	TP01	0.0	-6.7	-6.8	0.8	-5.8	-6.5	-3.2	-7.7	-4.5	3.2	-2.9	-6.1
	TP02	-0.6	-8.7	-8.0	0.7	-2.9	-3.6	-3.1	-2.9	0.2	2.7	1.9	-0.8
	TP03	-169.7	-166.3	3.3	-131.2	-121.2	10.0	-92.8	-88.5	4.3	-86.7	-72.1	14.6
	TP04	169.1	158.7	-10.4	132.7	119.2	-13.4	86.5	81.7	-4.7	92.6	72.1	-20.5

\* rozdíl mezi měřením a analýzou

**Tab. D.10 SZZ – poměrné přetvoření od všech čidel na visuté části**

Stav		V-ZSA			V-ZSB			V-ZSC			V-ZSD		
		Analýza [μm/m]	Měření [μm/m]	Rozdíl* [μm/m]	Analýza [μm/m]	Měření [μm/m]	Rozdíl* [μm/m]	Analýza [μm/m]	Měření [μm/m]	Rozdíl* [μm/m]	Analýza [μm/m]	Měření [μm/m]	Rozdíl* [μm/m]
Deska	<b>TZD01</b>	<b>0.1</b>	<b>-8.5</b>	<b>-8.7</b>	<b>0.2</b>	<b>-6.6</b>	<b>-6.8</b>	<b>0.1</b>	<b>-4.7</b>	<b>-4.8</b>	<b>0.1</b>	<b>-5.7</b>	<b>-5.8</b>
	<b>TZD02</b>	<b>-2.2</b>	<b>-2.8</b>	<b>-0.7</b>	<b>-1.8</b>	<b>-0.9</b>	<b>0.9</b>	<b>-1.2</b>	<b>-0.9</b>	<b>0.3</b>	<b>-1.2</b>	<b>-1.9</b>	<b>-0.7</b>
	TZD03	7.1	-4.7	-11.8	6.2	-0.9	-7.2	3.8	0.0	-3.8	3.9	-0.9	-4.8
	TZD04	-5.8	-3.8	2.0	-5.1	-3.8	1.3	-3.1	-1.9	1.2	-3.2	-2.8	0.3
	TZD05	-110.1	-83.4	26.7	-96.3	-70.1	26.1	-59.0	-43.6	15.4	-59.2	-41.7	17.5
	TZD06	18.8	22.7	3.9	16.5	14.2	-2.3	9.9	9.5	-0.5	10.1	7.6	-2.5
Deska	TVD01	112.3	63.5	-48.8	98.9	75.8	-23.0	2.9	1.9	-1.0	112.3	84.4	-28.0
	TVD02	-45.2	-15.2	30.1	-52.4	-37.0	15.4	-17.2	-16.1	1.0	-32.0	-5.7	26.4
	<b>TVD03</b>	<b>-17.7</b>	<b>0.9</b>	<b>18.7</b>	<b>-76.2</b>	<b>-51.2</b>	<b>25.1</b>	<b>-21.5</b>	<b>-10.4</b>	<b>11.1</b>	<b>-28.1</b>	<b>-15.2</b>	<b>13.0</b>
	<b>TVD04</b>	<b>-31.7</b>	<b>-30.3</b>	<b>1.3</b>	<b>-13.4</b>	<b>-10.4</b>	<b>3.0</b>	<b>-13.8</b>	<b>-8.5</b>	<b>5.2</b>	<b>-7.9</b>	<b>-6.6</b>	<b>1.3</b>
	TVD05	70.7	41.7	-29.0	114.8	69.2	-45.6	29.9	8.5	-21.4	59.5	45.5	-14.0
	TVD06	-44.7	-29.4	15.3	-50.4	-32.2	18.2	-25.4	-8.5	16.8	-25.7	-30.3	-4.7
	TVD07	121.4	102.4	-19.0	48.5	47.4	-1.1	128.2	103.3	-24.9	-10.9	-13.3	-2.3
	TVD08	-45.8	-42.7	3.1	-32.1	-26.5	5.5	-34.9	-19.9	15.0	-11.7	2.8	14.6
Trubka	TZT01	-83.2	-41.3	41.9	-72.9	-32.7	40.2	-44.4	-8.7	35.7	-44.5	-16.3	28.1
	TZT02	280.3	199.0	-81.3	245.4	176.9	-68.5	150.8	106.7	-44.1	150.4	112.5	-37.9
	<b>TZT03</b>	<b>-19.9</b>	<b>-22.1</b>	<b>-2.2</b>	<b>-17.5</b>	<b>-22.1</b>	<b>-4.6</b>	<b>-10.6</b>	<b>-13.5</b>	<b>-2.8</b>	<b>-10.8</b>	<b>-17.3</b>	<b>-6.5</b>
	<b>TZT04</b>	<b>-22.4</b>	<b>-30.8</b>	<b>-8.4</b>	<b>-19.5</b>	<b>-26.0</b>	<b>-6.5</b>	<b>-12.4</b>	<b>-15.4</b>	<b>-3.0</b>	<b>-12.2</b>	<b>-19.2</b>	<b>-7.1</b>
	TZT05	20.2	3.8	-16.3	17.7	8.7	-9.0	10.9	3.8	-7.1	11.0	8.7	-2.3
	TZT06	-17.8	1.0	18.8	-15.6	-7.7	7.9	-9.7	-7.7	2.0	-9.7	-1.9	7.8
	TZT07	-133.7	-79.8	53.9	-116.8	-42.3	74.5	-71.3	-22.1	49.2	-71.8	-7.7	64.1
	TZT08	300.6	225.0	-75.6	262.8	187.5	-75.3	161.0	112.5	-48.5	161.8	122.1	-39.7
Trubka	TVT01	117.5	119.2	1.7	7.2	22.1	14.9	-2.7	-30.8	-28.1	109.8	152.9	43.1
	TVT02	-399.8	-447.1	-47.3	-167.3	-224.0	-56.8	21.7	-1.9	-23.7	-416.4	-469.2	-52.8
	<b>TVT03</b>	<b>-23.3</b>	<b>-4.8</b>	<b>18.5</b>	<b>-99.1</b>	<b>-65.4</b>	<b>33.8</b>	<b>-30.0</b>	<b>-10.6</b>	<b>19.4</b>	<b>-28.3</b>	<b>-35.6</b>	<b>-7.3</b>
	<b>TVT04</b>	<b>-80.9</b>	<b>-113.5</b>	<b>-32.6</b>	<b>61.5</b>	<b>21.2</b>	<b>-40.4</b>	<b>-12.8</b>	<b>-43.3</b>	<b>-30.4</b>	<b>-18.5</b>	<b>-24.0</b>	<b>-5.5</b>
	TVT05	78.3	-1.0	-79.3	139.0	75.0	-64.0	57.7	7.7	-50.0	39.9	26.0	-13.9
	TVT06	-268.9	-197.1	71.7	-347.0	-249.0	98.0	-123.4	-72.1	51.3	-197.0	-181.7	15.3
	TVT07	117.3	145.2	27.9	33.6	39.4	5.8	109.1	133.7	24.6	1.4	-47.1	-48.5
	TVT08	-395.7	-435.6	-39.8	-179.9	-231.7	-51.8	-409.0	-410.6	-1.6	16.5	8.7	-7.8
Pylon	TP01	-18.3	-8.7	9.7	-16.1	-9.6	6.4	-13.5	-7.7	5.8	-6.3	-4.8	1.5
	TP02	-27.4	-26.9	0.4	-23.9	-20.2	3.7	-17.8	-15.4	2.5	-11.4	-8.7	2.7
	TP03	155.2	146.2	-9.0	135.7	119.2	-16.4	79.9	74.0	-5.8	86.7	72.1	-14.6
	TP04	-200.9	-179.8	21.1	-175.6	-150.0	25.6	-111.2	-100.0	11.2	-104.4	-88.5	16.0

\* rozdíl mezi měřením a analýzou

Tab. D.11 SZZ – poměrné přetvoření v desce v polovině rozpětí pro  $TUP \propto MN/m$ 

Poměrné přetvoření betonové desky v polovině zavěšené části						
Čidlo Poloha	Analýza		Měření		Měření - Analýza	
	TZD01	TZD02	TZD01	TZD02	TZD01	TZD02
	horní [μm/m]	dolní [μm/m]	horní [μm/m]	dolní [μm/m]	horní [μm/m]	dolní [μm/m]
Z-ZSA	59.3	-32.1	54.0	-35.1	-5.2	-3.0
Z-ZSB	47.7	-27.6	50.2	-32.2	2.5	-4.6
Z-ZSC	23.9	-13.9	32.2	-11.4	8.3	2.5
Z-ZSD	20.7	-12.4	16.1	-12.3	-4.6	0.1
V-ZSA	0.1	-2.2	-8.5	-2.8	-8.7	-0.7
V-ZSB	0.2	-1.8	-6.6	-0.9	-6.8	0.9
V-ZSC	0.1	-1.2	-4.7	-0.9	-4.8	0.3
V-ZSD	0.1	-1.2	-5.7	-1.9	-5.8	-0.7
Poměrné přetvoření betonové desky v polovině visuté části						
Čidlo Poloha	Analýza		Měření		Měření - Analýza	
	TVD03	TVD04	TVD03	TVD04	TVD03	TVD04
	horní [μm/m]	dolní [μm/m]	horní [μm/m]	dolní [μm/m]	horní [μm/m]	dolní [μm/m]
Z-ZSA	31.0	-11.4	23.7	-10.4	-7.3	1.0
Z-ZSB	24.1	-8.9	18.0	-9.5	-6.1	-0.6
Z-ZSC	16.3	-6.1	12.3	-6.6	-4.0	-0.5
Z-ZSD	16.3	-6.0	10.4	-8.5	-5.9	-2.5
V-ZSA	-17.7	-31.7	0.9	-30.3	18.7	1.3
V-ZSB	-76.2	-13.4	-51.2	-10.4	25.1	3.0
V-ZSC	-21.5	-13.8	-10.4	-8.5	11.1	5.2
V-ZSD	-28.1	-7.9	-15.2	-6.6	13.0	1.3

Tab. D.12 SZZ – poměrné přetvoření v trubce v polovině rozpětí pro  $TUP \propto MN/m$ 

Poměrné přetvoření ocelové trubky v polovině zavěšené části						
Čidlo Poloha	Analýza		Měření		Měření - Analýza	
	TZT03	TZT04	TZT03	TZT04	TZT03	TZT04
	horní [μm/m]	dolní [μm/m]	horní [μm/m]	dolní [μm/m]	horní [μm/m]	dolní [μm/m]
Z-ZSA	72.8	-214.9	43.3	-173.1	-29.6	41.8
Z-ZSB	73.0	-172.2	51.0	-133.7	-22.0	38.6
Z-ZSC	24.4	-100.9	3.8	-76.9	-20.5	24.0
Z-ZSD	39.6	-104.5	27.9	-80.8	-11.8	23.8
V-ZSA	-19.9	-22.4	-22.1	-30.8	-2.2	-8.4
V-ZSB	-17.5	-19.5	-22.1	-26.0	-4.6	-6.5
V-ZSC	-10.6	-12.4	-13.5	-15.4	-2.8	-3.0
V-ZSD	-10.8	-12.2	-17.3	-19.2	-6.5	-7.1
Poměrné přetvoření ocelové trubky v polovině visuté části						
Čidlo Poloha	Analýza		Měření		Měření - Analýza	
	TVT03	TVT04	TVT03	TVT04	TVT03	TVT04
	horní [μm/m]	dolní [μm/m]	horní [μm/m]	dolní [μm/m]	horní [μm/m]	dolní [μm/m]
Z-ZSA	30.6	-88.3	16.3	-103.8	-14.2	-15.5
Z-ZSB	23.6	-68.5	10.6	-80.8	-13.0	-12.3
Z-ZSC	16.2	-46.7	7.7	-51.0	-8.5	-4.2
Z-ZSD	16.0	-46.5	1.0	-59.6	-15.0	-13.1
V-ZSA	-23.3	-80.9	-4.8	-113.5	18.5	-32.6
V-ZSB	-99.1	61.5	-65.4	21.2	33.8	-40.4
V-ZSC	-30.0	-12.8	-10.6	-43.3	19.4	-30.4
V-ZSD	-28.3	-18.5	-35.6	-24.0	-7.3	-5.5

**Tab. D.13** *SZZ – poměrné přetvoření v desce v polovině rozpětí pro TUP 100,0 MN/m*

<b>Poměrné přetvoření betonové desky v polovině zavěšené části</b>						
Čidlo Poloha	Analýza		Měření		Měření - Analýza	
	TZD01	TZD02	TZD01	TZD02	TZD01	TZD02
	horní [μm/m]	dolní [μm/m]	horní [μm/m]	dolní [μm/m]	horní [μm/m]	dolní [μm/m]
Z-ZSA	59.3	-32.0	54.0	-35.1	-5.2	-3.0
Z-ZSB	47.7	-27.6	50.2	-32.2	2.6	-4.7
Z-ZSC	23.9	-13.8	32.2	-11.4	8.3	2.5
Z-ZSD	20.7	-12.4	16.1	-12.3	-4.6	0.1
V-ZSA	0.1	-2.2	-8.5	-2.8	-8.7	-0.7
V-ZSB	0.2	-1.9	-6.6	-0.9	-6.8	0.9
V-ZSC	0.1	-1.2	-4.7	-0.9	-4.8	0.3
V-ZSD	0.1	-1.2	-5.7	-1.9	-5.8	-0.7
<b>Poměrné přetvoření betonové desky v polovině visuté části</b>						
Čidlo Poloha	Analýza		Měření		Měření - Analýza	
	TVD03	TVD04	TVD03	TVD04	TVD03	TVD04
	horní [μm/m]	dolní [μm/m]	horní [μm/m]	dolní [μm/m]	horní [μm/m]	dolní [μm/m]
Z-ZSA	31.3	-11.6	23.7	-10.4	-7.6	1.1
Z-ZSB	24.4	-9.0	18.0	-9.5	-6.4	-0.5
Z-ZSC	16.5	-6.2	12.3	-6.6	-4.2	-0.5
Z-ZSD	16.5	-6.1	10.4	-8.5	-6.1	-2.4
V-ZSA	-18.1	-31.5	0.9	-30.3	19.1	1.2
V-ZSB	-76.6	-13.3	-51.2	-10.4	25.4	2.8
V-ZSC	-21.8	-13.7	-10.4	-8.5	11.3	5.1
V-ZSD	-28.3	-7.9	-15.2	-6.6	13.2	1.2

**Tab. D.14** *SZZ – poměrné přetvoření v trubce v polovině rozpětí pro TUP 100,0 MN/m*

<b>Poměrné přetvoření ocelové trubky v polovině zavěšené části</b>						
Čidlo Poloha	Analýza		Měření		Měření - Analýza	
	TZT03	TZT04	TZT03	TZT04	TZT03	TZT04
	horní [μm/m]	dolní [μm/m]	horní [μm/m]	dolní [μm/m]	horní [μm/m]	dolní [μm/m]
Z-ZSA	73.1	-214.6	43.3	-173.1	-29.8	41.6
Z-ZSB	73.2	-172.0	51.0	-133.7	-22.2	38.3
Z-ZSC	24.5	-100.8	3.8	-76.9	-20.6	23.8
Z-ZSD	39.8	-104.4	27.9	-80.8	-11.9	23.6
V-ZSA	-20.1	-22.7	-22.1	-30.8	-2.0	-8.1
V-ZSB	-17.7	-19.7	-22.1	-26.0	-4.4	-6.3
V-ZSC	-10.8	-12.5	-13.5	-15.4	-2.7	-2.9
V-ZSD	-10.9	-12.3	-17.3	-19.2	-6.4	-6.9
<b>Poměrné přetvoření ocelové trubky v polovině visuté části</b>						
Čidlo Poloha	Analýza		Měření		Měření - Analýza	
	TVT03	TVT04	TVT03	TVT04	TVT03	TVT04
	horní [μm/m]	dolní [μm/m]	horní [μm/m]	dolní [μm/m]	horní [μm/m]	dolní [μm/m]
Z-ZSA	30.9	-89.3	16.3	-103.8	-14.6	-14.5
Z-ZSB	23.9	-69.3	10.6	-80.8	-13.3	-11.5
Z-ZSC	16.4	-47.3	7.7	-51.0	-8.7	-3.7
Z-ZSD	16.1	-47.0	1.0	-59.6	-15.2	-12.6
V-ZSA	-23.7	-79.8	-4.8	-113.5	18.9	-33.7
V-ZSB	-99.5	62.4	-65.4	21.2	34.1	-41.3
V-ZSC	-30.2	-12.3	-10.6	-43.3	19.6	-31.0
V-ZSD	-28.5	-17.9	-35.6	-24.0	-7.1	-6.1

**Tab. D.15 SZZ – poměrné přetvoření v desce v polovině rozpětí pro TUP 3,3 MN/m**

<b>Poměrné přetvoření betonové desky v polovině zavěšené části</b>						
Čidlo Poloha	Analýza		Měření		Měření - Analýza	
	TZD01	TZD02	TZD01	TZD02	TZD01	TZD02
	horní [μm/m]	dolní [μm/m]	horní [μm/m]	dolní [μm/m]	horní [μm/m]	dolní [μm/m]
Z-ZSA	59.0	-31.4	54.0	-35.1	-5.0	-3.6
Z-ZSB	47.5	-27.1	50.2	-32.2	2.7	-5.1
Z-ZSC	23.8	-13.5	32.2	-11.4	8.4	2.2
Z-ZSD	20.6	-12.1	16.1	-12.3	-4.5	-0.2
V-ZSA	0.1	-2.7	-8.5	-2.8	-8.7	-0.2
V-ZSB	0.1	-2.3	-6.6	-0.9	-6.8	1.4
V-ZSC	0.1	-1.5	-4.7	-0.9	-4.8	0.6
V-ZSD	0.1	-1.5	-5.7	-1.9	-5.8	-0.4
<b>Poměrné přetvoření betonové desky v polovině visuté části</b>						
Čidlo Poloha	Analýza		Měření		Měření - Analýza	
	TVD03	TVD04	TVD03	TVD04	TVD03	TVD04
	horní [μm/m]	dolní [μm/m]	horní [μm/m]	dolní [μm/m]	horní [μm/m]	dolní [μm/m]
Z-ZSA	39.7	-14.6	23.7	-10.4	-16.0	4.1
Z-ZSB	30.9	-11.3	18.0	-9.5	-12.9	1.8
Z-ZSC	20.9	-7.8	12.3	-6.6	-8.6	1.1
Z-ZSD	20.9	-7.7	10.4	-8.5	-10.5	-0.8
V-ZSA	-27.3	-28.2	0.9	-30.3	28.2	-2.2
V-ZSB	-84.2	-10.3	-51.2	-10.4	33.1	-0.1
V-ZSC	-26.5	-11.9	-10.4	-8.5	16.1	3.4
V-ZSD	-33.1	-6.1	-15.2	-6.6	17.9	-0.5

**Tab. D.16 SZZ – poměrné přetvoření v trubce v polovině rozpětí pro TUP 3,3 MN/m**

<b>Poměrné přetvoření ocelové trubky v polovině zavěšené části</b>						
Čidlo Poloha	Analýza		Měření		Měření - Analýza	
	TZT03	TZT04	TZT03	TZT04	TZT03	TZT04
	horní [μm/m]	dolní [μm/m]	horní [μm/m]	dolní [μm/m]	horní [μm/m]	dolní [μm/m]
Z-ZSA	78.2	-208.2	43.3	-173.1	-35.0	35.2
Z-ZSB	77.2	-167.0	51.0	-133.7	-26.2	33.4
Z-ZSC	27.2	-97.5	3.8	-76.9	-23.4	20.6
Z-ZSD	42.5	-101.2	27.9	-80.8	-14.6	20.4
V-ZSA	-25.4	-28.2	-22.1	-30.8	3.3	-2.6
V-ZSB	-22.4	-24.6	-22.1	-26.0	0.3	-1.4
V-ZSC	-13.6	-15.6	-13.5	-15.4	0.2	0.2
V-ZSD	-13.8	-15.4	-17.3	-19.2	-3.5	-3.8
<b>Poměrné přetvoření ocelové trubky v polovině visuté části</b>						
Čidlo Poloha	Analýza		Měření		Měření - Analýza	
	TVT03	TVT04	TVT03	TVT04	TVT03	TVT04
	horní [μm/m]	dolní [μm/m]	horní [μm/m]	dolní [μm/m]	horní [μm/m]	dolní [μm/m]
Z-ZSA	39.2	-113.0	16.3	-103.8	-22.8	9.2
Z-ZSB	30.2	-87.7	10.6	-80.8	-19.7	6.9
Z-ZSC	20.7	-59.7	7.7	-51.0	-13.0	8.8
Z-ZSD	20.4	-59.5	1.0	-59.6	-19.5	-0.1
V-ZSA	-33.3	-54.5	-4.8	-113.5	28.5	-58.9
V-ZSB	-107.6	83.9	-65.4	21.2	42.2	-62.8
V-ZSC	-35.0	1.1	-10.6	-43.3	24.5	-44.4
V-ZSD	-33.3	-4.6	-35.6	-24.0	-2.2	-19.4

Tab. D.17 MZZ – svislé průhyby od jednotlivých čidel

Stav	Část Čidla	Z-MZZ bez trhlín			Z-MZZ s trhlínami			V-MZZ bez trhlín			V-MZZ s trhlínami		
		Analýza [mm]	Měření [mm]	Rozdíl* [mm]	Analýza [mm]	Měření [mm]	Rozdíl* [mm]	Analýza [mm]	Měření [mm]	Rozdíl* [mm]	Analýza [mm]	Měření [mm]	Rozdíl* [mm]
zav.	PZ01	-23.4	-42.5	-19.1	-24.8	-42.5	-17.7	22.0	36.2	14.2	21.5	36.2	14.7
	PZ02	-38.4	-61.2	-22.8	-38.8	-61.2	-22.4	22.9	39.4	16.5	24.0	39.4	15.4
	<b>PZ03</b>	<b>-30.4</b>	<b>-57.3</b>	<b>-26.9</b>	<b>-33.6</b>	<b>-57.3</b>	<b>-23.7</b>	<b>29.4</b>	<b>49.0</b>	<b>19.6</b>	<b>27.3</b>	<b>49.0</b>	<b>21.7</b>
	<b>PZ04</b>	<b>-48.9</b>	<b>-82.1</b>	<b>-33.2</b>	<b>-51.6</b>	<b>-82.1</b>	<b>-30.4</b>	<b>31.3</b>	<b>54.3</b>	<b>23.0</b>	<b>30.1</b>	<b>54.3</b>	<b>24.1</b>
	PZ05	-23.4	-43.3	-19.9	-24.7	-43.3	-18.6	22.0	34.5	12.5	21.5	34.5	13.1
	PZ06	-38.4	-62.3	-23.9	-38.8	-62.3	-23.6	22.9	42.9	20.1	24.0	42.9	19.0
vis.	PV01	17.4	35.6	18.2	17.1	35.6	18.5	-33.6	-50.9	-17.3	-35.0	-50.9	-15.9
	PV02	17.5	37.1	19.6	17.5	37.1	19.6	-48.2	-70.6	-22.3	-50.3	-70.6	-20.3
	<b>PV03</b>	<b>32.3</b>	<b>61.5</b>	<b>29.3</b>	<b>29.8</b>	<b>61.5</b>	<b>31.7</b>	<b>-64.5</b>	<b>-78.3</b>	<b>-13.8</b>	<b>-67.6</b>	<b>-78.3</b>	<b>-10.8</b>
	<b>PV04</b>	<b>36.1</b>	<b>67.4</b>	<b>31.3</b>	<b>32.9</b>	<b>67.4</b>	<b>34.5</b>	<b>-89.5</b>	<b>-115.2</b>	<b>-25.8</b>	<b>-93.4</b>	<b>-115.2</b>	<b>-21.8</b>
	PV05	17.4	35.3	17.9	17.1	35.3	18.2	-33.6	-54.2	-20.6	-35.0	-54.2	-19.2
	PV06	17.5	36.8	19.2	17.5	36.8	19.3	-48.2	-77.2	-29.0	-50.2	-77.2	-27.0

\* rozdíl mezi měřením a analýzou

Tab. D.18 MZZ – náklony od jednotlivých čidel

Stav	Část Z čidel	Z-MZZ bez trhlín			Z-MZZ s trhlínami			V-MZZ bez trhlín			V-MZZ s trhlínami		
		Analýza [mm]	Měření [mm]	Rozdíl* [mm]	Analýza [mm]	Měření [mm]	Rozdíl* [mm]	Analýza [mm]	Měření [mm]	Rozdíl* [mm]	Analýza [mm]	Měření [mm]	Rozdíl* [mm]
zav.	PZ01-PZ02	-15.5	-19.4	-3.9	-14.6	-19.4	-4.8	0.9	3.4	2.5	2.6	3.4	0.7
	<b>PZ03-PZ04</b>	<b>-19.2</b>	<b>-25.7</b>	<b>-6.5</b>	<b>-18.7</b>	<b>-25.7</b>	<b>-7.0</b>	<b>1.9</b>	<b>5.5</b>	<b>3.5</b>	<b>2.9</b>	<b>5.5</b>	<b>2.5</b>
	PZ05-PZ06	-15.5	-19.7	-4.2	-14.6	-19.7	-5.1	0.9	8.7	7.8	2.6	8.7	6.1
vis.	PV01-PV02	0.1	1.5	1.4	0.4	1.5	1.1	-15.2	-20.4	-5.2	-15.9	-20.4	-4.5
	<b>PV03-PV04</b>	<b>4.0</b>	<b>6.1</b>	<b>2.1</b>	<b>3.3</b>	<b>6.1</b>	<b>2.9</b>	<b>-25.9</b>	<b>-38.2</b>	<b>-12.3</b>	<b>-26.8</b>	<b>-38.2</b>	<b>-11.4</b>
	PV05-PV06	0.1	1.5	1.4	0.4	1.5	1.1	-15.2	-23.9	-8.7	-15.8	-23.9	-8.1

\* rozdíl mezi měřením a analýzou

**Tab. D.19 MZZ – svislé průhyby v polovině rozpětí pro**  
 $TUP \propto MN/m$ 

<b>Svislý průhyb ocelové trubky v polovině rozpětí</b>					
Část Čídl	Analýza		Měření		Měření - Analýza zavěšená visutá PZ03 PV03 [mm] [mm]
	zavěšená PZ03 [mm]	visutá PV03 [mm]	zavěšená PZ03 [mm]	visutá PV03 [mm]	
Z-MZZ bez trhlin	-30.4	32.3	-57.3	61.5	-29.3
Z-MZZ s trhlínami	-31.7	32.0	-57.3	61.5	-29.5
V-MZZ bez trhlin	29.4	-64.5	49.0	-78.3	13.8
V-MZZ s trhlínami	29.2	-65.3	49.0	-78.3	13.0
<b>Svislý průhyb konzolového okraje ocelového příčníku v polovině rozpětí</b>					
Část Čídl	Analýza		Měření		Měření - Analýza zavěšená visutá PZ04 PV04 [mm] [mm]
	zavěšená PZ04 [mm]	visutá PV04 [mm]	zavěšená PZ04 [mm]	visutá PV04 [mm]	
Z-MZZ bez trhlin	-48.9	36.1	-82.1	67.4	-31.3
Z-MZZ s trhlínami	-50.9	35.7	-82.1	67.4	-31.7
V-MZZ bez trhlin	31.3	-89.5	54.3	-115.2	25.8
V-MZZ s trhlínami	30.9	-90.7	54.3	-115.2	24.5

**Tab. D.20 MZZ – náklony v**  
*polovině rozpětí pro TUP*  
 $\propto MN/m$ 

<b>Náklon mostovky <math>\Delta</math></b>					
Část Z čidel	Analýza		Měření		Měření - Analýza zavěšená visutá PZ03-PZ04 PV03-PV04 [mm] [mm]
	zavěšená PZ03-PZ04 [mm]	visutá PV03-PV04 [mm]	zavěšená PZ03-PZ04 [mm]	visutá PV03-PV04 [mm]	
Z-MZZ bez trhlin	-19.2	4.0	-25.7	6.1	2.1
Z-MZZ s trhlínami	-19.9	3.8	-25.7	6.1	2.3
V-MZZ bez trhlin	1.9	-25.9	5.5	-38.2	-12.3
V-MZZ s trhlínami	1.8	-26.3	5.5	-38.2	-11.9



**Tab. D.21 MZZ – svislé průhyby v polovině rozpětí pro TUP 100,0 MN/m**

<b>Svislý průhyb ocelové trubky v polovině rozpětí</b>					
Část Čidlo	Analýza		Měření		Měření - Analýza
	zavěšená PZ03 [mm]	visutá PV03 [mm]	zavěšená PZ03 [mm]	visutá PV03 [mm]	zavěšená PZ03 [mm]
Z-MZZ bez trhlin	-30.7	32.7	-57.3	61.5	26.6
Z-MZZ s trhlínami	-32.1	32.5	-57.3	61.5	25.2
V-MZZ bez trhlin	29.7	-65.0	49.0	-78.3	13.4
V-MZZ s trhlínami	29.5	-65.8	49.0	-78.3	12.6
<b>Svislý průhyb konzolového okraje příčniku v polovině rozpětí</b>					
Část Čidlo	Analýza		Měření		Měření - Analýza
	zavěšená PZ04 [mm]	visutá PV04 [mm]	zavěšená PZ04 [mm]	visutá PV04 [mm]	zavěšená PZ04 [mm]
Z-MZZ bez trhlin	-49.3	36.7	-82.1	67.4	32.8
Z-MZZ s trhlínami	-51.3	36.2	-82.1	67.4	30.8
V-MZZ bez trhlin	31.7	-90.0	54.3	-115.2	25.2
V-MZZ s trhlínami	31.3	-91.3	54.3	-115.2	24.0

**Tab. D.22 MZZ – náklony v polovině rozpětí pro TUP 100,0 MN/m**

<b>Náklon mostovky <math>\Delta</math></b>					
Část Z čidel	Analýza		Měření		Měření - Analýza
	zavěšená PZ03-PZ04 [mm]	visutá PV03-PV04 [mm]	zavěšená PZ03-PZ04 [mm]	visutá PV03-PV04 [mm]	zavěšená PZ03-PZ04 [mm]
Z-MZZ bez trhlin	-19.3	4.1	-25.7	6.1	-6.4
Z-MZZ s trhlínami	-19.9	3.9	-25.7	6.1	-5.8
V-MZZ bez trhlin	2.0	-26.0	5.5	-38.2	3.5
V-MZZ s trhlínami	1.8	-26.4	5.5	-38.2	3.7

**Tab. D.23** MZZ – svislé průhyby v polovině rozpětí pro TUP 3,3 MN/m

Svislý průhyb ocelové trubky v polovině rozpětí					
Část Čidlo	Analýza		Měření		Měření - Analýza zavěšená PZ03 [mm]
	zavěšená PZ03 [mm]	visutá PV03 [mm]	zavěšená PZ03 [mm]	visutá PV03 [mm]	
Z-MZZ bez trhlin	-38.2	42.4	-57.3	61.5	19.1 -19.1
Z-MZZ s trhlínami	-39.8	42.5	-57.3	61.5	17.4 -19.0
V-MZZ bez trhlin	37.7	-75.7	49.0	-78.3	-11.3 2.6
V-MZZ s trhlínami	37.8	-76.9	49.0	-78.3	-11.2 1.4
Svislý průhyb konzolového okraje ocelového příčníku v polovině rozpětí					
Část Čidlo	Analýza		Měření		Měření - Analýza zavěšená PZ04 [mm]
	zavěšená PZ04 [mm]	visutá PV04 [mm]	zavěšená PZ04 [mm]	visutá PV04 [mm]	
Z-MZZ bez trhlin	-57.8	48.3	-82.1	67.4	24.2 -19.1
Z-MZZ s trhlínami	-60.2	48.1	-82.1	67.4	21.9 -19.3
V-MZZ bez trhlin	40.7	-102.9	54.3	-115.2	-13.5 12.3
V-MZZ s trhlínami	40.8	-104.6	54.3	-115.2	-13.4 10.6

**Tab. D.24** MZZ – náklony v polovině rozpětí pro TUP 3,3 MN/m

Náklon mostovky $\Delta$					
Část Z čidel	Analýza		Měření		Měření - Analýza zavěšená PZ03-PZ04 [mm]
	zavěšená PZ03-PZ04 [mm]	visutá PV03-PV04 [mm]	zavěšená PZ03-PZ04 [mm]	visutá PV03-PV04 [mm]	
Z-MZZ bez trhlin	-20.4	6.0	-25.7	6.1	-5.3 0.1
Z-MZZ s trhlínami	-21.1	5.8	-25.7	6.1	-4.6 0.3
V-MZZ bez trhlin	3.2	-28.2	5.5	-38.2	2.3 -10.1
V-MZZ s trhlínami	3.1	-28.7	5.5	-38.2	2.4 -9.6

**Tab. D.25 MZZ – poměrné přetvoření od vybraných čidel**

Stav		Z-MZZ bez trhlin			Z-MZZ s trhlinami			V-MZZ bez trhlin			V-MZZ s trhlinami		
		Analýza [μm/m]	Měření [μm/m]	Rozdíl* [μm/m]	Analýza [μm/m]	Měření [μm/m]	Rozdíl* [μm/m]	Analýza [μm/m]	Měření [μm/m]	Rozdíl* [μm/m]	Analýza [μm/m]	Měření [μm/m]	Rozdíl* [μm/m]
Deska	<b>TZD01</b>	<b>139.8</b>	<b>160.2</b>	<b>20.4</b>	<b>141.8</b>	<b>160.2</b>	<b>18.4</b>	<b>25.5</b>	<b>-12.3</b>	<b>-37.8</b>	<b>26.7</b>	<b>-12.3</b>	<b>-39.0</b>
	<b>TZD02</b>	<b>-79.8</b>	<b>-102.4</b>	<b>-22.5</b>	<b>-72.3</b>	<b>-102.4</b>	<b>-30.1</b>	<b>-19.3</b>	<b>-16.1</b>	<b>3.2</b>	<b>-5.4</b>	<b>-16.1</b>	<b>-10.7</b>
	TZD03	94.0	92.9	-1.1	119.1	92.9	-26.2	35.2	-3.8	-39.0	60.2	-3.8	-64.0
	TZD04	-75.0	-61.6	13.4	-67.7	-61.6	6.1	-26.5	-25.6	0.9	-10.9	-25.6	-14.7
	TZD05	212.7	162.1	-50.6	299.3	162.1	-137.2	-225.4	-184.8	40.6	227.9	-184.8	-412.8
	TZD06	-103.6	162.1	265.7	48.1	162.1	114.0	29.8	-22.7	-52.6	200.3	-22.7	-223.0
Deska	TVD01	-125.1	-164.0	-38.9	-1.1	-164.0	-162.9	239.3	130.8	-108.5	270.0	130.8	-139.2
	TVD02	10.6	21.8	11.2	104.7	21.8	-82.9	-110.1	35.1	145.2	-45.8	35.1	80.8
	<b>TVD03</b>	<b>72.7</b>	<b>65.4</b>	<b>-7.3</b>	<b>73.4</b>	<b>65.4</b>	<b>-8.0</b>	<b>-50.3</b>	<b>-13.3</b>	<b>37.0</b>	<b>-44.4</b>	<b>-13.3</b>	<b>31.2</b>
	<b>TVD04</b>	<b>-42.1</b>	<b>-43.6</b>	<b>-1.5</b>	<b>-25.5</b>	<b>-43.6</b>	<b>-18.1</b>	<b>-76.8</b>	<b>-70.1</b>	<b>6.7</b>	<b>-69.9</b>	<b>-70.1</b>	<b>-0.2</b>
	TVD05	-23.3	-24.6	-1.3	0.9	-24.6	-25.5	173.8	101.4	-72.4	189.6	101.4	-88.2
	TVD06	-13.1	-39.8	-26.8	-1.2	-39.8	-38.6	-113.2	-88.2	25.1	-108.2	-88.2	20.1
	TVD07	-146.9	-219.9	-73.0	201.6	-219.9	-421.5	250.7	120.4	-130.3	312.2	120.4	-191.9
	TVD08	15.8	24.6	8.9	164.0	24.6	-139.4	-109.0	31.3	140.3	45.9	31.3	-14.6
Trubka	TZT01	180.9	437.5	256.6	-33.8	437.5	471.3	-168.5	5.8	174.2	-613.2	5.8	619.0
	TZT02	-800.0	-1180.8	-380.7	-1007.0	-1180.8	-173.8	534.4	477.9	-56.5	360.0	477.9	117.9
	<b>TZT03</b>	<b>179.2</b>	<b>153.8</b>	<b>-25.3</b>	<b>214.7</b>	<b>153.8</b>	<b>-60.8</b>	<b>-18.1</b>	<b>-145.2</b>	<b>-127.1</b>	<b>19.9</b>	<b>-145.2</b>	<b>-165.1</b>
	<b>TZT04</b>	<b>-511.0</b>	<b>-606.7</b>	<b>-95.7</b>	<b>-467.7</b>	<b>-606.7</b>	<b>-139.0</b>	<b>-147.1</b>	<b>-244.2</b>	<b>-97.1</b>	<b>-85.8</b>	<b>-244.2</b>	<b>-158.4</b>
	TZT05	92.2	103.8	11.6	89.8	103.8	14.0	64.5	30.8	-33.8	29.4	30.8	1.4
	TZT06	-486.6	-595.2	-108.6	-524.6	-595.2	-70.6	-131.7	-85.6	46.2	-171.6	-85.6	86.1
	TZT07	282.0	416.3	134.4	124.6	416.3	291.8	-269.8	10.6	280.4	-635.3	10.6	645.8
	TZT08	-850.0	-1233.7	-383.6	-1036.6	-1233.7	-197.0	573.6	533.7	-40.0	391.6	533.7	142.1
Trubka	TVT01	-139.9	-183.7	-43.7	-493.1	-183.7	309.5	245.2	405.8	160.6	99.9	405.8	305.9
	TVT02	328.9	653.8	324.9	125.3	653.8	528.5	-865.7	-1190.4	-324.7	-1018.9	-1190.4	-171.5
	<b>TVT03</b>	<b>71.5</b>	<b>37.5</b>	<b>-34.0</b>	<b>111.6</b>	<b>37.5</b>	<b>-74.1</b>	<b>-63.3</b>	<b>-22.1</b>	<b>41.2</b>	<b>-39.9</b>	<b>-22.1</b>	<b>17.8</b>
	<b>TVT04</b>	<b>-258.2</b>	<b>-417.3</b>	<b>-159.1</b>	<b>-185.9</b>	<b>-417.3</b>	<b>-231.4</b>	<b>-181.0</b>	<b>-433.7</b>	<b>-252.7</b>	<b>-161.2</b>	<b>-433.7</b>	<b>-272.5</b>
	TVT05	-31.8	-23.1	8.7	-60.9	-23.1	37.9	197.2	87.5	-109.7	187.0	87.5	-99.5
	TVT06	-27.8	-71.2	-43.4	-70.4	-71.2	-0.7	-665.6	-628.8	36.7	-697.8	-628.8	69.0
	TVT07	-126.3	-226.0	-99.6	-566.8	-226.0	340.8	249.6	605.8	356.2	49.8	605.8	556.0
	TVT08	325.2	682.7	357.5	136.9	682.7	545.8	-858.4	-1651.0	-792.5	-1028.6	-1651.0	-622.4
Pylon	TP01	-7.4	-4.8	2.5	-6.7	-4.8	1.9	-44.7	-16.3	28.3	-43.8	-16.3	27.4
	TP02	-13.4	-81.7	-68.4	-12.5	-81.7	-69.2	-68.1	-87.5	-19.4	-67.0	-87.5	-20.5
	TP03	-348.9	-451.9	-103.1	-354.9	-451.9	-97.1	308.9	299.0	-9.9	317.3	299.0	-18.2
	TP04	328.1	391.3	63.2	335.7	391.3	55.7	-421.6	-401.9	19.7	-428.0	-401.9	26.1

\* rozdíl mezi měřením a analýzou

**Tab. D.26** MZZ – poměrné přetvoření v desce v polovině rozpětí pro  $TUP \propto MN/m$ 

<b>Poměrné přetvoření betonové desky v polovině zavěšené části</b>						
Čidlo Poloha	Analýza		Měření		Měření - Analýza	
	TZD01	TZD02	TZD01	TZD02	TZD01	TZD02
	horní [μm/m]	dolní [μm/m]	horní [μm/m]	dolní [μm/m]	horní [μm/m]	dolní [μm/m]
Z-MZZ bez trhlin	139.8	-79.8	160.2	-102.4	20.4	-22.5
Z-MZZ s trhlinami	141.8	-72.3	160.2	-102.4	18.4	-30.1
V-MZZ bez trhlin	25.5	-19.3	-12.3	-16.1	-37.8	3.2
V-MZZ s trhlinami	26.7	-5.4	-12.3	-16.1	-39.0	-10.7
<b>Poměrné přetvoření betonové desky v polovině visuté části</b>						
Čidlo Poloha	Analýza		Měření		Měření - Analýza	
	TVD03	TVD04	TVD03	TVD04	TVD03	TVD04
	horní [μm/m]	dolní [μm/m]	horní [μm/m]	dolní [μm/m]	horní [μm/m]	dolní [μm/m]
Z-MZZ bez trhlin	72.7	-42.1	65.4	-43.6	-7.3	-1.5
Z-MZZ s trhlinami	73.4	-25.5	65.4	-43.6	-8.0	-18.1
V-MZZ bez trhlin	-50.3	-76.8	-13.3	-70.1	37.0	6.7
V-MZZ s trhlinami	-44.4	-69.9	-13.3	-70.1	31.2	-0.2

**Tab. D.27** MZZ – poměrné přetvoření v trubce v polovině rozpětí pro  $TUP \propto MN/m$ 

<b>Poměrné přetvoření ocelové trubky v polovině zavěšené části</b>						
Čidlo Poloha	Analýza		Měření		Měření - Analýza	
	TZT03	TZT04	TZT03	TZT04	TZT03	TZT04
	horní [μm/m]	dolní [μm/m]	horní [μm/m]	dolní [μm/m]	horní [μm/m]	dolní [μm/m]
Z-MZZ bez trhlin	179.2	-511.0	153.8	-606.7	-25.3	-95.7
Z-MZZ s trhlinami	214.7	-467.7	153.8	-606.7	-60.8	-139.0
V-MZZ bez trhlin	-18.1	-147.1	-145.2	-244.2	-127.1	-97.1
V-MZZ s trhlinami	19.9	-85.8	-145.2	-244.2	-165.1	-158.4
<b>Poměrné přetvoření ocelové trubky v polovině visuté části</b>						
Čidlo Poloha	Analýza		Měření		Měření - Analýza	
	TVT03	TVT04	TVT03	TVT04	TVT03	TVT04
	horní [μm/m]	dolní [μm/m]	horní [μm/m]	dolní [μm/m]	horní [μm/m]	dolní [μm/m]
Z-MZZ bez trhlin	71.5	-258.2	37.5	-417.3	-34.0	-159.1
Z-MZZ s trhlinami	111.6	-185.9	37.5	-417.3	-74.1	-231.4
V-MZZ bez trhlin	-63.3	-181.0	-22.1	-433.7	41.2	-252.7
V-MZZ s trhlinami	-39.9	-161.2	-22.1	-433.7	17.8	-272.5

**Tab. D.28** MZZ – poměrné přetvoření v desce v polovině rozpětí pro TUP 100,0 MN/m

<b>Poměrné přetvoření betonové desky v polovině zavěšené části</b>						
Čidlo Poloha	Analýza		Měření		Měření - Analýza	
	TZD01	TZD02	TZD01	TZD02	TZD01	TZD02
	horní [μm/m]	dolní [μm/m]	horní [μm/m]	dolní [μm/m]	horní [μm/m]	dolní [μm/m]
Z-MZZ bez trhlin	139.8	-79.8	160.2	-102.4	20.4	-22.6
Z-MZZ s trhlinami	141.7	-72.3	160.2	-102.4	18.4	-30.1
V-MZZ bez trhlin	25.5	-19.3	-12.3	-16.1	-37.8	3.2
V-MZZ s trhlinami	26.7	-5.5	-12.3	-16.1	-39.0	-10.7
<b>Poměrné přetvoření betonové desky v polovině visuté části</b>						
Čidlo Poloha	Analýza		Měření		Měření - Analýza	
	TVD03	TVD04	TVD03	TVD04	TVD03	TVD04
	horní [μm/m]	dolní [μm/m]	horní [μm/m]	dolní [μm/m]	horní [μm/m]	dolní [μm/m]
Z-MZZ bez trhlin	73.4	-42.4	65.4	-43.6	-8.0	-1.2
Z-MZZ s trhlinami	74.2	-25.7	65.4	-43.6	-8.8	-17.9
V-MZZ bez trhlin	-51.1	-76.5	-13.3	-70.1	37.9	6.4
V-MZZ s trhlinami	-45.3	-69.6	-13.3	-70.1	32.1	-0.5

**Tab. D.29** MZZ – poměrné přetvoření v trubce v polovině rozpětí pro TUP 100,0 MN/m

<b>Poměrné přetvoření ocelové trubky v polovině zavěšené části</b>						
Čidlo Poloha	Analýza		Měření		Měření - Analýza	
	TZT03	TZT04	TZT03	TZT04	TZT03	TZT04
	horní [μm/m]	dolní [μm/m]	horní [μm/m]	dolní [μm/m]	horní [μm/m]	dolní [μm/m]
Z-MZZ bez trhlin	179.6	-510.4	153.8	-606.7	-25.8	-96.3
Z-MZZ s trhlinami	215.0	-467.3	153.8	-606.7	-61.2	-139.5
V-MZZ bez trhlin	-18.6	-147.6	-145.2	-244.2	-126.6	-96.6
V-MZZ s trhlinami	19.5	-86.2	-145.2	-244.2	-164.7	-158.1
<b>Poměrné přetvoření ocelové trubky v polovině visuté části</b>						
Čidlo Poloha	Analýza		Měření		Měření - Analýza	
	TVT03	TVT04	TVT03	TVT04	TVT03	TVT04
	horní [μm/m]	dolní [μm/m]	horní [μm/m]	dolní [μm/m]	horní [μm/m]	dolní [μm/m]
Z-MZZ bez trhlin	72.3	-260.3	37.5	-417.3	-34.8	-157.0
Z-MZZ s trhlinami	112.4	-187.8	37.5	-417.3	-74.9	-229.5
V-MZZ bez trhlin	-64.4	-178.6	-22.1	-433.7	42.2	-255.0
V-MZZ s trhlinami	-41.1	-159.0	-22.1	-433.7	19.0	-274.6



**Tab. D.30** MZZ – poměrné přetvoření v desce v polovině rozpětí pro TUP 3,3 MN/m

<b>Poměrné přetvoření betonové desky v polovině zavěšené části</b>						
Čidlo Poloha	Analýza		Měření		Měření - Analýza	
	TZD01	TZD02	TZD01	TZD02	TZD01	TZD02
	horní [μm/m]	dolní [μm/m]	horní [μm/m]	dolní [μm/m]	horní [μm/m]	dolní [μm/m]
Z-MZZ bez trhlin	139.1	-78.3	160.2	-102.4	21.1	-24.1
Z-MZZ s trhlinami	141.0	-71.9	160.2	-102.4	19.2	-30.5
V-MZZ bez trhlin	25.2	-20.4	-12.3	-16.1	-37.6	4.3
V-MZZ s trhlinami	26.6	-5.7	-12.3	-16.1	-38.9	-10.4
<b>Poměrné přetvoření betonové desky v polovině visuté části</b>						
Čidlo Poloha	Analýza		Měření		Měření - Analýza	
	TVD03	TVD04	TVD03	TVD04	TVD03	TVD04
	horní [μm/m]	dolní [μm/m]	horní [μm/m]	dolní [μm/m]	horní [μm/m]	dolní [μm/m]
Z-MZZ bez trhlin	91.2	-48.5	65.4	-43.6	-25.8	4.9
Z-MZZ s trhlinami	91.3	-30.9	65.4	-43.6	-25.9	-12.7
V-MZZ bez trhlin	-71.7	-69.1	-13.3	-70.1	58.4	-1.1
V-MZZ s trhlinami	-66.8	-63.5	-13.3	-70.1	53.5	-6.6

**Tab. D.31** MZZ – poměrné přetvoření v trubce v polovině rozpětí pro TUP 3,3 MN/m

<b>Poměrné přetvoření ocelové trubky v polovině zavěšené části</b>						
Čidlo Poloha	Analýza		Měření		Měření - Analýza	
	TZT03	TZT04	TZT03	TZT04	TZT03	TZT04
	horní [μm/m]	dolní [μm/m]	horní [μm/m]	dolní [μm/m]	horní [μm/m]	dolní [μm/m]
Z-MZZ bez trhlin	189.7	-496.0	153.8	-606.7	-35.8	-110.7
Z-MZZ s trhlinami	223.6	-456.6	153.8	-606.7	-69.8	-150.1
V-MZZ bez trhlin	-28.8	-158.2	-145.2	-244.2	-116.4	-86.0
V-MZZ s trhlinami	9.7	-94.8	-145.2	-244.2	-154.9	-149.4
<b>Poměrné přetvoření ocelové trubky v polovině visuté části</b>						
Čidlo Poloha	Analýza		Měření		Měření - Analýza	
	TVT03	TVT04	TVT03	TVT04	TVT03	TVT04
	horní [μm/m]	dolní [μm/m]	horní [μm/m]	dolní [μm/m]	horní [μm/m]	dolní [μm/m]
Z-MZZ bez trhlin	90.4	-309.4	37.5	-417.3	-52.9	-108.0
Z-MZZ s trhlinami	132.2	-231.5	37.5	-417.3	-94.7	-185.8
V-MZZ bez trhlin	-88.1	-124.1	-22.1	-433.7	65.9	-309.6
V-MZZ s trhlinami	-69.7	-109.3	-22.1	-433.7	47.5	-324.3

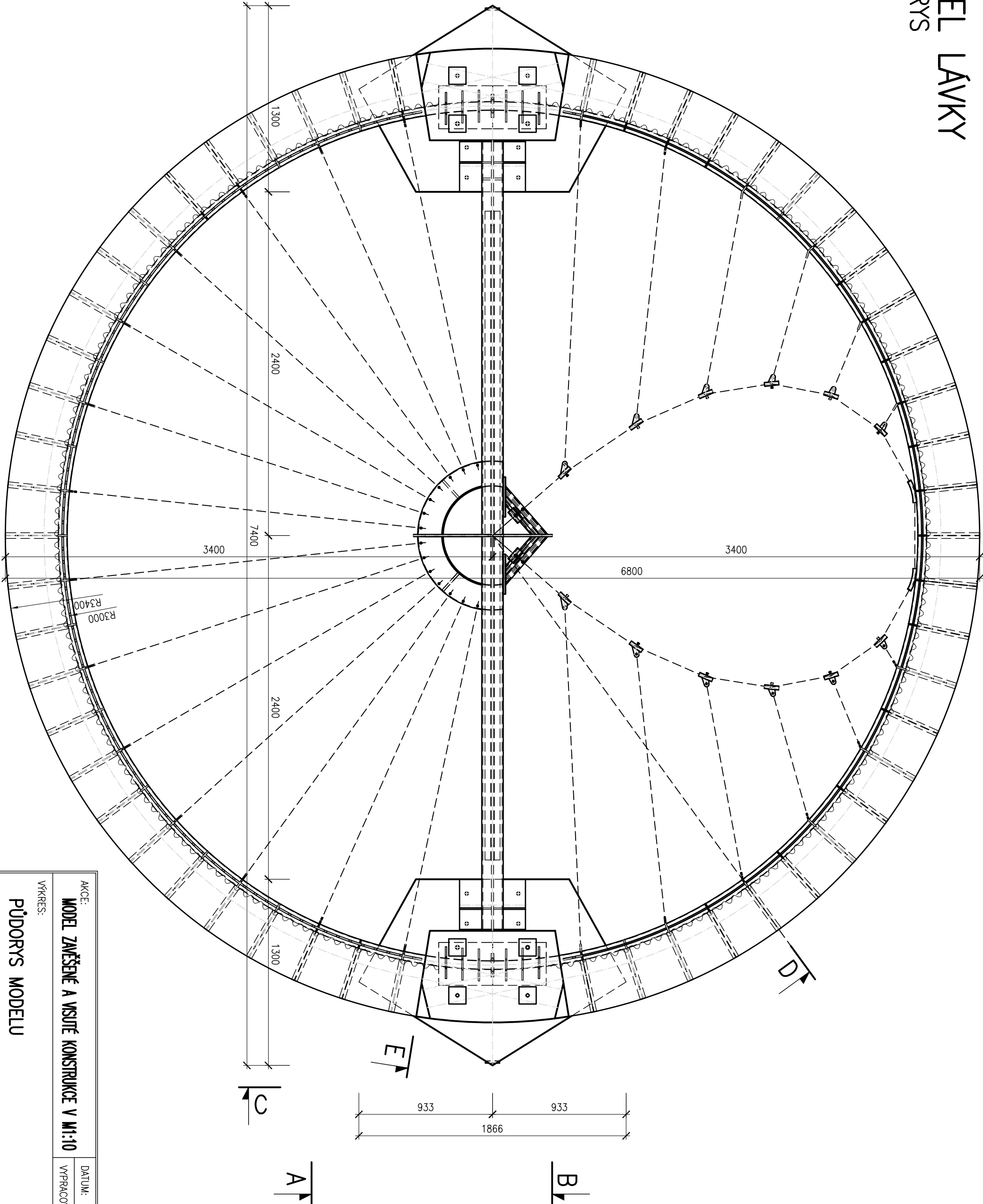
# **Příloha E**

## **Výrobní dokumentace modelu**

## Seznam výkresů

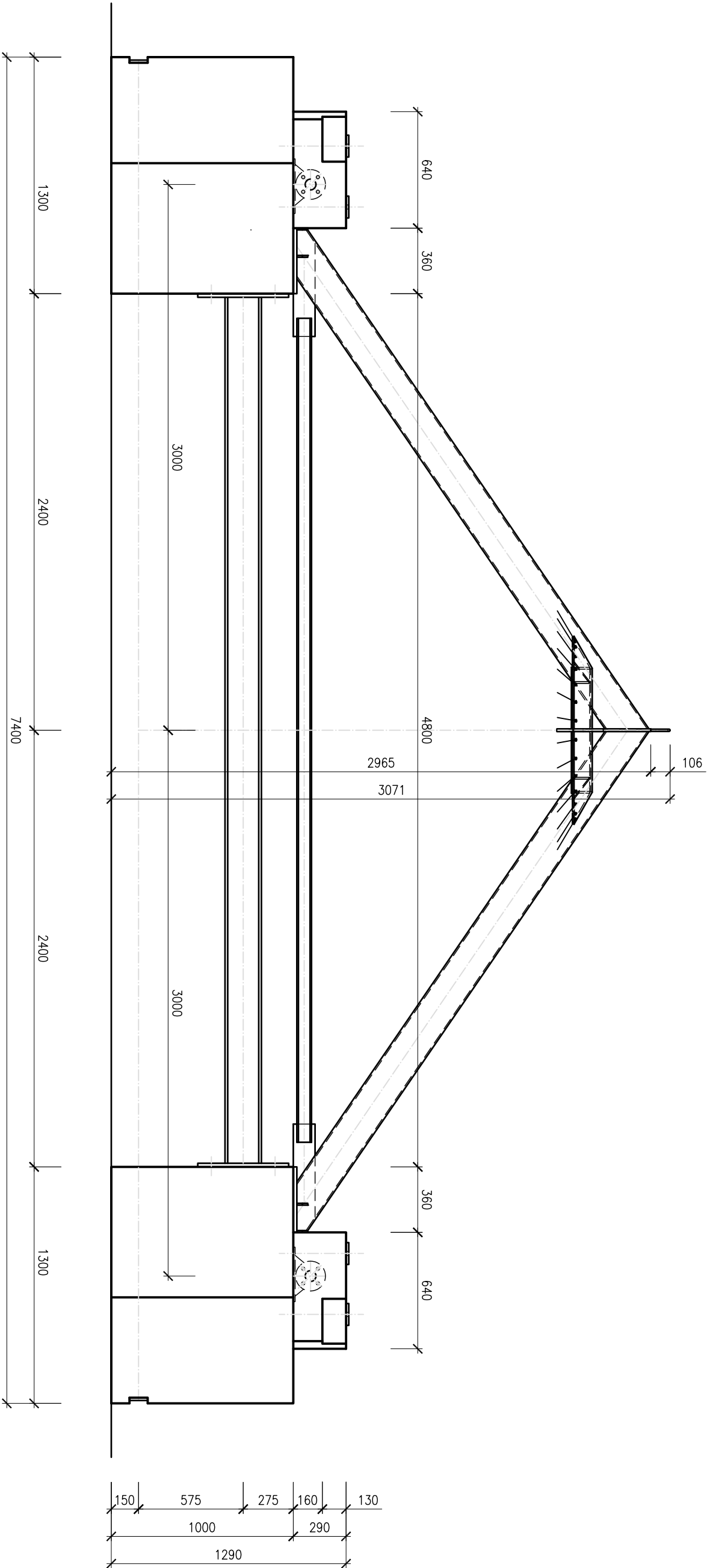
01	<i>PŮDORYS MODELU</i>	<i>1xA3, M1:25</i>
02	<i>POHLED A</i>	<i>1xA3, M1:25</i>
03	<i>POHLED B</i>	<i>1xA3, M1:25</i>
04	<i>POHLED C, ŘEZ D A ŘEZ E</i>	<i>1xA3, M1:25, M1:10</i>
05	<i>SITUACE V HALE</i>	<i>1xA3, M1:50</i>
06	<i>VYTYČOVACÍ VÝKRES</i>	<i>1xA3, M1:50</i>
07	<i>UMÍSTĚNÍ KOTEVNÍCH ŠROUBŮ NA KOTEVNÍCH BLOCÍCH</i>	<i>1xA3, M1:50</i>
08	<i>BEDNĚNÍ MOSTOVKY</i>	<i>1xA3, M1:20</i>
09	<i>PRVKY BEDNĚNÍ MOSTOVKY</i>	<i>1xA3, M1:20, M1:10</i>
10	<i>TVAR A VÝZTUŽ KOTEVNÍHO BLOKU</i>	<i>1xA3, M1:10</i>
11	<i>OSAZENÍ TENZOMETRŮ</i>	<i>1xA3, M1:20</i>
12	<i>OSAZENÍ PRŮHYBOMĚŘŮ, SILOMĚŘŮ A ME SNÍMAČŮ</i>	<i>1xA3, M1:20</i>
13	<i>OSAZENÍ SNÍMAČŮ PRO DYNAMICKOU ZKOUŠKU</i>	<i>1xA3, M1:20</i>
14	<i>TRUBKA PRO VISUTOU ČÁST</i>	<i>1xA3, M1:20</i>
15	<i>TRUBKA PRO ZAVĚŠENOU ČÁST</i>	<i>1xA3, M1:20</i>
16	<i>KONSTRUKCE PYLONU - POHLEDY A PŮDORYS</i>	<i>1xA3, M1:20</i>
17	<i>KONSTRUKCE PYLONU - POHLEDY A ŘEZY</i>	<i>1xA3, M1:20</i>
18	<i>SESTAVY S1 AŽ S8B</i>	<i>1xA3, M1:20, M1:5</i>
19	<i>KOTVENÍ K1 A K2</i>	<i>1xA3, M1:20, M1:5</i>
20	<i>DETAIL V, SESTAVY S9 AŽ S14</i>	<i>1xA3, M1:20, M1:5</i>
21	<i>ROZKRESLENÍ PRVKŮ 1 AŽ 67</i>	<i>18xA4, M1:50, M1:5, M1:20</i>

MODEL LÁVKY  
PŮDORYS  
M1:25



AKCE:		ŘÍJEN 2010	
MODEL ZAVŘŠENÉ A VŠUTÉ KONSTRUKCE V M1:10		ING. KOLAČEK	
VÝKRES:		Č. VÝKRESU:	
PŮDORYS MODELU		01	

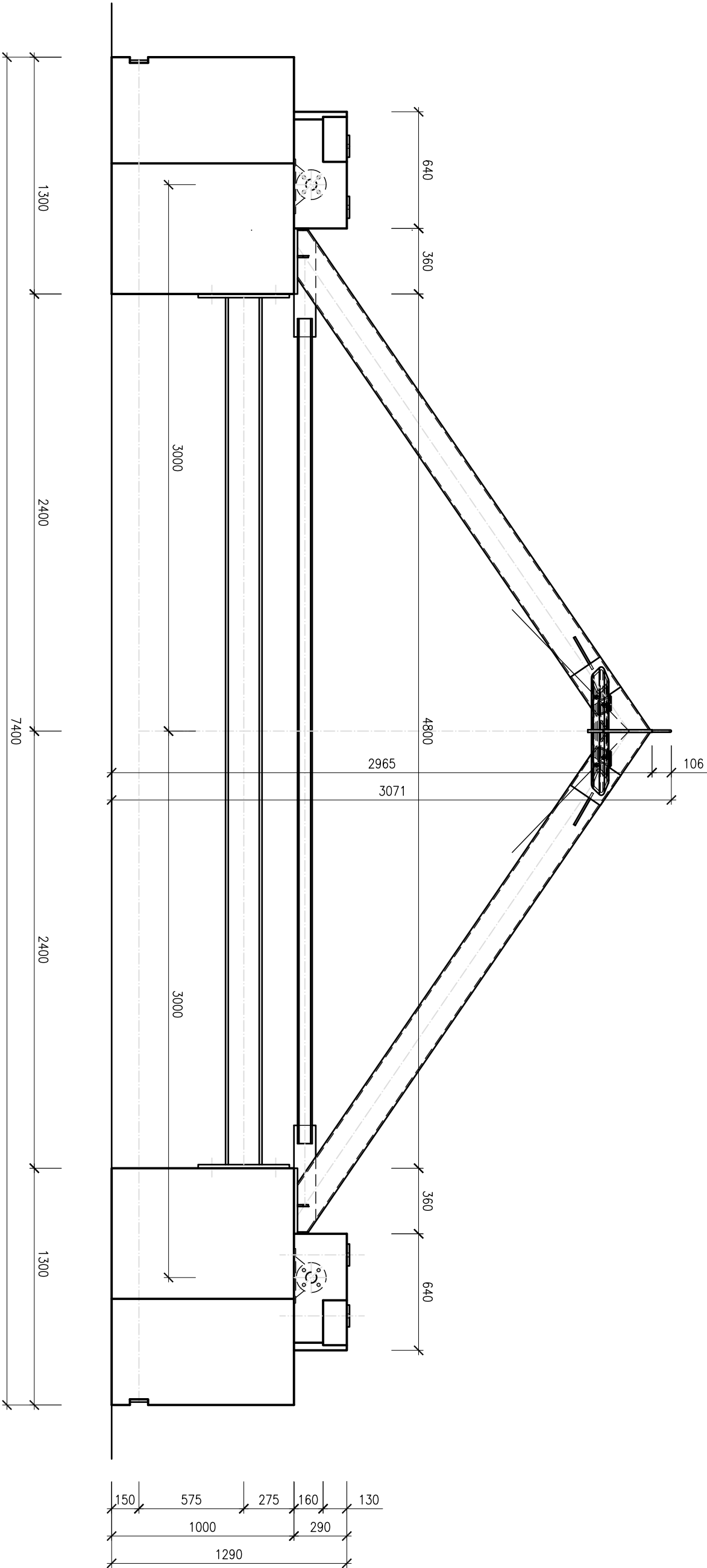
MODEL LÁVKY  
POHLED A  
M1:25



AKCE:		DATUM:	ŘÍJEN 2010
MODEL ZAVĚŠENÉ A VSOITÉ KONSTRUKCE V M1:10		VYPRACOVAL:	ING. KOLAČEK
VÝKRES:		Č. VÝKRESU:	02
POHLED A			



MODEL LÁVKY  
POHLED B  
M1:25

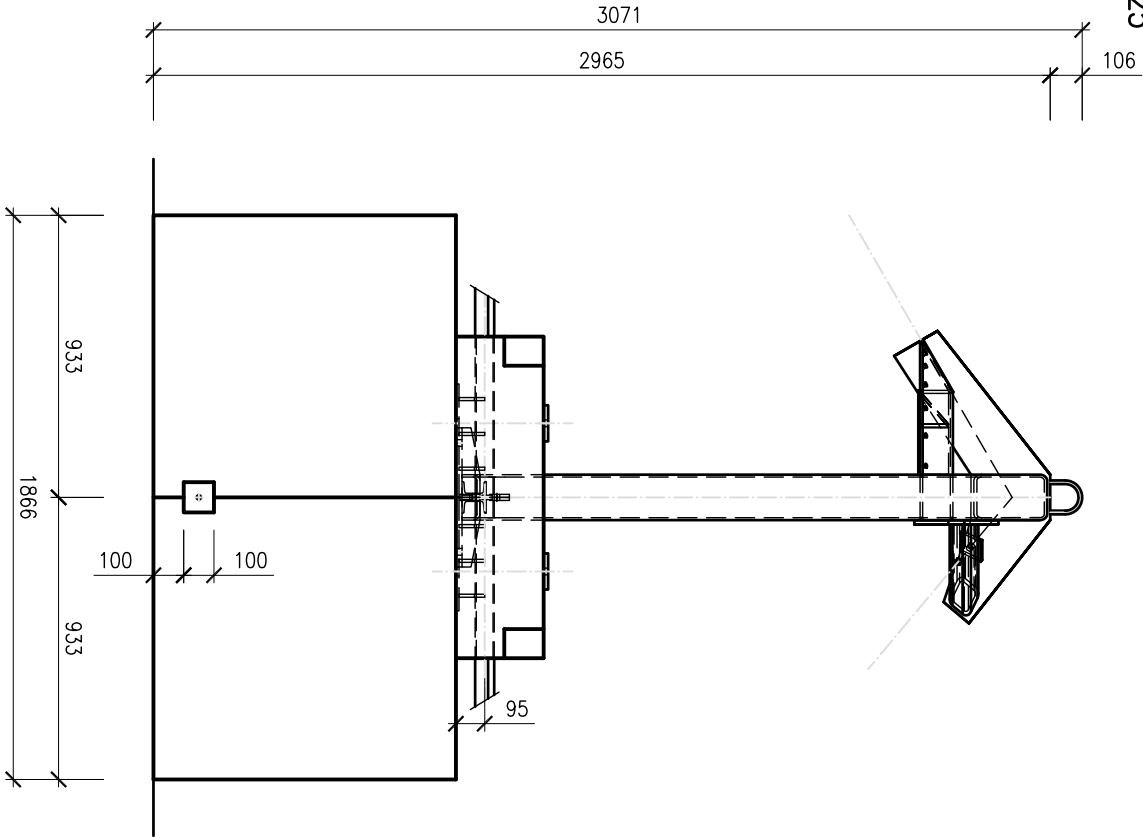


AKCE:		DATUM:	ŘÍJEN 2010
MODEL ZAFIŠENÉ A VSOITÉ KONSTRUKCE V M1:10		VYPRACOVAL:	ING. KOLAČEK
VÝKRES:		Č. VÝKRESU:	03
POHLED B			

# MODEL LÁVKY

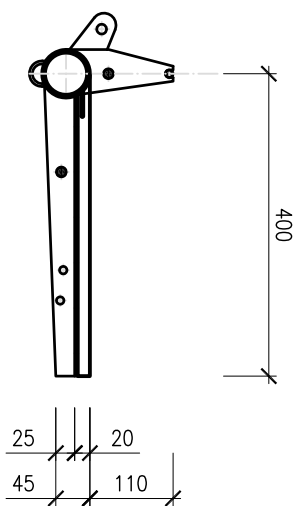
## POHLED C

M1:25



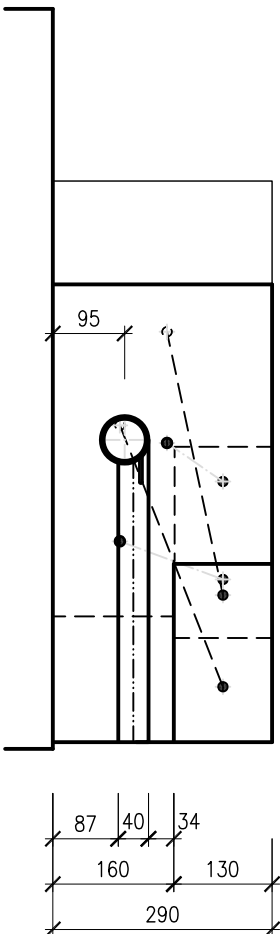
## ŘEZ D

M1:10



## ŘEZ E

M1:10



AKCE:  
**MODEL ZAVĚŠENÉ A VISUTÉ KONSTRUKCE V M1:10**

DATUM:

ŘÍJEN 2010

VYPRACOVAL:

ING. KOLAČEK

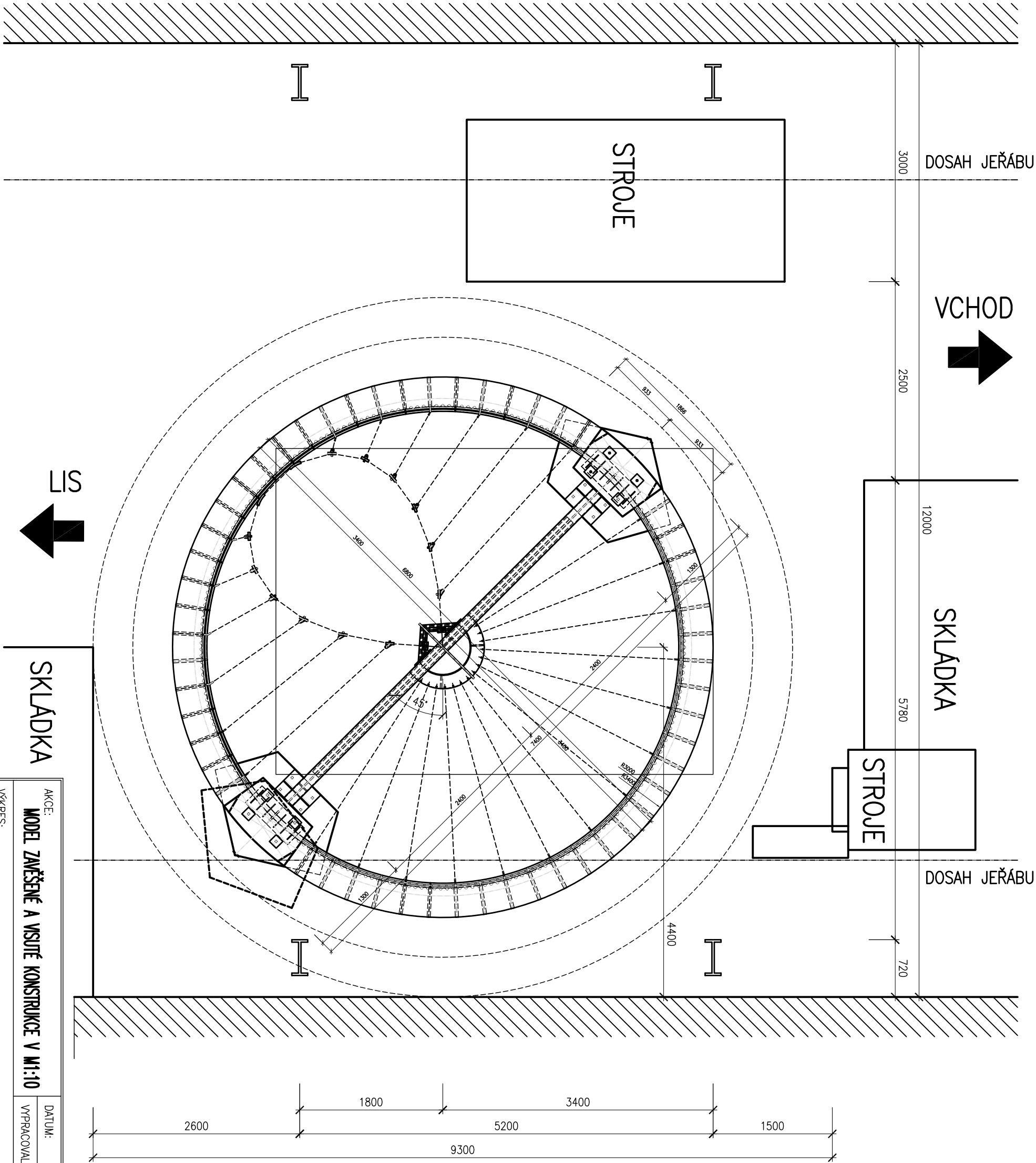
VÝKRES:

POHLED C, ŘEZ D A ŘEZ E

Č. VÝKRESU:

04

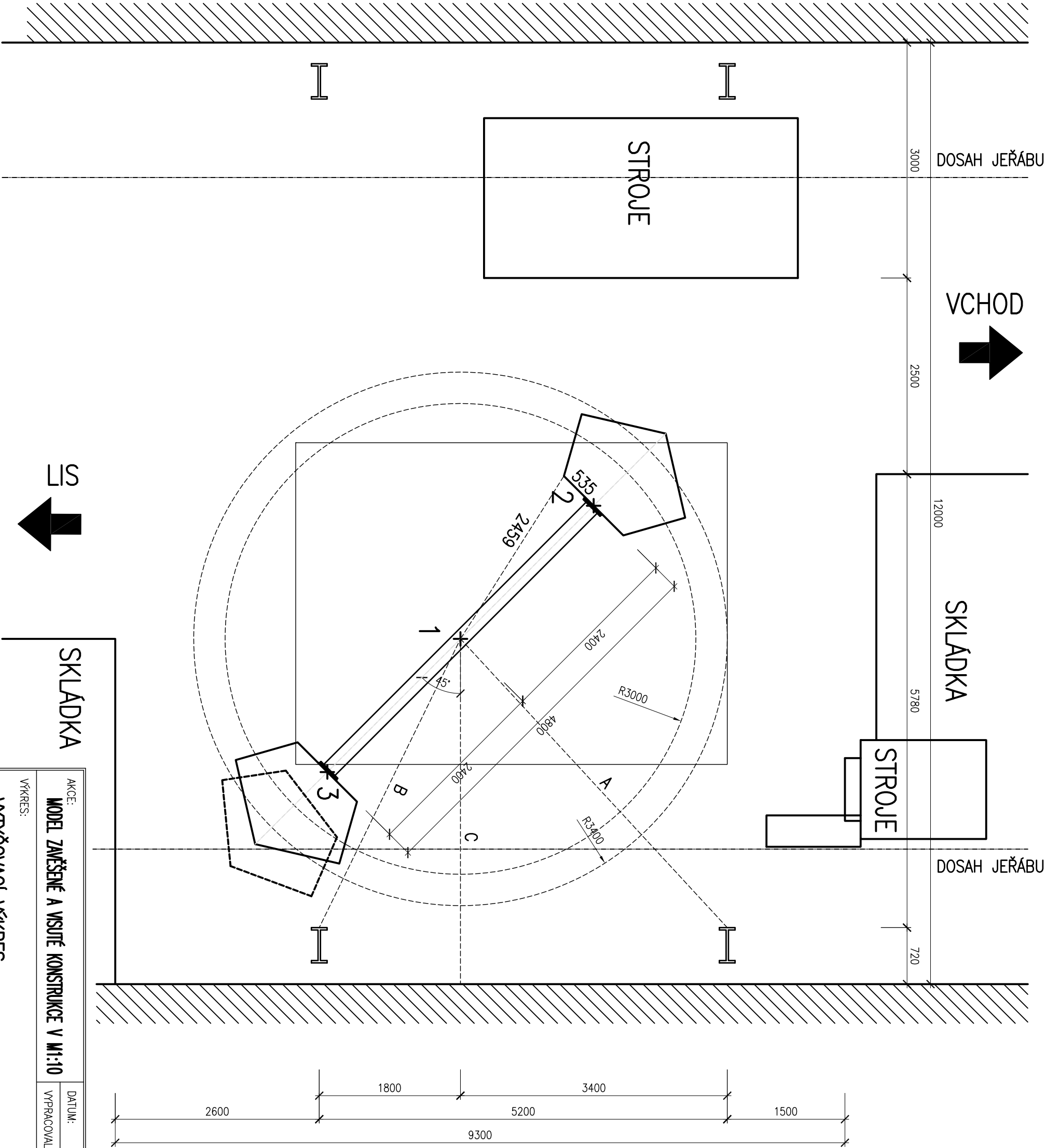
MODEL LÁVKY  
SITUACE  
M1:50



AKCE:		ŘÍJEN 2010	
MODEL ZAFIŠENÉ A VISUTÉ KONSTRUKCE V M1:10		ING. KOLAČEK	
VÝKRES:		Č. VÝKRESU:	
SITUACE V HALE		05	

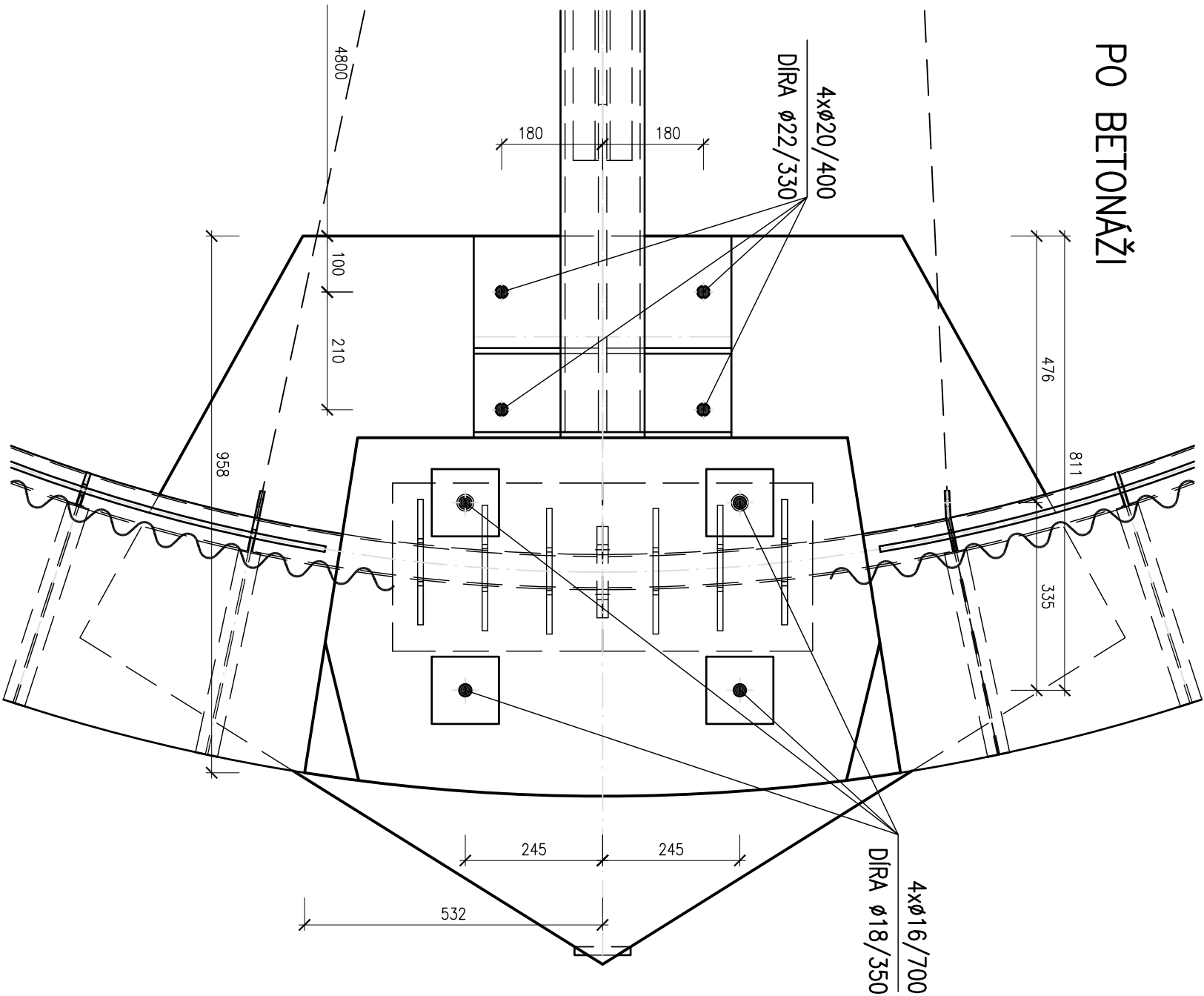
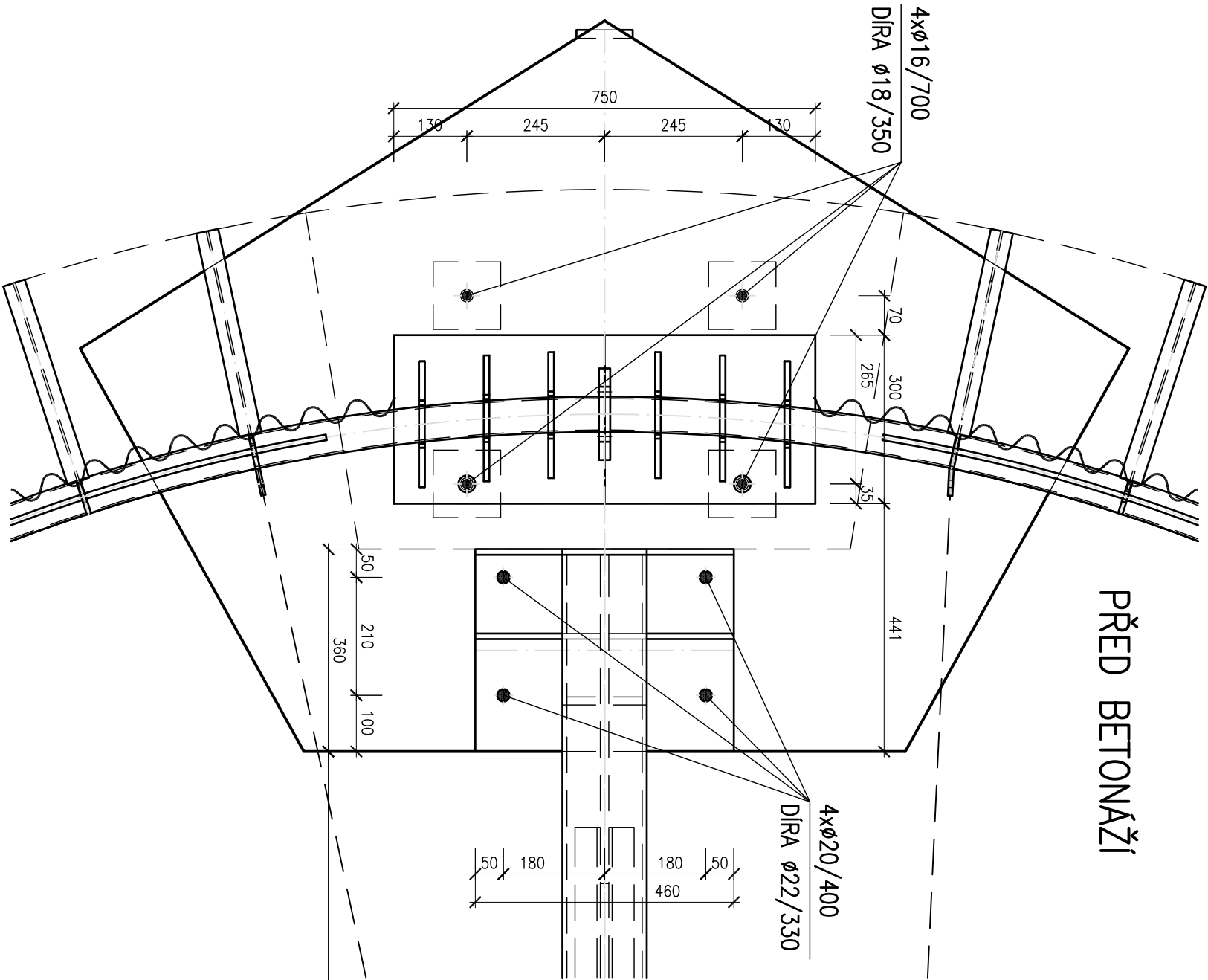
MODEL LÁVKY  
SITUACE  
M1:50

BOD	A	B	C
1	5010	4097	4400
2	5640	6414	6097
3	5469	1986	2703



AKCE:		DATUM:	ŘÍJEN 2010
MODEL ZAPŇENÉ A VISUTÉ KONSTRUKCE V M1:10		VYPRACOVAL:	ING. KOLAČEK
VÝKRES:		Č. VÝKRESU:	
VUTYČOVACÍ VÝKRES		06	

MODEL LÁVKY – UMÍSTĚNÍ KOTEVNÍCH ŠROUBŮ  
PŮDORYS KOTEVNÍCH BLOKŮ  
M1:10

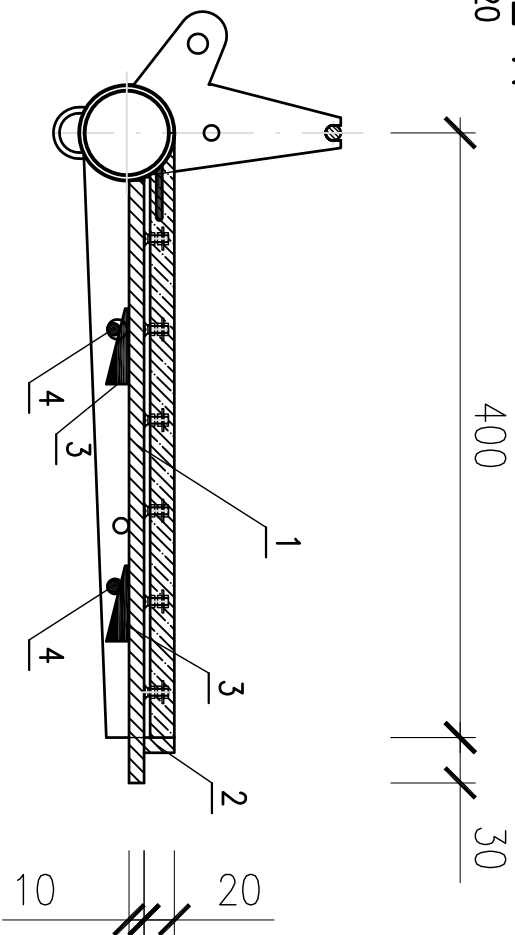


AKCE:		DATUM:	ŘÍJEN 2010
MODEL ZAVĚŠENÉ A VISUTÉ KONSTRUKCE V M1:10		VYPRACOVAL:	ING. KOLAČEK
VÝKRES:		Č. VÝKRESU:	07
UMÍSTĚNÍ KOTEVNÍCH ŠROUBŮ NA KOTEVNÍCH BLOCÍCH			

# DETAIL BEDNĚNÍ

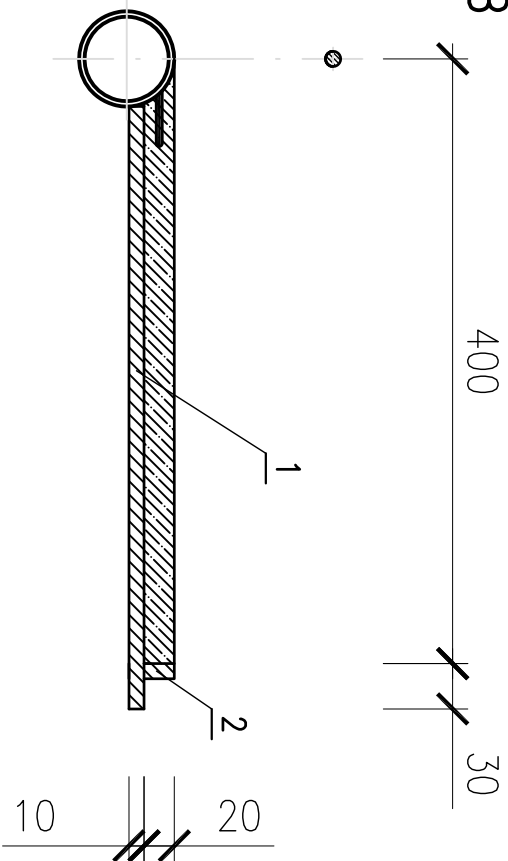
ŘEZ A

M1:20



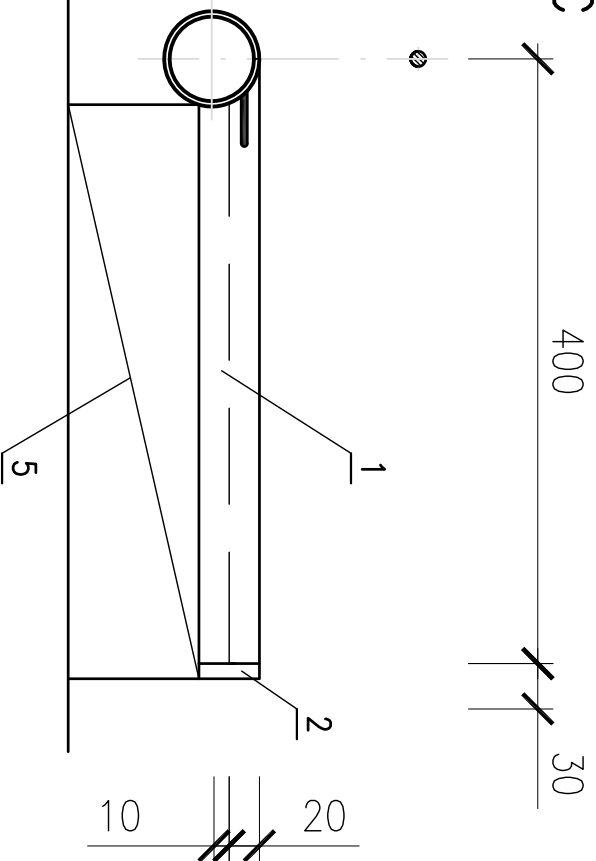
ŘEZ B

M1:20



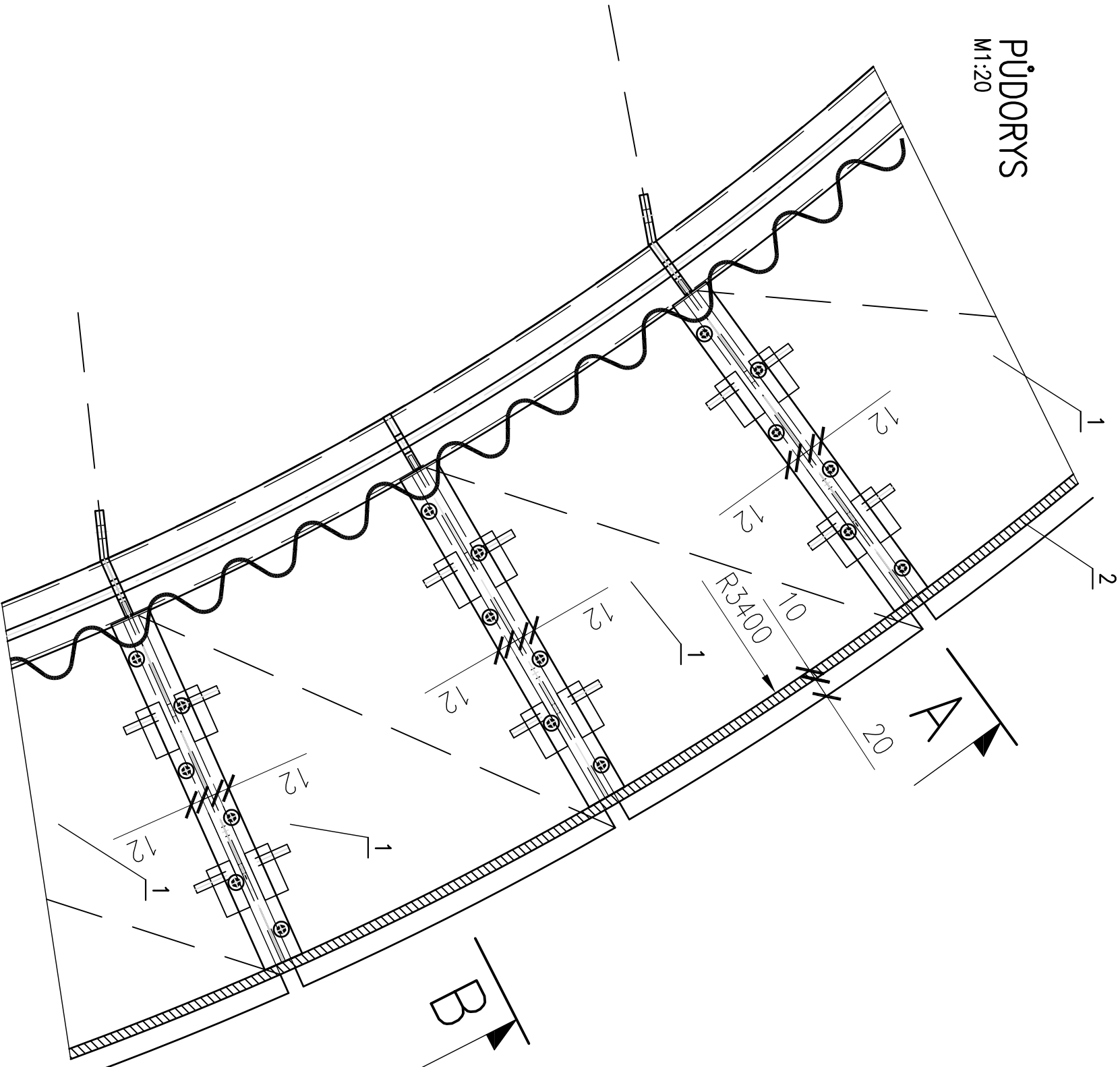
ŘEZ C

M1:20



PŮDORYS

M1:20



AKCE:  
MODEL ZAFIŠENÉ A VISITÉ KONSTRUKCE V M1:10

DATUM:  
VYPRACOVAL:  
ŘÍJEN 2010  
ING. KOLAČEK

VÝKRES:  
BEDNĚNÍ MOSTOVKY

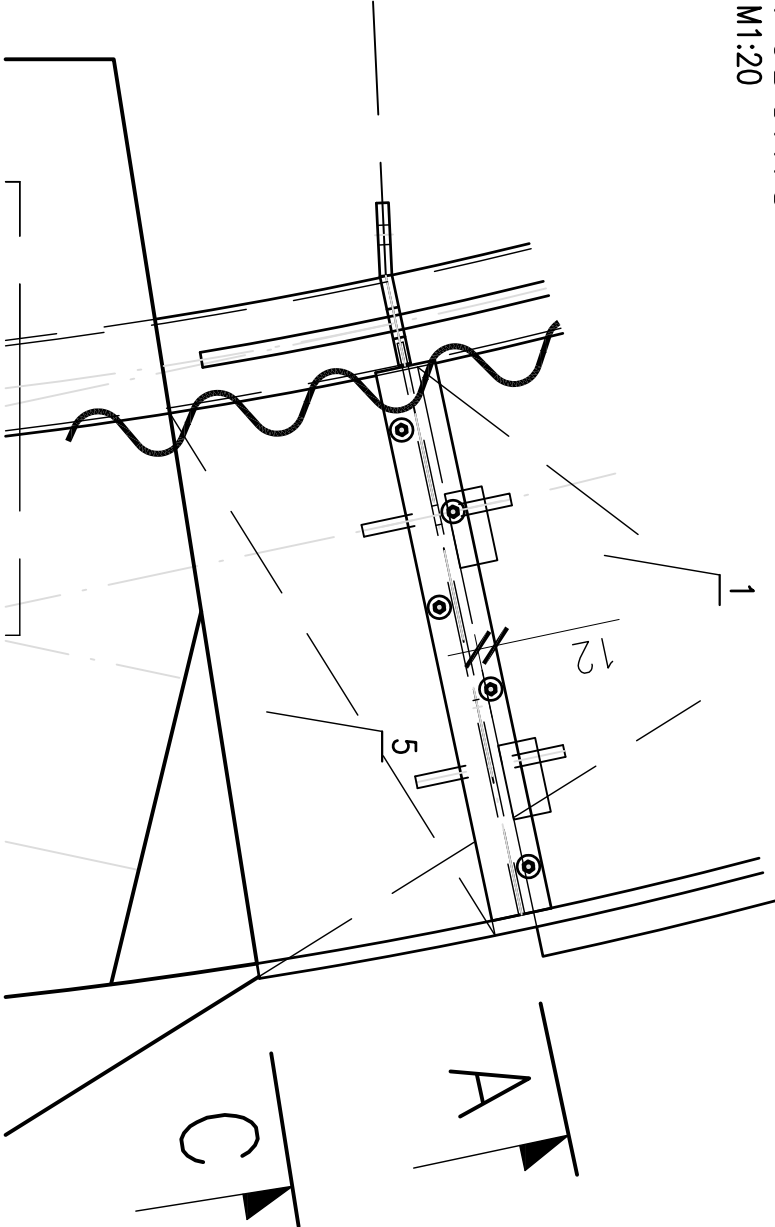
Č. VÝKRESU:  
08



DETAIL NÁPOJENÍ DO OPĚR

PŮDORYS

M1:20

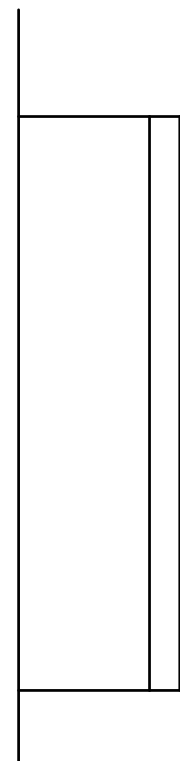


BEDNÍČÍ DÍLEČ 5

POHLED

M1:10

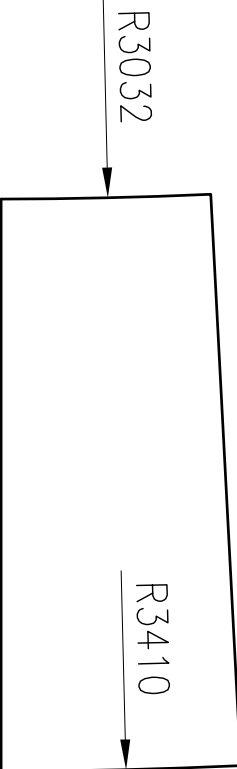
CELKEM 4 ks  
POLYSTYREN TL. 100 mm – 380/160



20  
86  
106

PŮDORYS

M1:10

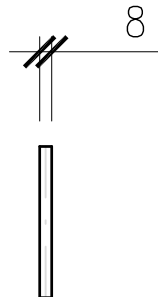


PRVEK 4

POHLED

M1:10

CELKEM 104 ks  
ø12, DL. 100 mm

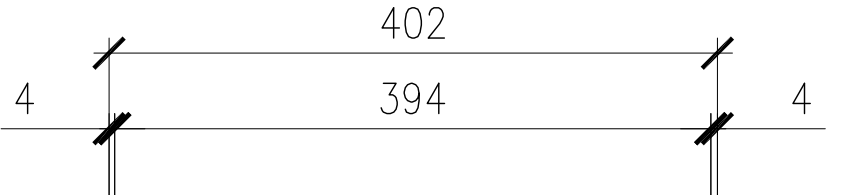


BEDNÍČÍ DÍLEČ 1

POHLED

M1:10

CELKEM 52 ks  
DESKY TL. 10 mm



R3031

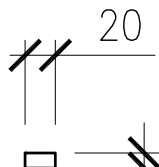
21  
301  
21

BEDNÍČÍ DÍLEČ 2

POHLED

M1:10

CELKEM 20 BM  
DESKY TL. 10 mm



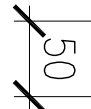
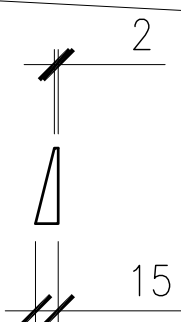
10  
VÝSKY 20 mm

PRVEK 3

POHLED

M1:10

CELKEM 208 ks  
50/25/15



AKCE:	DATUM:	ŘÍJEN 2010
MODEL ZAFIŠENÉ A VSOITÉ KONSTRUKCE V M1:10	VYPRACOVAL:	ING. KOLAČEK

VÝKRES: Č. VÝKRESU:

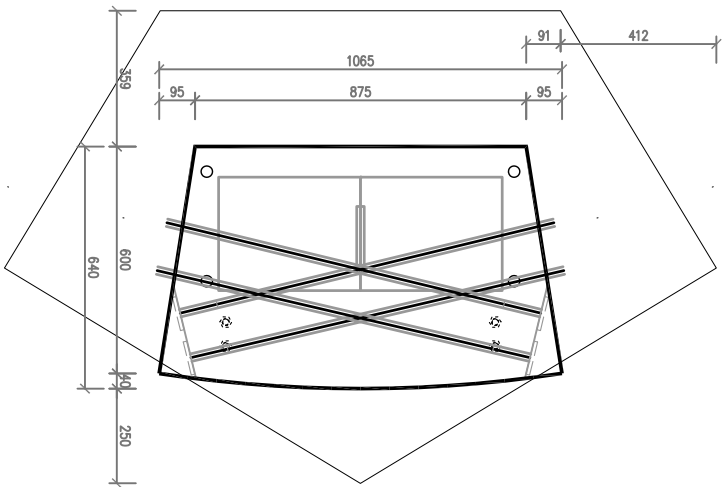
PRVKY BEDNĚNÍ MOSTOVKY

09

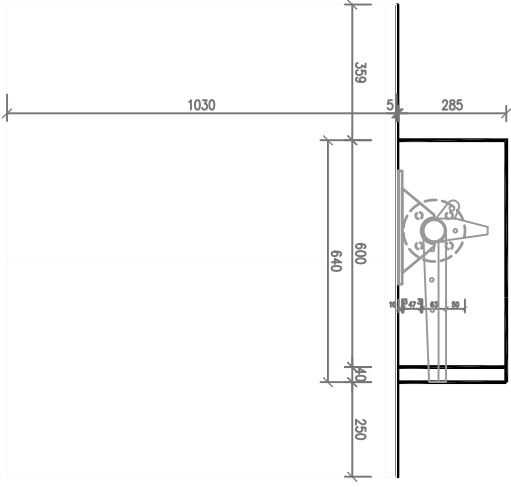
# TVAR KOTEVNÍHO BLOKU

# PUDORYS 1:10

# PODELNÝ ŘEZ B-B 1:10



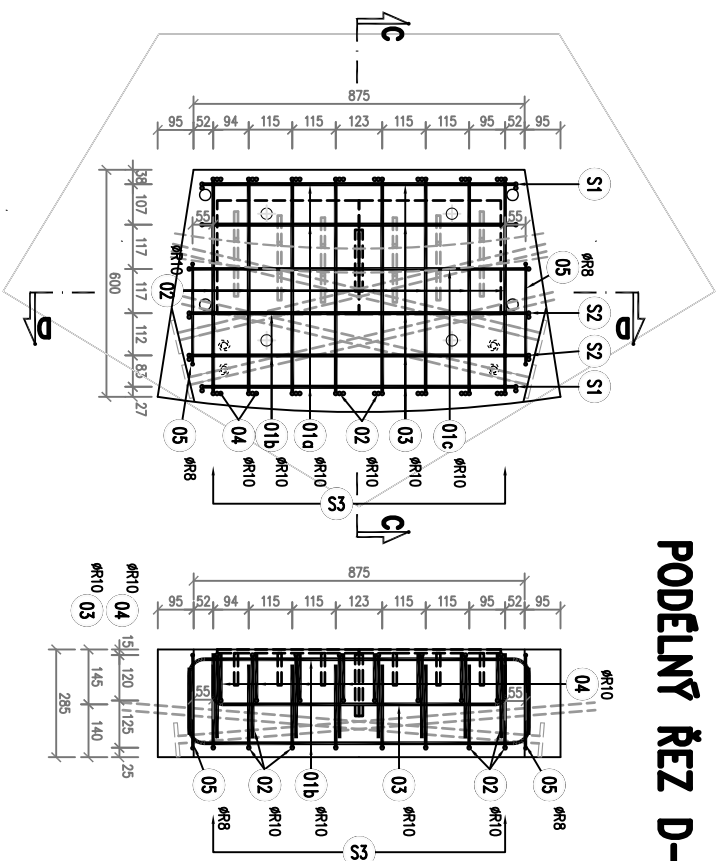
# PŘÍČNÝ ŘEZ A-A 1:10



# VÝZTUŽ KOTEVNÍHO BLOKU

## PŪDORYS 1:10

# PODELNÝ ŘEZ D-D 1:10

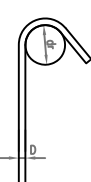


# VÝKAZ VÝZTUŽE

**pro obs operty**

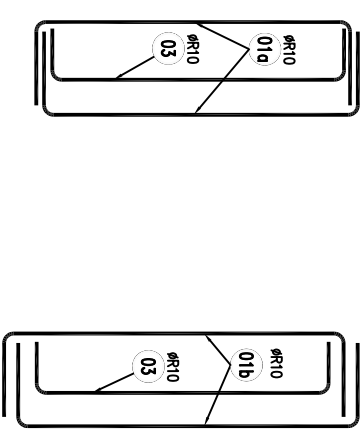
ØZN.	Ø R	DELTA [mm]	KS	DELTA DLE Ø R [m]	
				Ø R8	Ø R10
01a	10	1250	10	12,50	
01b	10	1320	8	10,56	
01c	10	1080	2	2,12	
02	10	980	32	31,36	
03	10	1020	10	10,20	
04	10	790	16	12,64	
05	8	1170	4	4,68	
56	8	440	15	6,60	
07	10	800	24	19,68	
DELTA DLE Ø CELKEM			[m]	11,28	39,06
HOMOŽNOST DLE Ø 1mm			[kg]	0,395	0,617
HOMOŽNOST DLE Ø CELKEM			[kg]	4,5	61,0
HOMOŽNOST CELKEM			[kg]		65,5

### MINIMÁLNÍ PRŮMĚRY ZAKŘIVENÍ : (PRO ŽEBŘIKOVOU VÝZTUŽ)

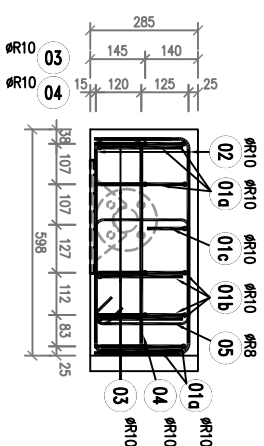


PROJEKOVANÁ VLOŽKA	HAVY A SAMÝKY	OHYBY
$D < 20 \text{ mm}$	$d_r = 4 D$	$d_r = 15 D$
$D \geq 20 \text{ mm}$	$d_r = 7 D$	$d_r = 15 D$

**2xSESTAVA S1 2xSESTAVA S2**



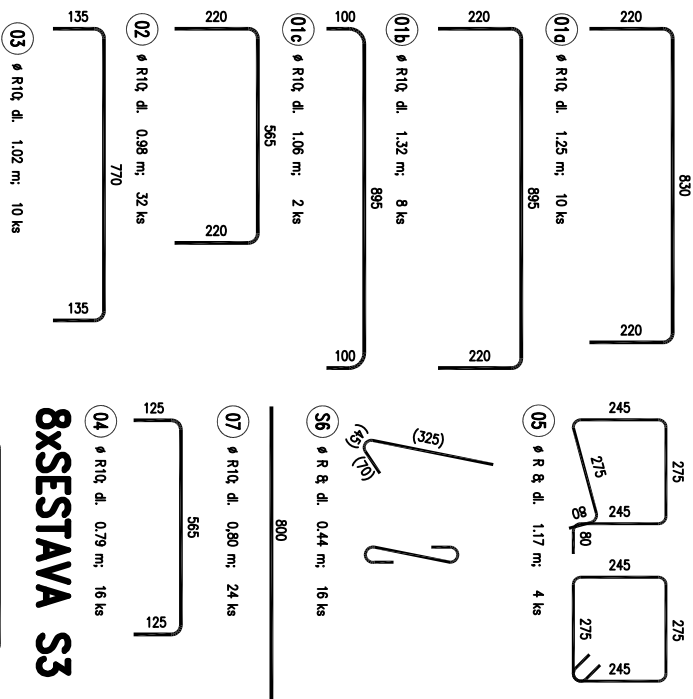
# PŘÍČNÝ ŘEZ C-C 1:10



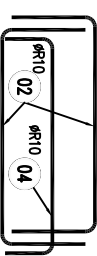
# SOUHRN VÝZTUŽE 1:10

## pro obě opěry

**pro obis opary**



# 8xSESTAVA S3



AKCE:	RÚEN 2010	
	DATUM:	
MODEL ZVĚŠENÉ A VSUTÉ KONSTRUKCE V M:10	VYPRACOVAL:	
	ING. JURK, ING. KOLÁČEK	
VÝKRES:	Č. VÝKRESU:	10

PUDORYS  
M1:25

M1:25

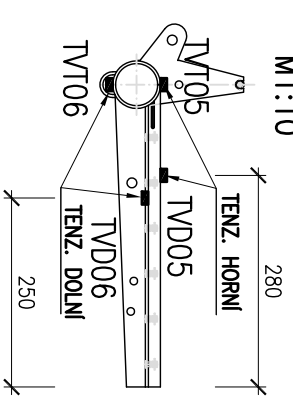


ŘEZ A  
M1:25

M1:25



M1:10

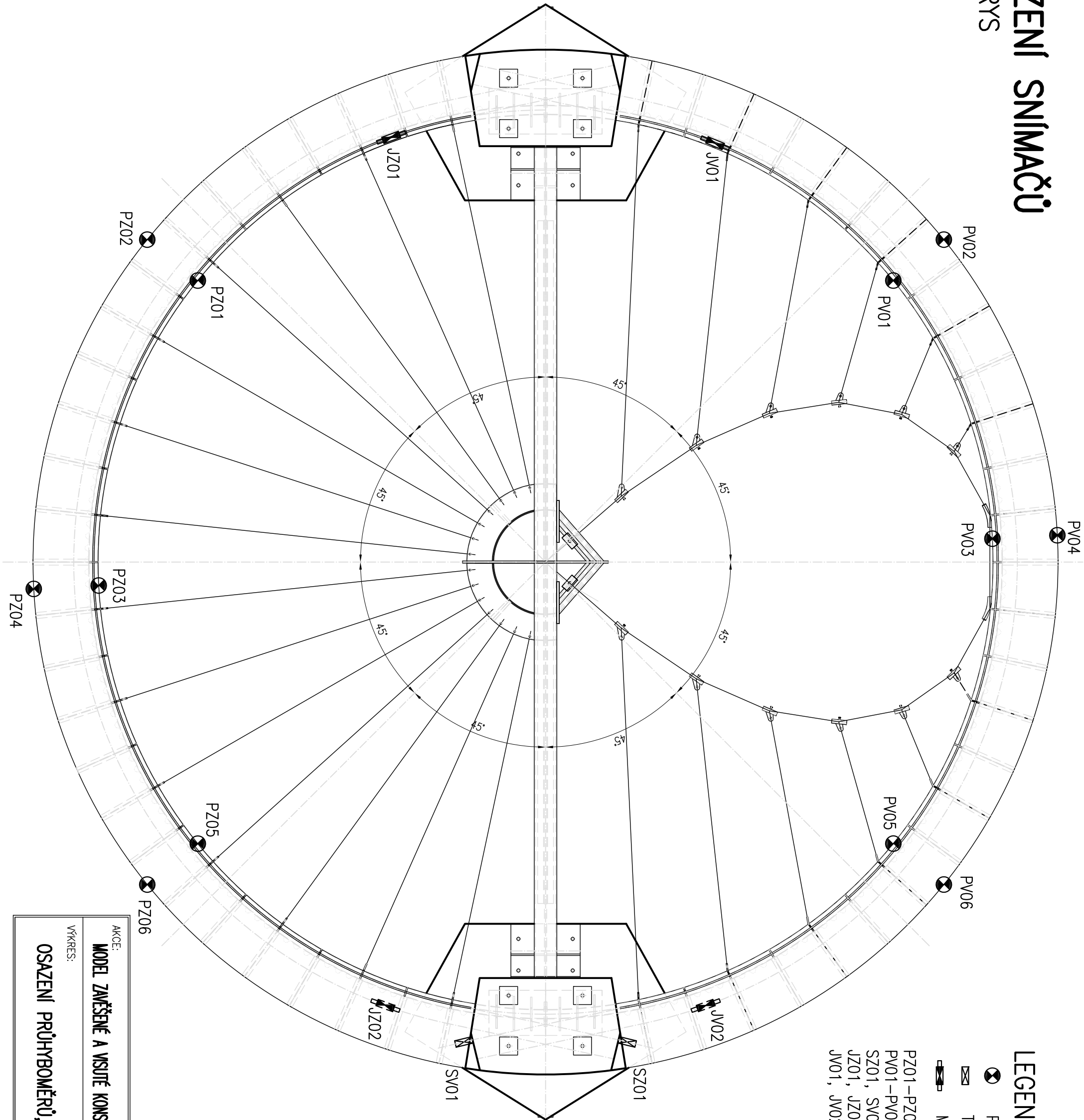


AKCE:	MODEL ZAVĚŠENÉ A VSUTÉ KONSTRUKCE V M1:10	
	DATUM:	ŘÍJEN 2010
VÝKRES:	VYPRACOVAL:	ING. KOLAČEK
	Č. VÝKRESU:	11




# OSAZENÍ SNÍMAČŮ

PŮDORYS

M1:25



## LEGENDA

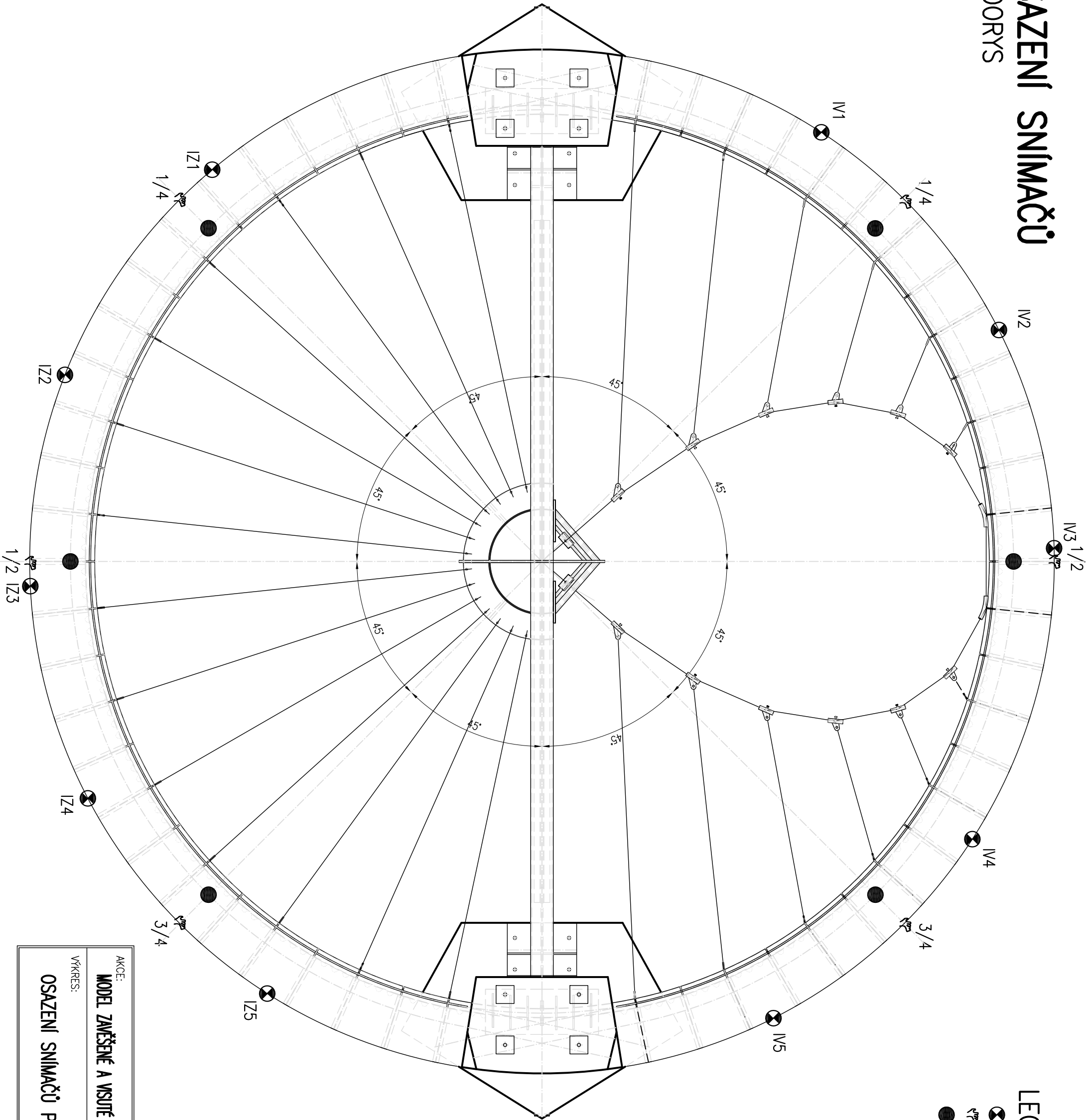
-  PRŮHYBOMĚRY
-  TENZOMETRICKÝ SILOMĚR
-  ME SNÍMAČ SÍLY
- PZ01–PZ06 PRŮHYBOMĚŘ ZAVĚŠENÉ VARIANTY
- PV01–PV06 PRŮHYBOMĚŘ VISUTÉ VARIANTY
- SZ01, SV01 TENZOMETR. SILOMĚŘY LAN V ZÁBRADLÍ
- JZ01, JZ02 ME SNÍMAČ SÍLY ZAVĚŠENÉ VARIANTY
- JV01, JV02 ME SNÍMAČ SÍLY VISUTÉ VARIANTY

AKCE:		DATUM:	ŘÍJEN 2010
MODEL ZAVĚŠENÉ A VISUTÉ KONSTRUKCE V M1:10		VYPRACOVAL:	ING. KOLAČEK
VÝKRES:		Č. VÝKRESU:	
OSAZENÍ PRŮHYBOMĚŘŮ, SILOMĚŘŮ A ME SNÍMAČŮ		12	

# OSAZENÍ SNÍMAČŮ

## PŮDORYS

M1:25



### LEGENDA

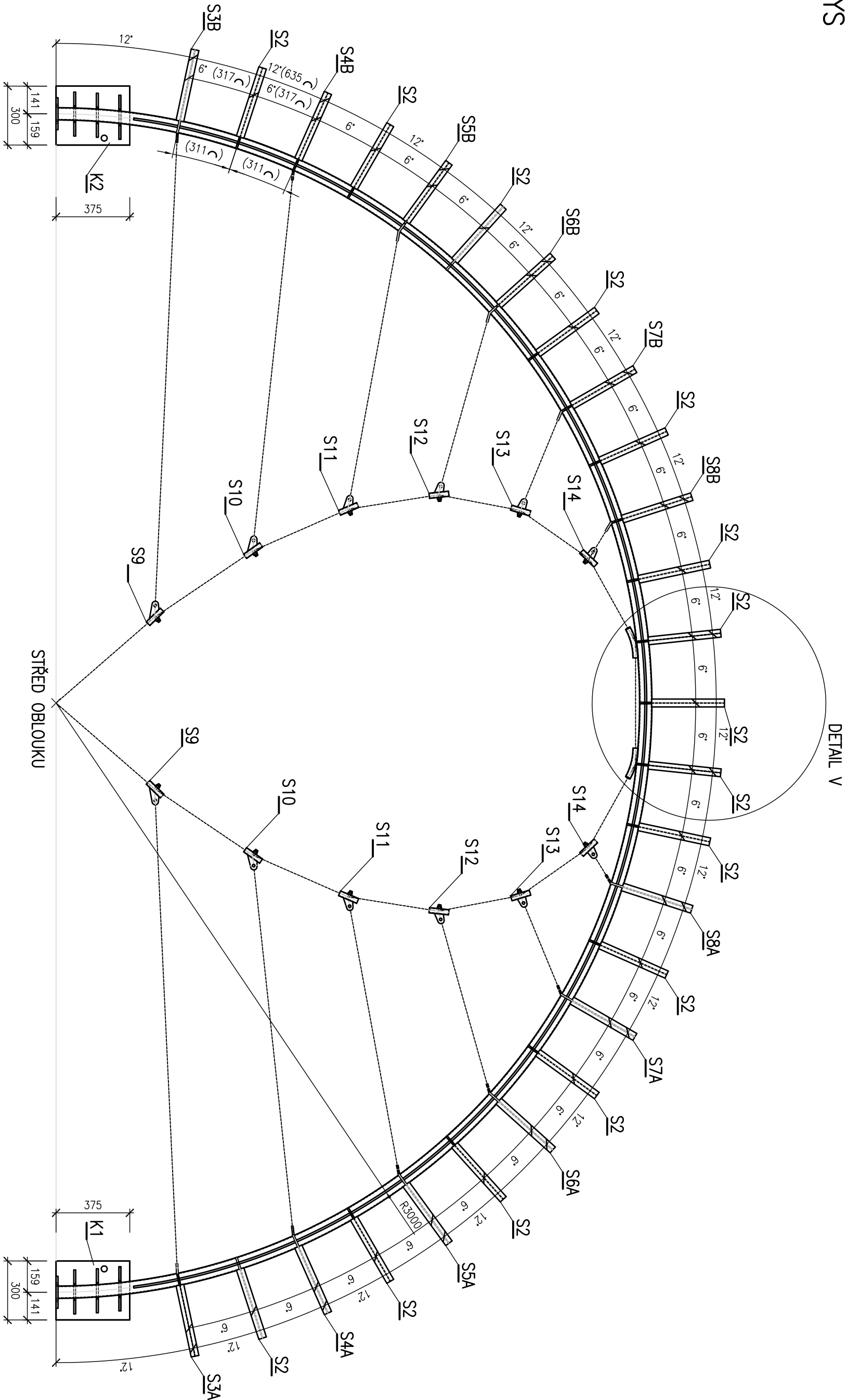
- ⊗ INDUKČNÍ SNÍMAČ POLOHY
- ⚡ BUZENÍ
- AKCELEROMETRICKÝ SNÍMAČ

AKCE:		DATUM:	ŘÍJEN 2010
MODEL ZAVĚŠENÉ A VISUTÉ KONSTRUKCE V M1:10		VYPRACOVAL:	ING. KOLAČEK
VÝKRES:		Č. VÝKRESU:	13
OSAZENÍ SNÍMAČŮ PRO DYNAMICKOU ZKOUŠKU			

# TRUBKA PRO VISUTOU ČÁST

## PŮDORYS

M1:20

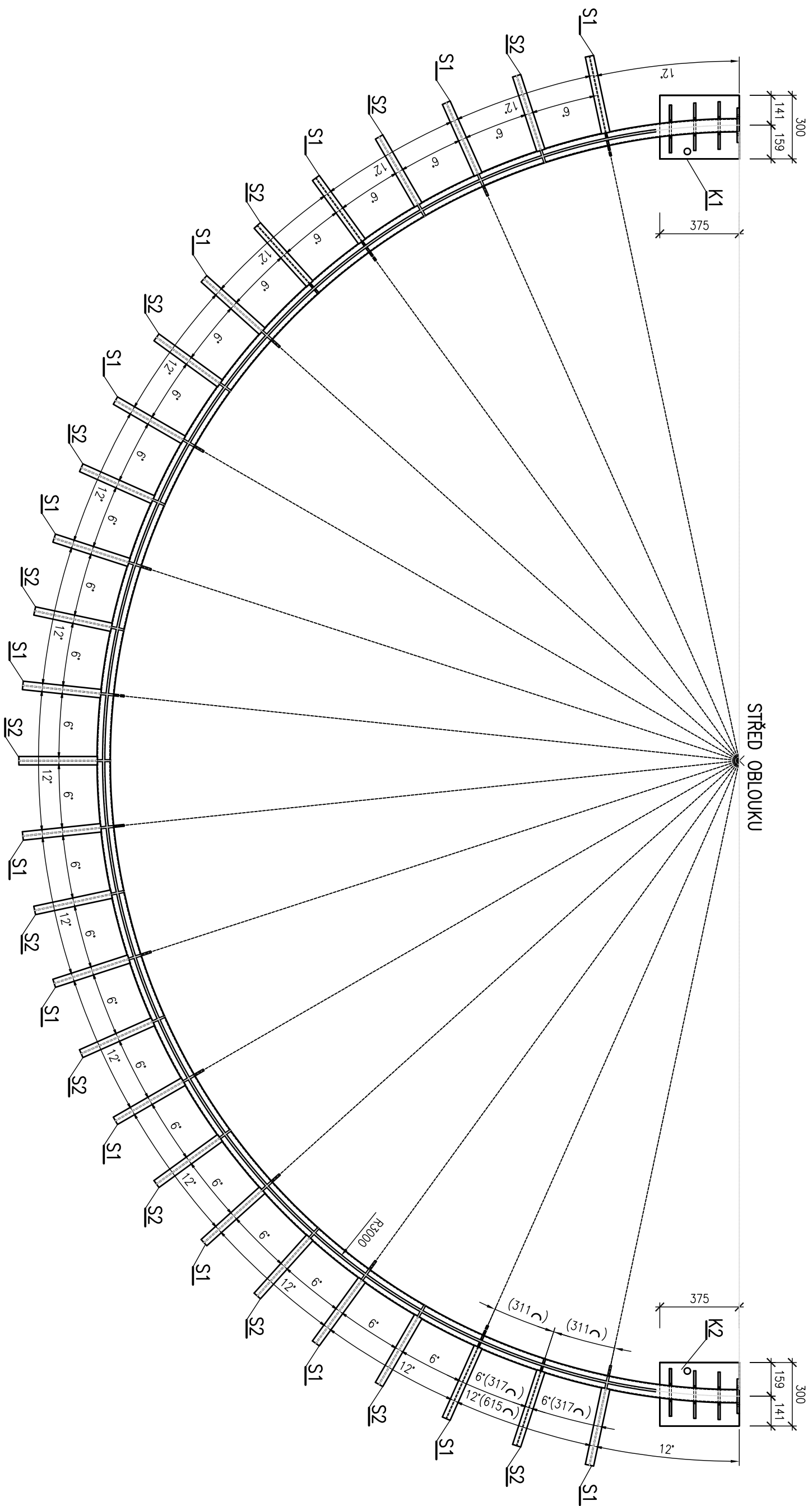


AKCE:		ŘÍJEN 2010	
MODEL ZAVĚŠENÉ A VISUTÉ KONSTRUKCE V M1:10		ING. KOLAČEK	
VÝKRES:		Č. VÝKRESU:	
TRUBKA PRO VISUTOU ČÁST		14	



# TRUBKA PRO ZAVĚŠENOU ČÁST PŮDORYS

M1:20

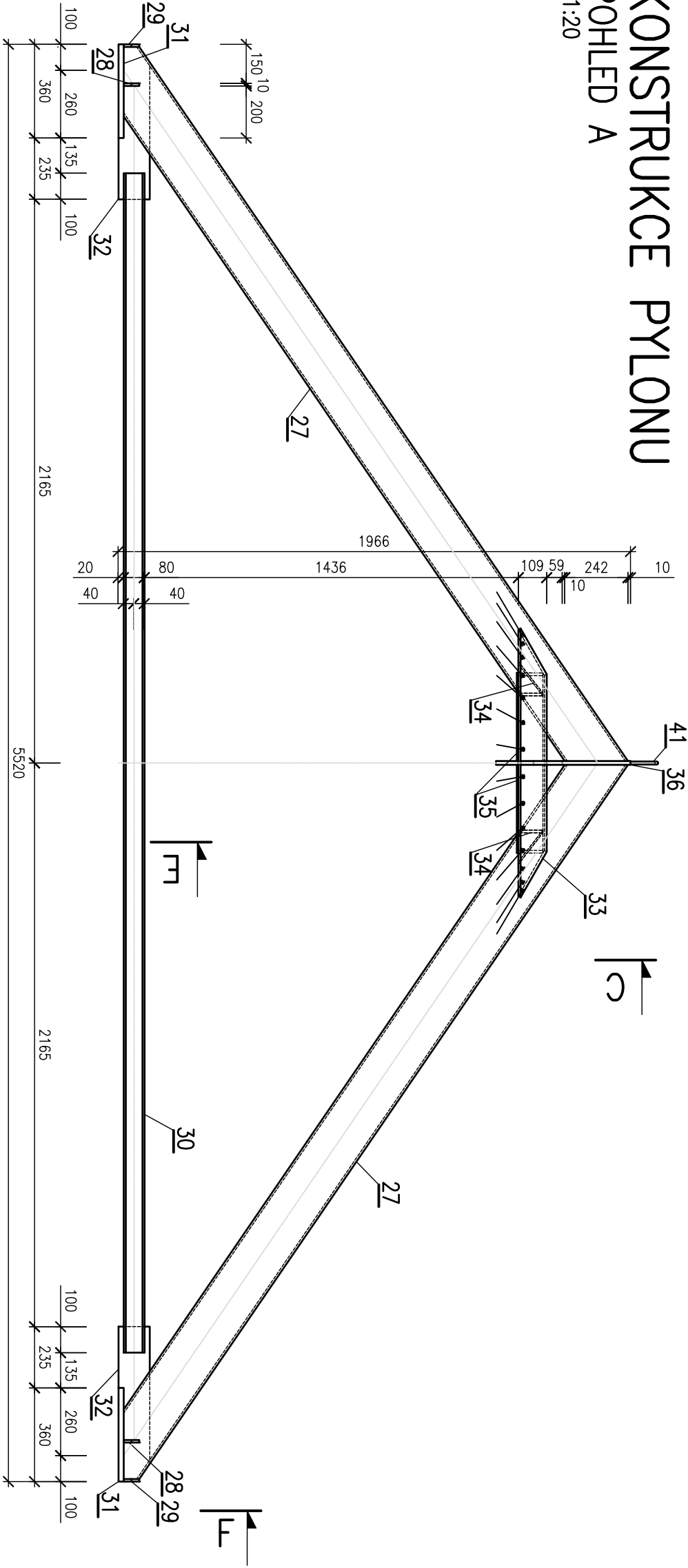


AKCE:	ŘÍJEN 2010	
MODEL ZAVĚŠENÉ A VSUTÉ KONSTRUKCE V M:10	DATUM:	
VYKRES:	VYPRACOVAL:	ING. KOLAČEK
TRUBKA PRO ZAVĚŠENOU ČÁST	Č. VYKRESU:	15

# KONSTRUKCE PYLONU

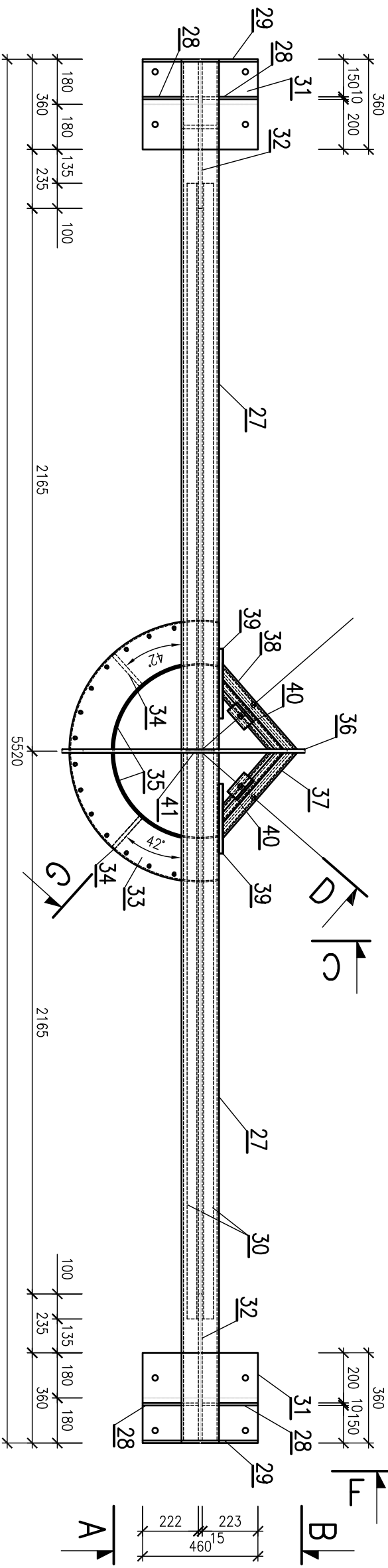
## POHLED A

M1:20



## PŮDORYS

M1:20

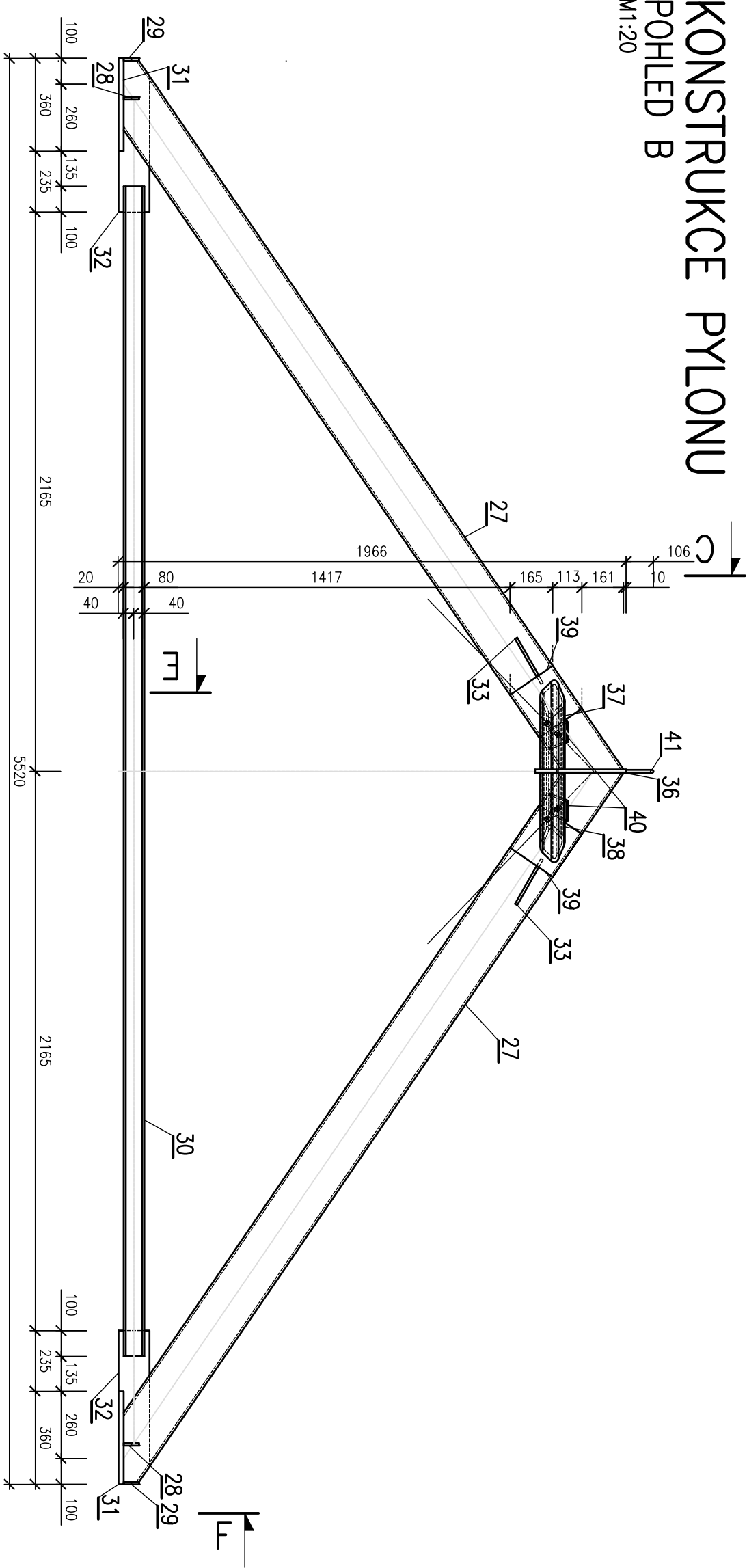


AKCE:		ŘÍJEN 2010	
MODEL ZAFIŠENÉ A VŠUTÉ KONSTRUKCE V M1:10		ING. KOLAČEK	
VÝKRES:		Č. VÝKRESU:	
KONSTRUKCE PYLONU – POHLEDY A PŮDORYS		16	

KONSTRUKCE PYLONU

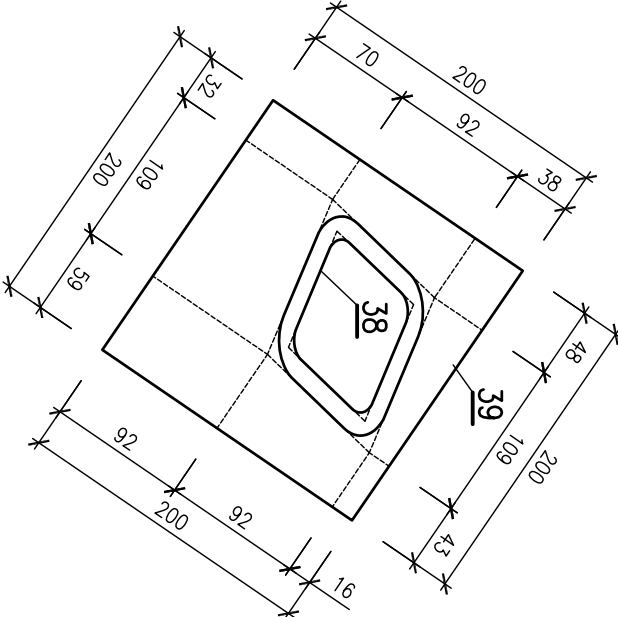
POHLED B

M1:20



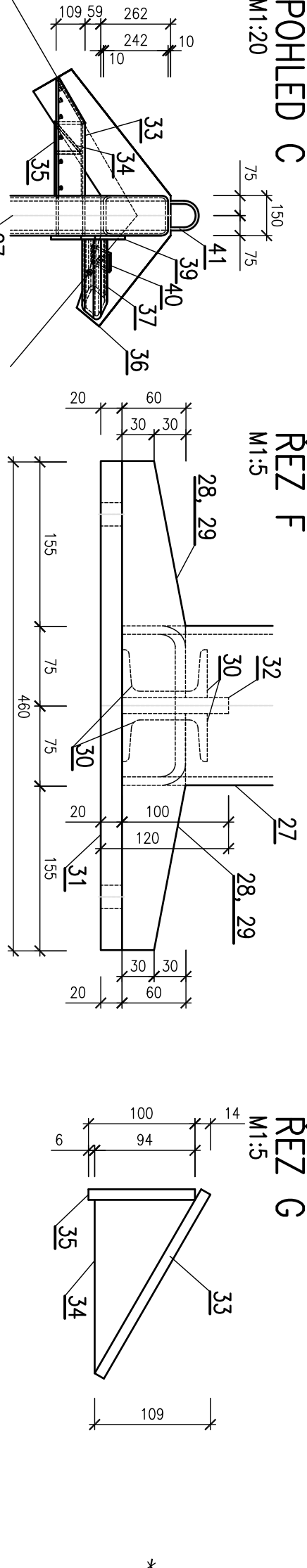
SPOJENÍ PRVKŮ 39 A 38

M1:5



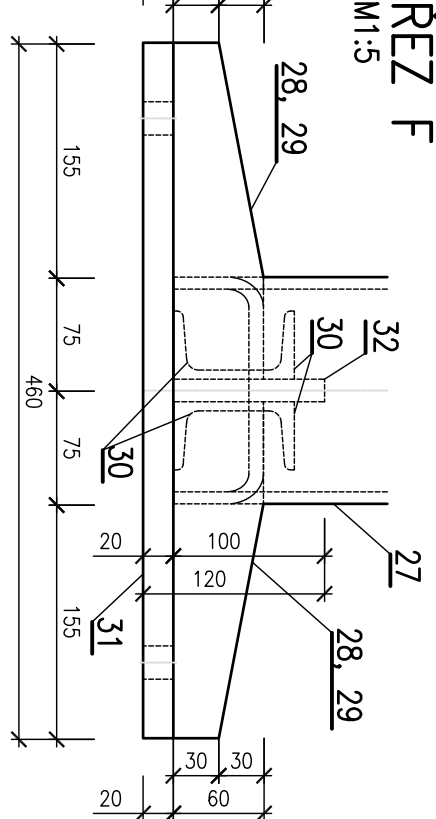
POHLED C

M1:20



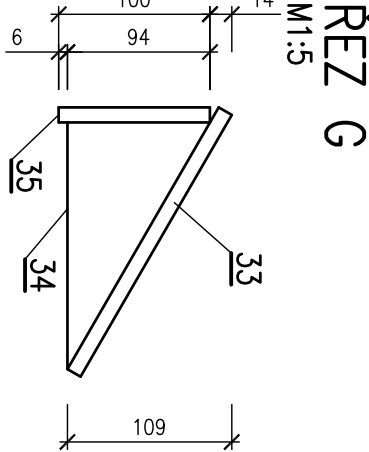
ŘEZ F

M1:5



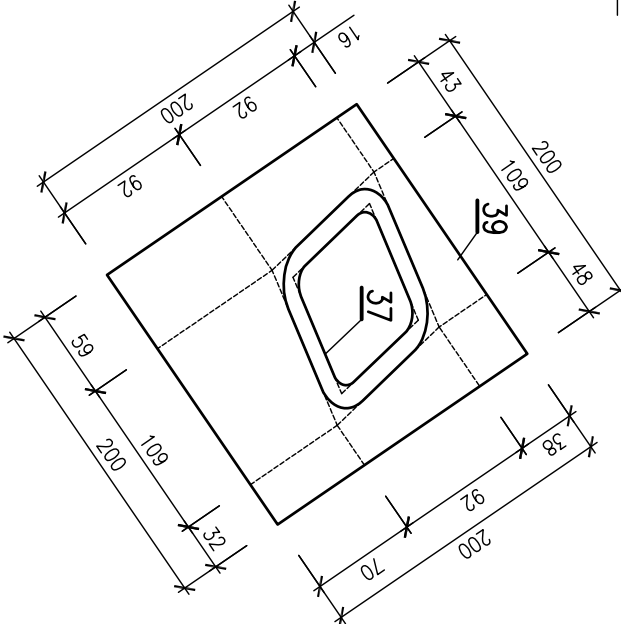
ŘEZ G

M1:5



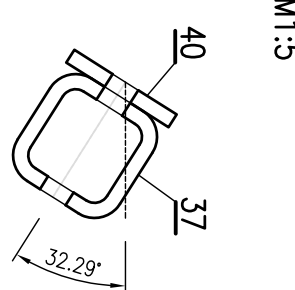
SPOJENÍ PRVKŮ 39 A 37

M1:5



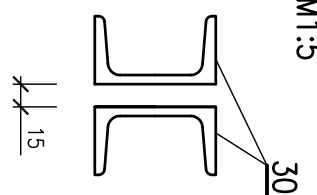
ŘEZ D

M1:5



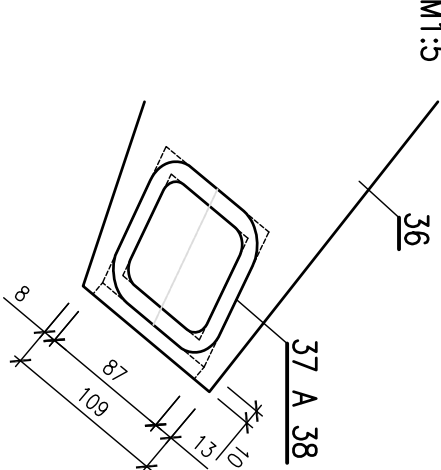
ŘEZ E

M1:5



SPOJENÍ PRVKŮ 36, 37 A 38

M1:5

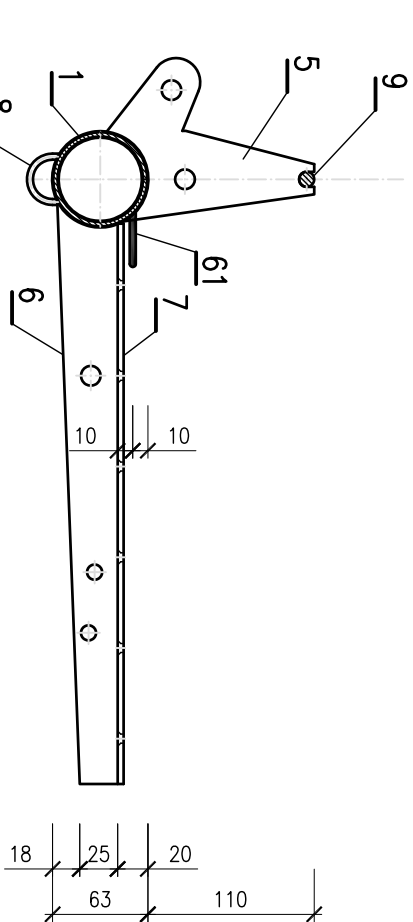


AKCE:		ŘÍJEN 2010	
MODEL ZAFIŠENÉ A VISUTÉ KONSTRUKCE V M1:10		ING. KOLAČEK	
VÝKRES:		Č. VÝKRESU:	
KONSTRUKCE PYLONU – POHLEDY A ŘEZY		17	

SESTAVA S1, 14 ks

POHLED

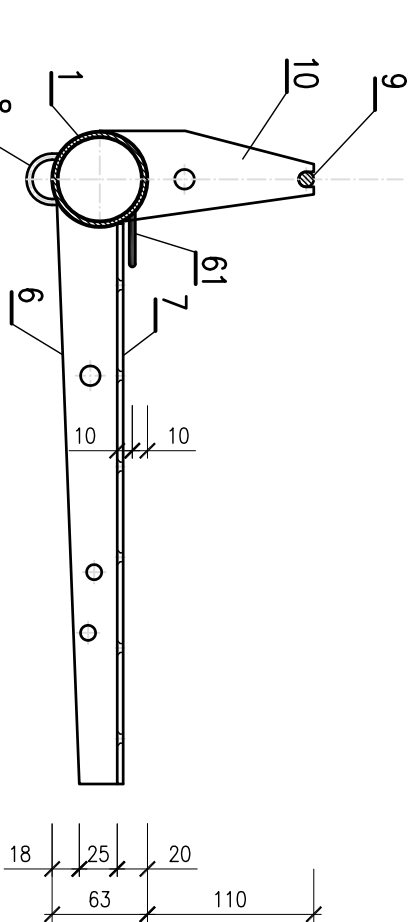
M1:20



SESTAVA S2, 28 ks

POHLED

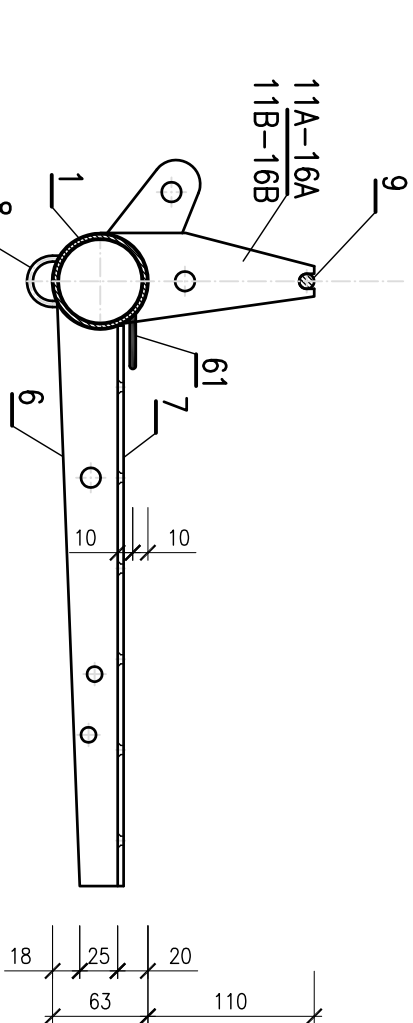
M1:20



SESTAVA S3A–S8A, S3B–S8B, 2x6=12 ks

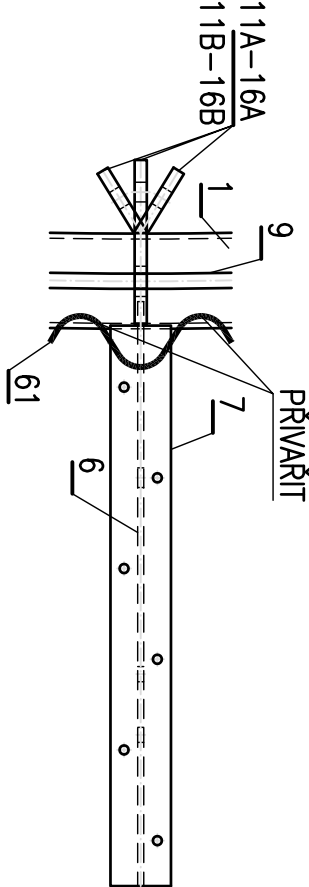
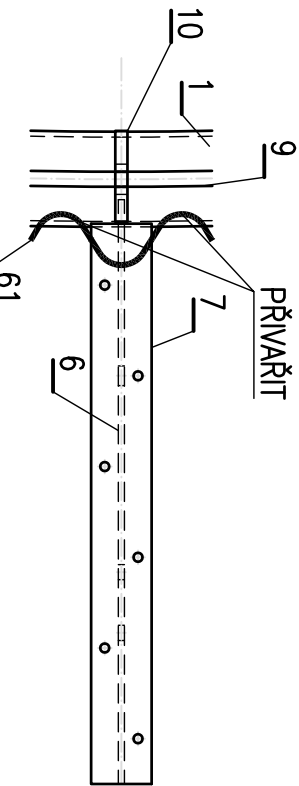
POHLED

M1:5



S3A	11A
S4A	12A
S5A	13A
S6A	14A
S7A	15A
S8A	16A
S8B	16B
S7B	15B
S6B	14B
S5B	13B
S4B	12B
S3B	11B

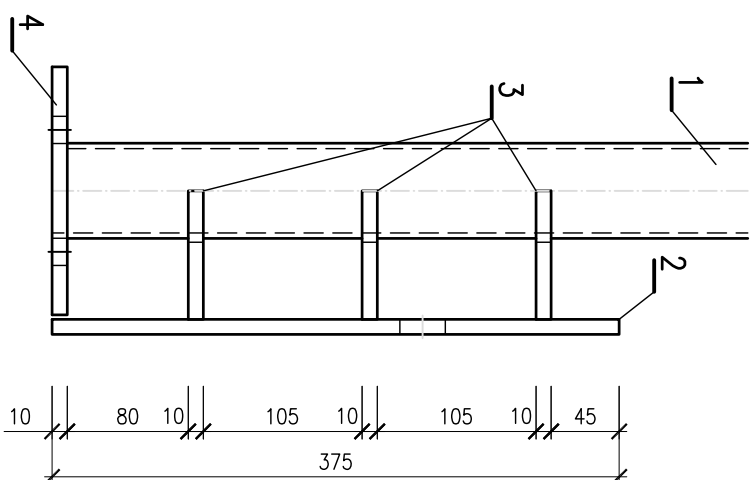
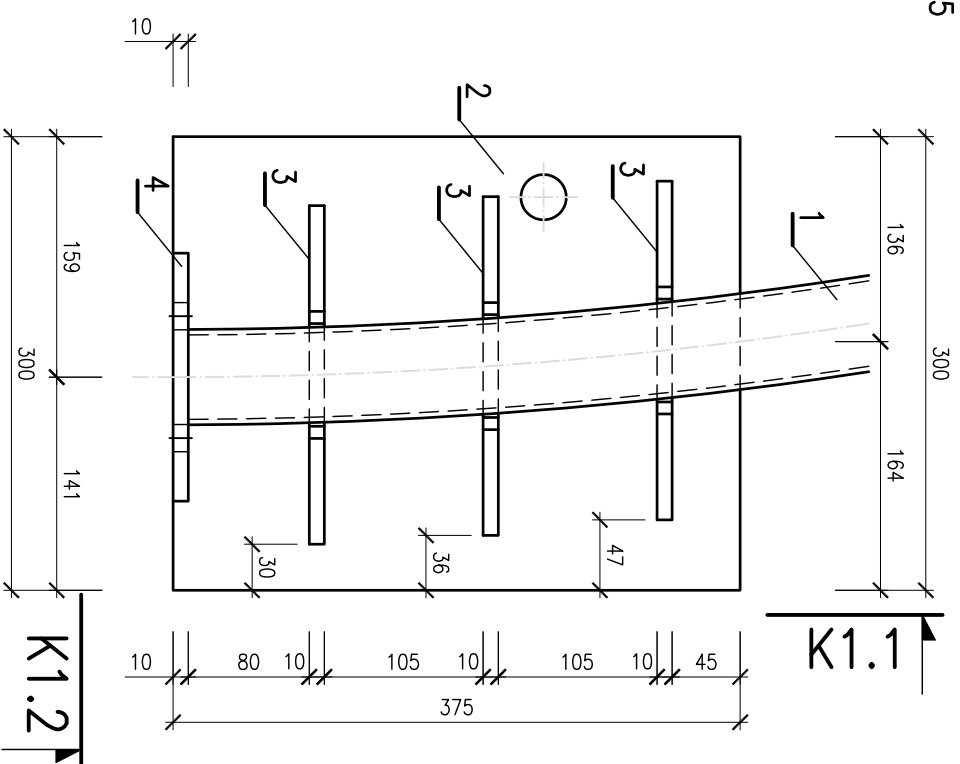
CELKEM 12 ks



AKCE:		DATUM:	ŘÍJEN 2010
MODEL ZAFIŠENÉ A VSOITÉ KONSTRUKCE V M1:10		VYPRACOVAL:	ING. KOLAČEK
VÝKRES:		Č. VÝKRESU:	
SESTAVY S1 AŽ S8B		18	

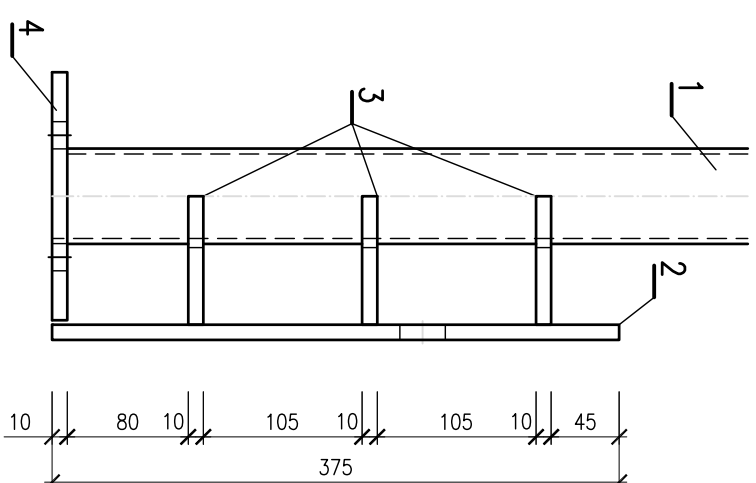
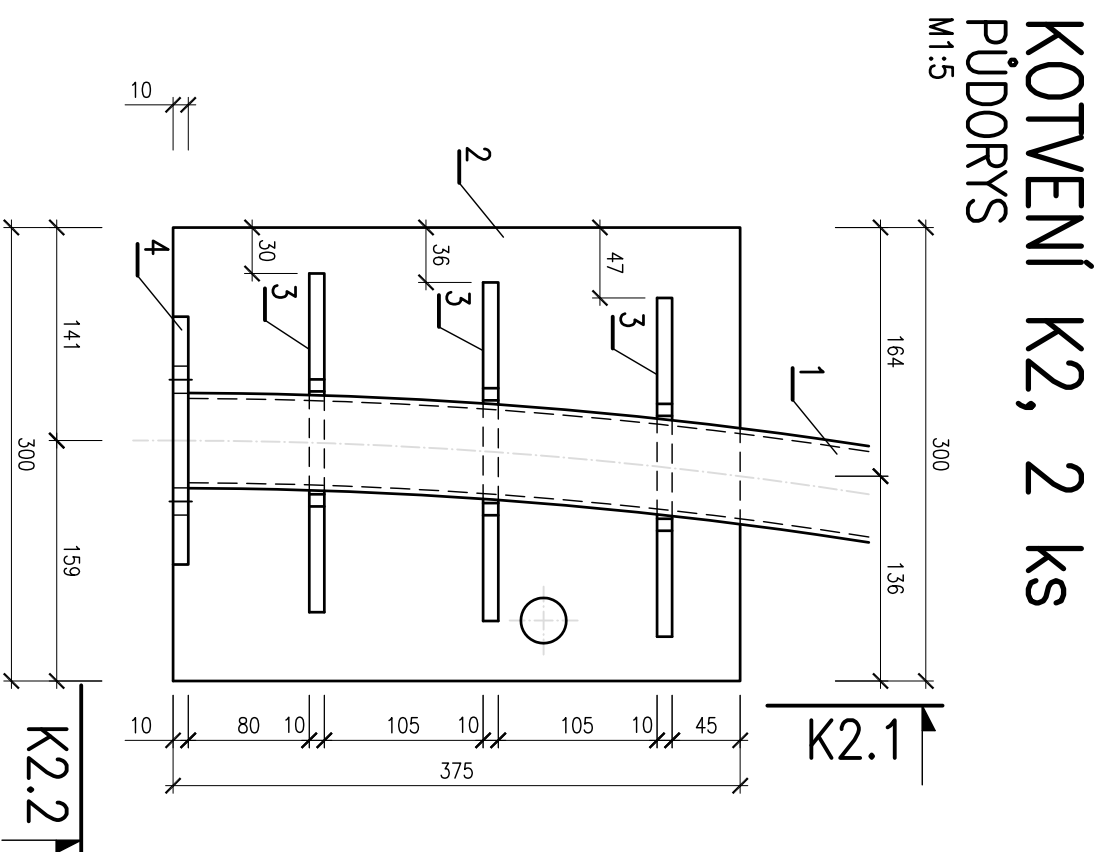
KOTVENÍ K1, 2 ks  
PŮDORYS

M1:5



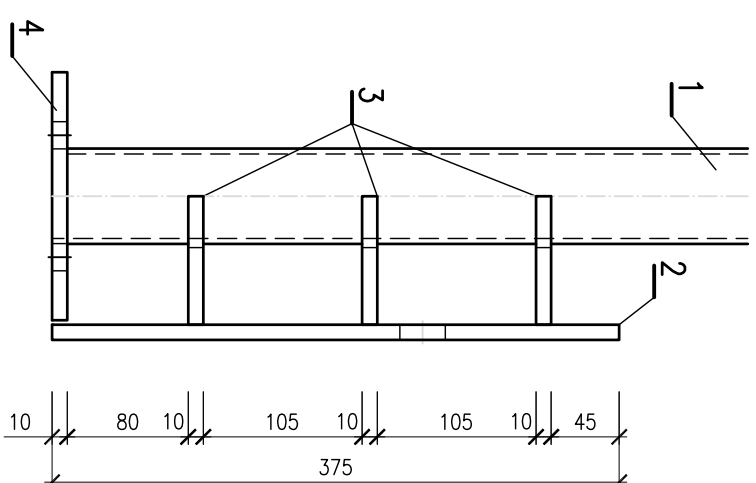
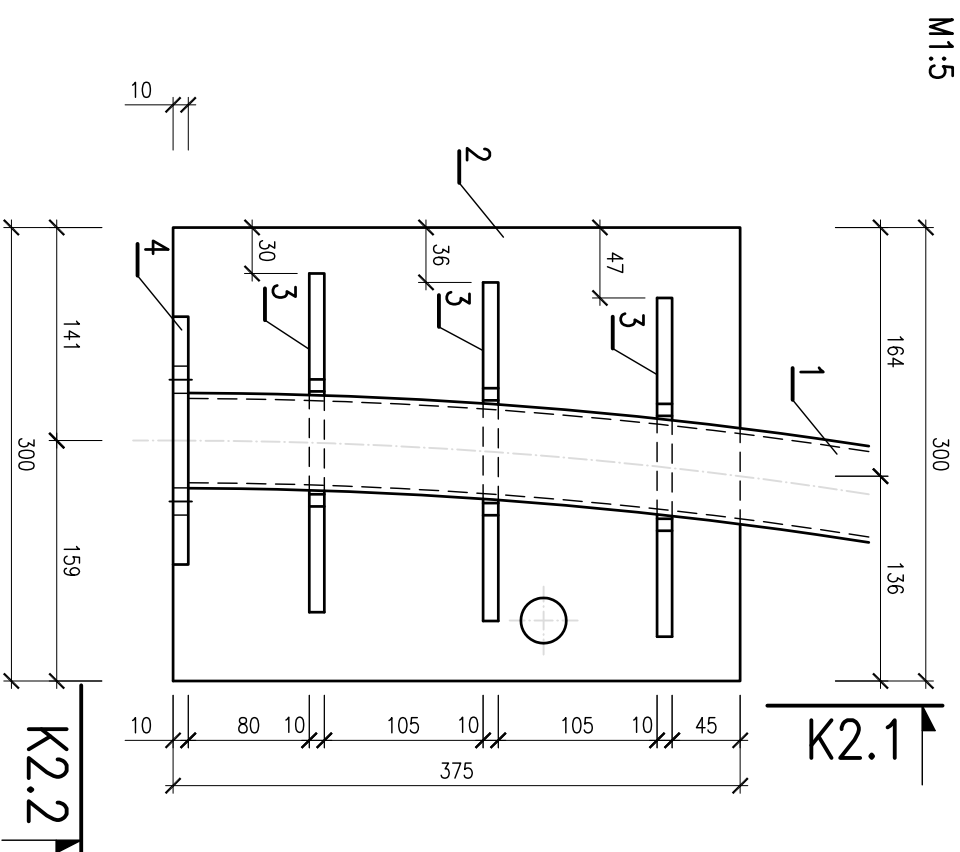
## POHLED K1.1

M1:5



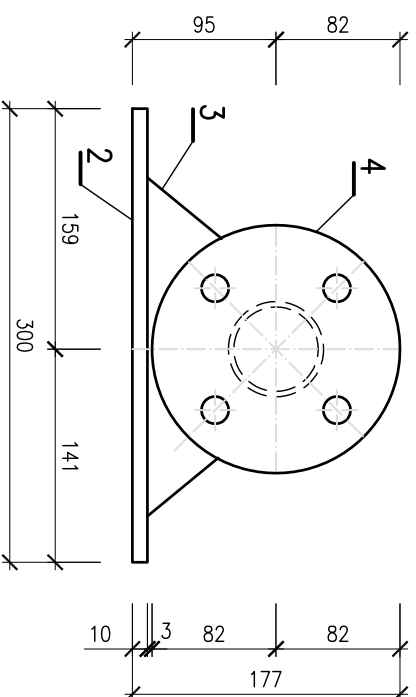
KÖTVENÍ K2, 2 ks

M1:5



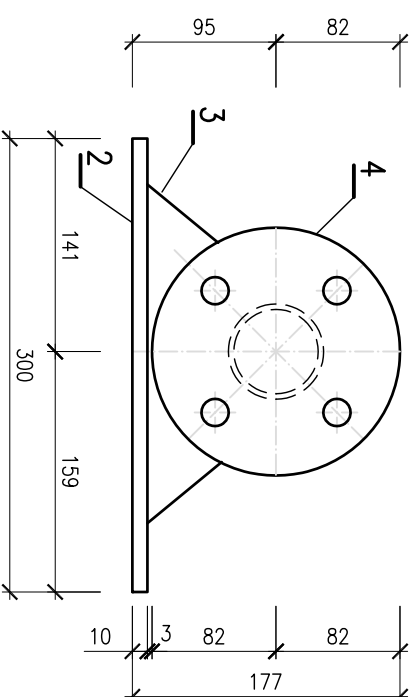
## POHLED K1.2

M1:20



## POHLED K2.2

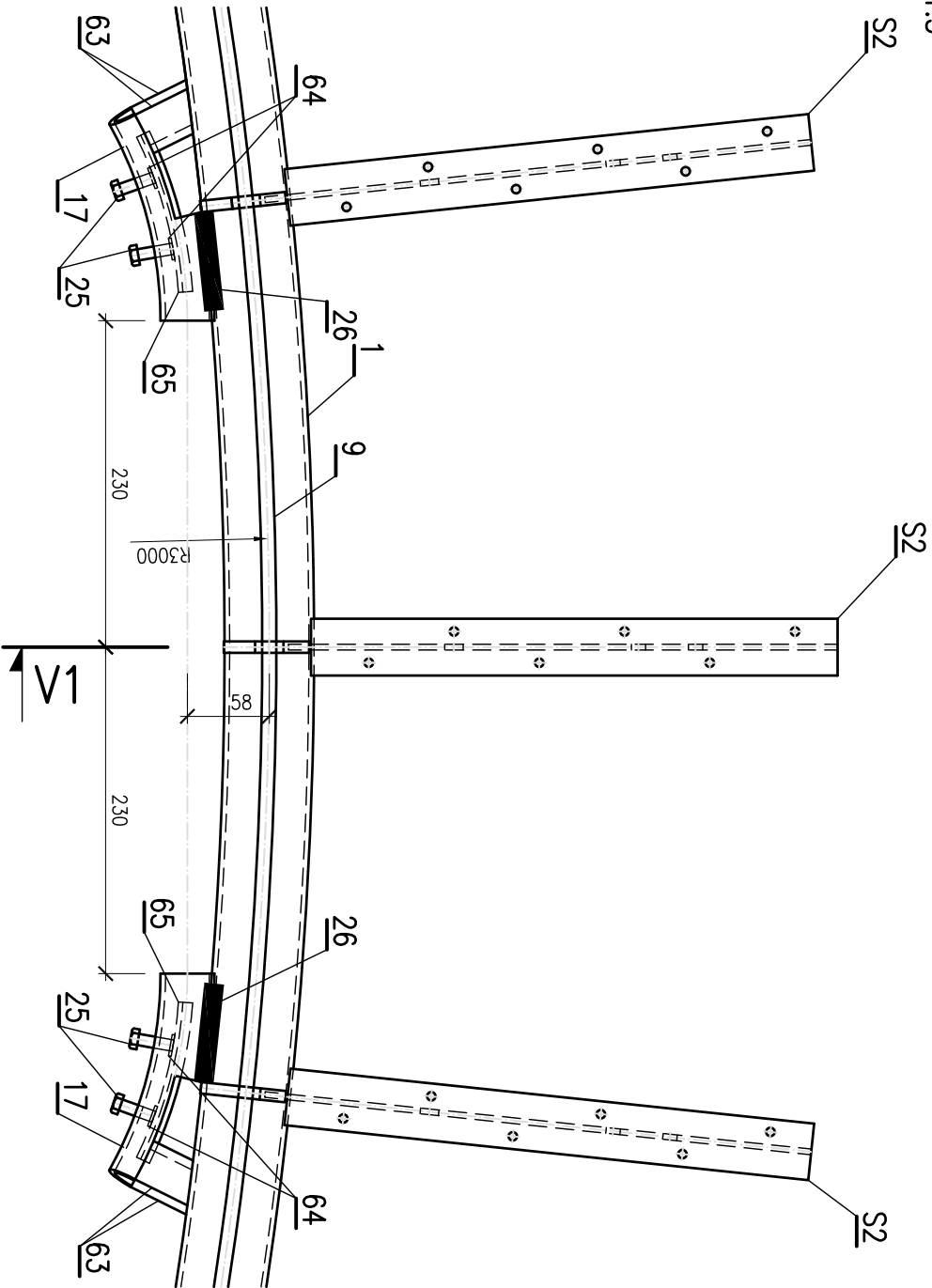
M1:5



AKCE:	ŘÍJEN 2010	
<b>MODEL ZAFIŠENÉ A VYSUTÉ KONSTRUKCE V M1:10</b>		
VÝKRES:	DATUM:	ING. KOLAČEK
KOTVENÍ K1 A K2	VYPRACOVAL:	Č. VÝKRESU: <b>19</b>

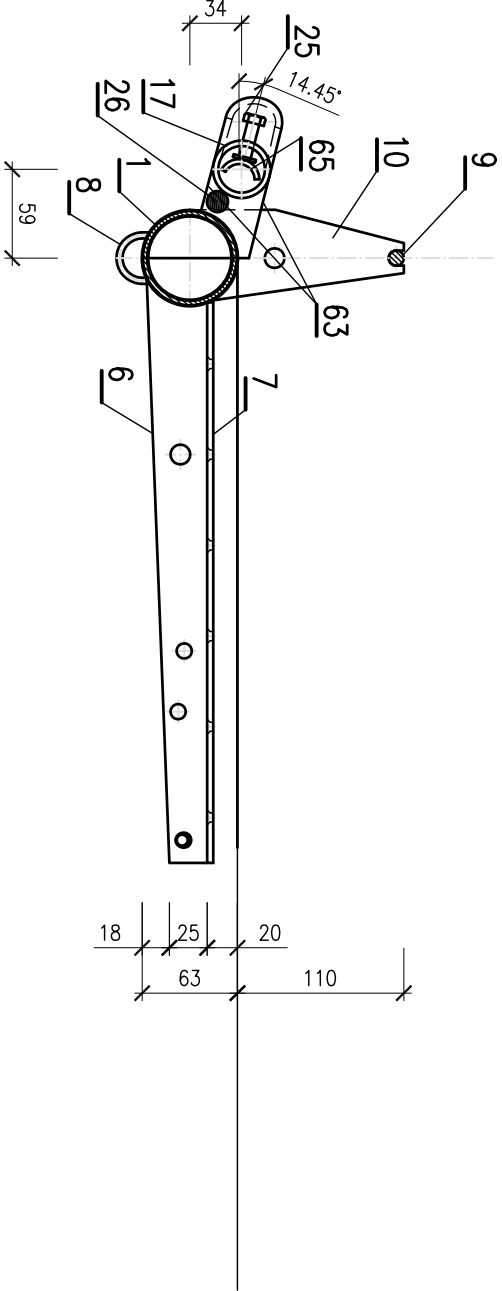
DETAIL V  
PŮDORYS

M1:5



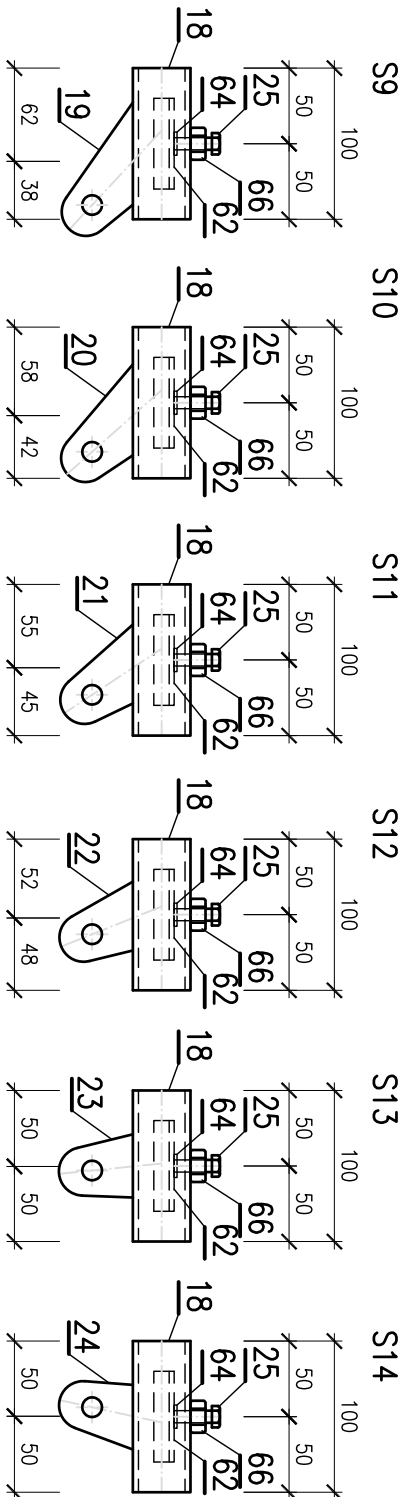
ŘEZ V1

M1:5



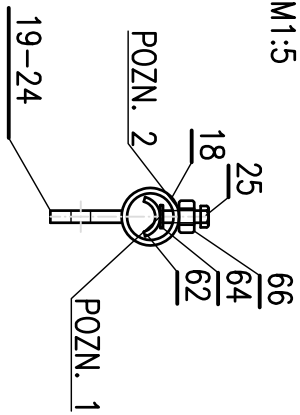
SESTAVY S9-S14, 2x6=12 ks  
POHLEDY

M1:5



BOČNÍ POHLED

M1:5



POZN. 1 – POLOŽKU 64 PŘIVAŘIT K 62 A 65  
POZN. 2 – POLOŽKU 66 PŘIVAŘIT K 18

AKCE:		ŘÍJEN 2010	
MODEL ZAVŘŠENÉ A VSOITÉ KONSTRUKCE V M1:10		ING. KOLAČEK	
VÝKRES:		Č. VÝKRESU:	
DETAIL V, SESTAVY S9 AŽ S14		20	



## POZNÁMKY

POZN. 1 – DÍRU ZAOBLIT

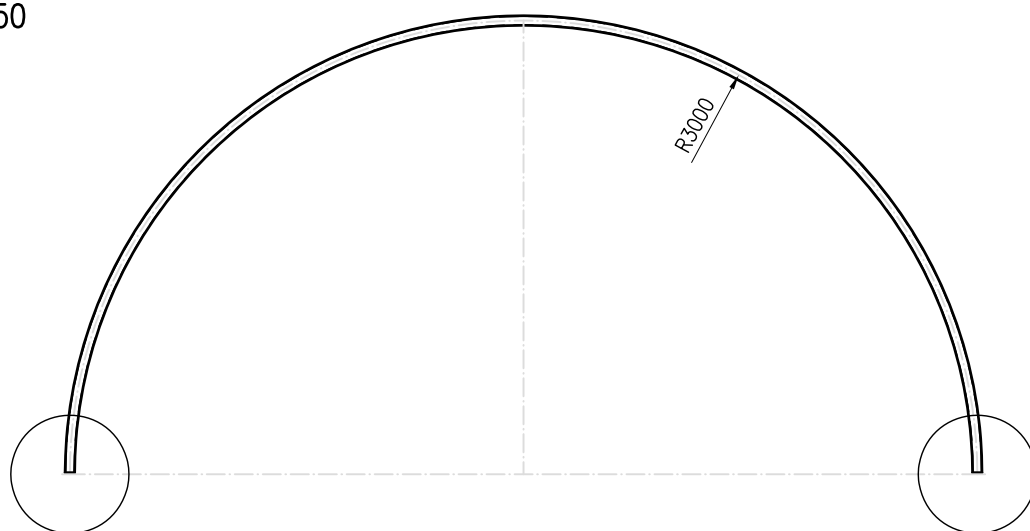
POZN. 2 – DÍRY PRO ŠROUBY M5 SE ZÁPUSTNOU HLAVOU

POZN. 3 – TVAR VIZ ŠABLONA STYČNÍKOVÝCH PLECHŮ NA STR. 21–17

AKCE:		DATUM:	ŘÍJEN 2010
<b>MODEL ZAVĚŠENÉ A VISUTÉ KONSTRUKCE V M1:10</b>		VYPRACOVAL:	ING. KOLÁČEK
VÝKRES:			Č. VÝKRESU:
ROZKRESLENÍ PRVKŮ 1 AŽ 67			21

# PRVEK 1

M1:50

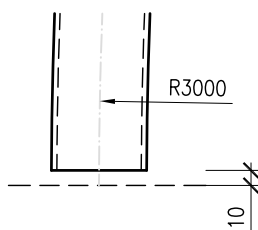


DETAIL 1.1

DETAIL 1.2

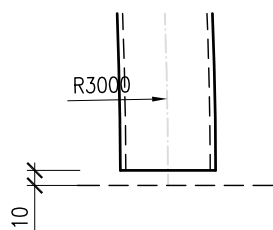
DETAIL 1.1

M1:5



DETAIL 1.2

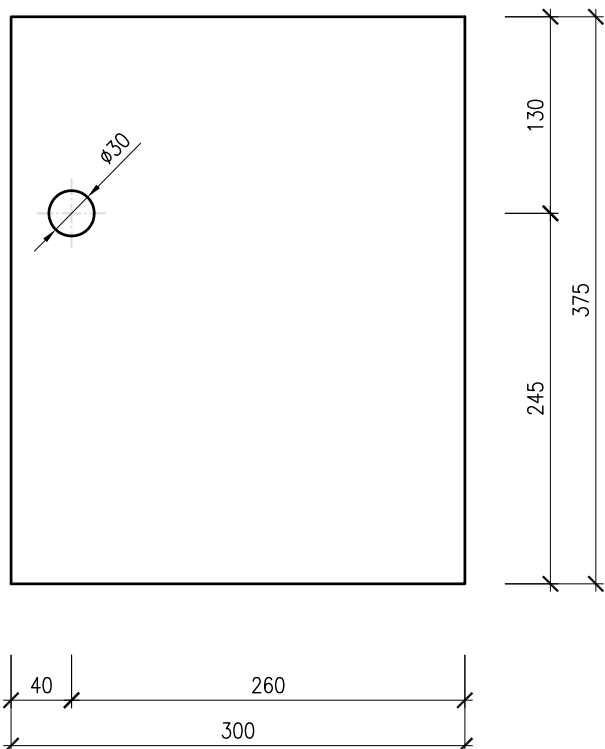
M1:5



TRUBKA  $\phi 63/3,6$ , DL. 9504 mm  
S235, 2 ks

# PRVEK 2

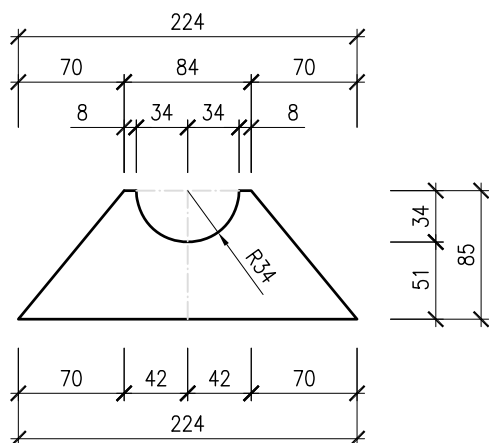
M1:5



P10 – 300/375  
S235, 4 ks

## PRVEK 3

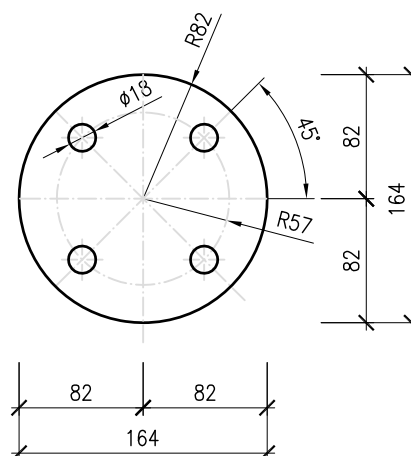
M1:5



P10 – 224/85  
S235, 12 ks

## PRVEK 4

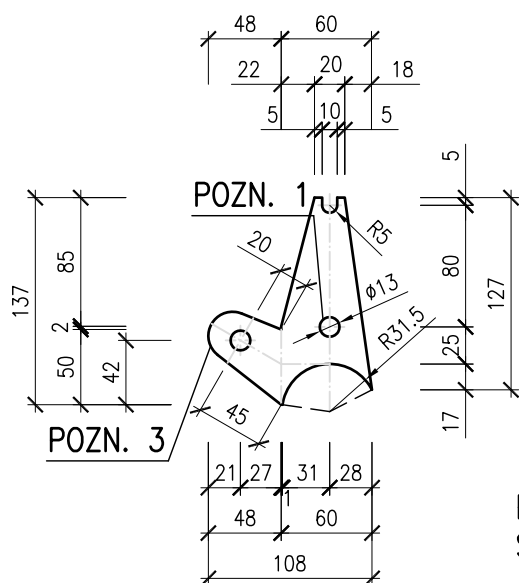
M1:5



P10 – 164/164  
S235, 4 ks

## PRVEK 5

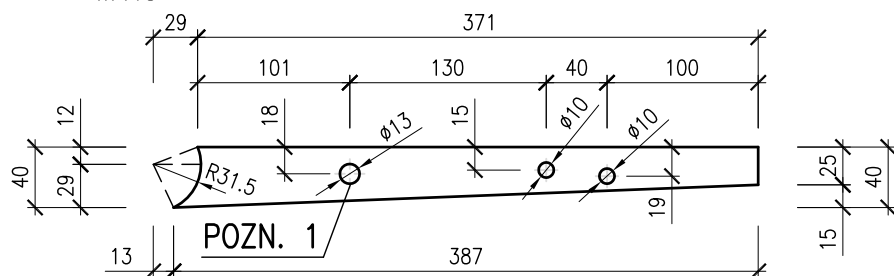
M1:5



P8 – 137/108  
S355, 14 ks

## PRVEK 6

M1:5



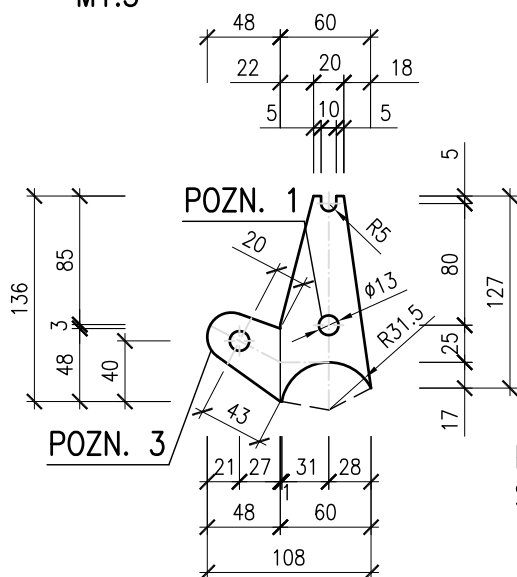
P4 – 387/40  
S235, 54 ks



# PRVEK 11A A 11B

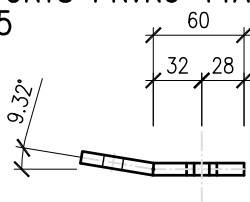
ROZVINUTÝ POHLED

M1:5

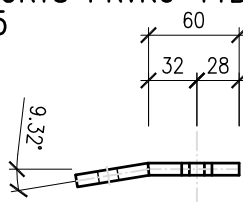


P8 – 136/108  
S355, 2 ks

PŮDORYS PRVKU 11A  
M1:5



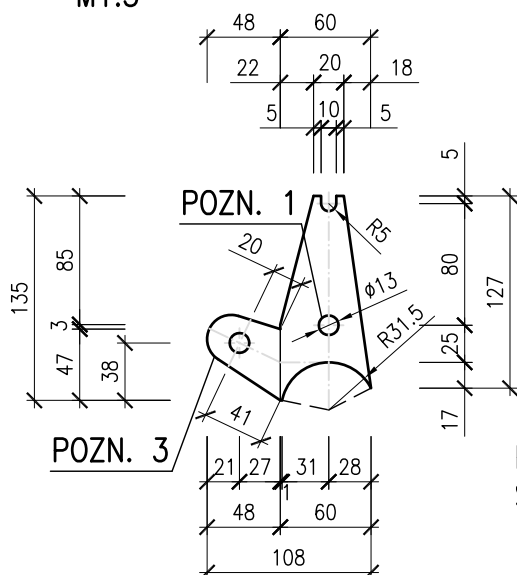
PŮDORYS PRVKU 11B  
M1:5



# PRVEK 12A A 12B

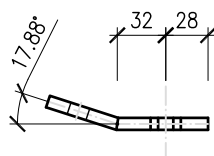
ROZVINUTÝ POHLED

M1:5

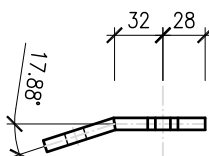


P8 – 135/108  
S355, 2 ks

PŮDORYS PRVKU 12A  
M1:5



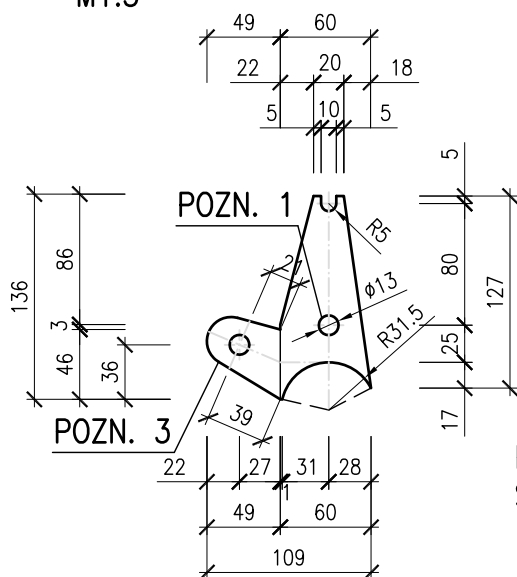
PŮDORYS PRVKU 12B  
M1:5



# PRVEK 13A A 13B

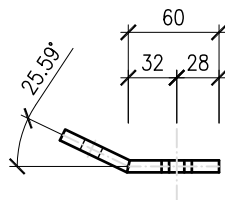
ROZVINUTÝ POHLED

M1:5

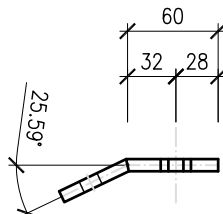


P8 – 136/109  
S355, 2 ks

PŮDORYS PRVKU 13A  
M1:5



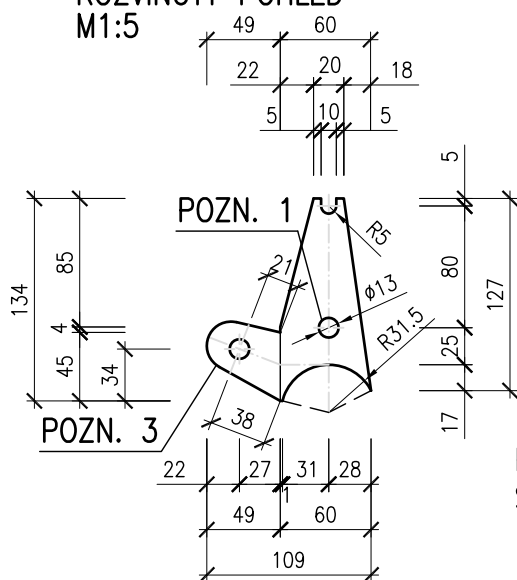
PŮDORYS PRVKU 13B  
M1:5



# PRVEK 14A A 14B

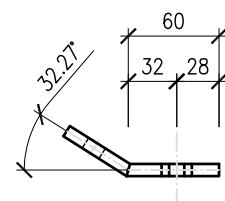
ROZVINUTÝ POHLED

M1:5

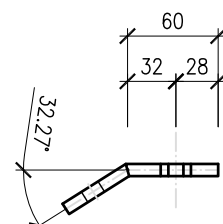


P8 – 134/109  
S355, 2 ks

PŮDORYS PRVKU 14A  
M1:5



PŮDORYS PRVKU 14B  
M1:5

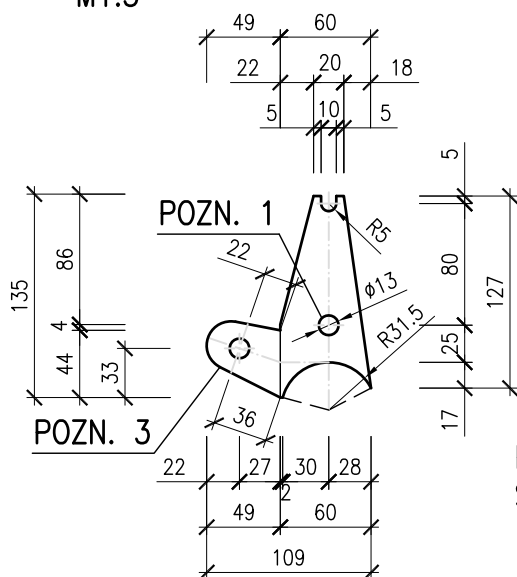




# PRVEK 15A A 15B

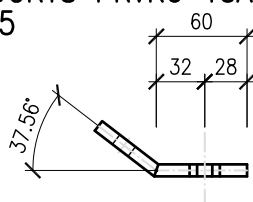
ROZVINUTÝ POHLED

M1:5

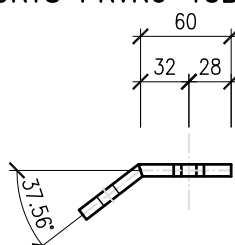


P8 – 135/109  
S355, 2 ks

PŮDORYS PRVKU 15A  
M1:5



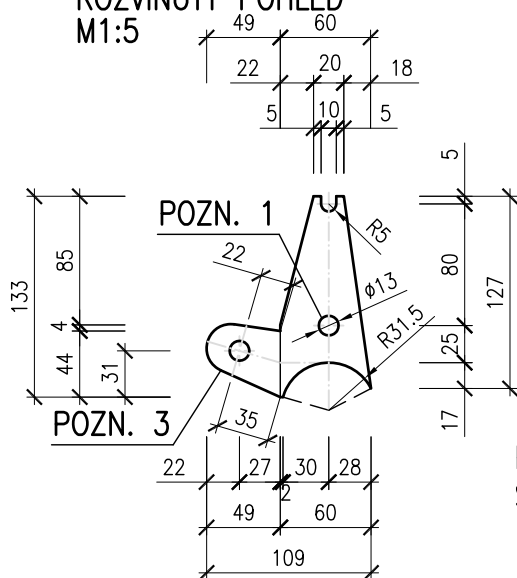
PŮDORYS PRVKU 15B  
M1:5



# PRVEK 16A A 16B

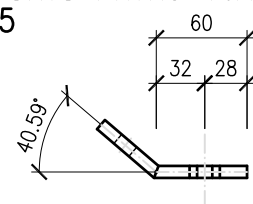
ROZVINUTÝ POHLED

M1:5

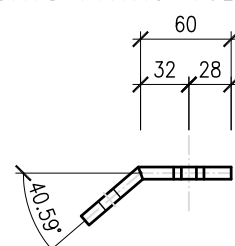


P8 – 133/109  
S355, 2 ks

PŮDORYS PRVKU 16A  
M1:5

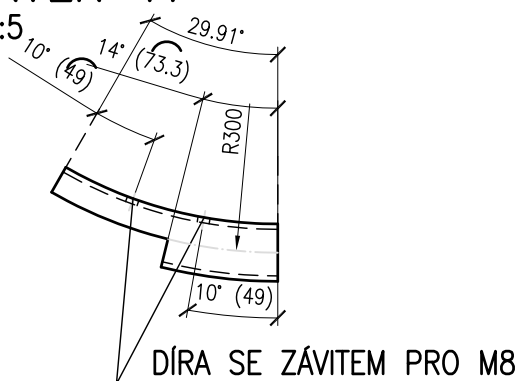


PŮDORYS PRVKU 16B  
M1:5

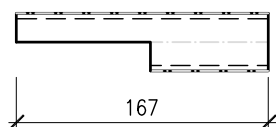


## PRVEK 17

M1:5



ROZVINUTÝ ŘEZ



TR.  $\phi 38/3.6$ , DL. 164 mm  
S235, 2 ks

## PRVEK 18

M1:5

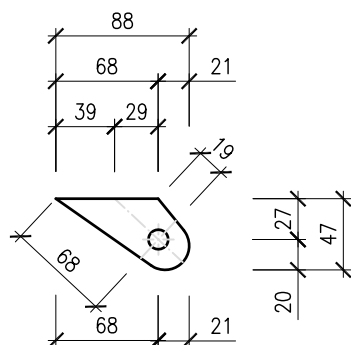


TR.  $\phi 26,9/3.2$ , DL. 100 mm  
S235, 12 ks

## PRVEK 19

M1:5

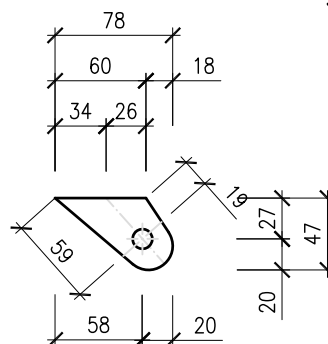
P8 – 88/47  
S355, 2 ks



## PRVEK 20

M1:5

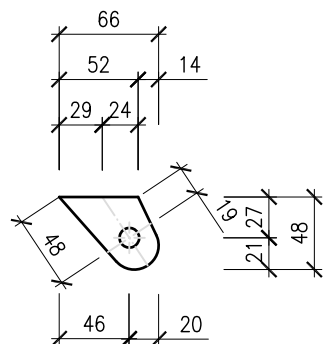
P8 – 78/47  
S355, 2 ks



## PRVEK 21

M1:5

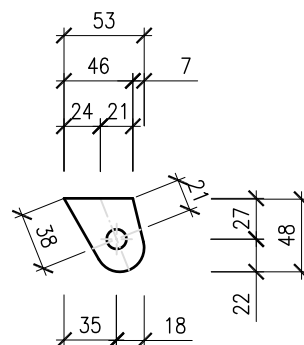
P8 – 66/48  
S355, 2 ks



## PRVEK 22

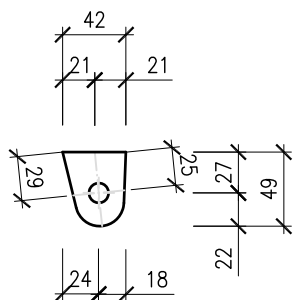
M1:5

P8 – 53/48  
S355, 2 ks



PRVEK 23  
M1:5

P8 – 42/49  
S355, 2 ks



POZN. 3

PRVEK 25  
M1:5

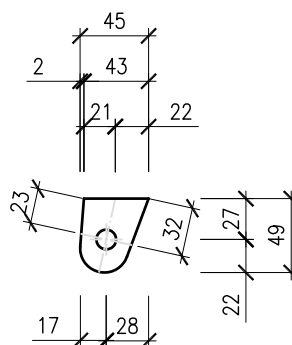
M8/25  
4.6, 12 ks



M8/25  
4.6, 16 ks

PRVEK 24  
M1:5

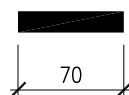
P8 – 45/49  
S355, 2 ks



POZN. 3

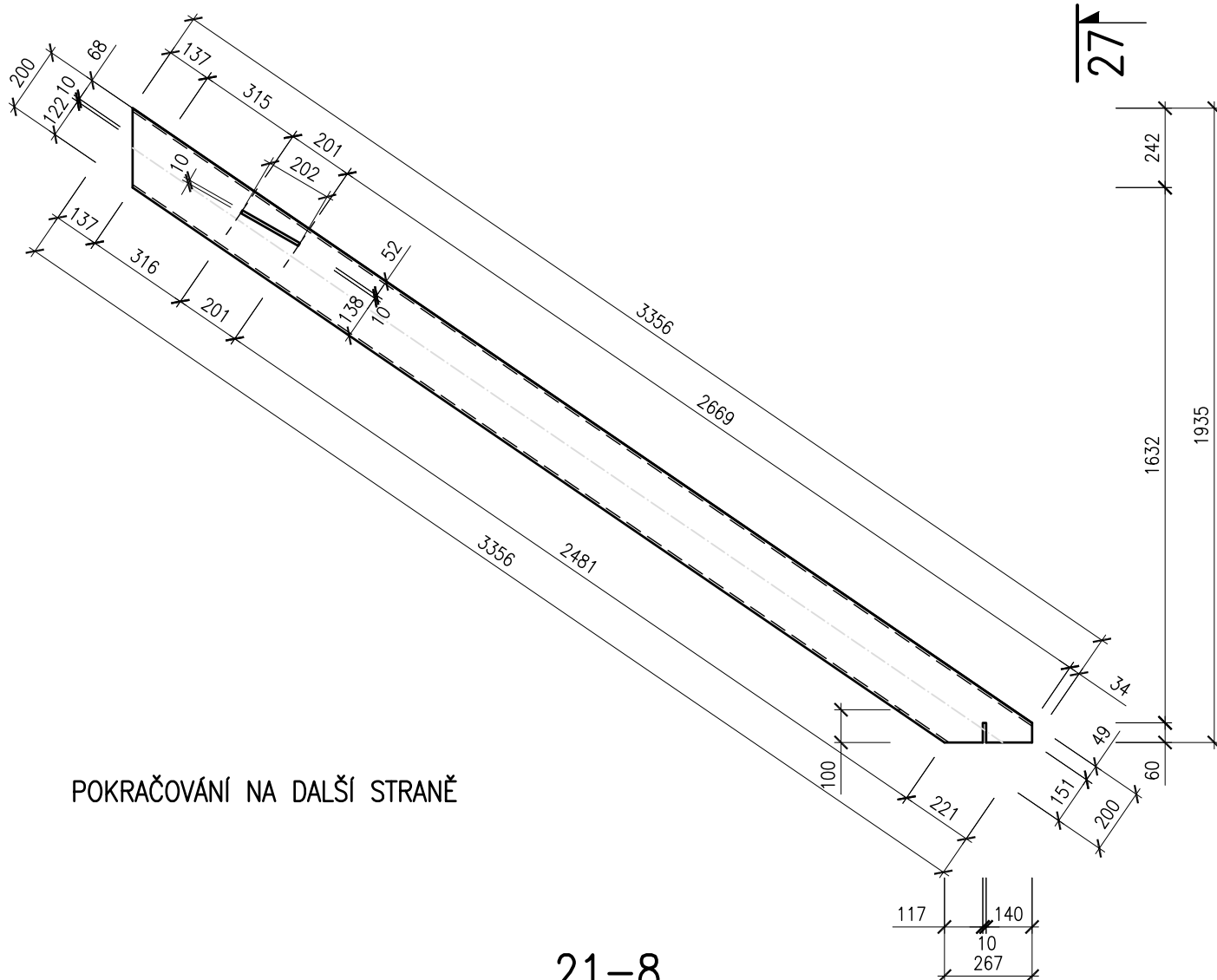
PRVEK 26  
M1:5

ø14 mm, DL. 70 mm  
S235, 2 ks



PRVEK 27  
POHLED  
M1:20

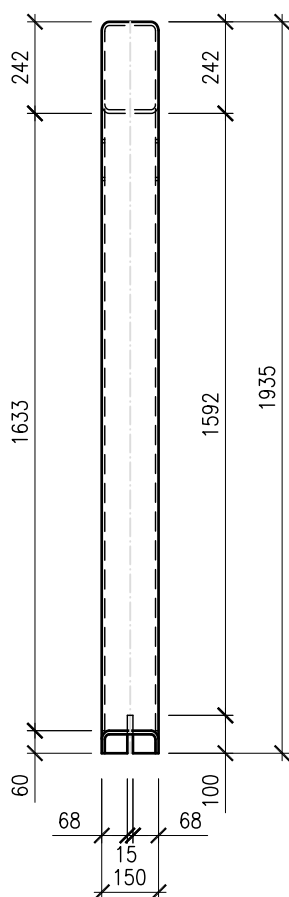
JACKL 200/150/8 – 3356  
S355, 2 ks



POKRAČOVÁNÍ NA DALŠÍ STRANĚ

# PRVEK 27 – POKRAČOVÁNÍ

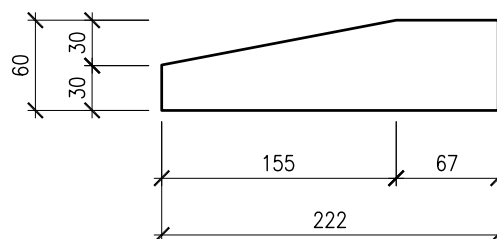
POHLED 27  
M1:20



# PRVEK 28

M1:5

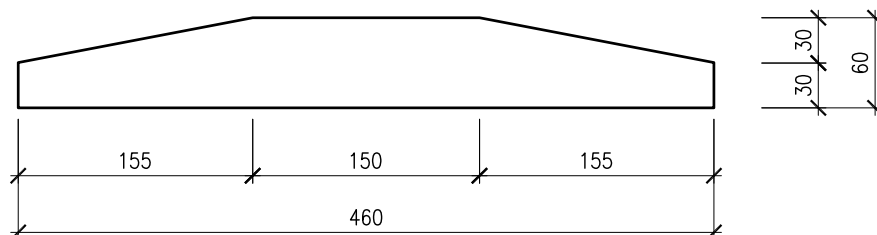
P10 – 222/60  
S355, 4 ks



# PRVEK 29

M1:5

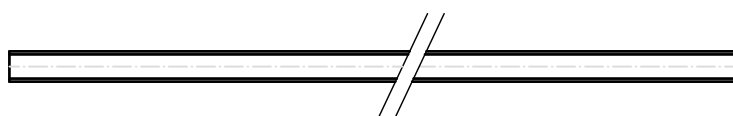
P10 – 460/60  
S355, 2 ks



# PRVEK 30

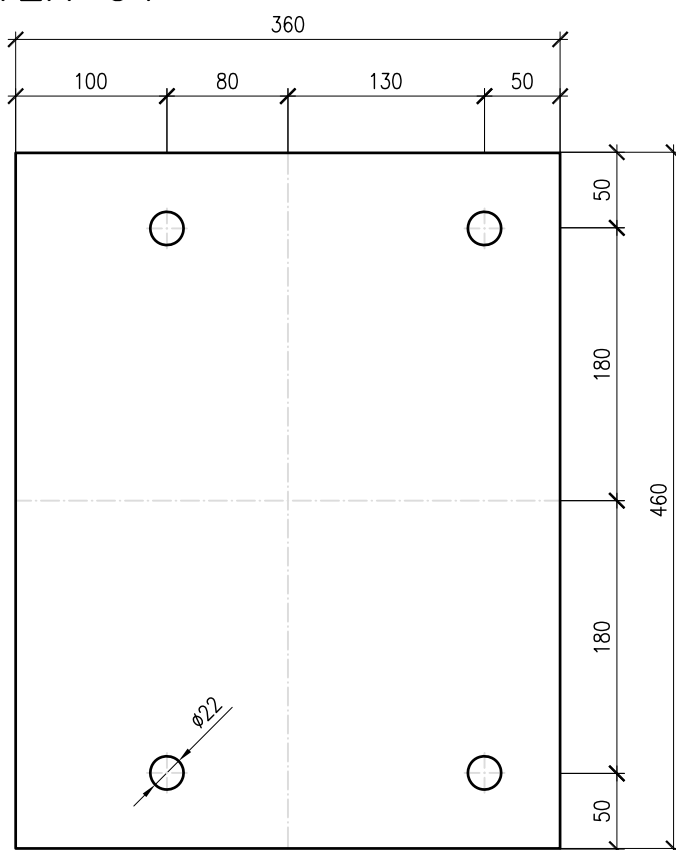
M1:20

U80, DL. 4530 mm  
S235, 2ks



# PRVEK 31

M1:5

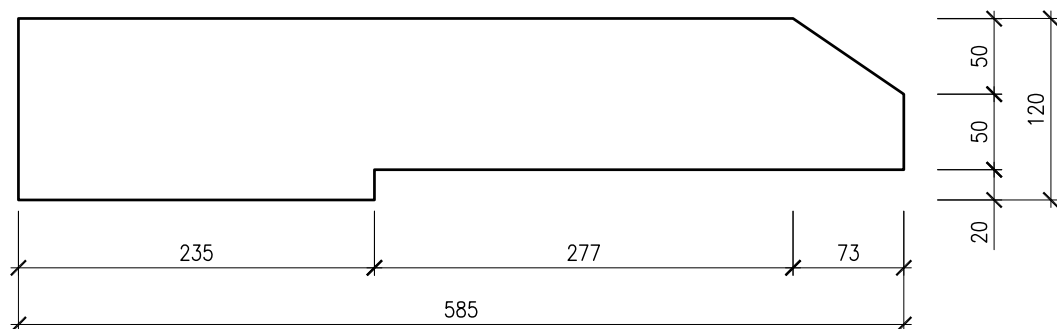


P20 – 360/460  
S355, 2 ks

# PRVEK 32

M1:5

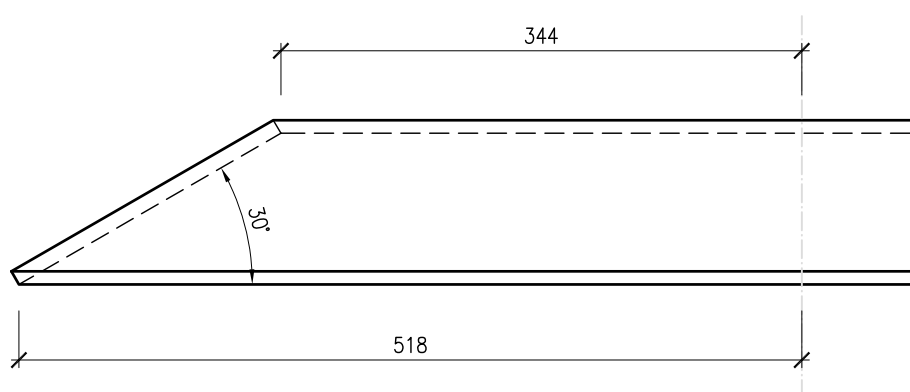
P15 – 585/120  
S355, 2 ks



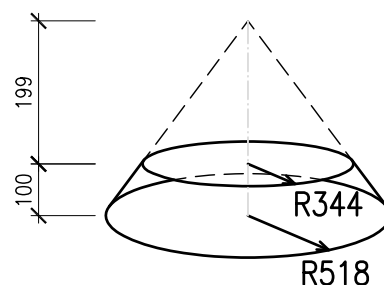
# PRVEK 33

M1:5

P10 – 1190/585  
S355, 1 ks



PLECH ZKRUŽIT DO KUŽELE

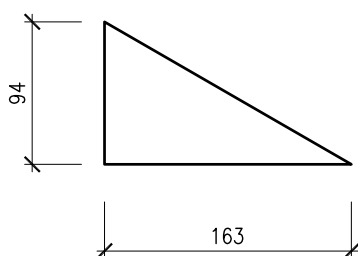


POKRAČOVÁNÍ NA DALŠÍ STRANĚ

# PRVEK 34

M1:5

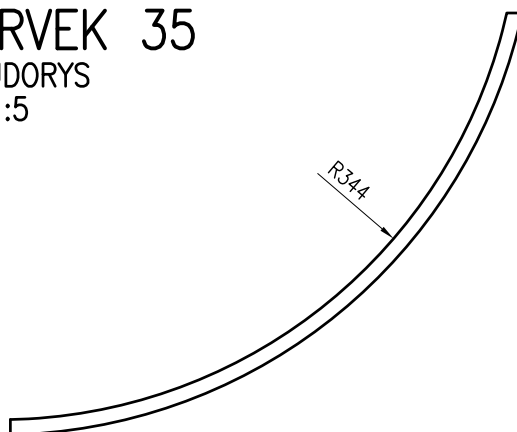
P15 – 94/163  
S355, 2 ks



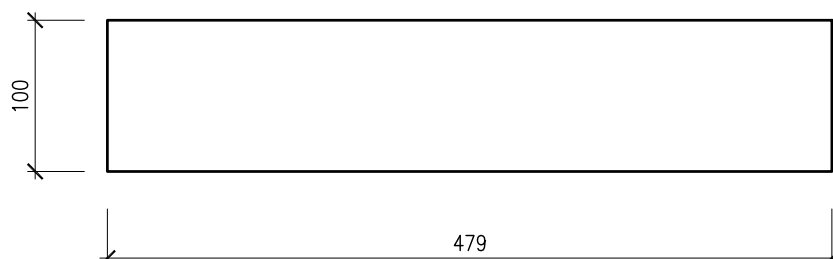
# PRVEK 35

PŮDORYS  
M1:5

P10 – 100/479  
S355, 2 ks

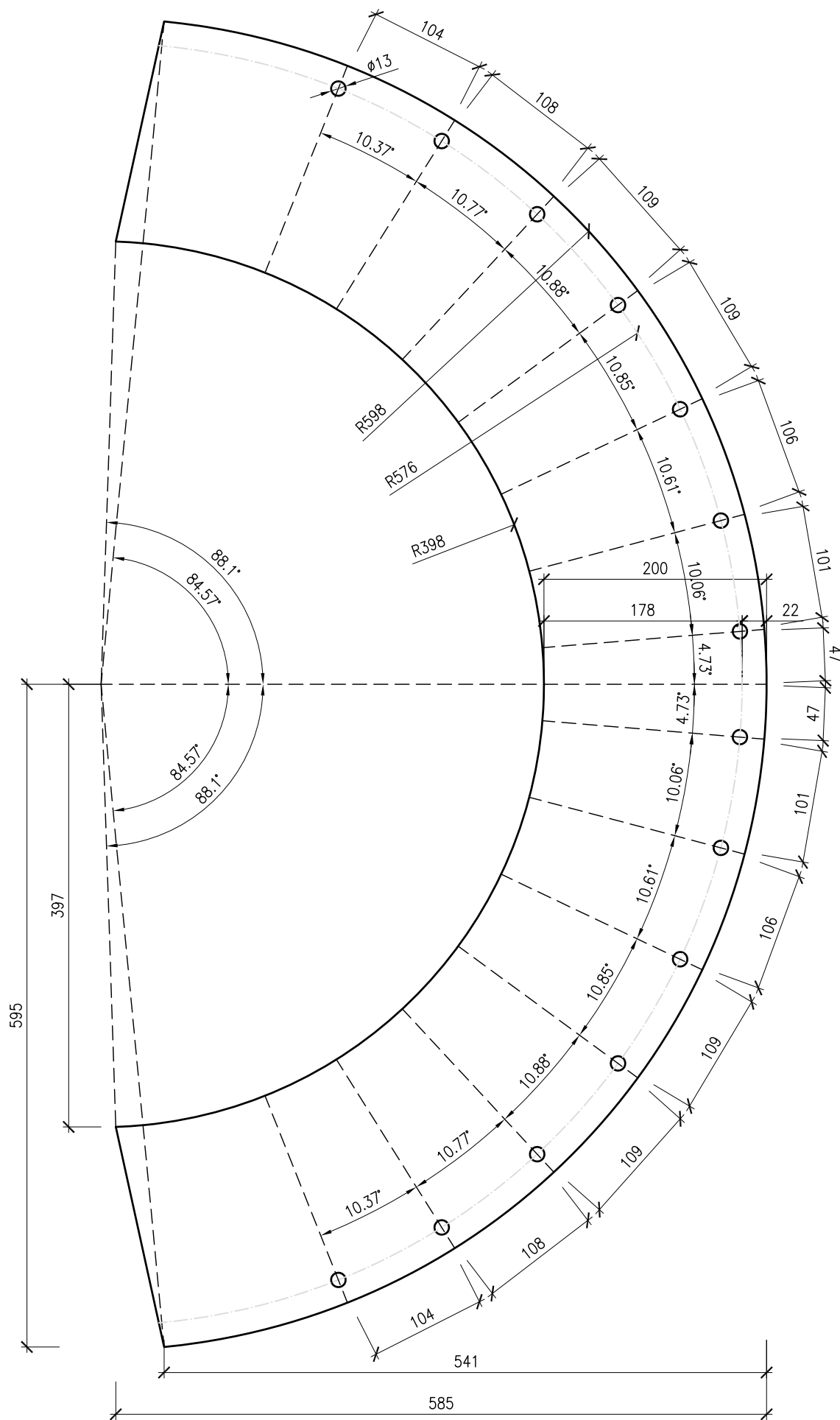


ROZVINUTÝ POHLED  
M1:5



# PRVEK 33 – POKRAČOVÁNÍ

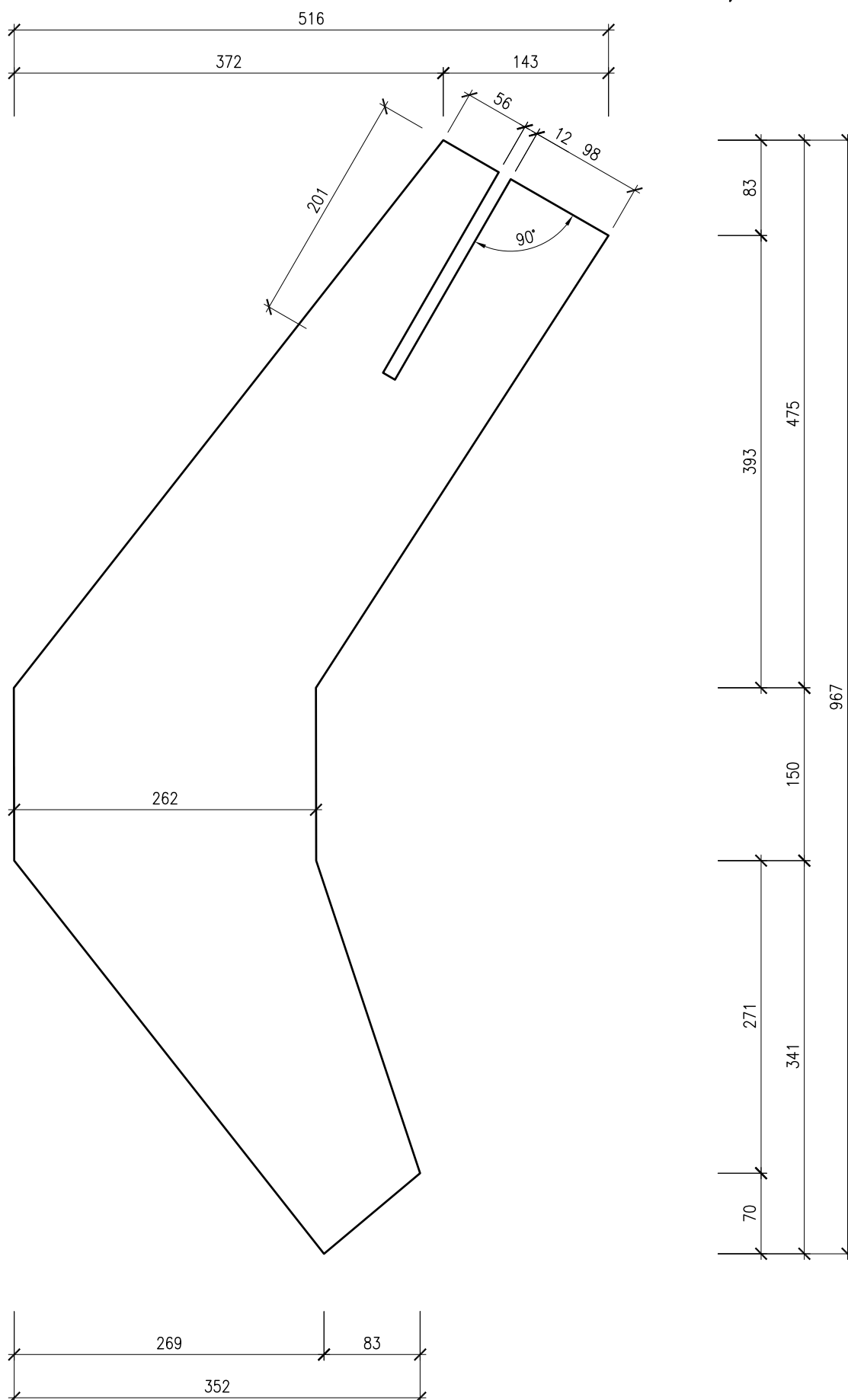
M1:5





PRVEK 36  
M1:5

P15 – 516/967  
S355, 1 ks



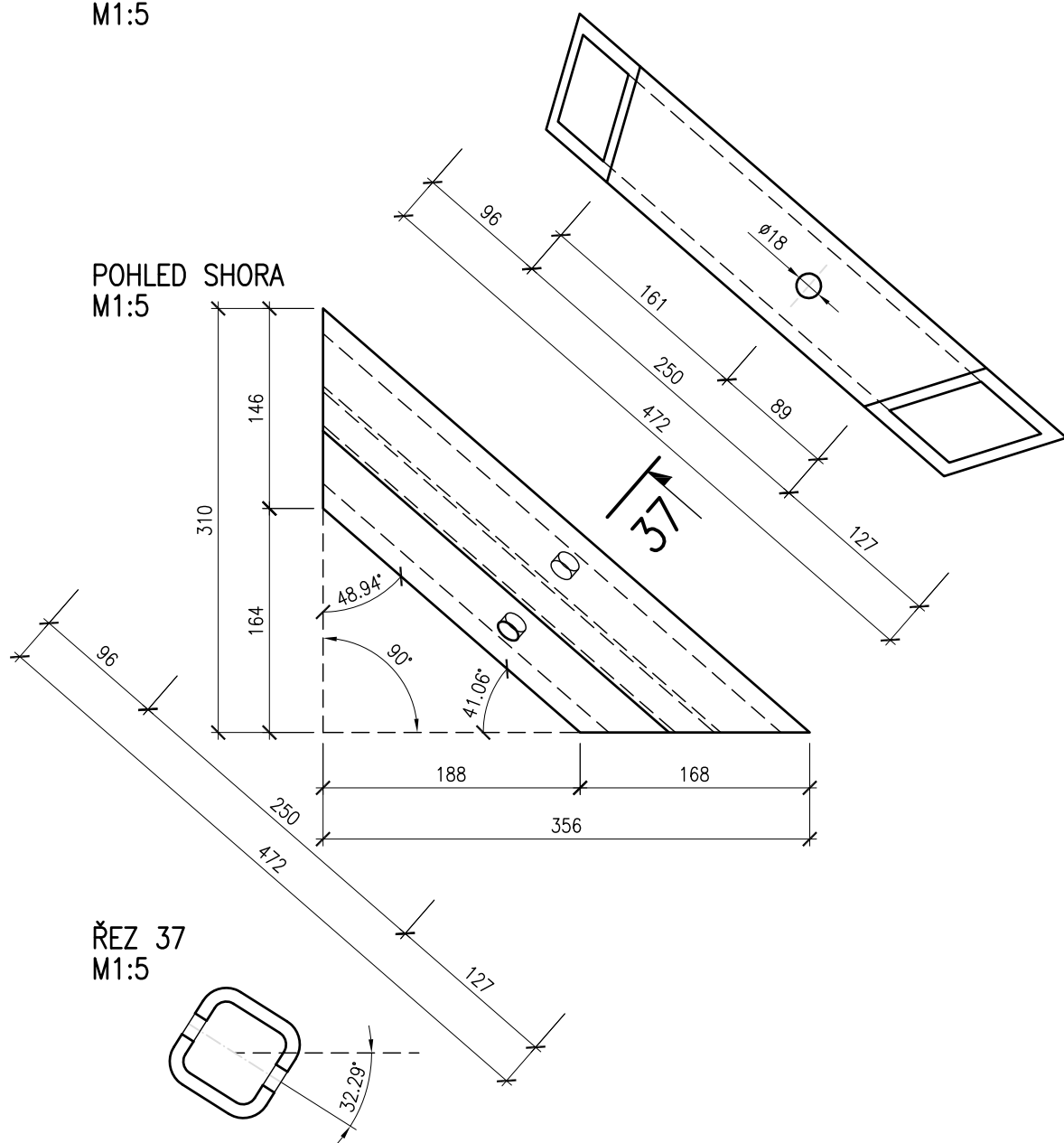
21-12

# PRVEK 37

POHLED KOLMO K OSE PRVKU  
M1:5

JACKL 80/80/10 – 472  
S355, 1 ks

POHLED SHORA  
M1:5

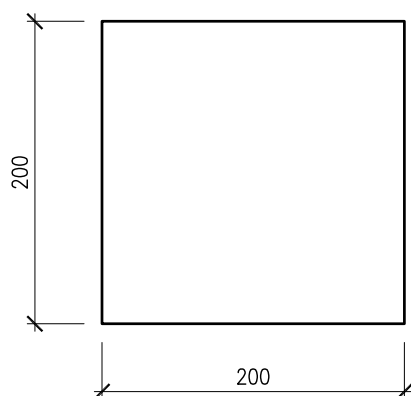


ŘEZ 37  
M1:5

# PRVEK 39

M1:5

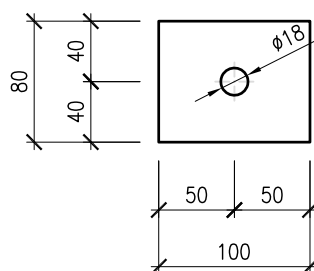
P15 – 200/200  
S355, 2 ks



# PRVEK 40

M1:5

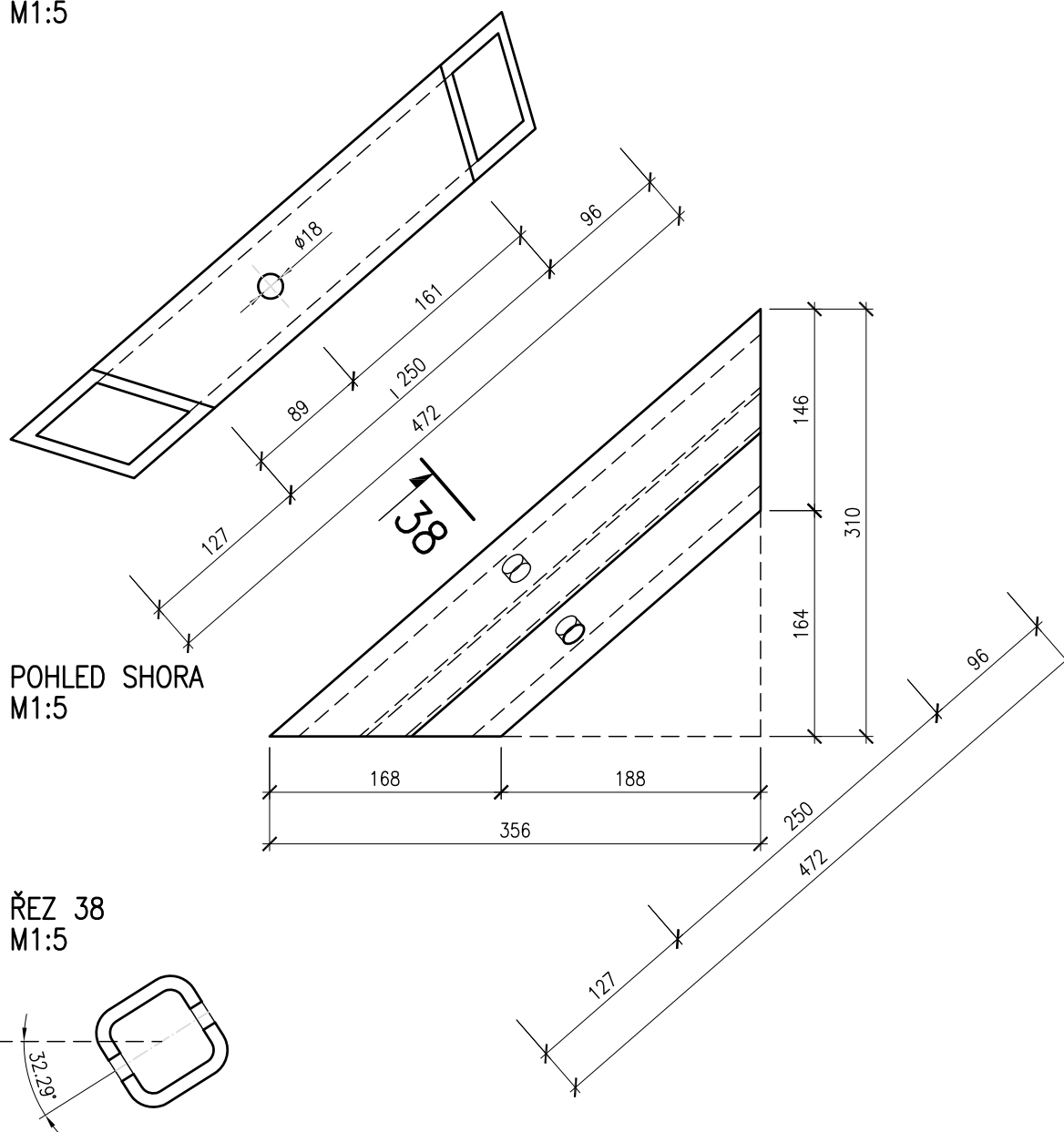
P15 – 100/80  
S355, 2 ks



# PRVEK 38

POHLED KOLMO K OSE PRVKU  
M1:5

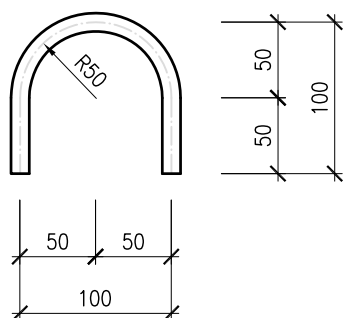
JACKL 80/80/10 – 472  
S355, 1 ks



# PRVEK 41

M1:5

$\varnothing 12$  – 276  
S355, 1 ks

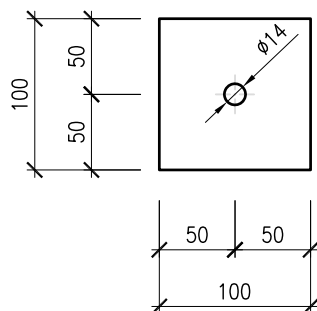




## PRVEK 59

POHLED  
M1:5

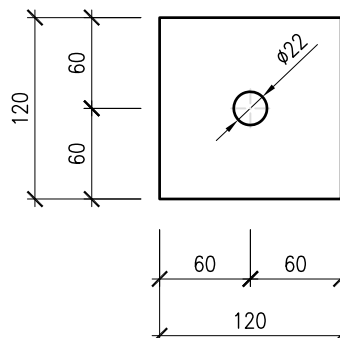
P15 – 100/100  
S235, 2 ks



## PRVEK 60

POHLED  
M1:5

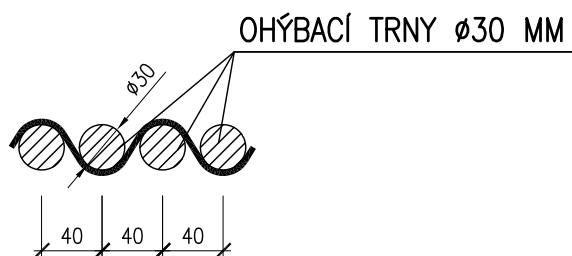
P15 – 120/120  
S235, 8 ks



## PRVEK 61

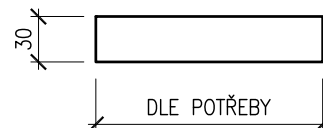
POHLED  
M1:5

ø4 – 11670  
S235, 2 ks



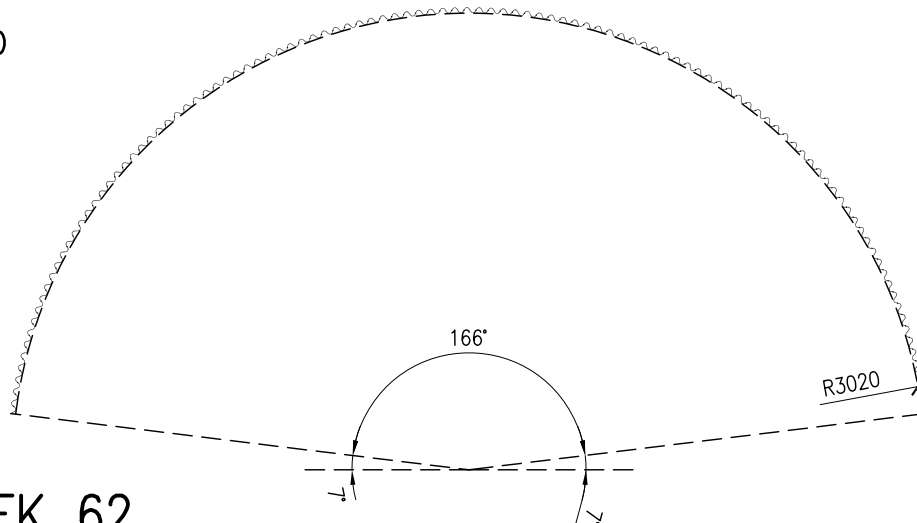
## PRVEK 63

M1:5



P4/30, DL. DLE POTŘEBY  
S235, 4 ks

POHLED  
M1:10



## PRVEK 64

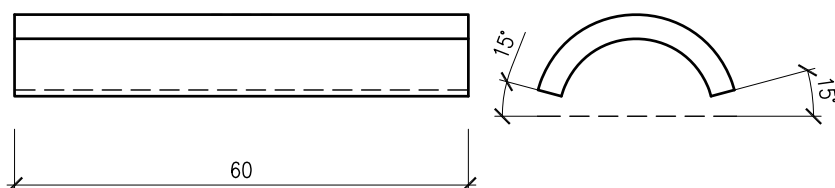
M1:5



PODLOŽKA M8  
S235, 16 ks

## PRVEK 62

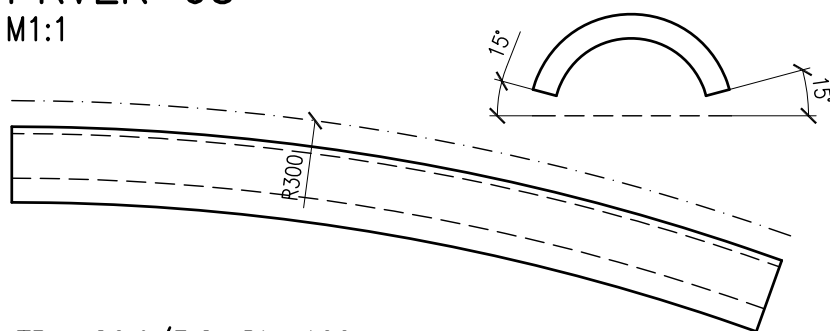
M1:1



TR. ø26,9/3.2, DL. 60 mm  
S235, 12 ks

## PRVEK 65

M1:1



TR.  $\varnothing 26,9/3.2$ , DL. 100 mm  
S235, 2 ks

## PRVEK 66

M1:5



MATICE M12  
4.6, 16 ks

## PRVEK 67

M1:5

LANOVÁ SVORKA  $\varnothing 16$   
4.6, 12 ks

## ŠABLONA STYČNÍKOVÝCH PLECHŮ

M1:1

